



**UNIVERSIDADE FEDERAL DA BAHIA
ESCOLA DE MÚSICA
PROGRAMA DE PÓS-GRADUAÇÃO EM MÚSICA**

**SINCOPA - SISTEMA INTERATIVO DE COMPOSIÇÃO,
PERFORMANCE E ANÁLISE - TÉCNICAS, REFLEXÕES E
POÉTICAS**

CRISTIANO SEVERO FIGUEIRÓ

Salvador

2012

CRISTIANO SEVERO FIGUEIRÓ

**SINCOPA - SISTEMA INTERATIVO DE COMPOSIÇÃO,
PERFORMANCE E ANÁLISE - TÉCNICAS, REFLEXÕES E
POÉTICAS**

Tese apresentada ao Programa de Pós-graduação em Música,
Escola de Música, Universidade Federal da Bahia, como re-
quisito parcial para obtenção do grau de Doutor em Música.
Área de concentração: Composição

Orientador: Prof. Dr. Pedro Ribeiro Kröger Jr.

Salvador

2012

© Copyright by
Cristiano Severo Figueiró
Maio, 2012

TERMO DE APROVAÇÃO

CRISTIANO SEVERO FIGUEIRÓ

SINCOPA - SISTEMA INTERATIVO DE COMPOSIÇÃO, PERFORMANCE E ANÁLISE - TÉCNICAS, REFLEXÕES E POÉTICAS

Tese aprovada como requisito parcial para a obtenção do grau de Doutor em Música, Universidade Federal da Bahia, pela seguinte banca examinadora:

Pedro Kroger _____
Doutor em Composição, Universidade Federal da Bahia
Universidade Federal da Bahia

Genaro Costa _____
Doutor em Computação de Alto Desempenho, Universidade Autônoma de Barcelona
Universidade Federal da Bahia

Paulo Costa Lima _____
Doutor em Artes, Universidade de São Paulo
Universidade Federal da Bahia

Mario Enrique Ulloa Peñaranda _____
Doutor em Música, Universidade Federal da Bahia
Universidade Federal da Bahia

Ângelo Castro _____
Doutor em Composição, Universidade Federal da Bahia
Universidade Federal da Bahia

10 de maio de 2012, Salvador

Agradecimentos

Agradeço a todas pessoas que de alguma maneira influenciaram a realização desse trabalho direta ou indiretamente.

Em especial aos meus pais com o imenso suporte familiar sem o qual não teria conseguido trilhar esse caminho. Ao PPGMUS/UFBA pelo empenho e luta em possibilitar concretamente a pesquisa em música.

Ao meu orientador pela dedicação e paciência. Aos colegas de estrada pelas inquietudes e estímulos. A comunidade internacional de desenvolvedores/usuários de software livre, por possibilitar a construção de um caminho mais humano na relação entre música e tecnologia.

A Orquestra Organismo, Casa da Alegria, Yupana Kernel e Movimento dos Sem Satélites, pelo incentivo poético, técnico e humano na metareciclagem de vivências com a arte e com a tecnologia.

Ao IHAC e Grupo de Pesquisa Poéticas Tecnológicas por possibilitar que essa pesquisa continue e se renove em nível de graduação e atividades de extensão e pesquisa.

Finalmente a Renata, Luisa e Lina pelo amor e dedicação diária.

Resumo

A criação de música interativa é uma tarefa que envolve diversos conhecimentos como técnicas de composição musical, síntese sonora, análise e processamento de sinal digital e design de interface. Nos últimos anos, diversos projetos vem sendo desenvolvidos e adotados pela comunidade de compositores interessados em compôr música baseada na interação homem-máquina. Notadamente a linguagem Pure data (Pd), vem sendo amplamente adotada pela flexibilidade de extensão de objetos e capacidade de se integrar a outras linguagens e soluções existentes no campo da computação musical. Pd é uma linguagem gráfica orientada ao objeto e escrita com a linguagem C.

Mesmo possibilitando diversas soluções ao compositor, o Pd exige o estudo formal de sua gramática tal qual qualquer linguagem de programação. Muitas das soluções apresentadas pela comunidade são específicas e dificilmente adaptáveis a problemas gerais de composição.

Nesta pesquisa investigamos o problema da criação de uma biblioteca de utilitários que auxiliam a criação de música interativa. A biblioteca foi batizada como SInCoPA, acrônimo de Sistema Interativo de Composição, Performance e Análise. A utilização de SInCoPA permite soluções híbridas interligando diversas outras bibliotecas gerais e específicas desenvolvidas pela comunidade. O uso de SInCoPA propicia ao compositor uma rápida prototipagem em música interativa e integração com outros fluxos de trabalho, ao mesmo tempo em que permite um estudo mais aprofundado da linguagem e customização da própria biblioteca apresentada aqui.

Abstract

The creation of interactive music is a task that involves many knowledge and techniques of musical composition, sound synthesis, analysis and digital signal processing and interface design. In recent years, several projects have been developed and adopted by a community of composers interested in composing music based in human-machine interaction. Notably language Pure Data (Pd), has been widely adopted by the flexibility of extended objects and ability to integrate with other languages and existing solutions in the field of computer music. Pd is a graphical language object-oriented and written in C language.

Even allowing for different solutions to the composer, the Pd language requires the formal study of its grammar, like any programming language. Many of the solutions presented by the community are specific and sometimes hardly adaptable to general problems of composition.

In this study we investigated the problem of creating a library utilities that assist the creation of interactive music. The library was named as SInCoPA, which stands for *Sistema Interativo de Composição, Performance e Análise*¹. The use of SInCoPA allows interconnecting hybrid solutions and various other general and specific libraries developed by the community. The use of SInCoPA provides to the composer a rapid prototyping in interactive music and integration with other streams of working at the same time allowing further study of language and customization of the library itself presented here.

¹Interactive System Composition, Performance and Analysis

Sumário

Agradecimentos	iv
Resumo	v
Abstract	vi
Lista de Figuras	xi
1 Introdução	1
1.1 Composição e Programação	3
1.2 Análise	8
1.2.1 Análise de áudio	12
1.2.2 Representação musical	14
1.2.3 Segmentação e Classificação	16
1.2.4 Interação e Automação	17
1.3 Poética da interação	18
Papel do músico na interação homem-máquina	21
2 Trabalhos relacionados	23
3 Ferramentas e Processo	35
3.1 Pd-extended	36
3.2 Bibliotecas externas de Pd	37
3.3 GNU/linux	37
3.4 Rosegarden e Lilypond	38
3.5 Jack	39
3.6 Git	39

4	SInCoPA	41
4.1	Análise de áudio	42
4.1.1	Entrada de áudio	43
	Objeto [sinc-audioin]	43
	Objeto [sinc-fft]	44
4.1.2	Manipulação de amostras	46
	Objeto [sinc-sample]	46
4.1.3	Análise melódica	47
	Objeto [sinc-audioanalise]	48
	Contorno Melódico	55
	Permeabilidade melódica	60
4.1.4	Análise rítmica	63
	Objeto [sinc-calc-ritmo]	63
	Objeto [sinc-densidade]	68
4.1.5	Análise de timbre	71
	[bonk~]	71
	timbreID	71
4.2	Análise Humdrum	77
4.3	Geradores MIDI	81
4.3.1	Manipulação e escrita de dados MIDI	84
	Abstração [sinc-teclado]	86
4.3.2	Imitação	89
	Gerador rítmico imitativo	89
	Melodia imitativa	90
4.3.3	Variação	90
4.3.4	Randômicos	94
4.3.5	Probabilidades	96
4.3.6	Movimento browniano	99
	Movimento browniano como gerador melódico	105
	Gerador rítmico polifônico	105
4.3.7	Boids	105
4.3.8	Harmonizadores	109
	Nota pertence ao acorde	111

	Acorde pertence a coleção de notas	115
	Sequência baseada em regras	115
4.4	Geradores de Síntese	120
4.4.1	Objeto [sinc-gera-sintese]	122
	Síntese aditiva com as notas da entrada de áudio	122
	Síntese aditiva com frequências randômicas	124
	Tempo de delay randômico com frequências da tabela	126
	Gerador de frequências randômicas com tempo de delay randômico	126
	Síntese FM responsiva	127
	Ruído branco com filtro de frequências executadas pelo músico	128
	Sintetizador com forma de onda variável	128
	Sintetizador baseado em análise e resíntese	129
4.5	Processamento de sinal de áudio	131
4.5.1	Delay variável	135
4.5.2	Repetição	136
	Objeto [sinc-loop]	136
4.5.3	Fragmentação	137
4.5.4	Síntese granular	147
	Objeto [sinc-granular]	151
4.6	Cenário de interação	153
4.6.1	Mapeamento	155
4.6.2	[sinc-cenario]	160
4.6.3	Objetos [sinc-mixer] e [sinc-pan]	160
5	Aplicações composicionais	162
5.1	Experimentos	163
5.2	Diálogos em SInCoPA	166
6	Resultados e Conclusão	176
6.1	Discussão	177
6.2	Conclusão	181
	Referências Bibliográficas	184
	Apêndice	188

A	Apêndice	189
A.1	Glossário	189
A.2	Técnicas de programação em Pd	192
A.2.1	Escrita em arrays	192
A.2.2	variáveis locais vs variáveis globais	193
A.2.3	Objetos gráficos - GUI's	195
A.2.4	Expressões condicionais	196
A.2.5	Mensagens de controle e fluxo de áudio	197
A.2.6	Amplificação de áudio	201
A.3	Visualização de Notação musical	203
	Pd e Lilypond via Rosegarden	203
A.3.1	Pd e Lilypond via FOMUS	204
A.3.2	Notação musical com GEM	206

Lista de Figuras

1.1	2 notas num oscilador simples	6
1.2	Diagrama ideal das etapas de análise para música interativa com instrumento tradicional	9
1.3	Esquema de etapas de implementação de um sistema de música interativa por Robert Rowe	10
1.4	Captador hexafônico GK-2A da Roland	13
2.1	Trecho da notação da peça <i>The Foldability of Frames</i> de Kevin Patton	34
3.1	Interface de conexão de processos do Jack	40
4.1	Objeto de análise de áudio [sinc-analise]	43
4.2	Entrada de áudio [sinc-audioin]	44
4.3	Visão interna de [sinc-fft]	45
4.4	Exemplo de uso de [sinc-fft]	45
4.5	[sinc-sample]	47
4.6	[sinc-audioanalise]	49
4.7	sub-patch que controla as configurações de [sigmund~]	50
4.8	Tamanho de janela de análise (npts)	51
4.9	[round]	51
4.10	[pitch]	52
4.11	editando objeto canvas ([cnv])	52
4.12	Métodos de análise de amplitude	53
4.13	sub-patch que detecta silêncio no áudio de entrada	55
4.14	Patch mostrando um contorno e sua forma normal	56
4.15	Operação de redução de um contorno à sua forma normal	57
4.16	Experimento de análise de similaridade de contornos baseado em banco com 3 modelos	58

4.17 Patch que calcula o índice de similaridade entre contornos	59
4.18 Patch que calcula o índice de permeabilidade melódica em fluxo melódico . . .	60
4.19 Patch que analisa a ocorrência de uma classe de nota em uma lista de classes de notas	61
4.20 análise de estabilidade rítmica	64
4.21 análise de estabilidade rítmica	65
4.22 filtro de registro de durações	65
4.23 lista de durações	66
4.24 média geométrica	66
4.25 ritmo estável	67
4.26 ritmo instável	68
4.27 ritmo estável e instável	69
4.28 captação de ataques com [bonk~] e categorização entre “curtos” e “longos” . .	69
4.29 sub-patch [densidade ritmica]	70
4.30 timbreID - audio-features	72
4.31 timbreID	73
4.32 timbreID - bfcc	74
4.33 PDescriptors - [Inharmonicity~]	75
4.34 interface	77
4.35 parser	79
4.36 GEM	80
4.37 GEM texto	80
4.38 gemwin	81
4.39 Conversão de áudio para notas midi	84
4.40 Objeto [sync-midiin]	85
4.41 Exemplo de funcionamento de [sync-midiin]	86
4.42 Visão interna de [sync-teclado]	87
4.43 Mapa de distribuição das teclas de [sync-teclado]	87
4.44 Abstração [kbkey2] mapeia cada tecla	88
4.45 Abstração [kbkey]	88
4.46 subpatch [pd gerador-ritmico0] de [sync-gera-ritmico]	89
4.47 [pd gerador-melodico0]	90
4.48 Patch mostrando operações de variação sobre array	91
4.49 Sub-patch mostrando operação de normalização sobre array	92

4.50	Sub-patch [pd rj] mostrando objeto [c_patternchange]	92
4.51	Gerador rítmico de variação de leitura de tabela de durações	93
4.52	Patch com dois geradores [random] alternando entre valores de seed	95
4.53	Sequência de notas geradas pelo patch da figura 4.52	95
4.54	[pd gerador-melodico3]	96
4.55	Filtro de alturas baseado em array, através da abstração [musical.closest.note]	97
4.56	Patch controlador de probabilidade	97
4.57	Abstração [sinc-ritmo-prob]	98
4.58	[pd gerador-melodico1]	99
4.59	Gerador rítmico baseado em movimento browniano	100
4.60	brow-rythm	101
4.61	Funcionamento básico de [brow-rhythm]	101
4.62	Funcionamento de [brownian]	102
4.63	objeto [brownian] com diferentes valores de fator de brown	102
4.64	[brownian]	103
4.65	exemplo de funcionamento de [drunk]	104
4.66	[pd gerador-melodico2]	105
4.67	Gerador rítmico randômico	106
4.68	Objeto [boids2d] controlando 3 boids geradores de notas MIDI	107
4.69	Lista de parâmetros enviados para [boids2d]	108
4.70	Visão de resultado de 3 boids seguindo perfil melódico no piano-roll	109
4.71	Decisão de qual nota a ser harmonizada	112
4.72	sub-patch “pd tonica”	113
4.73	resultado da harmonização com modo 1	113
4.74	harmonizador dissonante , modo 2	114
4.75	pd, jack e rosegarden	115
4.76	Patch que harmoniza de acordo com as notas executadas pelo músico estocadas em um array	116
4.77	Resultado de harmonizador automático com acordes pertencentes a coleção de notas tocadas	116
4.78	abstração [sinc-chord] para criação de cada acorde	117
4.79	Abstração [sinc-chord-list] para listagem de diversos acordes	118
4.80	Exemplo de harmonizador baseado em cadeia de markov	118
4.81	[sinc-gera-sintese]	121

4.82	[pd gerador0-diato]	123
4.83	[pd gerador0-rand]	124
4.84	[pd gerador1-diato]	125
4.85	[pd gerador1-rand]	126
4.86	[pd fm1]	127
4.87	[pd noise]	128
4.88	[pd synth-waveforms]	129
4.89	[pd gerador-resintese]	130
4.90	banco de osciladores	131
4.91	[pd osc]	132
4.92	Espectrograma do som original e do som resintetizado	132
4.93	Patch mostrando um ring modulator simples	133
4.94	Patch mostrando uso de objetos de SInCoPA misturados com objetos nativos e abstrações DIY2	134
4.95	Abstração de controle de delay variável	135
4.96	loop simples	138
4.97	[sync-loop-master]	138
4.98	[sync-loop-slave]	139
4.99	Uso de dois [sync-loop-slave] e [sync-loop-master]	140
4.100	[sync-gravador]	141
4.101	Fatiador automático de segmentos simétricos	142
4.102	[sync-slicer]	143
4.103	Motor básico da segmentação do áudio	143
4.104	Visão geral das entradas e saídas do objeto [nvl]	144
4.105	Detalhe dos controles do sequenciador do [nvl]	144
4.106	controle externo dos parâmetros do navalha	145
4.107	[mininvl]	146
4.108	abstração [grainvoice]	148
4.109	subpatch gerador de uma curva de Gaussian	148
4.110	Visão geral de funcionamento de síntese granular	150
4.111	visão geral da alteração de overlap	151
4.112	subpatch [pd randomize]	152
4.113	teclado USB adaptado como pedal	154
4.114	[sync-controle-teclado]	154

4.115	Mapeamento feito por relação desenhada/customizada.	155
4.116	Mapeamento por curva exponencial.	156
4.117	Mapeamento por curva gradual.	157
4.118	Mapeamento por curva logarítmica.	157
4.119	Mapeamento por curva exponencial customizada.	158
4.120	visão geral de [sinc-cenario]	158
4.121	fluxograma do mapeamento do patch na figura 4.122	159
4.122	subpatch [pd cena 1]	159
4.123	[sinc-mixer]	161
4.124	[sinc-pan]	161
5.1	estudo interativo pra flauta e computador (2007)	163
5.2	Experimento 1 - Geradores melódicos e rítmicos	165
5.3	Visão geral do patch principal da composição “Diálogos em SINCoPA”	167
5.4	Visão da abstração [audio_midi]	168
5.5	Visão do sub-patch [pd sintese interativa]	169
5.6	Exemplo de trecho executado explorando interação com [pd sintese interativa]	169
5.7	Visão do sub-patch [pd algortimos_generativos]	170
5.8	Trecho executado e enviado ao algoritmo da figura 5.7	171
5.9	Resultado de interação com algoritmo descrito na figura 5.7 (pg.1)	172
5.10	Resultado de interação com algoritmo descrito na figura 5.7(pg.2)	173
5.11	Visão da abstração [sinc-midilive]	174
5.12	Visão da abstração [sinc-harmonia]	175
6.1	Mecanismo de escuta e análise	178
6.2	Mecanismo de funcionamento de um sistema interativo baseado em redes neurais	179
A.1	exemplo de acesso ao manual do objeto metro	191
A.2	exemplo de escrita de áudio e números em arrays	193
A.3	conectando saídas de objetos com cabos e com [send] e [receive]	194
A.4	[sinc-gera-melodico] enviando nome de variável local para ser lida por outros objetos	194
A.5	objeto [scale.linear] da biblioteca PDMTL usando o objeto [expr]	196
A.6	Objeto [sinc-escala-linear] usando apenas objetos nativos do Pd	197
A.7	Diferença entre cabos de objetos de controle e objetos de áudio	199

A.8	Sintetizador usando slider vertical ([vsl]) controlando amplitude de áudio . . .	199
A.9	Sintetizador usando objeto [switch~] para ligar/desligar processamento	200
A.10	Patch que explora amplificação e limitação de amplitude de áudio	201
A.11	Sub-patch [pd autocompressor]	202
A.12	edição no rosegarden de sequência enviada do pd	204
A.13	Resultado de FOMUS em Lilypond	205
A.14	Patch mostrando funcionalidade básica do objeto [fomus]	206
A.15	Sub-patch [pd arrays] do patch da figura A.14	207
A.16	ambiente de trabalho com Pd, FOMUS e editor de Lilypond (Frescobaldi) . . .	208
A.17	[sync-mandanotacao]	208
A.18	[sync-recebenotacao]	209
A.19	[sync-notacao]	209
A.20	subpatch correspondente a uma nota	210
A.21	subpatch [pd escolhe nota] da figura A.20	211
A.22	subpatch [pd animax] da figura A.20	212
A.23	resultado gráfico de gemnotes	212
A.24	exemplo de uso de gemnotes	213

Capítulo 1

Introdução

Esta tese apresenta o desenvolvimento de aplicativos e métodos de organização de materiais musicais e sonoros aplicados à composição de música interativa. Por música interativa entende-se aqui um tipo de composição que é feita sob o paradigma da interação homem-máquina. De maneira geral, o objeto da música interativa é o evento sonoro gerado a partir da performance de um músico sobre uma base de programas, materiais armazenados e análise das informações da performance em tempo-real.

Um dos resultados dessa pesquisa foi o desenvolvimento de um sistema de funções computacionais capaz de auxiliar a composição de música interativa chamado SInCoPA (Sistema Interativo de Composição Performance e Análise), descrito no capítulo 4. SInCoPA é um conjunto de aplicativos e idéias que exploram soluções na busca por um ambiente de composição e performance de música interativa. SInCoPA é um sistema computacional capaz de extrair informações diversas sobre a performance e categorizar aspectos da performance musical e interagir com essa performance.

Meu objetivo musical é a criação de uma polifonia densa, onde o músico controla aspectos da textura resultante com o próprio gesto sonoro. SInCoPA oferece funções que possibilitam a criação musical de texturas polifônicas diversas baseadas na análise do áudio da performance musical de um instrumentista. Nesse panorama, a polifonia resultante pode variar da completa fusão sonora e comportamental até o extremo contraste de materiais sonoros e musicais. Os

resultados musicais são demonstrados no capítulo 5 na descrição da peça “Diálogos em SInCoPA” e nos vídeos no DVD em anexo a tese que apresentam experimentações sonoras com as funções de SInCoPA.

Diversos problemas advém da prática musical na interação homem-máquina. Nesse sentido, o objeto de pesquisa é o percurso que vai da idéia composicional, calcada no paradigma da interação homem-máquina, passa pela implementação e posteriormente pela experimentação, performance e análise dos resultados. SInCoPA é construído com a linguagem *Pure data* (Pd). Pd (Puckette 1996)¹ é uma linguagem gráfica orientada a objetos desenvolvida para a criação de música eletrônica. Desde o seu lançamento em 1996, o projeto do Pd se manteve com código aberto e distribuído livremente pela internet, o que agregou uma comunidade de artistas e desenvolvedores ao redor do projeto. Nos últimos anos a comunidade tem desenvolvido inúmeras bibliotecas de objetos especializados em modelos matemáticos, modelamentos de interface gráfica, diversas processamento e análise em tempo-real de sinal de áudio, vídeo, rede e hardware. Os módulos de SInCoPA são construídos usando objetos “nativos” e “externals”, conceitos que serão aprofundados no capítulo 3.

Todas as partes do sistema são construídas em Pd, no formato de objetos modulares. Os objetos criados tem a função de agregar diversos outros objetos e organizar o fluxo de dados de análise e performance num contexto que possibilite a reutilização em diferentes projetos de arte interativa. Também é apresentada uma composição como protótipo de uso do sistema. A visão geral do SInCoPA é a de uma biblioteca de objetos de Pd e sua documentação de uso, além de exemplos práticos de projetos utilizando a biblioteca que servem como campo de avaliação de possibilidades e experimentação sonora.

O texto é ilustrado com muitas imagens do código. Um ideal perseguido foi o de que a correta digitação do código das imagens permita a re-criação de todos experimentos e conceitos apresentados em SInCoPA. Muitas figuras ao longo do texto não são uma representação ou esquemático das idéias, mas sim a própria implementação em código mostrando os detalhes da sintaxe e do estilo de programação. A função das imagens varia da documentação do código

¹Disponível em: <http://puredata.info/>

desenvolvido a ilustração de um conceito. Apesar de muitas imagens serem auto-explicativas e explicadas no corpo do texto, muitas vezes a apreensão correta do sentido e funcionamento do código em questão só se dá na experiência do manuseio.

Foram usadas diversas bibliotecas externas ao Pd, algumas que são encontradas na distribuição pd-extended ², e outras contribuições da comunidade de desenvolvedores.

A criação de música interativa é uma tarefa que envolve diversos conhecimentos como técnicas de composição musical, síntese sonora, análise e processamento de sinal digital e design de interface. Nesta pesquisa investiguei o problema do desenvolvimento de uma biblioteca de utilitários para criação de música interativa. Esta biblioteca tem como objetivo fornecer módulos que facilitem a prototipação com análise e processamento de áudio de entrada, geração de síntese e controle de algoritmos MIDI.

Diversos problemas derivam da intersecção entre descrições simbólicas como nota, acorde, motivo e especificações de síntese sonora como modulação, envelope e formas de onda. Alguns problemas são conceituais e demandam um universo próprio de pesquisa como por exemplo a detecção automática de começo e fim de frases melódicas. Outros problemas são técnicos e prevêm uma depuração na programação como por exemplo a sincronia entre as mensagens de controle de parâmetros e o processamento de blocos de áudio. Neste trabalho procurei separar e visualizar cada problema de pesquisa. Sem perder de vista o foco num sistema geral de criação de música interativa.

1.1 Composição e Programação

Quando um instrumentista vai interpretar uma composição escrita em notação tradicional, ou um conjunto de músicos começam a improvisar coletivamente, diversos elementos da narrativa

²pd-extended é uma distribuição do Pd com várias bibliotecas externas já compiladas na maioria dos sistemas operacionais existentes. É o principal "fork" do Pd, e possui versão estável e versão de desenvolvimento. A história de desenvolvimento do Pd pode ser entendida como uma sequência de Forks levando a diferentes versões e estágios de desenvolvimento locais, como JMax, Max-Ircam, DesireData, etc... Essa pesquisa assume como padrão a versão atual do pd-extended com algumas adições de bibliotecas de objetos feitos em Pd e alguns objetos codados em C e compilados como objetos de Pd.

e das escolhas individuais entram em jogo. Como por exemplo agógica, flutuações do tempo ou substituições harmônicas. A atividade musical pressupõe ambigüidades de narrativa como uma característica intrínseca. Essas ambigüidades constituem uma parte importante do ritual de fazer e escutar música. Quando se compõe música com computador, nos deparamos com linguagens de programação que não aceitam ambigüidades.

Pode-se dizer que o fazer composicional de música interativa está totalmente conectado com a atividade de programação. No resultado de uma obra musical interativa existe uma relação intrínseca entre idéia, ferramenta e implementação. Pode-se concluir que alguns problemas derivam desse encontro entre um fazer musical “ambíguo” e uma programação “não ambígua”.

Esta pesquisa oferece um caminho a ser trilhado no sentido da convivência entre a composição musical e a programação de computadores. Para isso é necessário refletir sobre as interfaces disponibilizadas aos compositores e como essas interfaces interferem nos processos criativos. Nesse sentido algumas breves comparações serão feitas entre notação musical tradicional e as linguagens Pd, Max/MSP e Csound.

A composição musical com computadores tem uma história intensa de desenvolvimento contínuo ao longo das últimas 5 décadas. Nesse percurso, uma das ferramentas mais importantes criadas é o ambiente de programação Csound³. O paradigma composicional no Csound pode ser visto como semelhante ao trabalho tradicional do compositor que descreve eventos através de dois arquivos de texto nomeados de: *orquestra* e *partitura*⁴, onde no primeiro são descritas as qualidades fixas do timbre e no segundo os eventos e os parâmetros dinâmicos do timbre. A arquitetura de programas como Max e Pd, a primeira vista pode ser vista como simples e convidativa pelo fato de possibilitar uma programação intuitiva e parecer com um fluxograma. Mas logo se dão as primeiras dificuldades pelo fato de o paradigma da linguagem ser muito calcado na performance em tempo-real causando a dificuldade de organização dos dados composicionais, como notas, acordes, eventos e mudanças de parâmetros de síntese.

³Csound é um ambiente de programação sonora de código aberto e baseado na linguagem C. Disponível em: www.csounds.com

⁴Livremente traduzidos dos termos originais *orchestra* e *score*

Os músicos tem sua formação baseada na notação musical tradicional que estabelece uma cadeia de binômios de parâmetros de estruturação sonora (Zampronha 2000) como altura versus ataque, duração versus articulação ou métrica versus expressão. O sistema da notação tradicional tem uma estrutura que possui uma sequencialidade temporal dos eventos implícita. A migração dos músicos para ambientes de composição e design sonoro como Csound (Boulangier 2000) tende a ser mais natural pela adaptação de um tipo de estrutura temporal comum aos músicos (notação musical) para outro (*partitura* do Csound), e também pela oposição binária entre *orquestra* e *partitura*. No Csound, a base de dados é chamada *partitura*. Em Csound *partituras* consistem na maioria das vezes em “notas”, que são comandos para um sintetizador (*orquestra*). A *partitura* é essencialmente uma sequência temporal, enquanto que a *orquestra* define aspectos globais do timbre da síntese. Uma possível sequência temporal em Csound pode ser vista abaixo:

```
;orchestra
instr 1
  k1  linen 10000, .2, p3, .5
  a1  oscil k1, p4, 1
      out a1
endin

;score
f1 0 2096 10 1 .2 .3
i1 0 1 440
i1 1 1 660
```

Se formos tentar implementar esse código em Pd, podemos encontrar uma solução semelhante na figura 1.1. Programadores também são acostumados com linguagens de programação que tem sua gramática baseada na sequencialidade das ações. A vantagem de usar uma ferramenta de síntese embutida em uma linguagem de programação é que se pode ter uma flexibilidade muito maior na criação de relações entre os elementos devido a possibilidade de criar novas abstrações (Geiger 2005).

O fato do Pd ser uma linguagem gráfica possibilita uma facilidade de descrição do processo de síntese sonora uma vez que o próprio código é semelhante ao fluxograma tradicional de representação da síntese.

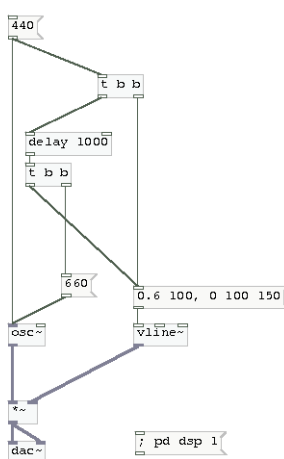


Figura 1.1: 2 notas num oscilador simples

A estrutura de um fluxograma possui uma sequencialidade implícita (da saída final até os parâmetros de cada gerador), mas não explícita como vão ser manipulados os parâmetros nem qual será a duração da música.

Os ambientes Max/Msp e Pd são construídos sob o paradigma do envio da mensagem o que não necessariamente possibilita que a linguagem seja adequada para o armazenamento e recuperação de dados. O usuário é praticamente forçado a colocar os dados dentro de objetos armazenadores e arquivos externos - bases de dados, essencialmente - e a usar um leque de objetos como acessórios para estocar e recuperar dados dentro do controle de passagem de mensagens em tempo real.

A abordagem do Max/Msp e Pd quanto aos dados é ao mesmo tempo simples e evasiva: objetos especiais de armazenagem de dados como [table] e [qlist], dentre outros são disponibilizados. Os dados são essencialmente colocados dentro de diferentes objetos armazenadores, e para cada tipo de armazenador uma abordagem particular é colocada para sua estocagem, edição, interface e comunicação com o resto do patch.

A recuperação de dados é a pior qualidade do Max porque mensagens não tem valores de retorno. Por exemplo, uma caixa de número manipulada com o mouse não retorna os dados da manipulação, que devem ser recuperados com outros objetos). Os dados recuperados devem ser

mandados como uma mensagem separada de retorno. Isso leva muitos programadores de Max a achar soluções diferentes que facilitem a integração do patch com o nível composicional.

A idéia original por trás da criação do Pd foi remover a barreira entre a computação dirigida por eventos em tempo-real (como no estilo do Max de passagem de mensagens) e dos dados (como em pontos num gráfico ou notas numa partitura). Em Pd os dois (caixas de objetos e estruturas de dados) podem facilmente coexistir em uma mesma janela. Essa “promiscuidade”, no entanto, não acaba deixando os objetos funcionais e os dados intimamente conectados. De fato, no design presente, o acesso aos dados tem que ser feito através de uma sequência de objetos como acessórios .

Em relação a essa divisão do aspecto “performático” e “composicional” do Pd, Miller Puckette explica que

Em sua forma mais sucinta, o problema é que, enquanto temos bons paradigmas para descrever processos (tal como em Max ou Pd, da forma como eles existem hoje), e enquanto muito trabalho tem sido feito na parte de representação de dados musicais (incluindo buscas em bases de dados de sons, passando pelos programas Patchwork e OpenMusic, e incluindo o não finalizado editor de estruturas de dados do Pd), não possuímos um mecanismo fluído para navegar entre esses dois mundos. (Puckette 2004) ⁵

Apesar das muitas diferenças entre as interfaces dos ambientes de programação, o compositor deve manter claro o foco no resultado sonoro da interação entre gesto instrumental e controle de máquina. Abordando o assunto a partir de uma visão didático-metodológica, um projeto composicional em Pd deve compreender a clara distinção entre os aspectos performáticos e composicionais do ambiente. O que chamo aqui de aspectos performáticos em música interativa é a própria relação criada entre a análise do estímulo do instrumentista e os parâmetros de algoritmos generativos.

Sobre os aspectos composicionais me refiro a imagem global do fazer composicional e sua relação com as ferramentas em questão. Quando falamos de interação entre humanos pensamos

⁵“in its most succinct form, the problem is that, while we have good paradigms for describing processes (such as in the Max or Pd programs as they stand today), and while much work has been done on representations of musical data (ranging from searchable databases of sound to Patchwork and OpenMusic, and including Pd’s unfinished data editor), we lack a fluid mechanism for the two worlds to interoperate.” (Minha tradução livre)

em modelos de cooperação. Mas quando pensamos em interação homem-máquina, pensamos em controle. Podemos pensar no conceito de influência como intermediário entre cooperação e controle, e mais adequado como modelo de desenvolvimento para música interativa.

Nesta pesquisa, foram exploradas maneiras de implementar algoritmos generativos influenciados por dados extraídos da própria análise musical da performance do músico.

1.2 Análise

O processo de análise musical consiste em separar elementos do discurso com o objetivo de revelar uma possível estrutura fundamental ou vetores de força que moldaram aspectos do resultado final.

Sobre a análise feita por computadores, Rowe acrescenta:

Há um certo paradoxo no coração da transferência de musical conhecimento para uma máquina. Temos que trabalhar intensamente para fazer um programa de computador efetuar as análises necessárias de um calouro estudante de música. Uma vez que o trabalho é feito, no entanto, o programa pode fazer uma análise mais confiável e certamente muito mais rapidamente do que o calouro. O computador pode entregar descrições completas de cada acorde em um ditado em milissegundos do seu desempenho, por exemplo. (Rowe 2004) ⁶

Nesse sentido, a análise assistida por computador auxilia o processo composicional durante tarefas de descrição que seriam extremamente trabalhosas durante o processo de composição. A diferença entre análise e composição é de que na análise, ao final do processo, não conseguimos retornar ao pensamento composicional original, pelo fato de que o compositor durante seu trabalho tem a liberdade de criar e subverter regras, e determinar qualquer tipo de relação entre os materiais e os procedimentos, tornando praticamente impossível de se modelar a atividade cognitiva durante o ato de compôr.

⁶There is a certain paradox at the heart of the transfer of musical knowledge to a machine. We must labor mightily to make a computer program perform the analysis required of a freshman music student. Once the work is done, however, the program can make analyses more reliably and certainly much more quickly than the freshman. The computer can deliver complete descriptions of each chord in a dictation within milliseconds of its performance, for example.

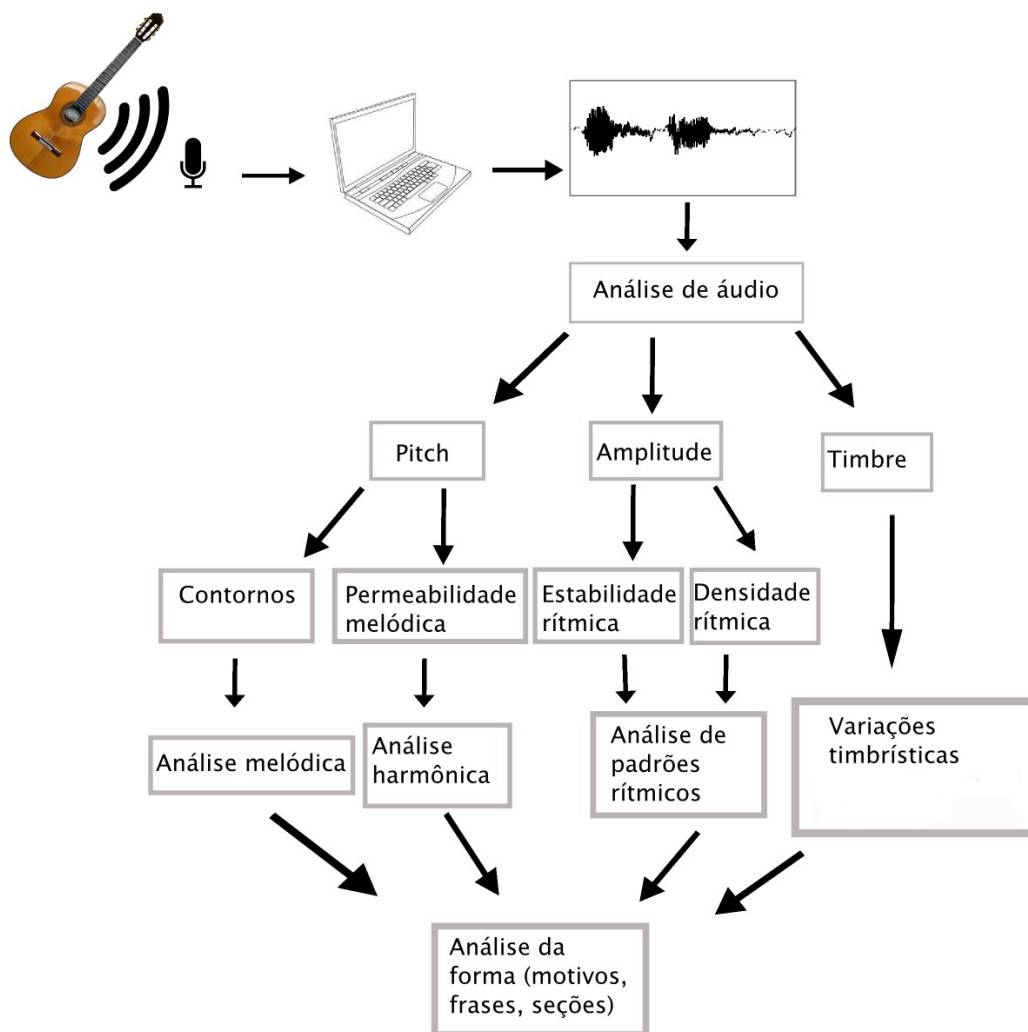


Figura 1.2: Diagrama ideal das etapas de análise para música interativa com instrumento tradicional

Uma boa descrição dos níveis de análise que estão envolvidos em um projeto de música interativa é fornecido por Rowe:

A primeira onda de sistemas interativos de música foi baseada quase exclusivamente no padrão *Musical Instrument Digital Interface* (MIDI), uma representação simbólica da música modelado sobre o comportamento de um teclado de piano, bem como nos conceitos tradicionais de notação de música. A segunda onda toma como entrada sinais de áudio, uma sub-representação simbólica de dados bem mais flexível, ainda que seja bem menos estruturada. (Rowe 2009) ⁷

⁷The first wave of interactive music systems relied almost exclusively on the Musical Instrument Digital Interface (MIDI) standard, a symbolic representation of music modeled closely on the behavior of a piano keyboard, as well as traditional concepts of music notation. The second wave takes as its input raw audio signals, a sub-symbolic data representation that is far more flexible while being far less structured.

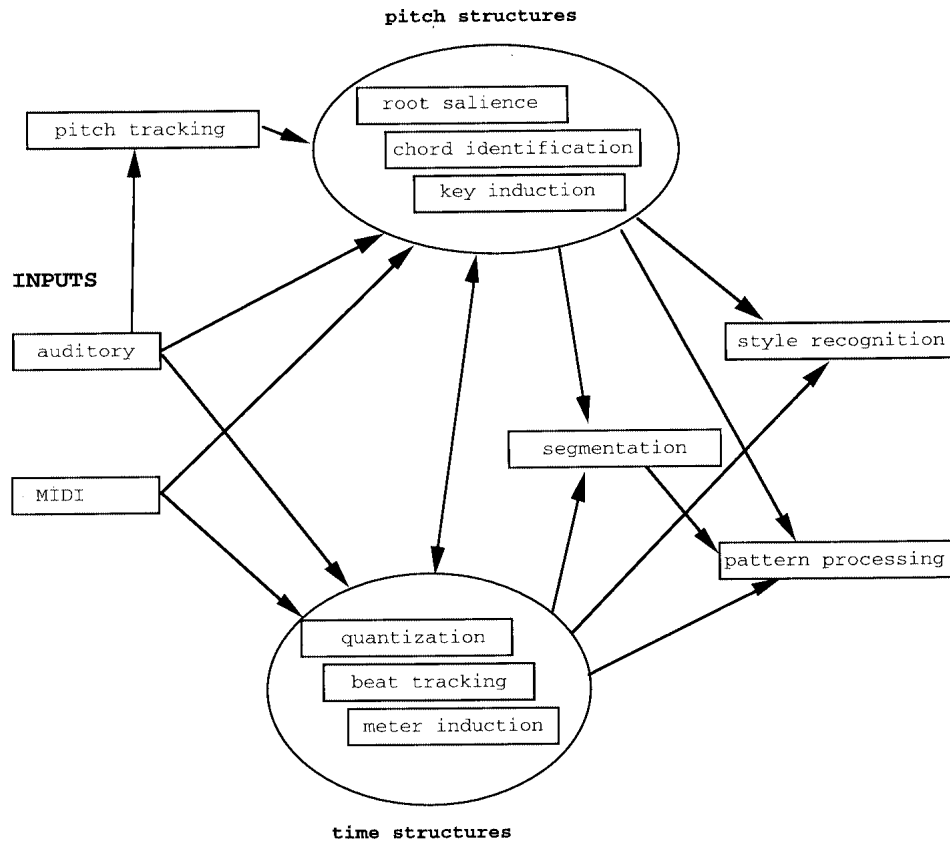


Figura 1.3: Esquema de etapas de implementação de um sistema de música interativa por Robert Rowe

Podemos ver na figura 1.3 um plano geral dos níveis de análise necessários para a desenvolvimento de uma possível “escuta” genérica de máquina. O sentido das flechas representa o fluxo de informação entre os estágios.

Podemos dividir a análise musical em níveis simbólico e sub-simbólico. A análise musical simbólica engloba a dimensão dos símbolos musicais estabelecidos pela notação musical como por exemplo nota, acorde, tonalidade ou compasso. A análise musical no nível sub-simbólico diz respeito a dados que contenham informações sobre a descrição física do som. Leman apresenta uma descrição dos níveis simbólico e sub-simbólico na tentativa de estabelecer uma modelagem computacional de esquemas cognitivos (Leman 1989).

Enfatiza que o processamento de informação sub-simbólica abstrata pode fornecer novas formas de lidar com os aspectos do comportamento comunicativo que até agora têm sido muito difíceis de tratar em modelos simbólicos. Também argumenta que diferentes tipos de mecanis-

mos de processamento de informações sub-simbólicas podem ser exploradas e aplicadas a este campo como alternativas e/ou abordagens complementares aos modelos simbólicos. Em particular, considera a possibilidade de representar conceitos musicais como padrões de informações fornecidas pelo transdutor de mecanismos sensoriais, ao invés de símbolos abstratos onde o conteúdo é separado da forma. Por fim argumenta em favor de uma representação analógica musical com base na Psicoacústica e propõe este sistema como uma alternativa para a abordagem de discurso lógico da representação musical (Leman 1989).

Apesar da análise ser um dos principais elementos dessa pesquisa, é preciso definir que o objeto final é uma ferramenta de composição e não de análise. Nesse caso, a análise serve como uma etapa da composição. A composição em si se dá no próprio momento da performance. Cada execução musical realizada com SInCoPA terá elementos diferentes, mesmo que o instrumentista execute o mesmo trecho musical, as escolhas sonoras do programa terão variações. Isso porque pequenas variações de tempo e dinâmica interferem no resultado da análise e portanto afetam os parâmetros dos algoritmos geradores.

Normalmente pensamos na análise como uma ação posterior ao processo de composição. Nesta pesquisa a etapa de análise é um dos pontos indispensáveis do processo de composição. Um possível diagrama ideal das etapas de análise, necessárias à constituição de um sistema de interação musical com um instrumento tradicional pode ser visto na figura 1.2, onde temos um primeiro nível sub-simbólico de análise do áudio e primeira segmentação e classificação de notas (pitch), amplitude, ataque e tempo entre ataques (IOI⁸) e timbre.

O nível simbólico aparece abaixo em duas linhas compreendendo primeiro análise de contornos, permeabilidade melódica, estabilidade rítmica e densidade rítmica. Que se subdividem em análise melódica, harmônica, de padrões rítmicos e de variações timbrísticas. Uma hipótese é que no final dessa sequência de análises, os resultados propiciarão elementos para um mecanismo mais completo de análise da forma.

No recorte dessa pesquisa, foram definidas e apontadas ferramentas que compreendem o nível sub-simbólico e a primeira classe do nível simbólico.

⁸Intervalo entre ataques(Inter- Onset-Interval) (Rowe 2004)

Uma outra análise pode ser feita sobre o resultado final da interação, quando se obtém o conjunto de dados e estruturas geradas pelo músico e por SInCoPA. Idealmente, na análise desses dados não há como separar a influência do sistema na execução do músico. O resultado da análise desses dados pode revelar estruturas arquetípicas passíveis de classificação, o que poderia ser chamado de taxonomia da interação. Tal qual a espectromorfologia (Smalley 1986) é uma taxonomia geral para análise de música eletroacústica⁹.

1.2.1 Análise de áudio

O objetivo da análise de áudio é extrair informações em tempo-real que possam ser convertidas em elementos simbólicos musicais, como notas, durações e dinâmica. A partir dessa conversão podemos implementar outras análises no âmbito dos elementos musicais, como análise de contornos, estabilidade e densidade rítmica e outros modelos de análise aplicados aos elementos simbólico-musicais.

Outro nível de informação é fornecido pela análise do timbre, capaz de revelar detalhes do comportamento espectral de cada evento, que no caso de uma performance instrumental, pode ajudar a expôr aspectos narrativos.

Existe uma certa dificuldade na tentativa de definir uma ferramenta genérica de análise de áudio que funcione igual em diferentes plataformas e configurações. Isso se dá por conta das muitas variáveis envolvidas, como diferentes instrumentos, microfones, captadores, placas de som e outros fatores. A dificuldade varia de acordo com as configurações possíveis. A captura e análise de áudio de instrumentos monofônicos e que usam captadores é bem mais estável do que situações que envolvem microfones e instrumentos polifônicos.

A experiência de música interativa usando violão ou guitarra elétrica passa necessariamente pela problemática do reconhecimento de frequências nos trechos de sinal polifônico. Uma solução seria o uso de um captador hexafônico para captar o áudio separado de cada corda.

⁹Nesse sentido podemos apontar os artigos “Por uma morfologia da interação” (MENEZES e Filho 2006) e “Morphological notation for interactive electroacoustic music” (Patton 2007) como seminais na definição dessa taxonomia.



Figura 1.4: Captador hexafônico GK-2A da Roland

Uma das principais opções comerciais é o captador GK-2A da Roland visto na figura 1.4. Ele funciona em conjunto com um módulo de hardware vendido separado que faz o trabalho de conversão de áudio para MIDI, incluindo ainda algumas funcionalidades, como arpegiador automático e mudança de canal controlados por pedal e banco de timbres. Outras soluções incluem o desenvolvimento experimental de hardware tanto na implementação do próprio captador hexafônico, quanto na construção de um módulo amplificador de seis canais separados.

Miller Puckette, descreve sua própria experiência na construção de um sistema interativo para guitarra preparada com captador hexafônico:

Eu estive trabalhando em um projeto de longo prazo para projetar um instrumento de música computacional para tentar trazer à tona e enfrentar algumas das dificuldades encontradas pelos músicos que tentam usar computadores em performance ao vivo. O instrumento é baseado numa guitarra elétrica compacta (Steinberger/Gibson), com um captador adicional de seis cordas separadas (Roland). Não encontrando um amplificador barato e compacto de 6 canais no mercado, eu projetei e construí um muito simples. Este é conectado a um computador usando uma interface multicanal PCI (Midiman). Um patch de Pd, rodando em linux, em seguida, executa uma série de transformações interessantes sobre os seis sinais de áudio, e mistura-os para saída em estéreo.

Isto é completamente diferente do padrão “sintetizador de guitarra”, que mapeia as cordas para conduzir sintetizadores. Tais instrumentos cometem muitos erros audíveis, e eles também sofrem com a latência adicionada do mapeamento. No instrumento aqui descrito, a latência de todo o processo é somente a do Pd propriamente, cerca de 10 milissegundos (provavelmente não é difícil reduzi-la a 5 ou 6

usando correções em tempo real do kernel, mas eu preferi usar uma distribuição pronta de linux) (Puckette 2009).¹⁰

Da mesma maneira como é mostrado em SInCoPA a análise de áudio operada em um sinal de áudio monofônico, poderíamos implementar um módulo de análise para cada uma das seis cordas de uma guitarra. O Pd é um ambiente de programação com bons recursos de análise de frequência e amplitude. Vários objetos são disponibilizados como filtros, conversores e algoritmos de estimativa de frequência fundamental. Podemos afirmar que a análise de áudio monofônico com objetos padrão do Pd tem uma boa estabilidade e precisão. Dentro do escopo desta pesquisa são aprofundados experimentos em análise de áudio monofônico, ainda que muitas vezes os testes tenham sido feitos com instrumentos polifônicos como violão e guitarra, executando linhas melódicas.

1.2.2 Representação musical

A análise do áudio de entrada em tempo-real é convertida em uma representação simbólica de elementos musicais. A primeira segmentação da análise de áudio, diz respeito ao nível da nota, sua frequência (pitch), amplitude e ataque. O resultado da análise de áudio é convertido em um fluxo de eventos MIDI.

Nessa pesquisa, optou-se pelo protocolo MIDI como um intermediário entre as descrições da análise de áudio e o conjunto de representações simbólicas envolvidas no sistema. Os algoritmos de geração de material musical usam formatos variados de representação musical além do MIDI, de acordo com a necessidade de cada caso.

¹⁰I've been at work on a long-term project to design a rather personalized computer music instrument to try to bring out and confront some of the difficulties encountered by musicians trying to use computers in live performance. The instrument is based on a compact electric guitar (Steinberger/Gibson) with an added six-string separated pickup (Roland). Not finding an inexpensive and compact 6-channel preamp on the market, I designed and built a very crude one. This is interfaced to a computer using a multichannel PCI interface (Midiman). A Pd patch, running in linux, then performs a variety of interesting transformations on the six audio signals, and mixes them to stereo for output.

This is entirely different from standard "guitar synthesizers" which pitch track the strings to drive synthesizers. Such instruments make lots of audible mistakes, and they also suffer from the added latency the comes from the pitch tracker. In the instrument described here, the latency of the whole affair is only that of Pd itself, about 10 milliseconds (it's probably not hard to reduce it to 5 or 6 using real-time kernel patches but I preferred to use off-the-shelf linux).

Muitos autores já discorreram sobre os limites da representação musical com o protocolo MIDI. O objetivo é usar o MIDI como protocolo de comunicação com outros programas para manipulação dos algoritmos geradores. De certa maneira a forte relação do protocolo MIDI com a música instrumental é um ponto positivo nesta pesquisa que prevê interação musical através de instrumentos tradicionais. A reação dos compositores de música eletroacústica em relação ao protocolo MIDI é bem exposto por Rodolfo Caesar:

A música eletroacústica e o protocolo MIDI não foram feitos um para o outro: a especificidade da primeira não encontra ressonância imediata no segundo. Se quisermos fazer uso do protocolo MIDI para a música eletroacústica, é preciso algum empenho contra suas limitações. (Caesar 1995)

Podemos entender esse tipo de reação, se pensarmos que o MIDI foi um padrão que percorreu desde os estúdios de música comercial até as pesquisas experimentais de música interativa nos anos 80. Robert Rowe explica:

As primeiras implementações de sistemas de som interativos eram feitas geralmente com *Musical Instrument Digital Interface* (MIDI) padrão. O padrão MIDI tem sido reconhecido desde o seu início por ser lento e limitado no seu âmbito de representação. A dependência de equipamento MIDI externo tem condenado uma geração de trabalhos interativos para a obsolescência, assim que o hardware necessário se torna indisponível. Máquinas mais rápidas e mais baratas tornaram possível nos últimos anos a realização de análise, síntese, amostragem, e os efeitos sobre a CPU de um computador de uso geral pessoal, em simultâneo com a execução do software em nível de controle. (Rowe 2005) ¹¹

MIDI é usado na prototipação de algoritmos que dizem respeito as questões de altura, duração e dinâmica. De maneira geral, não faz sentido usar MIDI em situações musicais que não são pensadas sob o paradigma da nota tocada. O que não é necessariamente uma regra, pois ainda nesses casos o protocolo MIDI pode ser útil.

No nível da representação simbólica, os dados são convertidos para MIDI e manipulados com estruturas híbridas como arrays e listas de números. Apesar de obsoleto, muito desen-

¹¹Interactive music systems in early implementations usually made use of the Musical Instrument Digital Interface (MIDI) standard. The MIDI standard has been recognized since its inception to be slow and limited in its scope of representation. Reliance on outboard MIDI gear has doomed a generation of interactive works to obsolescence as the requisite hardware becomes unavailable. Faster and cheaper machines have in recent years made it possible to perform analysis, synthesis, sampling, and effects on the CPU of a general purpose personal computer, simultaneously with the execution of control level software.

volvimento ainda é feito pensando no protocolo MIDI. O protocolo OSC¹² permite que sejam enviados pacotes de dados via rede pelo protocolo UDP/IP. Nesses pacotes podemos incluir mensagens MIDI inteiras ou fragmentadas e reconstruídas na extremidade de quem está recebendo. O modelo de representação musical no Pd é uma combinação dos principais protocolos disponíveis para música interativa. Isso permite uma definição híbrida na representação dos dados, como é o caso nessa pesquisa.

1.2.3 Segmentação e Classificação

Segmentação é o processo pelo qual, eventos musicais são organizados em grupos. Existem diversas razões que reforçam a importância da segmentação: primeiro, porque nós, seres humanos, percebemos música por trechos em vários níveis e um sistema interativo que procura emular o comportamento de um músico deve estar apto a formar grupos durante a análise, similar ao que o instrumentista percebe durante a escuta.

A implementação de um segmentador que simule o ato de escuta de um ser humano é um trabalho específico que foge do escopo desta pesquisa. Entretanto, podemos através da literatura da área e da experimentação criar pequenos mecanismos que incrementam a capacidade de segmentação do sistema.

O primeiro elemento a ser pensado na segmentação de um fluxo musical, são os silêncios. Na concepção de diálogo entre ser humano e máquina, é imprescindível que a máquina esteja preparada para reconhecer automaticamente as pausas no discurso. Cada pausa deve ser categorizada como respiração, fim de frase, fim de seção ou fim da peça.

Veremos que na implementação podemos definir um sistema híbrido de segmentação entre processos automáticos e processos de segmentação “manual” pelo músico. Quanto mais automático o processo de segmentação, mais refinado se torna o sistema de análise e classificação.

A classificação de durações passa por dois filtros. O primeiro é o classificador de estabilidade rítmica, que através da média das durações entre ataques de notas de um recorte de

¹²Open Sound Control

segmento calcula e classifica o segmento entre estável ou instável. Outro filtro classificador é o de densidade rítmica, que por sua vez classifica o segmento em questão entre alta e baixa densidade, podendo ainda estabelecer matizes entre os dois extremos. A classificação de alturas classifica contornos e probabilidade de recorrência de cada nota. A análise da direcionalidade e atratividade melódica pode ser abstraída em modelos de análise algorítmica (Lerdahl 2001), e atualmente vem sendo modelada para implementação em sistemas interativos (Graham 2011). A análise e classificação do timbre é extensamente apresentada e implementada em dois trabalhos, em (Brent 2009a) e (Monteiro e Manzolli 2011).

No caso dos geradores de processamento de áudio, a segmentação é feita através de um teclado alfanumérico modificado usado como pedal. A função do pedal é criar pontos no tempo que representam o começo de determinados processos. Por exemplo, o começo de leitura de um ponto de loop, ou o começo e fim de gravação de um segmento para ter o áudio processado.

Essa funcionalidade poderia ser expandida criando-se botões de controle e sensores, posicionados no próprio corpo do instrumento. Chegando próximo ao conceito de “instrumento aumentado” ou “*hyperinstrument*” (Machover e J. 1989). Apesar de fugir do recorte dessa pesquisa, essa possibilidade de expandir fisicamente o instrumento é um recurso muito útil em sistemas de música interativa. Isso pode facilmente ser feito com a plataforma Arduino¹³, integrada dentro do Pd.

1.2.4 Interação e Automação

Interação e Automação de certa maneira refletem ânimos tanto do fazer composicional de música instrumental, onde o compositor escreve em notação tradicional (automação) enquanto o instrumentista interpreta (interação). Ou então ao contrário como em alguns procedimentos de composição eletroacústica, onde o compositor interage com os materiais e as ferramentas no estúdio para gravar uma imagem sonora automatizada.

¹³Arduino é uma plataforma de prototipação eletrônica para aplicações interativas. Disponível em: www.arduino.cc

O diálogo musical é desenvolvido com o estímulo do instrumentista e a resposta do computador. Os dados da análise dessa execução, alimentam um leque de algoritmos interativos que têm seus parâmetros alterados pela análise. Nesse sentido podemos classificar os algoritmos composicionais em sequenciados, generativos e transformativos (Rowe 1993). Ao longo da descrição de SInCoPA iremos descrever algumas implementações dessas três categorias.

Uma característica de um sistema interativo é a capacidade de criar automações em tempo-real. Nesse sentido podemos pensar em um sequenciador que seja controlado em tempo real pela performance do músico. Diferentes graus de interação e automação são explorados ao longo do trabalho que prevê algoritmos generativos, baseados nos dados da análise. Além de algoritmos transformativos tanto do material musical simbólico, abstraído da análise, quanto do próprio áudio, como processamento de áudio através de fragmentação, repetição e processamento de amostras de áudio.

1.3 Poética da interação

A própria imersão nas técnicas de composição assistida por computador de certa maneira conduz uma estetização na concepção musical. Essa estetização visível pode ser considerada positiva, pois não existe a pretensão de com um sistema de interação homem-máquina simularmos precisamente a interação musical entre humanos. A intenção é aprofundar as relações de interação musical homem-máquina para a possível emergência de novas idéias expressivo-musicais.

A ferramenta enquanto objeto técnico povoa a imaginação do compositor. A possibilidade da gravação e repetição do próprio áudio emitido automaticamente cria uma paleta de possibilidades inventivas. Enquanto procedimento, a repetição sempre fez parte da linguagem musical. O desejo pela repetição pode ser um arquétipo presente em nossa cultura muito antes do surgimento das tecnologias de gravação de áudio. Uma espécie de variação da busca de obra de “arte total” idealizado por Richard Wagner:

Nos loops de áudio quanto mais semelhança entre as partes final e inicial, mais mascarada fica a emenda. Quanto mais disfarçada a parte da “cola”, mais garantido o efeito de um “sem fim”. A finalidade desta emenda bem-feita manifesta premonitoriamente (no século XIX), o desejo de “imersão” de algumas artes “digitais”, “multimídias” ou “tecnológicas”, projeto típico de décadas finais do século XX e início do XXI. O sonho da “obra de imersão total” – que portanto depende de um confinamento e um mascaramento - é criteriosamente representado no filme “Brainstorm” (1983), de Douglas Trumbull, no qual um grupo de cientistas inventa um gravador que registra integralmente as emoções humanas. O grau máximo e total de satisfação onanista é perseguido por um dos cientistas - personagem representando o mau uso da ciência - que finalmente realiza seu super-loop: Clip: trecho de “Brainstorm”, em que se vê o “mau” cientista aprisionado ao loop de seu orgasmo, gravado na companhia de uma prostituta, que não receberá royalties pelo uso de sua imagem. (Caesar 2008)

Alguns aspectos filosóficos sobre a questão da repetição na composição contemporânea, são extensamente desenvolvidos por Sílvio Ferraz no seu livro “Música e repetição: a diferença na composição contemporânea”:

O eterno retorno não pode significar o retorno do idêntico, pois ele supõe, ao contrário, um mundo (o da vontade de potência) em que todas as identidades prévias são abolidas edissolvidas. Retornar é o ser, mas somente o ser do devir. O eterno retorno não faz “o mesmo” retornar, mas o retornar constitui o único Mesmo do que devém. Retornar é o devir-idêntico do próprio devir. Retornar é, pois, a única identidade, mas a identidade como potência segunda, a identidade da diferença, o idêntico que se diz do diferente, que gira em tornodo diferente. Tal identidade, produzida pela diferença, é determinada como “repetição”. (Ferraz 1998)

Quando pensamos em estímulos composicionais, nos deparamos com expressões vagas de descrição de emoções e fragmentos de memória. Essas descrições ajudam o compositor a definir caminhos para criação de narrativas e objetos sonoros. O poder expressivo da música interativa é a capacidade de fusão e contraste em diversos níveis. Desde o nível cultural que prevê uma bagagem de idiomas e gestos próprios, tanto do domínio instrumental quanto do campo da computação musical, até o nível sub-simbólico, com as possibilidades de fusão espectral do som:

Para haver fusão entre as escrituras instrumental e eletroacústicas, será necessário que haja *transferências localizadas* de características espectrais de uma esfera de atuação à outra. Aquilo que se funde com outra coisa, assim o faz pela *similaridade absoluta*, com esta outra coisa, de ao menos um aspecto de sua constituição. Nesse sentido, tratando-se de sons eletroacústicos pré-elaborados em estúdio, a eleição do material constitutivo de partida adquire grande relevância: será mais

plausível trabalhar, sobre suporte, com sons oriundos dos próprios instrumentos do que com proveniências díspares, sem qualquer relação de origem com a materialidade corpórea dos instrumentos utilizados. Ainda que as transformações em curso possam ser bem drásticas, o uso de material constitutivo similar faz com que haja preponderância em conservar algum aspecto energético que confira identidade às texturas sonoras resultantes. (MENEZES e Filho 2006)

Na música interativa pode-se argumentar que a fusão se dá também no nível físico do gesto. Quando a interação é mais reativa e auditivamente reconhecível como diálogo interativo, a própria percepção do todo se aproxima de uma fusão sonora. Quando se define métodos de interação musical devemos levar em conta experimentos que explorem as fronteiras do que o músico entenda que seja uma escala de fusão sonora e gestual. Aí se coloca uma questão importante que é o papel do músico intérprete. A formação tradicional do intérprete musical nem sempre contempla as nuances e dúvidas presentes na construção de uma interpretação de música interativa.

Como quer que seja, na fusão instaura-se uma condição de *dúvida*. Em certa medida, fusão implica propositadamente, da parte do compositor, *confusão* para o ouvinte, o ouvinte recai em constantes dúvidas acerca da natureza daquilo que se ouve: se advém do instrumento ou da emissão eletroacústica, se se opera ao vivo uma dinamização espacial, harmônica, tímbrica e temporal da escritura instrumental ou se será defronte de estruturas pré-elaboradas em estúdio, constituídas a partir dos próprios instrumentos ou a estes timbricamente correlatas. Em relação a proveniência sonora, quanto mais “confuso” estiver o ouvinte em face daquilo que o ouve, tanto mais ele sentirá como efetivamente integradas as partes constitutivas da obra mista; os “dois planos” pressupostamente independentes e unidos apenas por contingência, ... Ainda que de forma alguma hegemônico, o *estado de dúvida* traduz-se como momento supremo da interação. (MENEZES e Filho 2006)

Certamente a dúvida é uma das características mais importantes na composição de música interativa. Nesse sentido, um aspecto fecundo é a dúvida do músico intérprete. O fato do instrumentista não conseguir entender/controlar a resposta da máquina pode levar a composição a um patamar de constante descoberta e inovação. Acredito que essa seja uma importante atitude composicional em um projeto de música interativa, pois leva o instrumentista a atitudes mais radicais na busca por variação e contraste musical.

O contraste, por sua vez, ancora-se sobretudo na diferença e na *distinção absoluta*. Em seus momentos mais acentuados, faz com que a emissão instrumental ou a

eletroacústica assumam o papel estrutural do silêncio ou, ao contrário, adquiram autonomia temporal e até mesmo excludente com relação à outra esfera sonora. (MENEZES e Filho 2006)

Fusão e contraste são aspectos que sempre estiveram ligados a prática composicional. Na composição de música interativa encontramos um ponto onde vários eixos se cruzam e diversos matizes de fusão e contraste podem conduzir uma poética musical interativa. O embate sonoro entre homem e máquina pode por fim revelar os aspectos essencialmente humanos que se possa expressar musicalmente.

Papel do músico na interação homem-máquina

Do ponto de vista do instrumentista, alguns aspectos podem ser apontados nessa pesquisa. Por um lado o gesto instrumental consiste no impulso inicial e também em uma espécie de “cola” narrativa. Por mais que se forneçam elementos de análise para o sistema computacional, as narrativas geradas tendem a ser repetitivas e óbvias. Nesse contexto se abre um campo grande para experimentação instrumental. Se pensarmos na lei da “boa continuidade” na *Gestalt*, podemos investigar que o instrumentista treinado tende a completar os espaços de pausa e realizar movimentos cadenciais. Criando significado narrativo para gestos a princípio ligados pelo vínculo com a análise do instrumentista, mas muitas vezes sem conexão interna.

Outro campo de possível investigação é a análise de em que nível a prática instrumental com um ambiente reativo como esse proposto aqui, influencia o gestual do instrumentista. Um estudo minucioso poderia incluir a avaliação do gestual instrumental antes e depois do contato do instrumentista com o sistema.

De certa maneira, o instrumentista treinado é o profissional mais preparado para conceber um sistema interativo dessa natureza. Primeiro porque conhece os detalhes de comportamento sonoro de seu instrumento a partir da prática instrumental ao invés da pura análise espectral. Em segundo lugar porque entende o idioma instrumental de maneira empírica. A complicada trama entre fisicalidade instrumental e narrativa sonora exige um conhecimento empírico sobre a prática instrumental.

Nesse capítulo foi exposta a linha geral de pesquisa que conduziu o desenvolvimento desse trabalho. Num primeiro momento, a problemática da pesquisa se voltou ao ato composicional através da computação e na relação das diferentes interfaces computacionais com o pensamento criativo musical. Se faz necessária uma reflexão sobre as diferentes ferramentas e linguagens computacionais levando-se em conta a mudança de paradigma compositivo colocado pelas novas tecnologias.

Foram expostos os principais conceitos referentes a análise e sua classificação em diferentes níveis de representação. Dentro de um projeto de música interativa é essencial a determinação de uma metodologia de análise que leve em conta a distância entre a representação física do fenômeno sonoro e a definição de elementos simbólicos musicais.

Ainda foram expostos conceitos capazes de influenciar um planejamento composicional em música interativa como por exemplo, a separação binária entre automação e interação. Por fim, foram expostas algumas reflexões sobre a possibilidade de uma poética presente na interação homem-máquina e sobre o papel do compositor-instrumentista na composição de música interativa. Os problemas conceituais aqui apresentados, apesar de não possuírem conclusões definitivas, são melhor apreciados e compreendidos ao longo da exposição técnica de SInCoPA.

Capítulo 2

Trabalhos relacionados

Neste capítulo serão abordados alguns trabalhos na busca de estabelecer conceitos para classificação de sistemas de música interativa. Com objetivo de situar o estado da arte e diferentes abordagens de desenvolvimento em sistemas dessa natureza. Ao longo do texto serão descritos e comparados alguns trabalhos que representam avanços notórios em composição algorítmica simbólica, técnicas de análise, notação e organização de música interativa. Nesse sentido procuramos localizar o desenvolvimento de SInCoPA (capítulo 4) dentro do mapa das referências atuais dos sistemas de música interativa.

O conceito de interação entre uma performance musical e computador vem sendo definido nas últimas 3 décadas, e possui diferentes nuances de definição a depender do contexto idiomático musical e da tecnologia em que é implementada cada obra musical interativa. A descrição “sistemas musicais interativos” é um termo introduzido no livro *Interactive Music Systems* (Rowe 1993) e definido como “sistemas de música computacional em que as mudanças de comportamento são responsivas a um estímulo musical”. Interação em um sentido mais global pode ser definida tanto como as ações do performer que afetam o resultado produzido pelo computador, como pelas ações do computador afetando os resultados do performer (Garnett 2001). Isso pode ser comparado à comunicação entre músicos no modelo de música de câmara tradicional onde dois ou mais músicos realizam música escrita, improvisada ou mista (Winkler 1993).

Em relações interativas mais complexas, “um compositor pode delegar vários papéis a um computador num ambiente de música interativa. Ao computador pode se dar o papel de instrumento, performer, regente, e/ou compositor. Esses papéis podem existir simultaneamente e/ou mudar continuamente”(Lippe 2001).

A pesquisa em sistemas musicais interativos vem nos últimos anos deixando de ser uma abstração teórica e se transformando em realidade concreta. O corpo de áreas de pesquisa compreende temas como cognição musical, computação e teoria e análise musical. Podemos apontar a multi-disciplinaridade dessa tese como pertencente ao escopo de uma disciplina genérica emergente denominada Desenho de Interação (ID)¹. A maioria dos tratados e especificações da ID se referem a interação para a web e interação homem-máquina focada em paradigmas comerciais. Ainda que esse trabalho busque uma maior interação homem-máquina num nível de funcionalidade auxiliar à poética musical, algumas idéias e pensamentos da ID foram úteis na organização do desenvolvimento do SInCoPA. Como por exemplo, os sete estágios da ação (Norman 2006) onde descreve que para descobrir o que torna a execução de uma tarefa difícil é necessário examinar a estrutura de uma ação. Ele propõe sete estágios: um para meta, três para execução e três para avaliação. A seguir cada estágio será detalhado. Formalizar a meta – o primeiro estágio refere-se a decisão de realizar alguma coisa, ou seja, estabelecer a meta a ser alcançada. A meta é algo a ser atingido, e nem sempre é bem definida. Formalizar a intenção – de acordo com Norman as metas não definem precisamente o que deve ser feito. Para se transformar em ações as metas precisam ser traduzidas em definições específicas do que deve ser executado, o autor denomina essas definições de intenções. As intenções são ações específicas que foram realizadas para atingir as metas. Portanto, após determinar a meta a ser alcançada deve-se determinar quais serão as ações a serem executadas para atingir a meta estabelecida. Especificar a ação – após definir as intenções, essas devem ser traduzidas por um grupo de comandos internos, ou seja, uma sequência de ações que possam ser desempenhadas de modo a satisfazer a intenção. Ressalta-se que até esta etapa tudo ocorre mentalmente. Executar a ação – com a sequência de ações definidas, deve-se colocar em prática o que foi estabelecido.

¹Interaction Design (ID) - traduzido livremente como Desenho de Interação

Ter a percepção do estado do mundo – esta fase está intimamente relacionada com a posterior (interpretar o estado do mundo). Neste momento, devem-se perceber as alterações ocorridas no ambiente que ocorre a ação. Interpretar o estado do mundo – após a percepção deve-se analisar e compreender o que ocorreu no ambiente em questão.

Avaliar o resultado – por fim, deve-se comparar o resultado obtido com a meta estabelecida para concluir se o que foi planejado foi de fato alcançado. Norman deixa claro que estes estágios não são regras, são apenas um modelo aproximado para compreender como os indivíduos fazem as coisas. Esses estágios podem facilmente ser pensados como um método para um design do desenvolvimento de um projeto interativo. Apesar da presente pesquisa não usar de maneira sistemática esse método, esses estágios podem servir como método de avaliação ao final do desenvolvimento.

Outra área emergente que possui muitas características em comum com esse trabalho é a disciplina que se chama "Realidade Aumentada" (RA), que é uma linha de pesquisa dentro da ciência da computação que lida com integração do mundo real e elementos virtuais ou dados criados pelo computador. Atualmente, a maior parte das pesquisas em RA está ligada ao uso de vídeos transmitidos ao vivo, que são digitalmente processados e "ampliados" pela adição de gráficos criados pelo computador.

A definição de Ronald Azuma sobre a Realidade Aumentada (Azuma 1997) é uma descrição genérica que pode nos auxiliar na delimitação teórica. Ela ignora um subconjunto do objetivo inicial da RA, porém é entendida como uma representação de todo o domínio da RA: Realidade Aumentada é um ambiente que envolve tanto realidade virtual como elementos do mundo real, criando um ambiente misto em tempo real. Azuma define a Realidade Aumentada como um sistema que:

- combina elementos virtuais com o ambiente real;
- é interativa e tem processamento em tempo real;
- é concebida em três dimensões.

Se pensarmos em uma realidade aumentada sonora, chegaremos a uma definição que se afina com alguns objetivos desta proposta. Um projeto similar nesta busca de interatividade sonora é o RjDj² - uma companhia que desenvolve programas de áudio para o telefone celular *IPhone*, baseado em Pure data. Cada programa é chamado "cena" e é feito em Pd. Cada "cena" se ocupa em explorar alguns aspectos sonoros do ambiente e interagir responsivamente com esses sons, criando uma outra narrativa com elementos reais a volta. A experiência de escutar sua voz distorcida, somada a outros sons do ambiente sonoro, provoca uma mudança de percepção até então explorada somente no circuito da música eletroacústica e experiências de laboratório. O RjDj possibilita experiências sonoras únicas, integrando o som do ambiente, inventividade sonora e re-combinação através de software. Pode-se considerar o RjDj um real experimento em realidade aumentada no campo sonoro, uma vez que uma "cena" pode "harmonizar" eventos sonoros acontecidos ao redor, ou modificar o andamento de uma música pelo sensor de movimento do telefone. Os inventores do RjDj, costumam chamar o sistema deles de "droga digital", pois é capaz de alterar o estado de percepção sonora, de acordo com a cena carregada e com os estímulos do ambiente e do usuário (BARKNECHT 2011).

Um aspecto importante em um projeto que envolva arte e tecnologia é a interação entre o desenvolvimento da ferramenta e o possível resultado musical que a ferramenta possibilita ou conduz. Um projeto próximo que influenciou essa pesquisa foi o "Navalha" (Soares 2009), desenvolvido no Pontão de Cultura Juntadados³. Um elemento relevante nesse projeto é a postura política alinhada com a dimensão poética e técnica.

Este projeto é um estudo para estimular uma atividade que torna-se cada vez mais evidente no universo do software livre e código aberto – a customização de software para idéias artísticas e para produção multimídia em geral permitindo aquele que visa criar desenvolver suas idéias abstratas partindo de maneiras rápidas de trabalhar com código, ao invés da lógica onde o artista é visto como um usuário de interfaces já prontas que ao tentar "prever aquilo que quer o usuário" também acaba impondo sua prática de uso. (Soares 2009)

O desenvolvimento do "Navalha" seguiu um caminho paralelo a outros projetos coletivos, experimentos em execução musical e instalações. Talvez essa seja uma característica de projetos

²Disponível em: <http://rjdj.me/>

³www.juntadados.org

de código aberto, onde o projeto não precisa estar “finalizado” para ser re combinado por outros artistas. Ambientes como o *github*⁴ permitem esse fluxo de código de diversos projetos em andamento. Nesse sentido SInCoPA se situa com uma postura semelhante, uma vez que a pesquisa do desenvolvimento tem incentivado outros projetos em instalações audiovisuais e criação musical.

O fato dos sistemas de música interativa terem como paradigma a criação de música em tempo-real, requer uma grande dimensionalidade de descrições, rápido aprendizado, respostas e efetiva capacidade de antecipação. O campo de pesquisa em sistemas musicais interativos (Rowe 1993) se consiste em sistemas de software e hardware criados para o fazer musical, mais tipicamente na performance de concertos ao vivo combinando máquinas e instrumentistas. A classificação de sistemas musicais interativos de Rowe prevê três dimensões de classificação de sistemas:

1. Programas dirigidos pela “partitura” (score-followers) ou dirigidos pela performance (interação pela improvisação);
2. Diferenças em relação ao método de resposta pelo sistema que pode ser: transformativo, generativo ou sequenciado.
3. Distinção entre paradigmas de construção do sistema. Podemos distinguir entre sistemas com paradigma no instrumento, com a idéia de estender virtualmente as capacidades tradicionais dos instrumentos gerando estruturas como hyperinstruments, (Machover e J. 1989). E finalmente sistemas calcados no paradigma do instrumentista que tentam construir músicos artificiais, uma presença musical com personalidade e comportamento próprios com graus diferentes de intervenção e influência do instrumentista (Rowe 1993).

O sistema SInCoPA, apresentado aqui no capítulo 4 pode se enquadrar como dirigido pela performance com respostas transformativas e generativas e tendo o paradigma de construção

⁴Disponível em: www.github.com

calçado no performer. minhas composições anteriores, escritas durante o mestrado, foram desenvolvidas utilizando a técnica score-follower construído em Max/MSP. Nesse caso o tipo de interação foi dirigido pela partitura com respostas sequenciadas e tendo paradigma no performer. Considero esse tipo de interação como um nível médio de interação, pois apesar do computador executar sozinho, ele sempre executa trechos pré-estabelecidos. No presente trabalho, iremos considerar como situação composicional ideal a possibilidade de “ensinar” certos comportamentos musicais apenas através da performance musical, ou seja, um ambiente que aprenda dinamicamente padrões de execução e resposta do músico humano e possa interagir com esses padrões, reiterando, competindo, negando ou propondo novas situações.

A pesquisa em computação musical tradicionalmente se utiliza de desenvolvimentos em redes neurais artificiais (ann – artificial neural networks), agentes inteligentes artificiais e outros ramos da pesquisa em inteligência artificial (IA); a produção musical oferece ótimos casos - teste para a pesquisa em IA (Rowe 2004).

Um bom exemplo de uso de redes neurais artificiais para composição musical é o sistema *SANTIAGO*, que é capaz de criar sequências rítmicas automáticas a partir de modelos rítmicos pré-estabelecidos ainda podendo ser controlado interativamente em tempo-real. O resultado é um gerador rítmico capaz de realizar contrastes e variações rítmicas bem “orgânicas”.

Cada pico neural em *SANTIAGO* produz um evento rítmico, em contraste com redes neurais artificiais regulares. Estes fluxos rítmicos podem variar de periódico ou quase-periódica a caótica ou estocástica e também gerar poliritmia. Este comportamento resulta em nem muito aleatório, nem muito uniforme e pode ser modificado de forma interativa enquanto a rede evolui. A atividade da rede, por exemplo, poderia ser ajustada para ser mínima ou densa gerando paisagens sonoras diferentes (Kerlleñevich 2011).

Os trabalhos atuais no campo da música interativa incluem ao mesmo tempo a análise de áudio em tempo-real, cognição musical e experiências em IA e robótica; um projeto inspirador nesse campo é o *MahaDeviBot* (Kapur et al. 2007), que é um robô percussionista armado de treze tambores, capaz de se sincronizar com um sitarista humano através de sensores.

Outros projetos relacionados podem servir como referência para esse trabalho como o *Cypher* (Rowe 1993) de Rowe que usa a metáfora da sociedade da mente (Minsky 1988) na forma de

músicos artificiais dentro de um sistema multi-agente - o Meta-Cypher inclui múltiplos ouvintes e performers além de um meta-ouvinte. O Drum Circle (Eigenfeld 2007) é um sistema escrito em Max/MSP e explora o uso de multi-agentes sobre uma rede local onde cada agente emula um percussionista improvisando em um grupo de tambores, tendo como resultante um ritmo evolutivo onde padrões rítmicos interagem através de competição e fusão, dando lugar a novos padrões emergentes.

Um dos projetos mais amplos nessa área é o projeto *Omax Brothers* (Assayag et al. 2006) desenvolvido no Ircam. Um sistema multi-agente criado para improvisação musical entre homem-máquina que aprende em tempo-real com o performer humano. O núcleo da improvisação é baseado em modelamento de sequência e aprendizado estatístico. O sistema envolve uma arquitetura híbrida usando dois ambientes populares para composição e performance, OpenMusic (baseado em Lisp) para modelamento e programação de alto nível e Max/MSP para a performance do sistema e processamento de áudio em tempo-real.

A maioria dos trabalhos de música interativa que usam alguma técnica de IA em sua composição, tratam dos aspectos simbólicos da composição e/ou análise musical. A utilização de um algoritmo de IA num caso específico depende do nível de detalhamento e descrição do problema a ser resolvido. Pode-se concluir que, como o aspecto simbólico da música é melhor descrito pela notação musical, a maior parte das pesquisas sobre IA e música se aplicam sobre estes mesmos aspectos simbólicos. Existe uma lacuna na literatura sobre análise e composição de aspectos sub-simbólicos em música. É necessário uma forte definição dos aspectos de representação do som e como esses aspectos ajudam a construir e expandir os elementos simbólicos para análise e composição.

Nesse sentido o sistema apresentado nesse trabalho (SInCoPA) apresenta definições consistentes de descrição dos eventos sonoros a partir da análise do áudio, até a definição de elementos simbólicos como notas e acordes. A estrutura do sistema é modular e de código aberto, o que permite a reutilização, ampliação e constante aprimoramento. Na prática o uso de SInCoPA permite o entrelaçamento dos níveis sub-simbólico e simbólico em projetos composicionais. Como por exemplo na composição “Diálogos em SInCoPA” (capítulo 5.2, onde a análise das

distâncias entre alturas consecutivas (nível simbólico) executadas pelo instrumentista controla parâmetros de construção do timbre de um sintetizador (nível sub-simbólico).

Alguns conceitos abstraídos do estudo da percepção são passíveis de implementação e portanto úteis ao universo de referências composicionais necessários ao sistema. Como por exemplo alguns conceitos da Gestalt aplicados à música. A Teoria da Gestalt, em suas análises estruturais, descobriu certas leis que regem a percepção humana das formas, facilitando a compreensão das imagens e idéias. Essas leis são nada menos que conclusões sobre o comportamento natural do cérebro, quando age no processo de percepção. Os elementos constitutivos são agrupados de acordo com as características que possuem entre si, como semelhança, proximidade e outras. O fato de o cérebro agir em concordância com os princípios Gestálticos já poderia ser considerado a evidência fundamental de que a Lei da Pregnância é verdadeira. São estas, resumidamente, as Leis da Gestalt: semelhança, proximidade, pregnância, boa continuidade, clausura e experiência passada.

A reflexão sobre as estruturas sonoras numa performance musical a partir do estudo da percepção com o olhar da gestalt, pode ajudar o compositor a estruturar um discurso interativo. Segundo Schachter:

Com o campo da interação, a percepção deve se tornar mais importante que a tecnologia. Com isso em mente, estratégias composicionais que incluam qualquer tipo de software para interação deve evitar uma dependência excessiva de plataformas específicas de computadores. Ao invés disso, a percepção da unidade da construção e a manipulação de diferentes níveis de controle em tempo-real e randomicidade ou níveis de organização aleatória, deve permanecer nas mãos do compositor/performer...Eu gostaria de apontar três abordagens principais ou referências para essas idéias sobre o discurso baseado na percepção:

1. A idéia do critério perceptual, baseado na teoria da Gestalt, começando com Max Wertheimer e seguido por Marc Leman.
2. A nova abordagem em relação a percepção na análise de cena auditiva por Albert Bregman.
3. A Tipo-morfologia de Pierre Schaeffer no seu “Tratado dos objetos musicais”, e a Espectromorfologia de Denis Smalley no livro “A linguagem da Música eletroacústica”, editado por Simon Emmerson. (Schachter 2007)

Marc Leman introduz um modelo que conecta processamento de sinal sonoro musical a análise musical e psicoacústica computacional onde interação se torna um problema central

(Leman 1996). Ele afirma que a percepção não deve ser entendida estáticamente, sem evolução temporal, mas como uma interação evolutiva entre um organismo e um estímulo.

Uma expansão desse pensamento pode ser visto nos autores da “neo-Gestalt” ao considerar a análise da percepção baseado nos princípios da Gestalt:

- Proximidade
- Similaridade
- Boa continuidade
- Encerramento
- Destino Comum

Essas idéias são extendidas na nova análise considerando-se que existem dois níveis de resposta ou estágios do processo perceptual.

- Automático, instintivo e sem esforço;
- Voluntário, aprendido e esforçado;

A teoria da Gestalt pode facilmente ser criticada pelo fato de ser baseada na descrição do processo de percepção e não prover um modelo que explique como se forma ou como é constituída a percepção humana, talvez os avanços das neurociências possam colocar à prova elementos da percepção sonora levantados pelos estudos da Gestalt. Apesar de não existir um modelo completo que explique a percepção sonora de maneira universal, alguns resultados dessas pesquisas podem ser úteis ao campo da composição. Alguns conceitos advindos da pesquisa em percepção sonora podem ser implementados ao sistema usados como parâmetros composicionais, como por exemplo direcionalidade, densidade, tensão e repouso, acumulação, proporção e relações diversas entre durações e ataques. Apesar de ser um campo de investigação ainda recente, a pesquisa em percepção pode oferecer muitos elementos ao desenvolvimento de sistemas de música interativa.

O projeto *pd2live* (Grahan 2011) é um sistema que combina a construção de *hardware* e *software* pra criação de uma guitarra elétrica aumentada. O *hardware* consiste em um circuito com um transdutor piezoelétrico para cada corda da guitarra. O que possibilita que se possa realizar análise de áudio em cada corda separada, gerando mais controle e precisão no mapeamento do gesto instrumental.

O sistema opera atualmente sob a base do evento-nota, armazenando dados de altura e amplitude por corda para utilização com uma série de abstrações instrumentais (predominantemente monofônicas) baseadas em teorias sobre cognição, abordando contorno melódico e sintaxe de improvisação (como conclusão linear, atração melódica, tensão, assimetria e extrapolação de notas sequenciais de eventos (Lerdahl 2001)). Abstrações de taxa de controle instrumental funcionam especificamente para atender ao conteúdo melódico apenas, sobre a quantificação (e extrapolação) de relações de atração tonal entre os tons e a extração de estruturas hierárquicas de contorno melódico (por corda - solo, e para todo o registro instrumental - global) em uma base de 4 a 7 notas, relativo a retrição da memória de curto prazo (Snyder 2000). Dados baseados em cognição podem então, ser aplicados à processos de controle de parâmetros do timbre e espacialização numa tentativa de refletir construções instrumentais baseadas na cognição (considerando a memória) dentro da estrutura sonora resultante, que potencialmente estabelece relações únicas de gesto instrumental dentro de um espaço instrumental físico (multi-canal) ⁵ (Grahan 2011).

⁵“The system currently operates on a note-event basis, storing pitch and amplitude data per string for use with a series of (predominantly monophonic) instrumental cognition-based abstractions, concerning melodic contour and improvisatory syntax (such as linear completion, melodic attraction, tension, asymmetry and extrapolation of sequential note-events; cf. Lerdahl, 2001). Instrumental control-rate abstractions function specifically to attend to melodic content only, concerning the quantification (and extrapolation) of tonal attraction relationships between tones and the extraction of hierarchical melodic contour structures (per string - solo; and for all instrumental registers - global) on a 4 to 7 note basis, relative to short-term memory constraints (cf. Snyder, 2000). Cognition-based data may then be applied to timbral and spatial parametric control processes in an attempt to reflect instrumental cognition-based constructs (in memory) within the resultant sound structure, potentially establishing unique performance gesture relationships within a physical (multi-channel) performance space.”

Considero o sistema *pd2live* como um exemplo do estado da arte no desenvolvimento de sistemas interativos que usam conceitos abstraídos da pesquisa em cognição como base para algoritmos de criação sonora por computador. A implementação dos algoritmos de *pd2live* é feita em Pd e além de ter uma forte semelhança com SInCoPA, abre um campo de possibilidades de fusão com outros projetos e diferentes aplicações. Entretanto, penso que existe uma lacuna nessa abordagem ao levar em conta apenas o aspecto das alturas executadas pelo instrumentista como base de dados para interação homem-máquina. Nesse sentido SInCoPA apresenta uma metodologia de classificação em tempo-real de aspectos como estabilidade rítmica, permeabilidade melódica e densidade rítmica. O que permite que o sistema tenha uma base de dados mais completa sobre o comportamento musical global do instrumentista e portanto, maior capacidade de gerar uma estrutura sonora “orgânica” como resposta ao estímulo musical.

Uma referência importante para a organização e análise de material sonoro baseada na análise do áudio e dos eventos sonoros é a *Spectromorfologia* exposta por Denis Smalley. Particularmente os conceitos binários de *Nível e Foco* e *Textura e Gesto*, investigando sua relação com o processamento ao vivo e com o diálogo interativo entre instrumentos e sons eletroacústicos.

A idéia de *Nível e Foco* tem a ver com interação e o grau de organização aleatória ou randômica envolvido. Nesse ponto Smalley diz que “..à nós precisa ser oferecido a possibilidade de variar nosso foco perceptual através de um registro de níveis durante o processo de escuta..”. Para sobreviver a repetidas audições, uma obra deve possuir esse potencial focal. Uma música mista para instrumentos tradicionais e eletroacústica, baseada numa estrutura aberta, não deve confiar na habilidade do ouvinte para descobrir os detalhes pequenos e escondidos da composição. A exploração focal dos níveis estruturais deve permitir diferentes modos de conectar perceptualmente os materiais sonoros com o mesmo discurso sonoro.

De acordo com as palavras de Smalley (Emmerson 1986), “gesto” tem a ver com trajetória, com a aplicação de energia e suas consequências; e é complementar a causalidade. O conceito de causalidade é essencial para qualquer tipo de projeto interativo e irá proporcionar os argumentos de um diálogo interativo onde ocorrências e consequências podem trocar seus papéis.

Figura 2.1: Trecho da notação da peça *The Foldability of Frames* de Kevin Patton.

Uma abordagem relevante da Espectromorfologia aplicada a composição interativa é vista na peça *The Foldability of Frames* (Patton 2007) para violoncelo, percussão e computador que combina notação musical tradicional e notação espectromorfológica (figura 2.1). O diferencial é que a notação espectromorfológica nesse caso é usada não como uma descrição pictórica da análise, mas sim como ferramenta de organização dos sons eletrônicos que dialogam com os sons instrumentais. O estado atual de SInCoPA permite que seja implementada uma abordagem semelhante ao combinar notação musical tradicional (ainda experimental, descrita no apêndice A.3) com recursos gráficos interativos desenvolvidos na plataforma GEM.

Capítulo 3

Ferramentas e Processo

Projetei o sistema apresentado neste trabalho (SInCoPA) para rodar em um computador com capacidade de processamento de áudio em tempo-real. As abstrações foram desenvolvidas com a linguagem de programação Pure data acrescida de algumas bibliotecas contidas na distribuição Pd-extended. Outras bibliotecas de código são acrescentadas na medida em que estas permitam compatibilidade de versões e portabilidade entre diferentes sistemas operacionais.

Durante o processo de escolha das ferramentas computacionais, optei por usar apenas programas e linguagens de código aberto. Uma das vantagens de trabalhar com programas de código aberto é que existe uma comunidade descentralizada de pesquisadores e desenvolvedores compartilhando pesquisas e resultados. O que cria um ambiente propício para testar, apontar soluções e validar uma pesquisa como esta.

Durante o desenvolvimento de SInCoPA, foram realizadas experimentações com prototipação de interface para usuário, e diversos experimentos sonoros em estúdio onde cada parte do sistema foi testada individualmente e em grupo. Nessa seção serão brevemente expostos os motivos pela escolha de determinadas ferramentas para o desenvolvimento dessa pesquisa.

3.1 Pd-extended

O Pure data (Pd), foi a linguagem escolhida para o desenvolvimento dessa pesquisa. Existem diversas distribuições do Pd, sendo as mais utilizadas o Pd *vanilla* e o Pd-extended. A versão *vanilla* se refere ao núcleo da linguagem mantida pelo criador Miller Puckette, e no momento de escrita dessa tese se encontra na versão 0.43. Já o Pd-extended conta com as contribuições da comunidade de desenvolvedores e usuários, onde foram incluídas diversas extensões para vídeo, gráficos, rede e novas funcionalidades para criação musical.

No atual momento, SInCoPA é construída dependendo do Pd-extended, porém, para o desenvolvimento futuro penso que o ideal seja que as abstrações de SInCoPA dependam, apenas da versão *vanilla*. A desvantagem de usar a distribuição Pd-extended é que a mesma depende de muitos outros componentes de software, tornando mais arriscada uma possível compatibilidade da pesquisa com sistemas futuros.

A vantagem de manter um projeto compatível com a versão *vanilla* é que o código não depende de bibliotecas externas ao próprio núcleo de desenvolvimento do Pd, o que garante maior compatibilidade futura. Outra vantagem é a portabilidade do código feito em *vanilla* para funcionamento com a *libpd* (Brinkmann 2012). A *libpd* permite que programas feitos em Pd sejam usados em projetos desenvolvidos com outras linguagens como C, Java, Python, por exemplo, e que seja portado para outros sistemas operacionais como *Android* e *IOS* projetados para rodar em telefones celulares e dispositivos móveis.

As principais bibliotecas do Pd-extended que são usadas em SInCoPA são *Unauthorized* e *GEM*. A primeira apresenta o objeto [probalizer] que tem uma boa interface para manipulação e cálculo de probabilidades dinâmicas. Enquanto que *GEM* é uma biblioteca para criação gráfica que pode ser usada como base para desenvolvimento de uma notação integrada ou um motor de visualização dos dados da performance e composição em tempo-real, como é mostrado no apêndice A.3.2.

3.2 Bibliotecas externas de Pd

Além do Pd-extended, essa pesquisa, necessita de duas outras bibliotecas, sendo elas a PDMTL e DIY2. PDMTL é uma biblioteca de abstrações de auxílio para criação audiovisual e apresenta bons métodos de manipulação de amostras e operações com listas. DIY2 é uma biblioteca de abstrações de módulos de processamento de sinal de áudio como *delays*, distorções, e *phase vocoder*.

Também são usados os objetos compilados em C [tabletool] e [timbreID] (Brent 2009b). O objeto [tabletool] é usado para manipulação e operações matemáticas em arrays. A biblioteca [timbreID] é uma série de objetos para análise e estimativa de parâmetros do timbre. O desenvolvimento de SInCoPA levou em conta a compatibilidade de uso das abstrações combinadas com outras bibliotecas em futuros projetos.

3.3 GNU/Linux

Durante toda a pesquisa, foi usado o sistema operacional GNU/Linux. As distribuições usadas foram Debian testing, Debian stable e Ubuntu LTS. Alguns motivos poderiam ser listados para justificar a escolha desse sistema operacional.

Um motivo relevante é a possibilidade de personalização do sistema operacional para concentrar o processamento nas partes necessárias ao funcionamento de SInCoPA. Nesse sentido o usuário de Linux pode escolher qual ambiente gráfico é mais adequado e refinar a performance do processamento de áudio e vídeo através de escolha de parâmetros de funcionamento do *kernel*.

Outro motivo importante é a visão de compatibilidade futura do trabalho. O usuário de Linux pode criar uma cópia exata do sistema operacional completo, permitindo recriar a configuração da pesquisa em outros computadores. O que também permite uma fácil distribuição do sistema desenvolvido nesse trabalho para outros artistas e desenvolvedores interessados.

Porém, gostaria de destacar a preocupação pela coerência de licenças de uso e distribuição, entre as diversas partes que compõe a pesquisa. O objetivo desse trabalho é construir programas usando componentes de software que usem as licenças GPL, ou BSD. O código resultante de SInCoPA também é disponibilizado sob as especificações da licença GPL, permitindo execução, estudo, redistribuição e aperfeiçoamento do código fonte.

3.4 Rosegarden e Lilypond

Rosegarden é um programa de criação e edição musical que roda em GNU/Linux. Possui diversas funcionalidades, mas nessa pesquisa é usado como sequenciador MIDI gráfico, que recebe mensagens MIDI em tempo-real através do Jack.

A vantagem é a possibilidade de editar graficamente o resultado do diálogo entre o áudio do instrumento convertido em MIDI e o resultado dos algoritmos dos geradores MIDI e harmonizadores. O Rosegarden usa dois editores gráficos, um em formato de piano-roll e outro em formato de notação musical. Uma sequência MIDI editada com o Rosegarden pode ser exportada para o formato .ly, que é o formato do Lilypond.

Lilypond é uma linguagem de marcação especializada em notação musical. Segundo a definição do próprio projeto:

LilyPond é um programa de gravação de música, dedicada à produção a partitura da mais alta qualidade possível. Ele traz a estética da música tradicional escrita para impressões de computador. LilyPond é software livre e parte do Projeto GNU.¹

O Rosegarden executa as sequências MIDI usando um servidor de arquivos SoundFont. Um arquivo SoundFont, ou “banco” SoundFont, contém uma ou mais amostras de áudio de onda, que pode ser re-sintetizados em alturas diferentes e níveis dinâmicos. Cada forma de onda amostrada pode ser associado a um ou mais intervalos de notas e dinâmica. De modo geral, a qualidade de um SoundFont banco é uma função da qualidade das amostras de digitais e da associação inteligente de amostras com as séries do campo apropriado. A qualidade da

¹Disponível em: <http://lilypond.org/>

soundfont também depende do número de amostras tomadas por um determinado intervalo de notas.

3.5 Jack

JACK é um sistema para o tratamento em tempo real de áudio de baixa latência e MIDI. Ele roda em GNU / Linux, Solaris, FreeBSD, OS X e Windows (e pode ser portado para outras plataformas POSIX-conformant). É possível conectar um número de diferentes aplicações para um dispositivo de áudio, bem como permitindo que eles compartilhem áudio entre si como pode ser visto na figura 3.1. Seus clientes podem ser executados em seus próprios processos (ou seja, como aplicações normais), ou podem ser executados dentro do servidor JACK (ou seja, como um "plugin"). JACK também tem suporte para a distribuição de processamento de áudio através de uma rede, tanto LANs com conexão rápida e confiável, bem como em WANs menos confiáveis e mais lentas.

3.6 Git

Git é um sistema de controle de versão distribuído, com código fonte livre e aberta, desenhado para lidar com qualquer projeto, com rapidez e eficiência. Uma grande vantagem é a facilidade de colaboração em desenvolvimento de código, onde outros desenvolvedores podem clonar o repositório da pesquisa e realizarem "*forks*", ou desenvolvimentos paralelos. Isso cria uma situação onde o resultado da pesquisa, em termos de programação, se torna um elemento vivo dentro da comunidade de músicos e programadores interessados em computação musical e música interativa.

Além da possibilidade de fácil manutenção de repositórios de código local, muitas empresas oferecem serviços de hospedagem gratuita de repositórios Git na internet. A escolha desse controle de versão se dá pelo estímulo a cooperação e continuidade dessa pesquisa para além

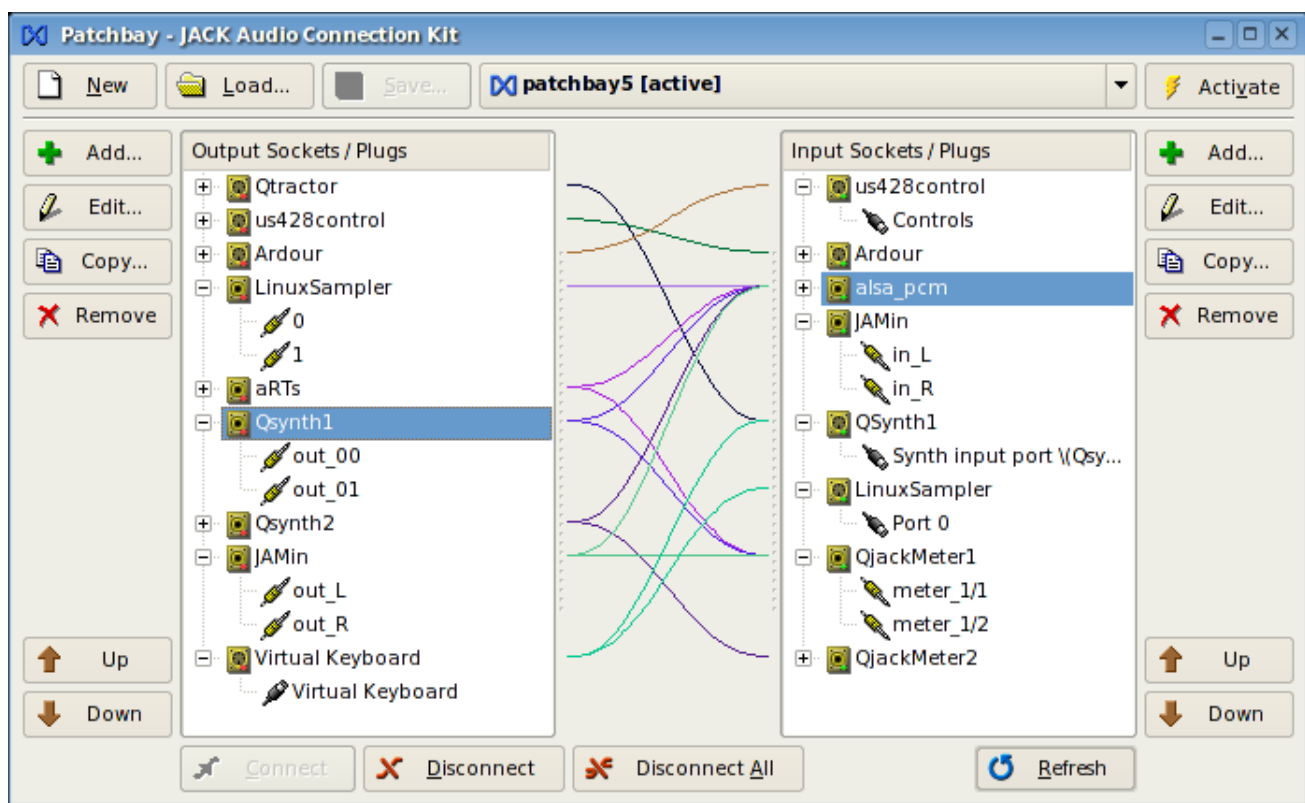


Figura 3.1: Interface de conexão de processos do Jack

do encerramento da tese, com a possibilidade de alguns resultados se proliferarem em outros projetos de pesquisa.

Capítulo 4

SInCoPA

Na teoria musical, a síncopa é um acento rítmico resultante da execução de som em um tempo fraco, ou parte fraca de tempo sendo prolongado até o tempo forte, criando um deslocamento da acentuação rítmica. Além de SInCoPA ser a abreviação de Sistema Interativo de Composição Performance e Análise, o termo se encaixa no sentido poético dessa pesquisa. Como uma metáfora, significando a busca de um gesto musical não determinado pela notação ou por uma pré-configuração de software que determine de forma dominante a narrativa musical.

Nesse capítulo serão expostas as abstrações desenvolvidas para o sistema, como também os protótipos e programas auxiliares desenvolvidos para explicar o uso correto das abstrações apresentadas. O conjunto de abstrações cumpre funções básicas necessárias a projetos de música interativa que relacionem análise de áudio e geradores musicais baseados nos dados da análise do áudio de entrada em tempo-real. Como é um sistema em contínuo desenvolvimento, muitos patches mostrados apresentam experimentos ou apontam elementos e idéias para futuras implementações.

Foi desenvolvida uma biblioteca de funções utilitárias em forma de abstrações, tornando fácil seu re-uso em outros projetos. As abstrações se dividem em 6 categorias:

1. Análise de áudio de entrada em tempo-real;

2. Geradores MIDI baseados no comportamento do áudio de entrada, com variações de controle, indo da mímese do sinal de entrada até um grau mais elevado de contraste rítmico e melódico;
3. Geradores de síntese sonora, também baseados no comportamento do áudio de entrada com diversos níveis de controle;
4. Módulos de processamento de sinal, usados no áudio de entrada e no áudio gerado pela comunicação MIDI;
5. Visualizador de notação musical do áudio de entrada e de saída;
6. Cenários de comportamentos interativos e Mixer de volumes responsivo;

Algumas abstrações são maiores e com funcionalidade mais geral, enquanto que outras são bem menores e mais específicas. Uma composição musical utilizando SInCoPA, consiste na concatenação de regras que coordenam os comportamentos das várias partes envolvidas. Esse conjunto de regras foi denominado de “cenário”. Na composição de um cenário o compositor escolhe, por exemplo, se determinado gerador deve ter um comportamento complementar ou contrastante em relação a algum parâmetro de análise.

4.1 Análise de áudio

Nessa seção serão apresentados os problemas e soluções específicos à análise de áudio.

É importante a flexibilização de parâmetros para facilitar o trabalho de calibragem para detecção e análise de fluxo de áudio. Também é importante a possibilidade de salvar os dados das análises e essa possibilidade deve ser destacada nas interfaces dos objetos de análise.

A interface gráfica dos objetos prevê visualização em tempo-real da atividade no módulo de análise e botões descritos para controle de parâmetros diversos.

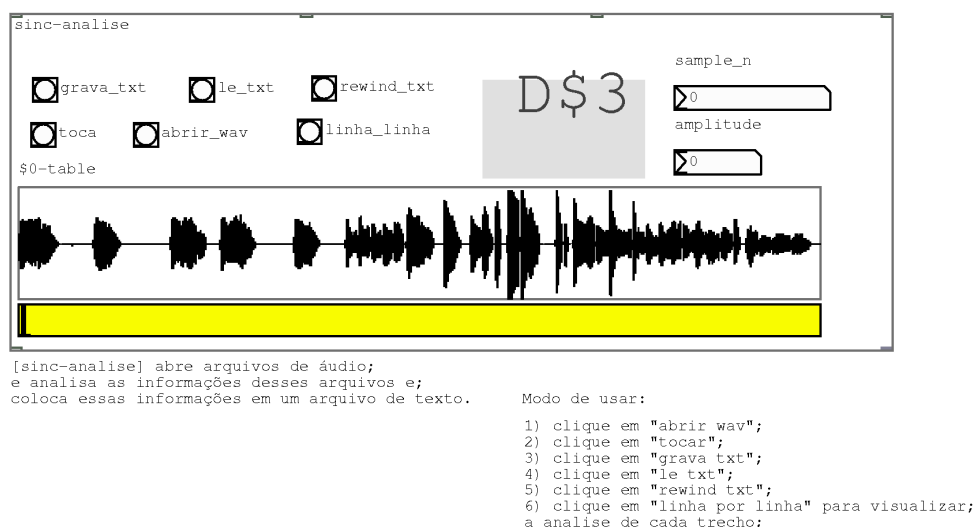


Figura 4.1: Objeto de análise de áudio [sinc-analise]

Um dos primeiros objetos desenvolvidos para análise é o [sinc-analise], mostrado na figura 4.1 que faz análise de fundamental e amplitude de ataque de cada nota. Esses dois parâmetros são colocados em uma lista, juntamente com a indicação de qual sample (localização) a lista se refere e são escritos em um arquivo de texto, podendo ser salvo em disco.

4.1.1 Entrada de áudio

Um elemento importante na interface é a visualização instantânea do fluxo de áudio. Aqui na figura 4.2 apresentamos uma solução prática e podemos ver uma outra abordagem na figura 4.3 baseada em análise FFT.

Objeto [sinc-audioin]

A entrada de áudio no pd começa com o objeto [adc~], e sempre segue um fluxo básico que passa por um objeto de multiplicação de sinal [*~] que permite um controle manual de entrada de áudio. Esse controle é necessário para ajustar a sensibilidade dos objetos que realizarão a análise de áudio. A abstração [sinc-audioin] na figura 4.2 permite o roteamento e visualização rápida de entrada de áudio de dois canais. No caso dos experimentos musicais envolvidos nessa pesquisa, foi estabelecido o canal 1 para o recebimento de áudio do programa Rosegarden, que

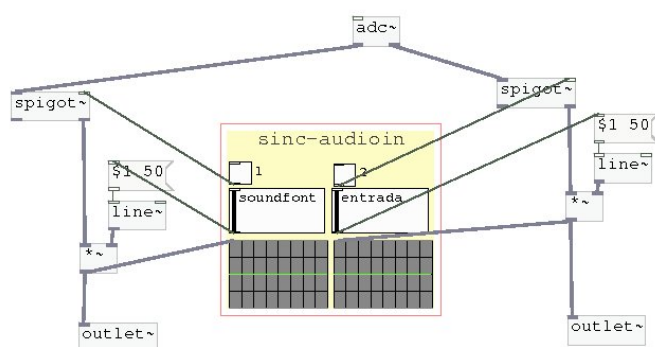


Figura 4.2: Entrada de áudio [sinc-audioin]

hospeda samplers do tipo *soundfont*. O canal 2 é usado para a entrada de áudio do instrumento. É necessário um objeto que funcione como uma chave de liga/desliga para o áudio. Para isso foi usado o objeto [spigot~] da biblioteca *Unauthorized* incluída no pd-extended. Quando o toggle([tgl]) é acionado com clique de mouse, ele envia o valor 1 pela saída que por sua vez está conectada na entrada fria do [spigot~], essa ação faz com que o áudio seja liberado pela saída do [spigot~]. Os volumes de entrada são controlados por objetos gráficos sliders ([hsl]), que tem a saída ligada a uma variável de parâmetro para o objeto [line~]. Nesse caso específico [line~] atua no sentido de se evitar cliques no áudio quando se muda o valor de amplitude que é enviado à entrada fria do objeto [*~]. Outro componente opcional, que é útil em situações práticas, é um visualizador gráfico de presença de sinal de áudio. Em [sinc-audioin] é usado o objeto [Scope~] da biblioteca *cyclone*, incluída no pd-extended.

Objeto [sinc-fft]

A abstração [sinc-fft] mostra graficamente uma janela de análise FFT com bloco de amostragem definido por [block~] em 1024. O que significa que o objeto [rfft~], irá retornar valores encontrados de amplitude e fase para 512 frequências múltiplas de 43 Hz, que é a frequência resultado da taxa de amostragem (44100) dividida pelo tamanho do bloco (1024).

A amplitude de cada parcial é retornada em pares reais e imaginários descritos em coordenadas polares. Podemos calcular as amplitudes convertendo as coordenadas do sistema polar para

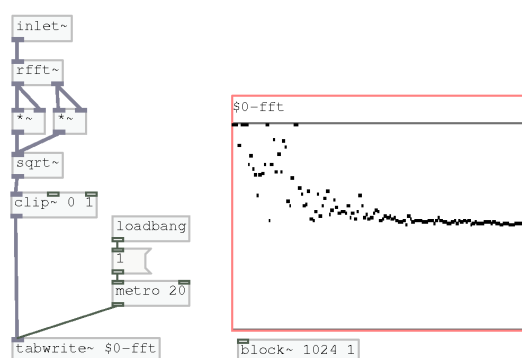


Figura 4.3: Visão interna de [sync-fft]

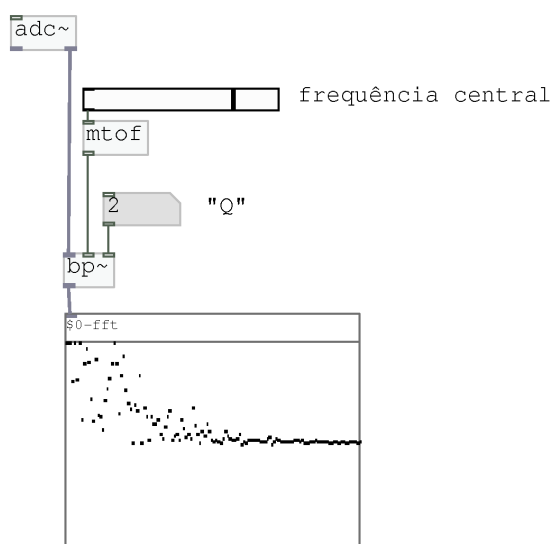


Figura 4.4: Exemplo de uso de [sync-fft]

cartesiano através da raiz quadrada aplicada a soma do valor real e imaginário elevados, cada um, à própria potência. Isso pode ser feito no Pd com os objetos `[*~]` localizados abaixo de `[rfft~]` realizando a potência e enviando o resultado simultaneamente para o objeto `[sqrt~]` que opera a raiz quadrada.

O objeto `[clip~]`, com os argumentos 0 e 1 apenas filtra os valores negativos para uma melhor visualização gráfica.

A presente abstração é muito útil em situações de filtragem de entrada de áudio em tempo-real, principalmente quando utilizados microfones condensadores que são muito sensíveis. A

visualização da análise FFT no array permite que se tenha uma boa medida na parametrização de filtros. Como é o caso do exemplo na figura 4.4. Onde a entrada de áudio passa por um filtro de áudio [bp~]. O filtro implementado em [bp~] deixa passar uma senóide ao redor da frequência central enquanto as outras frequências são atenuadas de acordo com o fator “Q”¹. Na entrada da esquerda é conectado o sinal de áudio, na entrada do meio é definida a frequência central e na entrada da direita se controla o fator “Q”. O resultado da filtragem é enviada para [sinc-fft] onde pode-se ter uma maior precisão na filtragem através da comparação gráfica.

4.1.2 Manipulação de amostras

Dentro do contexto de laboratório de prototipação, se faz necessário emular uma entrada de áudio em tempo-real com a execução de trechos de áudio sampleados ou um sintetizador simples com entrada de notas pelo teclado alfa-numérico do computador. Nesse sentido foram construídas algumas abstrações para facilitar o processo de desenvolvimento e teste.

Objeto [sinc-sample]

A primeira a ser desenvolvida foi a abstração [sinc-sample] mostrado na figura 4.5. Para essa abstração foi escolhida a abstração gráfica [file.browse] na área 1 circulada na figura 4.5 que lê os arquivos de determinado diretório e os lista eles graficamente possibilitando que o usuário clique no nome do arquivo escolhido, resultando em uma mensagem com a localização do arquivo. Essa abstração faz parte do pacote “pdmtl” de abstrações de pd. A execução do áudio é feita com o objeto [readsf~] que precisa de três mensagens: start, stop e localização do arquivo. O mecanismo grifado na área 2, mostra um objeto [trigger]([t]) realizando uma tarefa em 3 fases da direita para a esquerda:

- Aciona a mensagem com o caminho do arquivo a ser tocado
- Aciona a mensagem “start”

¹Para uma explicação completa sobre o fator Q : <http://en.wikipedia.org/wiki/Q-factor>

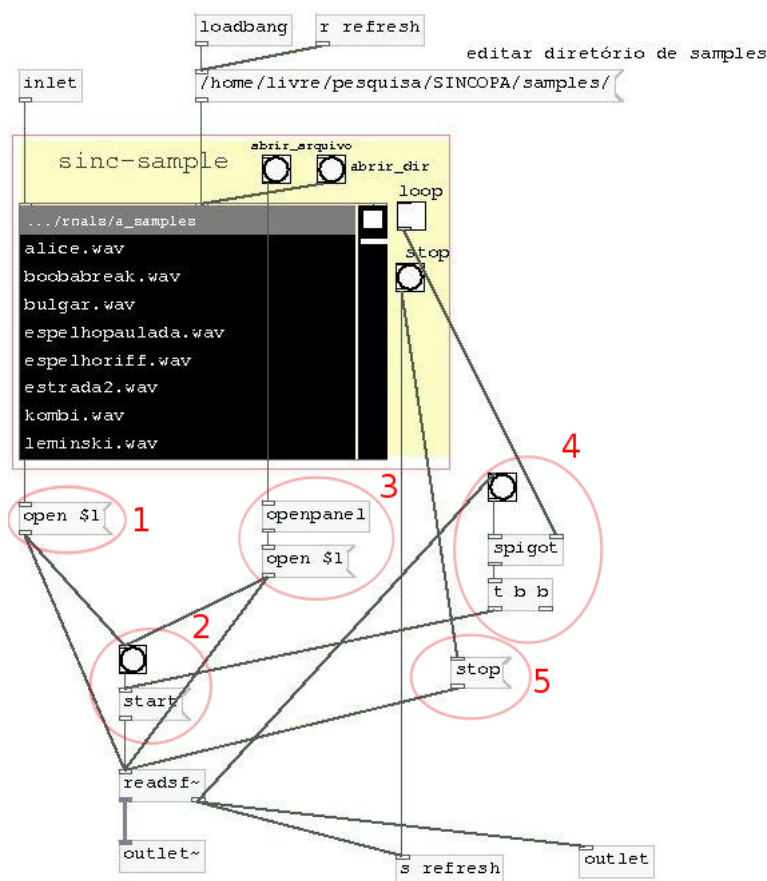


Figura 4.5: [sinc-sample]

- Recarrega a mensagem que atualiza o diretório a ser lido por [file.browser]

Outro aspecto dessa abstração é a possibilidade de tocar um arquivo de áudio em loop. Na área circulado 4 temos um [spigot] que atua como interruptor de um bang enviado pela saída direita de [readsf~], que por sua vez é enviado quando [readsf~] acaba de ler o arquivo inteiro. Se o toggle que está conectando com o [spigot] da área 4 estiver ligado, ele permite que o bang enviado ao final da leitura seja roteado para outro objeto trigger que aciona as duas primeiras fases descritas acima, realizando uma leitura contínua do arquivo de áudio escolhido.

4.1.3 Análise melódica

Existem diversos problemas de pesquisa relacionados com a análise melódica como por exemplo:

- Detecção de notas;
- Estimativa de nota;
- Conversão de fluxo de áudio em dados semânticos (MIDI);
- Permeabilidade melódica;
- Análise de contorno e direcionamento melódico;

Objeto [sync-audioanalyse]

Um dos fatores mais importantes para a prática de análise melódica em tempo real é a flexibilidade de refinamento dos parâmetros de análise. Esses parâmetros devem estar ao alcance rápido e documentados e sinalizados na interface.

O objetivo é reunir num só módulo, a detecção de ataques de notas (baseado no objeto [bonk~]) com a análise de frequências baseada no objeto [sigmund~], e ainda ligando o resultado das análises com objetos de conversão MIDI.

Nessa abstração procurou-se desenvolver uma interface que facilite a rápida prototipação e flexibilidade de parâmetros que podem se adaptar facilmente para diferentes fontes sonoras.

Como podemos ver na área 1 da figura 4.6, temos o controle de um slider vertical² controlando a amplitude geral do áudio de entrada. Esse controle é muito importante em situações em que se tem variações de amplificação entre ensaios e performance.

Na área 2 aparece um subpatch que pode ser visto na figura 4.7. Nesse subpatch podemos ver a organização dos parâmetros do objeto [sigmund~].

O objeto [sigmund~] faz análise de áudio no domínio da frequência e detecção de notas. Os parâmetros podem ser re-definidos em tempo-real através dos argumentos de criação do objeto ou através de mensagens como é o caso aqui.

Segundo a documentação no próprio manual do objeto:

²objeto [hslider]

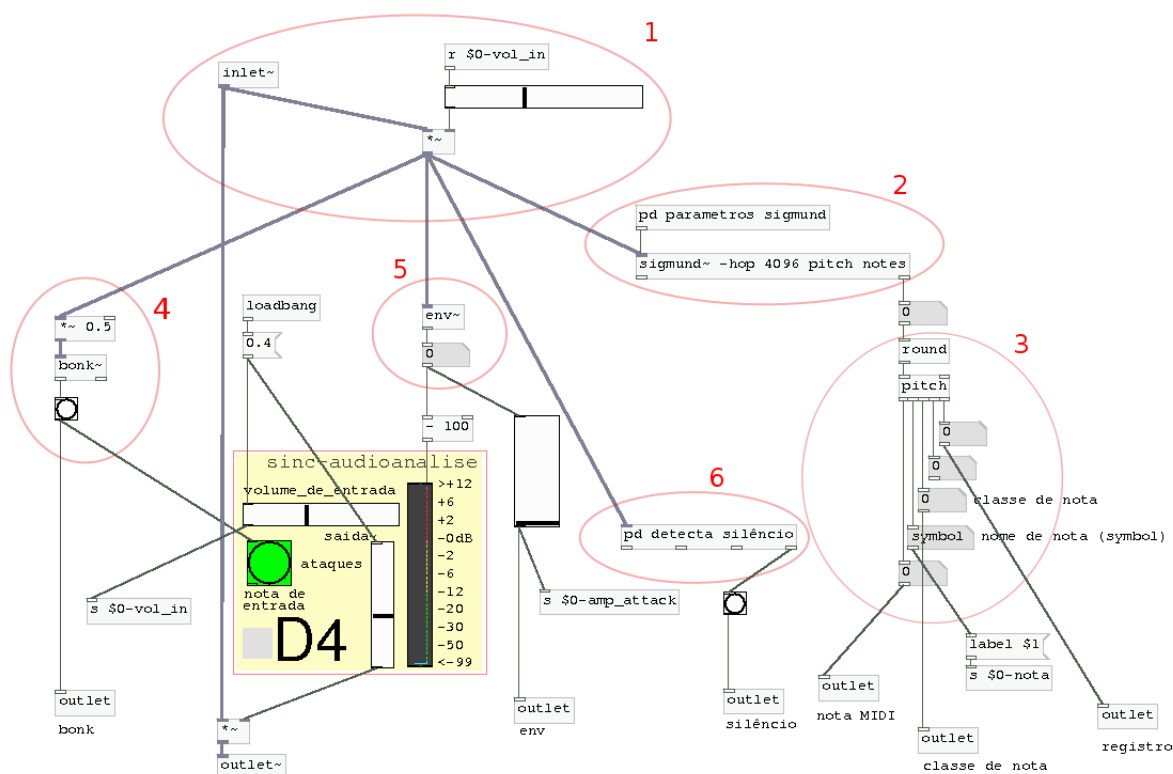


Figura 4.6: [sinc-audioanalyse]

Sigmund~analisa um áudio de entrada através de componentes senoidais, que podem ser retornados individualmente ou combinados para retornar uma estimativa de altura. Saídas possíveis são especificadas como argumentos de criação:

- pitch - saída constante
- notes - retorna a altura no começo das notas
- env - retorna amplitude continuamente
- peaks - retorna todos picos senoidais em ordem de amplitude
- tracks - retorna picos senoidais organizados em faixas separadas

Parâmetros que você pode definir (no argumentos de criação do objeto ou em mensagens):

- npts - número de pontos em cada janela de análise (1024)
- hop - número de pontos entre cada análise (512)
- npeak - número de picos senoidais (20)
- maxfreak - máxima frequência senoidal em Hz. (1000000)
- vibrato - profundidade de vibrato a ser esperado em semitons (1)
- stabletime - tempo (mseg) para esperar para reportar notas (50)
- minpower - mínima amplitude (dB) para retornar uma altura (50)

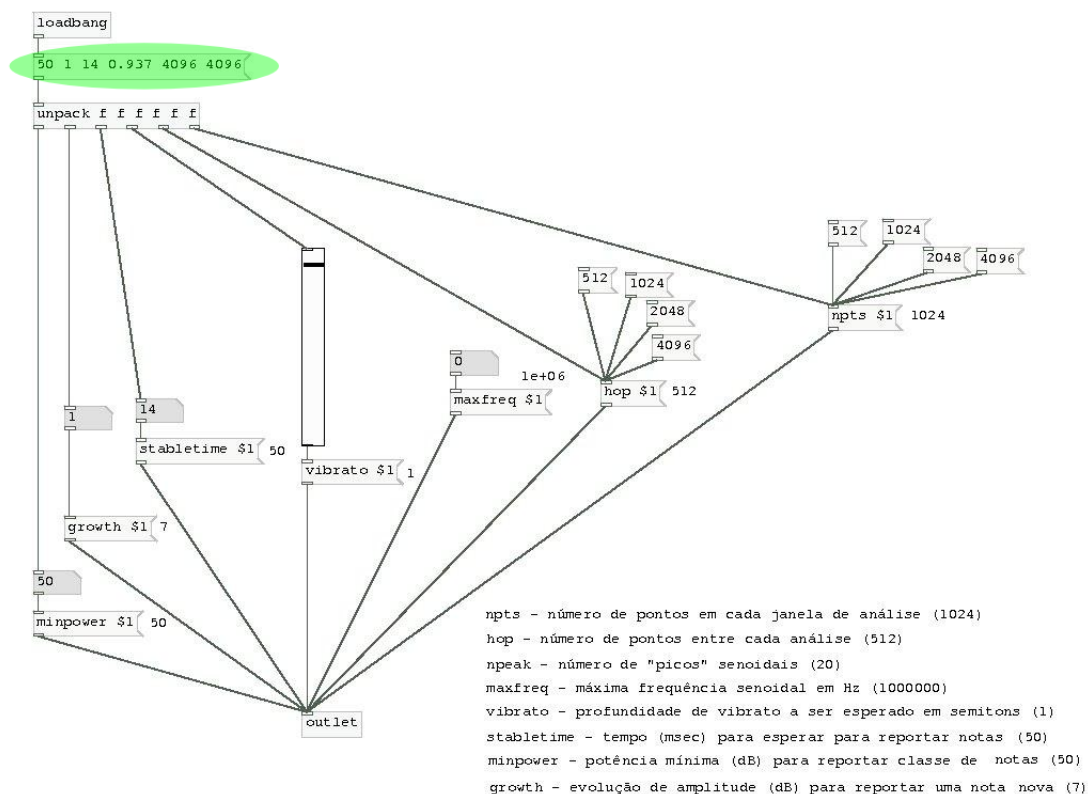


Figura 4.7: sub-patch que controla as configurações de [sigmund~]

- growth - crescimento de amplitude (dB) para retornar uma nova nota (7)

Os parâmetros $npts$ e hop são em número de amostras, e são definidos como potências de dois.³

3

Sigmund~analyzes an incoming sound into sinusoidal components, which may be reported individually or combined to form a pitch estimate. Possible outputs are specified as creation arguments:

- pitch - output continuously
- notes - output pitch at the beginning of notes
- env - output amplitude continuously
- peaks - output all sinusoidal peaks in order of amplitude
- tracks - output sinusoidal peaks organized into tracks

Parameters you may set (in creation arguments or messages):

- npts - number of points in each analysis window (1024)
- hop - number of points between each analysis (512)
- npeak - number of sinusoidal peaks (20)
- maxfreak - maximum sinusoid frequency in Hz. (1000000)
- vibrato - depth of vibrato to expect in 1/2 tones (1)

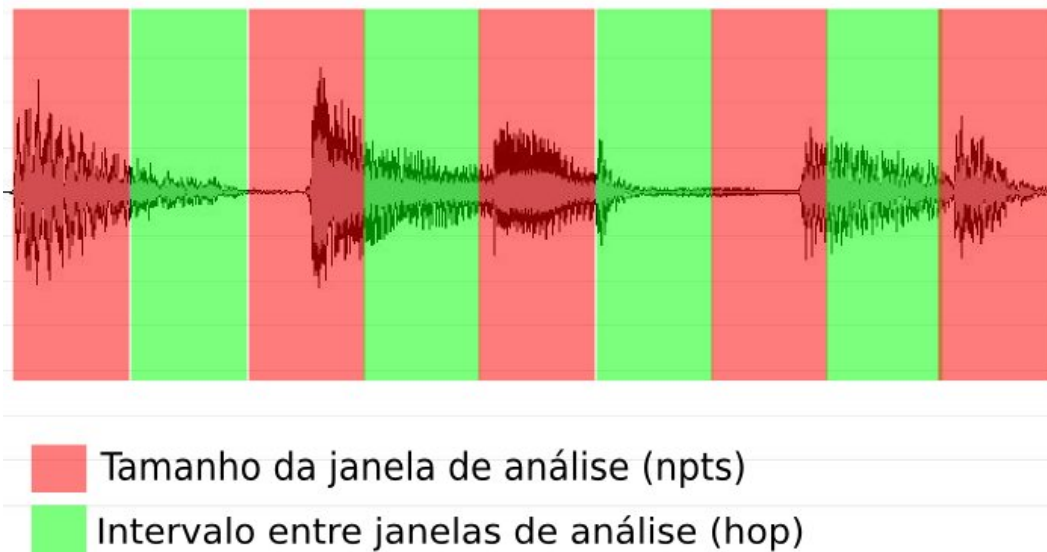


Figura 4.8: Tamanho de janela de análise (npts)

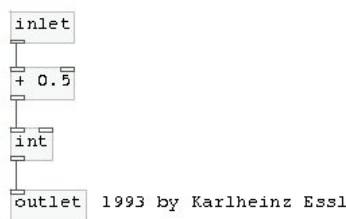


Figura 4.9: [round]

Nesse caso optou-se por pré-inicializar [sigmund~] com as opções : “-hop 4096 pitch notes” . Através de testes empíricos preferiu-se usar apenas a saída de “notes” por apresentar uma saída mais precisa para notas musicais. A mensagem em destaque na figura 4.7 representa a inicialização dos valores de todos parâmetros de [sigmund~].

Os principais parâmetros definem o tamanho da janela de análise. Nesse caso “npts” e “hop” tem uma relação direta por se tratar do tamanho da janela de análise e o espaço entre as janelas em samples como pode ser visto na figura 4.8.

- stabletime - time (msec) to wait to report notes (50)
- minpower - minimum power (dB) to report a pitch (50)
- growth - growth (dB) to report a new note (7)

The npts and hop parameters are in samples. and are powers of two.

Na área 3 vemos o objeto [round], presente na biblioteca RTC, responsável por arredondar o valor de entrada para cima. O arredondamento é feito com a soma de 0.5 e transformação do número do tipo float para tipo inteiro ([int]), como pode ser visto na figura 4.9.

O objeto [pitch] pertence a biblioteca maxlib, distribuída junto com o pd-extended e sua funcionalidade pode ser vista no próprio help do objeto na figura 4.10. A interface gráfica

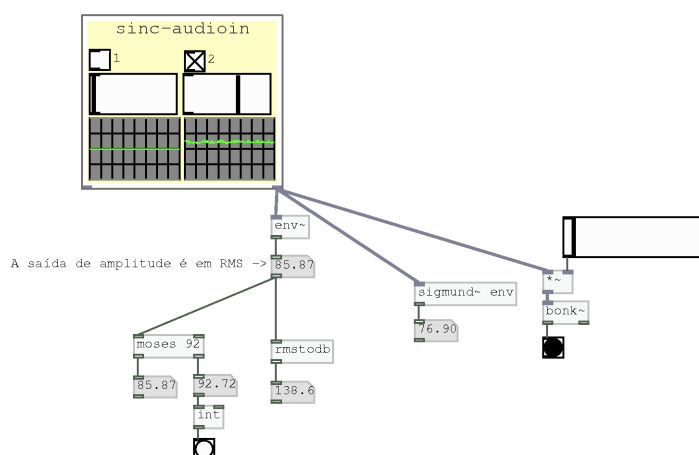


Figura 4.12: Métodos de análise de amplitude

de [sinc-audioanalise] mostra o pitch da nota detectada em tempo-real. A visualização é feita com o objeto canvas ([cnv]). A segunda saída do objeto [pitch] retorna um símbolo com a cifra e oitava da nota. Esse símbolo é enviado para o canvas com o método “label” através da variável \$0-nota. O objeto canvas aceita variáveis enviadas com o objeto [send], editando as propriedades do canvas (ver figura 4.11). A visualização em tempo-real é indispensável para calibrar a análise de áudio.

Na área 4 vemos o objeto [bonk~], desenvolvido para detectar ataques de notas. Segundo Puckette:

O objecto bonk faz filtragem com limite Q de um som de entrada e pode produzir a análise crua ou detectar inícios que pode então ser comparado com um conjunto de modelos espectrais conhecidos a fim de adivinhar qual dos vários tipos possíveis de ataque que ocorreu.

Os objetos fiddle e bonk são de baixa tecnologia, seria fácil para re-escrever os algoritmos em outra linguagem ou ambiente. Nossa principal preocupação é atingir comportamento aceitável e previsível e o usando técnicas fáceis de entender que não vão exigir uma carga computacional inaceitável em um computador moderno⁴. (M., T., e D. 1998)

⁴The bonk object does a bounded- Q filterbank of an incoming sound and can either output the raw analysis or detect onsets which can then be compared to a collection of known spectral templates in order to guess which of several possible kinds of attack has occurred.

The fiddle and bonk objects are low tech; the algorithms would be easy to re-code in another language or for other environments from the ones considered here. Our main concern is to get predictable and acceptable behavior using easy-to-understand techniques which won't place an unacceptable computational load on a late-model computer.

No Pd, outros objetos possibilitam a análise da amplitude, na figura 4.12 vemos 3 métodos. O objeto [env~] retorna o valor de amplitude de um sinal em RMS. O objeto [sigmund~] pode mapear a amplitude com a opção "env".

Ainda Puckette, aponta as vantagens de usar [bonk~] em vez de outros métodos.

A aplicação mais satisfatória desta análise está na detecção de ataques de percussão. A forma mais popular de fazer isso é usar um analisador de envelope e olhar para o rápido aumento na amplitude, mas qualquer tipo de toque pode definir sequências de ataques indesejados, ou ao contrário, pode mascarar ataques verdadeiros. A análise utilizada por bonk muitas vezes pode detectar ataques novos que aparecem como afiadas mudanças relativas no espectro sem qualquer acompanhamento na mudança na amplitude global; reciprocamente, os instrumentos musicais não costumam mudar o espectro rapidamente e, portanto, não atraem a atenção de bonk⁵. (M., T., e D. 1998)

A biblioteca Aubio de Paul Brossier também contém um objeto especializado em detectar ataques de áudio [aubioonset~].

Na área 5 vemos o objeto [env~]. Esse objeto recebe um sinal de áudio e retorna a amplitude RMS em decibéis (com o valor 1 normalizado para 100 dB). A saída tem o limite inferior em zero. O algoritmo de análise interna de [env~] usa uma janela de análise do tipo "Hanning"(raised cosine). Uma boa aplicação de [env~] é enviar o resultado da saída para o objeto [dbtorms] que transforma os valores em decibéis em uma escala linear, que é uma distribuição melhor para visualização gráfica da variação de amplitude.

Na área 6 vemos um subpatch responsável por detectar silêncio. Na figura 4.13

Nesse sub-patch vemos 4 sub-áreas. Nessa implementação está sendo usada apenas a terceira saída que é a saída do módulo de detecção de silêncio. O módulo da sub-área 3 basicamente compara as amplitudes que recebe com relação ao tempo. Nesse algoritmo, se a amplitude de entrada for menor que 45 dB durante mais de 100 milissegundos um silêncio é detectado.

⁵The most satisfying application of this analysis is in detecting percussive attacks. The most popular way of doing this is to use an envelope follower and look for rapid rises in follower output; but any kind of ringing can set off trains of unwanted attacks, or oppositely, can mask true attacks. The analysis used by bonk can often detect new attacks which appear as sharp relative changes in the spectrum without any accompanying large change in the overall power; conversely, ringing instruments don't often give rapidly changing spectra and hence don't attract bonk's attention.

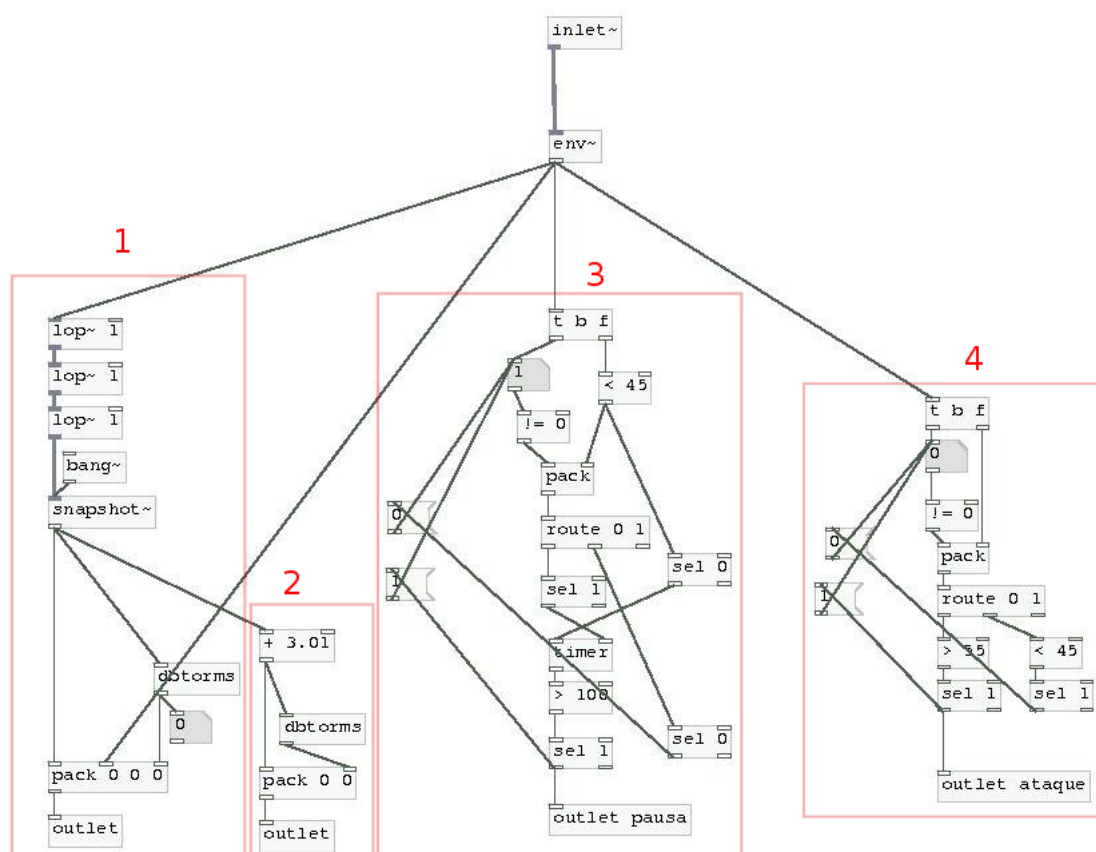


Figura 4.13: sub-patch que detecta silêncio no áudio de entrada

Contorno Melódico

As operações com contornos são uma ferramenta poderosa para composição musical (Sampaio 2008). A manipulação de contornos pode ser aplicada a qualquer parâmetro musical. No Pd, qualquer dado pode facilmente escrito e lido em arrays gráficos. Ainda com a possibilidade de se desenhar no array com o mouse, podemos dizer que programar/compôr no Pd cria uma forte sinestesia visual - sonora, semelhante a escrita com notação musical tradicional.

Segundo Silva

O estudo de contornos é importante porque, assim como conjuntos de notas e motivos, contornos podem ajudar a dar coerência a uma obra musical. Eles representam estruturas musicais manipuláveis através de várias operações como inversão e retrogradação, e podem ser abordados tanto do ponto de vista da análise quanto da composição.

(Sampaio 2008).



Figura 4.14: Patch mostrando um contorno e sua forma normal

Iremos mostrar algumas maneiras como observar, guardar e comparar contornos de modo que possam ser úteis na construção de um diálogo interativo.

Dentro dessa pesquisa, as operações com contornos servem à análise do material musical, de onde podemos extrair informações da performance. E também como geradores de material musical, aplicando operações diversas, como veremos na seção 4.3.3. A primeira operação para análise de contornos é a redução para a forma normal. Segundo Silva:

A forma normal de um contorno ocorre quando seus elementos aparecem em ordem temporal de ocorrência, e com valores definidos de 0 (menor valor) a $n - 1$ (maior valor), onde n representa o número de elementos do contorno. A operação de translação aplicada a um contorno retorna a sua forma normal (Marvin e Laprade 1987, p. 228). Esta operação consiste em redefinir o elemento de menor valor para 0, o segundo elemento de menor valor para 1, o terceiro para 2, e assim por diante. Por exemplo, o contorno P(5 9 6 8) tem forma normal F(0 3 1 2), pois P0, elemento de menor valor, é redefinido para 0, P2, segundo elemento de menor valor, para 1, P3, terceiro de menor valor, para 2, e P1 para 3.

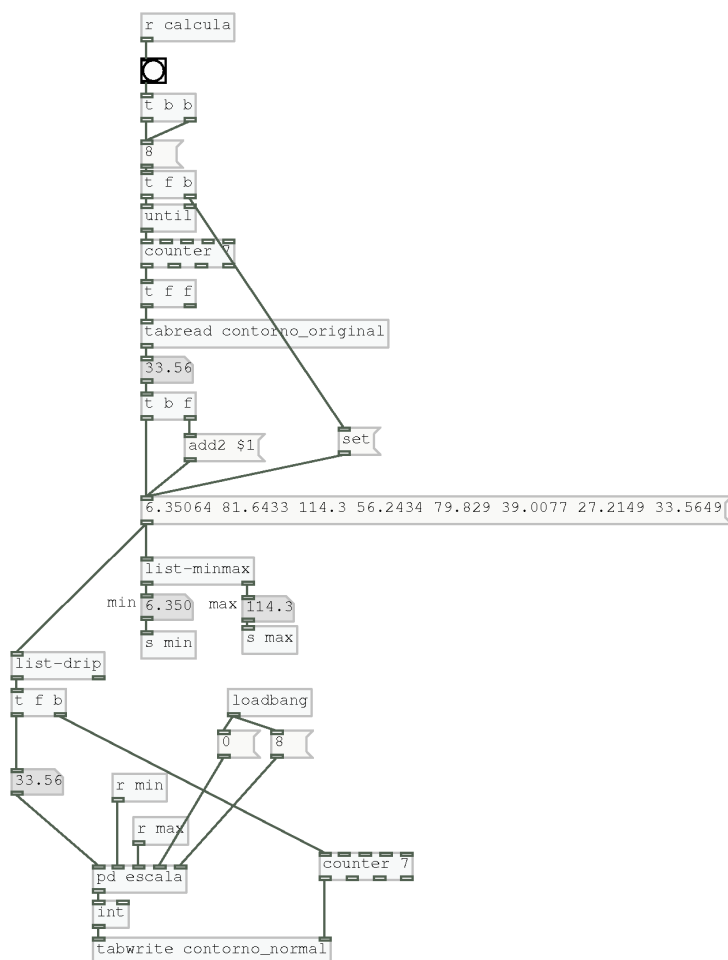


Figura 4.15: Operação de redução de um contorno à sua forma normal

No Pd, podemos ver um patch que faz a redução do contorno à forma prima na figura 4.14. Nesse patch, o array “contorno_original”, tem oito elementos, variando de 0 a 127 podendo ser alimentado pelo valor de pitch de um fluxo MIDI. A forma normal é calculada dentro do sub-patch [pd function contorno normal], e após o cálculo o resultado é escrito no array abaixo “contorno_normal”.

Na figura 4.15 vemos a operação de redução à forma normal. Onde primeiro é feito uma leitura do array original com [until] e [tabread]. Após a leitura é calculado o valor mínimo e máximo com o objeto [list-minmax] e os dois valores são enviados com as variáveis globais [s min] e [s max].

O mapeamento dos valores é feito de forma linear, usando o patch mostrado na figura A.6. Nesse caso, o menor valor irá equivaler a zero e o maior valor equivaler a oito, que é o número

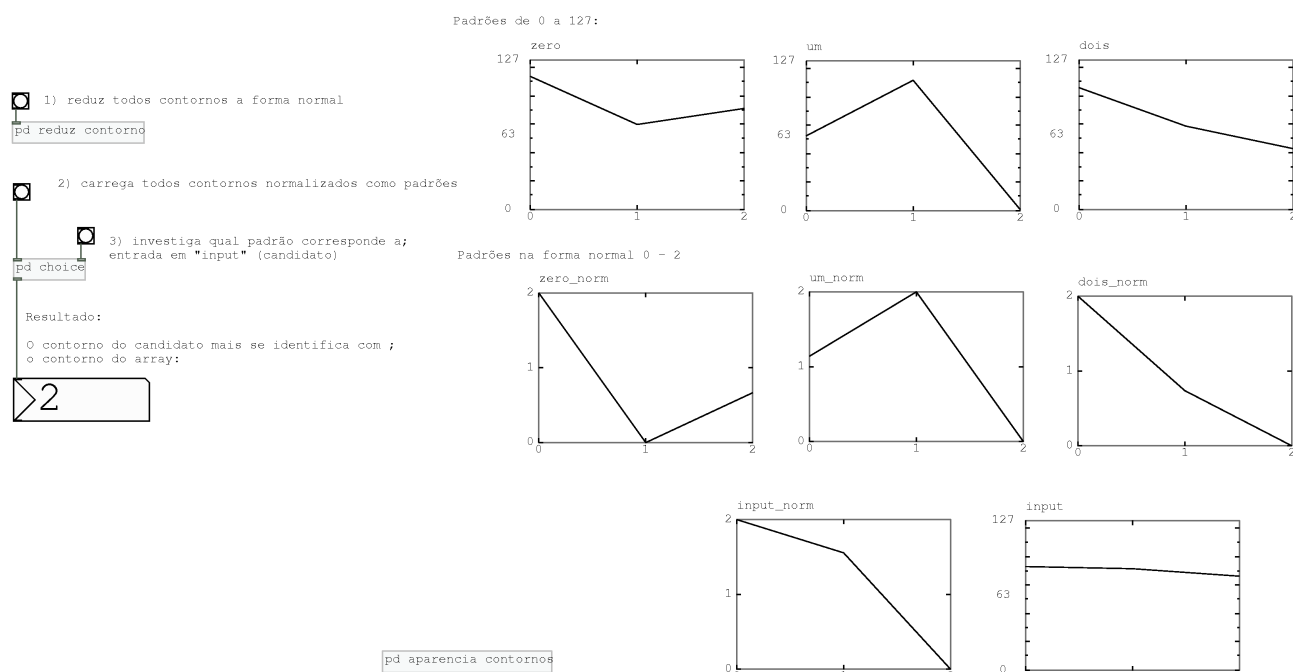


Figura 4.16: Experimento de análise de similaridade de contornos baseado em banco com 3 modelos

de elementos do array. Ao final ainda os valores são convertidos para valores inteiros, antes de serem escritos no array de resultado.

A análise da similaridade entre contornos é uma ferramenta importante dentro de um sistema de composição interativa, pois pode revelar emergência e dissolução de padrões de execução e improvisação. Existe uma crescente bibliografia sobre análise de similaridade de contornos, como no artigo “Testing models of Melodic Contour Similarity” (Schmuckler 1999), onde o autor expõe e compara diversos modelos de análise, tanto baseados em teoria musical, quanto em modelos abstraídos de experiências em cognição musical.

A devida análise de similaridade de um contorno melódico deve levar em conta todos aspectos envolvidos como o timbre, relações de duração e intensidade de cada ponto do contorno. Apesar da estimativa de similaridade de contornos ser um objeto de pesquisa vasto e complexo, consideramos que abordagens mais simples podem ser úteis no desenho de um sistema de composição interativa. Apresentamos aqui um primeiro experimento de análise de similaridade, aplicado em contornos de apenas três elementos. A idéia é que alimentar um banco

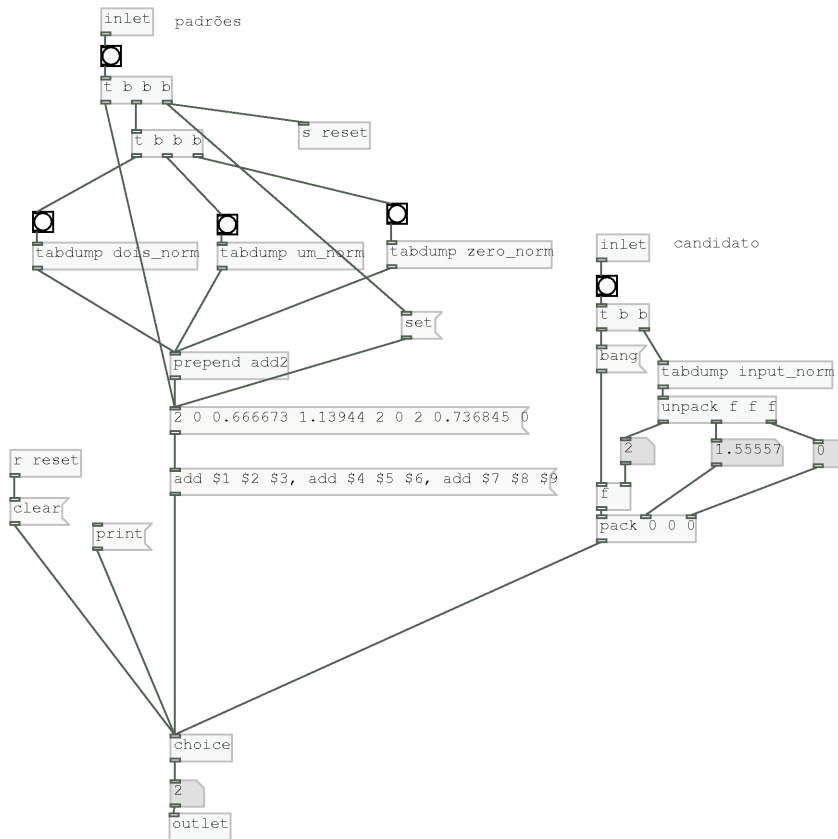


Figura 4.17: Patch que calcula o índice de similaridade entre contornos

com três contornos estocados e a cada novo contorno que chega, o sistema devolve o índice do contorno estocado mais similar. A interface do experimento pode ser vista na figura 4.16. A primeira etapa do experimento é a redução de todos os contornos à forma normal.

Na figura 4.17 vemos o interior do sub-patch [pd choice]. Onde os três contornos na forma normal são enviados ao objeto [choice], cada um precedido da mensagem “add”. A cada lista que chega em [choice], o objeto retorna o valor da lista estocada que mais se aproxima.

O objeto [choice] estoca uma lista de vetores, cada um podendo ter até dez elementos. Quando mandamos uma nova lista de números, é retornado o índice do vetor conhecido que se combina mais proximamente com a nova lista. A qualidade da combinação é o produto interno dos dois vetores após outra normalização interna. O vetor que tem a direção mais próxima da lista/vetor de entrada ganha e seu índice é enviado para a saída. Esse objeto pode ser usado

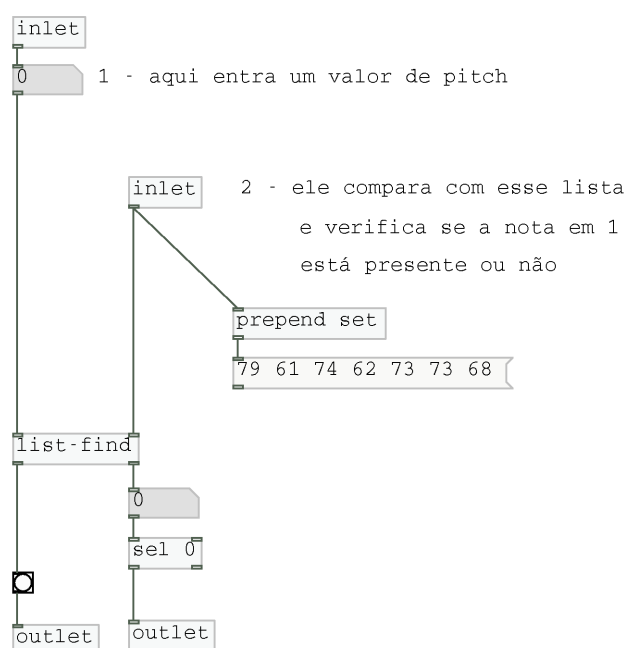


Figura 4.19: Patch que ananlisa a ocorrência de uma classe de nota em uma lista de classes de notas

e dissonância se tornam irrelevantes: tensões e distensões podem ser obtidas com qualidades estatísticas da forma, como relação de registros, densidade ou tipos de tecido das estruturas [...] A perda da sensibilidade perante os intervalos conduz a um estado que poderíamos chamar de permeabilidade. Isso significa que estruturas de diferentes qualidades que transcorrem simultaneamente podem interpenetrar-se e mesmo dissolver-se completamente mudando apenas as relações de densidade horizontal e vertical, sendo indiferente, em princípio, quais intervalos se cruzam em detalhe [...] Embora a permeabilidade não tenha tido, até o momento, nenhuma influência decisiva sobre a forma, não era desconhecida nos estilos musicais antigos. Quem teve o grau mais baixo de permeabilidade até agora talvez tenha sido Palestrina, em cuja música vozes simultâneas, reguladas por leis expressas univocamente, enrolavam-se umas na outras. As possibilidades de combinações intervalares, fortemente fixadas, não permitiam a menor ambigüidade no transcurso das estruturas; portanto, as relações entre dissonância e consonância estavam tratadas, naquele estilo, com o maior cuidado. (Ligeti 1958)

Ligeti fala aqui sobre uma permeabilidade dos intervalos de altura, pode-se pensar em ampliar, e implementar no sistema, esse pensamento de permeabilidade para conceitos como permissividade evolutiva, como por exemplo, a permissividade de emergência de estruturas derivadas do material da própria análise do timbre do áudio de entrada. Outro exemplo poderia ser

a emergência de certos comportamentos contrastantes em trechos isolados do material. A permeabilidade de alturas pode ser um parâmetro de análise das alturas de uma performance em tempo-real. Outra possibilidade de aplicação pode ser o controle geral da permeabilidade de alturas, tendo o sistema a capacidade de classificar a porcentagem da permeabilidade envolvida em cada trecho.

A insensibilidade frente aos intervalos e a grande permeabilidade é ainda mais importante na música de Cage e seu círculo, proveniente de princípios totalmente diferentes. Existem obras de Cage que podem ser executadas tanto isoladamente quanto de forma simultânea com outras partituras onde, então, cada peça se transforma em capa de uma possível superposição que, se bem será mais densa que suas componentes, não está composta de forma diferente delas. A indiferença de tais estruturas, resultado de manipulações com o acaso, está estreitamente relacionada com a indiferença dos produtos automáticos da música serial primitiva. Essa indiferença tende também, por sobre as relações intervalares, para uma ampliação das outras dimensões musicais. Uma vez eliminadas as relações hierárquicas, afrouxadas as pulsações métricas simétricas, transposto os graus de duração, de intervalos e de timbre das distribuições seriais, torna-se cada vez mais difícil controlar os contrastes. (Ligeti 1958)

O objeto [sinc-permeabilidade] apresenta um primeiro estudo sobre o cálculo da permeabilidade melódica aplicada em composição interativa. A idéia é verificar a presença de um valor de classe de nota em uma lista de valores dinâmicos. Na figura 4.18 podemos ver um [inlet classe de nota] que envia o mesmo valor para o array [\$0-nota] e para a abstração [colecacao_vs_pitch]. O array [\$0-nota] colecciona as últimas seis classes de notas e envia uma lista com todos os valores através da variável [send lista_pitch]. Na figura 4.19 podemos ver a estrutura da abstração [colecacao_vs_pitch] que verifica a ocorrência da atual classe de notas dentro das últimas seis classes passadas. O resultado é enviado para o contador [counter] e quanto mais notas “novas” surgem, maior é o índice de permeabilidade melódica.

Podemos pensar no conceito de permeabilidade como uma técnica composicional que pode ser quantificável, portanto passível de ser implementada em um programa de computador e agregada ao sistema que aqui se propõe. Esse conceito pode ser aplicável aos outros parâmetros do som e radicalizando esse pensamento podemos pensar no ato composicional como um controle dinâmico entre diversos níveis de permeabilidade em todos parâmetros do som.

4.1.4 Análise rítmica

Se considerarmos que um evento sonoro pode ser descrito por um espaço multidimensional onde cada parâmetro seria uma dimensão (notas, registros, timbre, etc..), podemos imaginar o ritmo como uma outra multidimensão paralela e sincronizada com as outras. O aspecto rítmico de um evento sonoro pode ser descrito por:

- relações de durações entre ataques de notas;
- relações de acento (amplitude) entre ataques de notas;
- densidade de eventos em recortes de tempo;
- descrição de índices de estabilidade em diferentes recortes temporais;

Todos esses níveis se entrecruzam para formar um cenário que pode explicar mais detalhadamente os elementos rítmicos de um evento sonoro. O objetivo dessa seção é apresentar o desenvolvimento de ferramentas para a análise das múltiplas camadas de descrição do ritmo.

Objeto [sinc-calc-ritmo]

Uma das questões perseguidas é o fato do sistema ter conhecimento do atual nível de estabilidade rítmica. Isso pode ser alcançado por uma relação que considere variações de pulso e alternância e variações de padrões rítmicos de tamanhos diferentes.

Na figura 4.20 são mostrados dois arrays, idealmente esses arrays representam tabelas de probabilidades de padrões rítmicos, onde cada elemento no array representa um padrão diferente e quanto mais alto significa que teve mais ocorrências. Por exemplo, cada vez que um determinado padrão de 4 valores de duração é tocado, o índice na tabela correspondente a aquele padrão é incrementado. O objetivo ideal é um mecanismo que possa retornar uma resposta do tipo: “o array1 é mais estável que o array2”. Apenas olhando fica fácil de identificarmos no array1 que os padrões 3 e 5 tem mais probabilidade de ocorrer pelo seu histórico, contribuindo

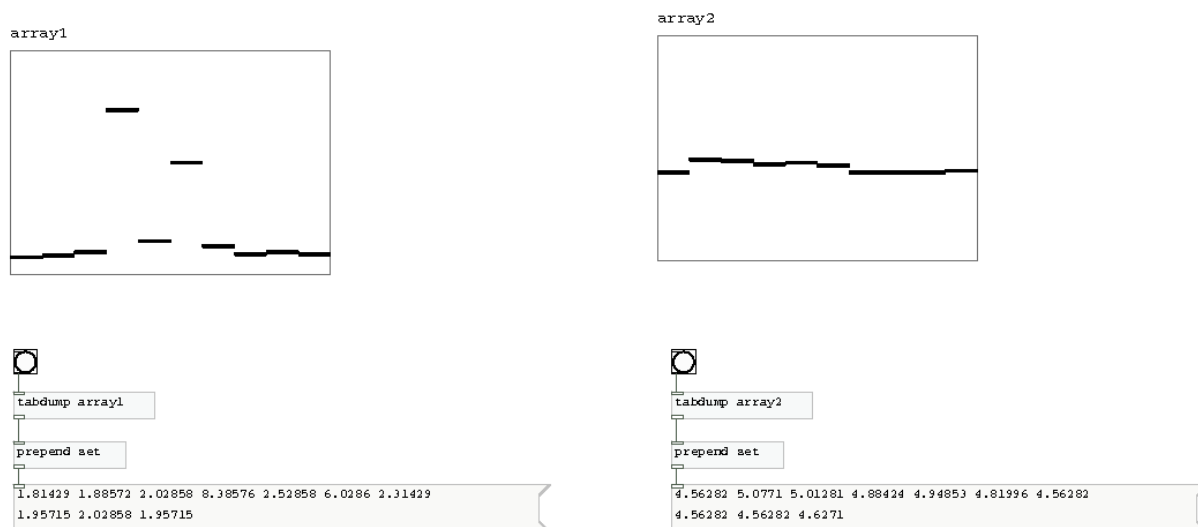


Figura 4.20: análise de estabilidade rítmica

assim para uma sensação de estabilidade rítmica. Enquanto que o array2, tem probabilidades próximas de quase todos padrões criando uma sensação de imprevisibilidade e fragmentação.

No patch da 4.21 é apresentado um método de classificação de estabilidade de sequência de pulsos. Primeiro são calculadas as distâncias entre cada ataque sonoro, depois filtrado em [pd filter-range] e colocado em uma tabela dinâmica em [pd last-x].

Nas figuras 4.22 e 4.23, podemos ver a constituição interna dos sub-patches [pd filter-range] e [pd last-x]. O tamanho da tabela sempre pode ser redimensionado em tempo-real através da variável *0-buffer-size* então é calculado ao mesmo tempo a média geométrica e a média aritmética e os resultados são executados na expressão definida por uma divisão da média geométrica pela média aritmética. Ao resultado dessa divisão é aplicado um filtro com [mo-ses] onde se pode calibrar a sensibilidade do valor do índice final.

A técnica básica de análise rítmica em Pd, se dá através do uso do objeto [timer]. O objeto [timer] mede a distância em milissegundos entre "bangs" que chegam pela entrada da esquerda em relação ao que chega pela entrada da direita.

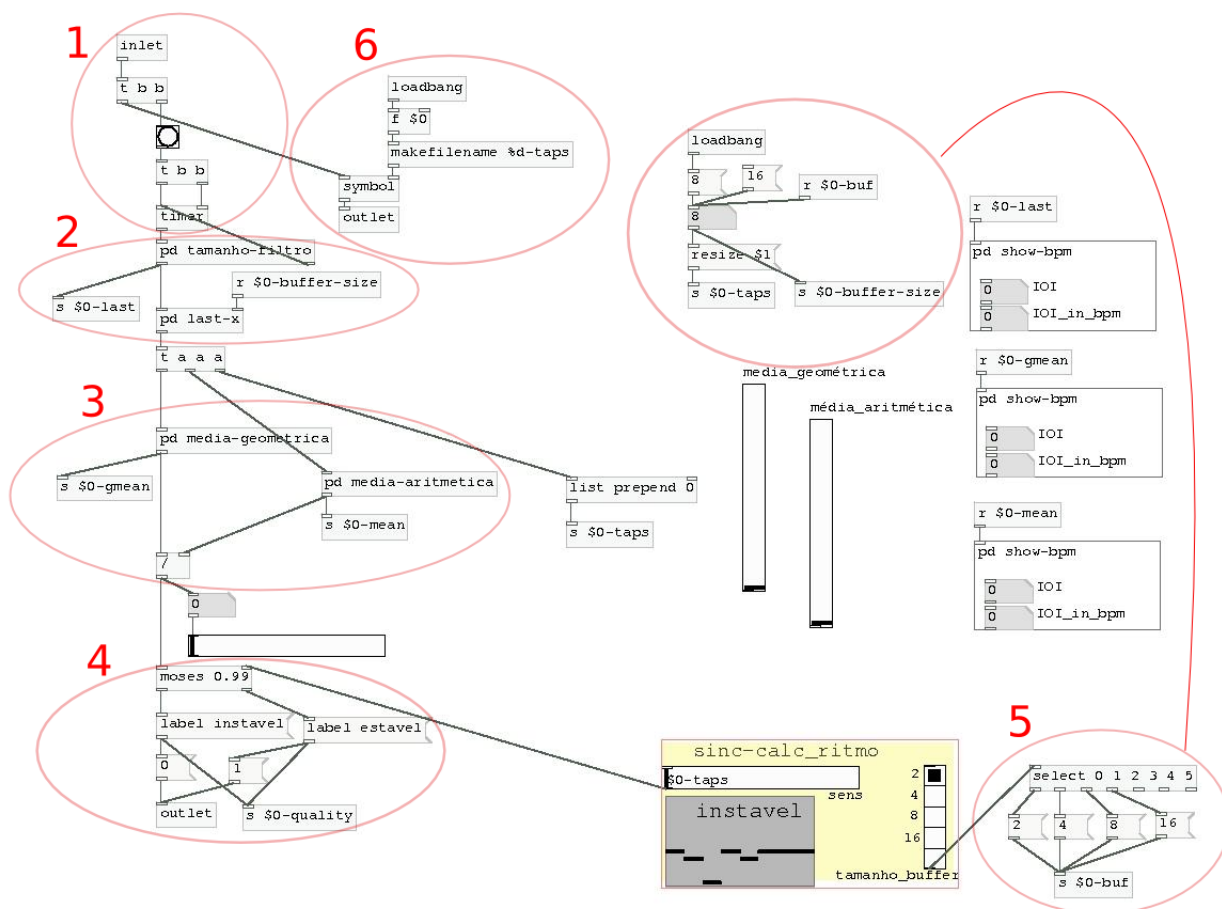


Figura 4.21: análise de estabilidade rítmica

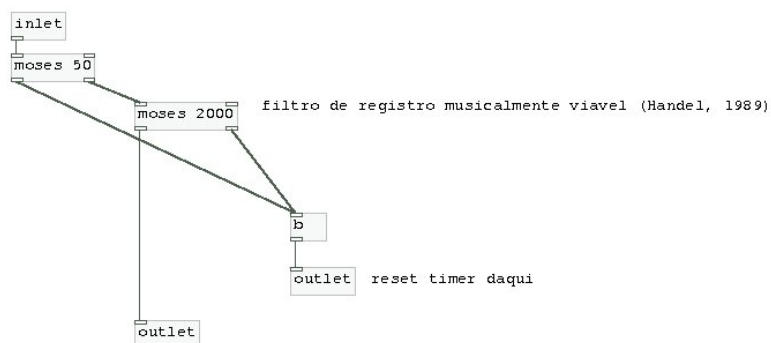


Figura 4.22: filtro de registro de durações

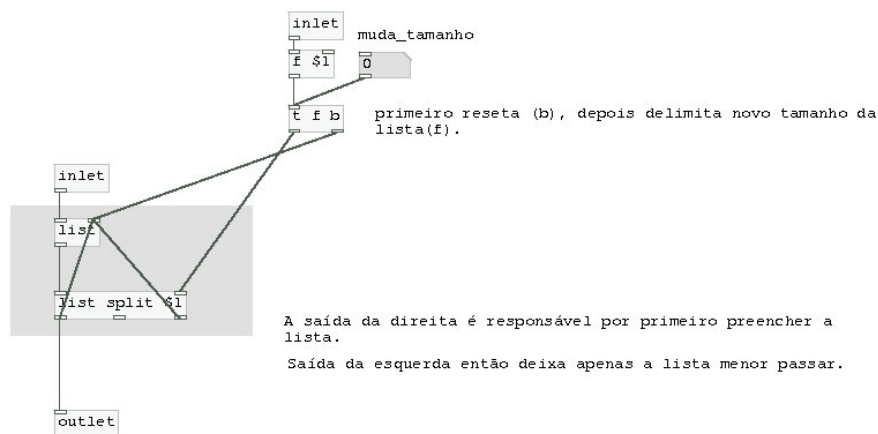


Figura 4.23: lista de durações

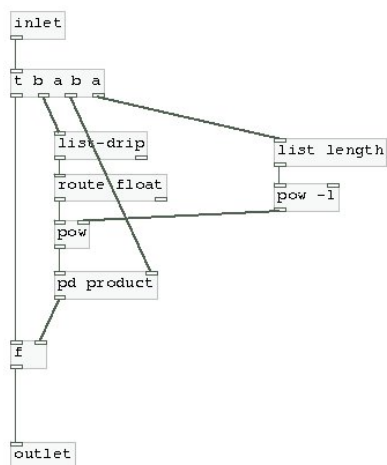


Figura 4.24: média geométrica

Um instrumentista sempre realiza micro-variações de tempo e andamento. Na figura 4.25 vemos uma incidência de ataques mantendo uma relação de estabilidade de durações, enquanto que na figura 4.26 vemos uma relação mais instável entre as durações. Já na figura 4.27 vemos um padrão que se mantém estável e muda para um comportamento de instabilidade de durações. Um dos desafios da pesquisa foi estabelecer uma forma do programa conseguir classificar a estabilidade de cada nova duração em relação as anteriores.

No patch da figura 4.21 é apresentado um método de classificação de estabilidade de durações entre notas. Primeiro são calculadas as distâncias entre cada ataque sonoro, depois filtrado em [pd filter-range] e colocado em uma tabela dinâmica em [pd last-x]. O tamanho da tabela sem-

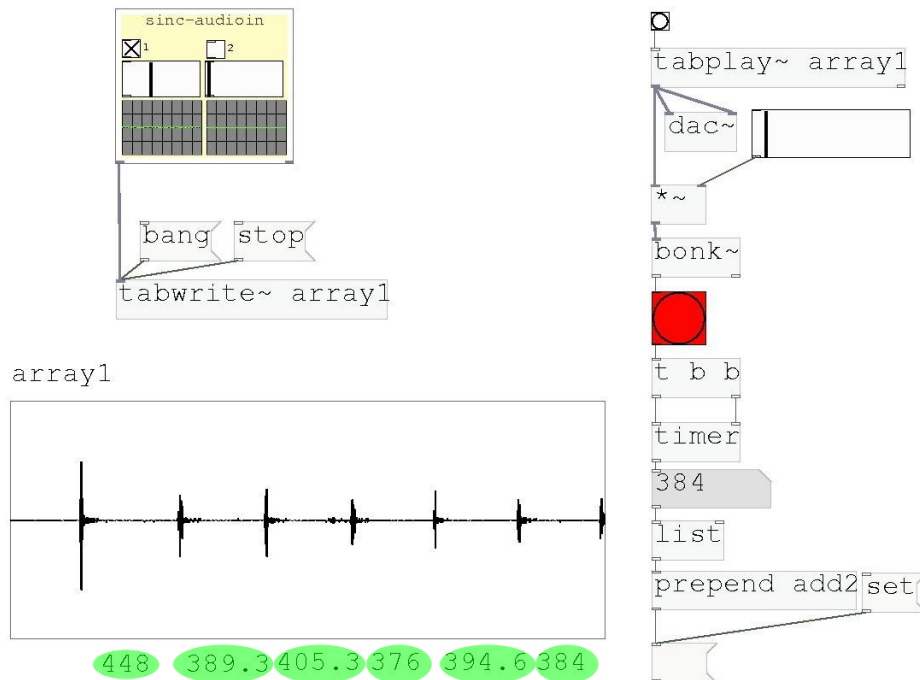


Figura 4.25: ritmo estável

pre pode ser redimensionado em tempo-real através da variável *0-buffer-size* então é calculado ao mesmo tempo a média geométrica e a média aritmética e os resultados são executados na expressão definida por uma divisão da média geométrica pela média aritmética.

A divisão da média geométrica pela média aritmética pode ser definida pela expressão

$$\frac{n \sqrt[n]{a1.a2....an}}{a1 + a2 + ...an} \quad (4.1)$$

Essa expressão é calculada a cada nota que chega, onde n é o tamanho do buffer. O resultado desse cálculo devolve um valor numa escala de 0 a 1. Esse valor representa o índice de instabilidade rítmica da última duração entre 2 notas, comparado com as últimas “ n ” durações. Nesse resultado dessa divisão é aplicado um filtro com [moses] onde se pode calibrar a sensibilidade do valor do índice final.

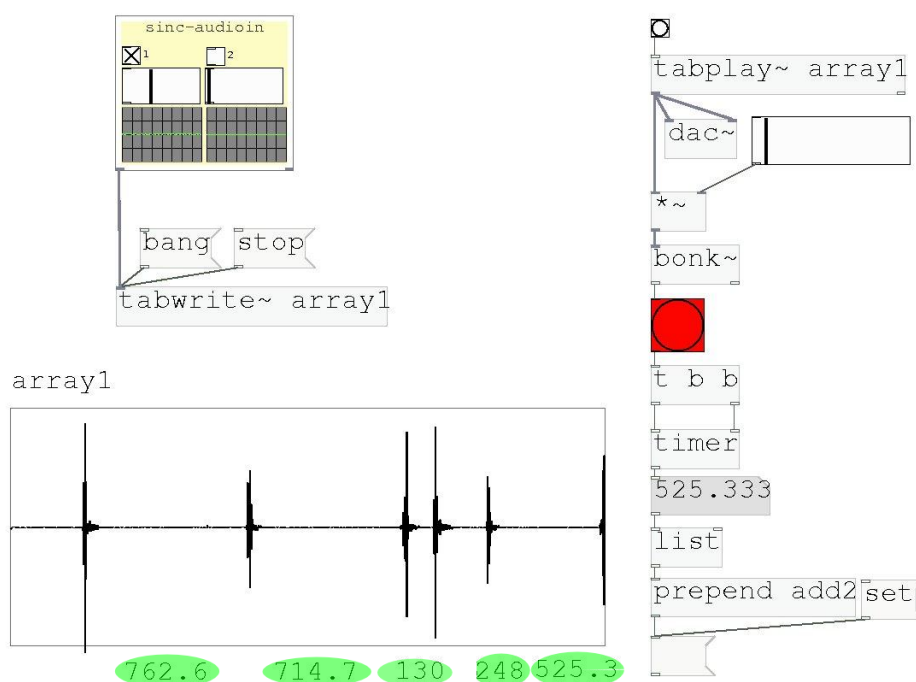


Figura 4.26: ritmo instável

Objeto [sinc-densidade]

Densidade rítmica é o índice que mede a quantidade de eventos sonoros dentro de espaços de tempo. Serve como ferramenta de análise e pode funcionar como um parâmetro estrutural em um sistema de análise musical mais completo.

Os primeiros passos na implementação de um mecanismo de análise de densidade podem ser vistos na figura 4.28, onde na área central, aparece um leitor de samples [tabplay~] lendo um arquivo de áudio e enviando o fluxo de áudio para o objeto [bonk~]. A saída de [bonk~] é filtrada pelo objeto [moses] que pode ter um número de corte variável, sendo flexível a diferenças de volume em diferentes momentos, lugares ou fontes sonoras.

Ainda na figura 4.28, a seção da esquerda mostra uma maneira de classificar as durações entre ataques de notas em longas ou curtas, possibilitando uma classificação básica, que vai possibilitar a criação de padrões rítmicos de combinações entre longos e curtos. Nesse caso

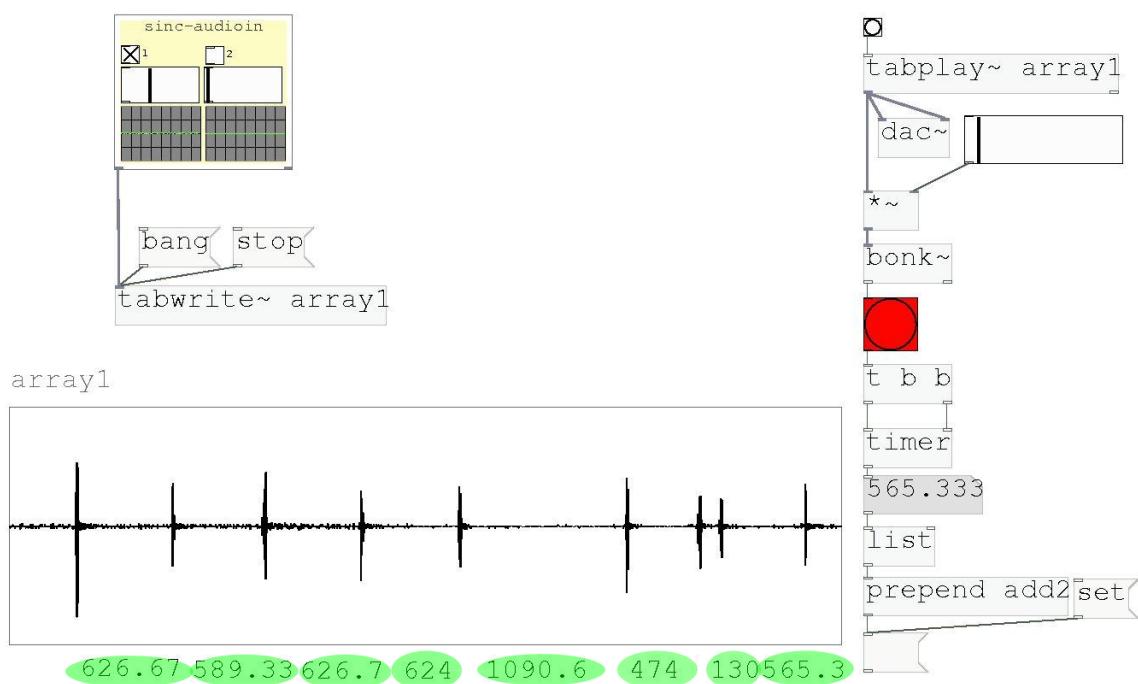


Figura 4.27: ritmo estável e instável

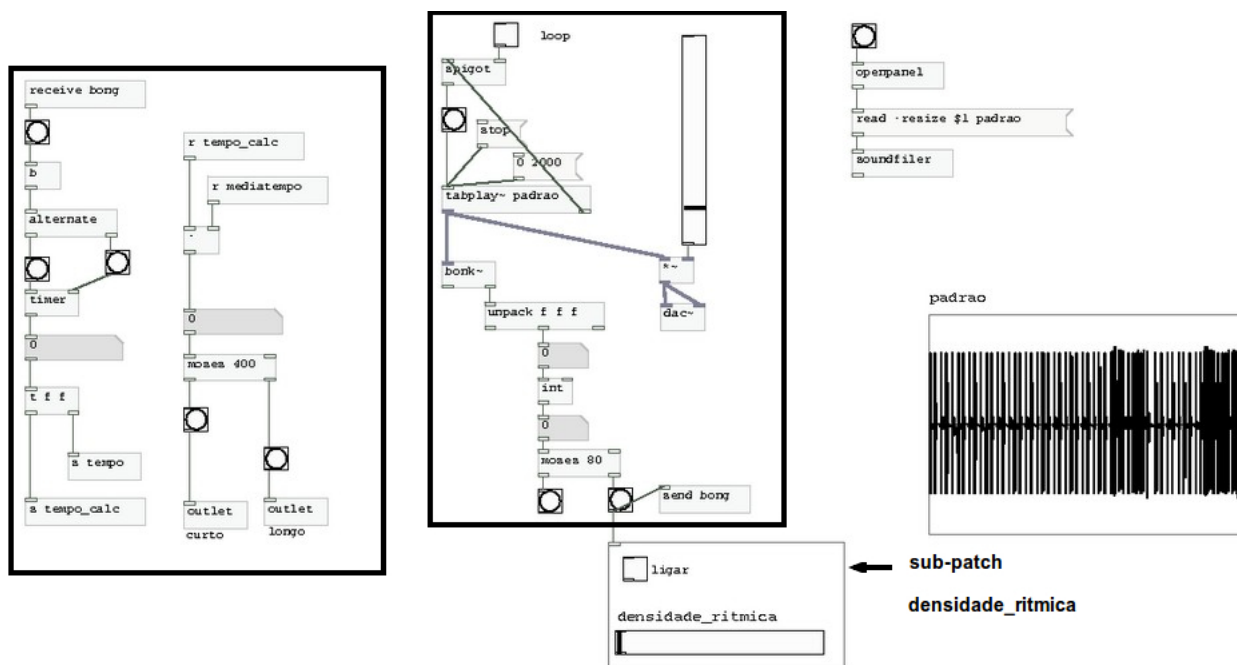


Figura 4.28: captação de ataques com [bonk~] e categorização entre “curtos” e “longos”

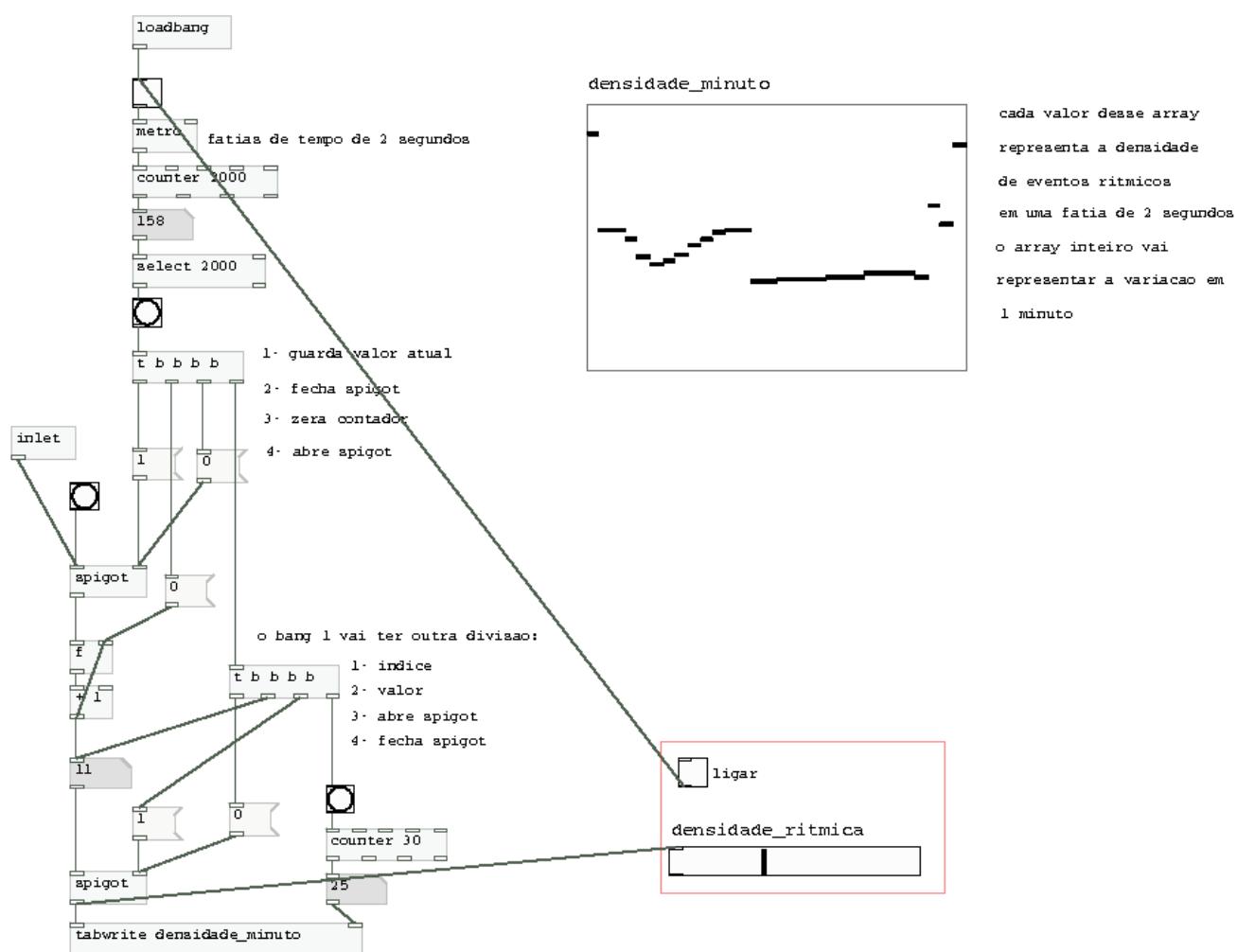


Figura 4.29: sub-patch [densidade ritmica]

também o limite entre longo e curto é dado por [moses] que pode ser redimensionado em tempo-real.

Na 4.29 vemos o conteúdo interno do sub-patch [densidade-ritmica], onde é realizadas contagens de quantos ataques de eventos sonoros acontecem a cada 2 segundos de tempo. Densidade rítmica é um bom índice global de controle dos eventos sonoros por um instrumentista. A maneira de uso desse índice se transforma de um controle rítmico prático para um músico treinado.

4.1.5 Análise de timbre

[bonk~]

O objeto [bonk~] possui um sistema interno de classificação e comparação de amostras de áudio. Essa propriedade possibilita, por exemplo, uma situação de acompanhamento interativo para uma instrumentação de percussão múltipla.

Também é possível pedir para bonk testar qualquer novo ataque contra um menu de ataques pré-gravados a fim de adivinhar qual dos vários instrumentos possíveis foi responsável pelo novo ataque. Para fazer isso, primeiro temos que armazenar modelos espectrais para cada um dos instrumentos. Depois disso, qualquer novo ataque é comparado com o daqueles armazenados e a correspondência mais próxima é relatada. A subjacente suposição de que há realmente alguma repetibilidade dos envelopes espectrais de ataques de instrumentos de percussão, certamente não é verdade no mundo real, mas é interessante saber quais tipos de instrumentos bonk pode identificar desta forma e quais não. ⁶ (M., T., e D. 1998)

O objeto [bonk~] pode funcionar detectando ataques em tempo-real retornando um bang para cada ataque na saída esquerda. Ou então pode alternar entre dois estágios: "learn" e "forget" que são enviados como mensagem na entrada de [bonk~]. Outras mensagens posicionam outros parâmetros como por exemplo "minvel", para mínima amplitude de offset para retornar uma detecção de ataque. Se for enviada uma mensagem com "learn 10", o objeto irá aguardar dez notas consecutivas do mesmo instrumento. O resultado da comparação interna é retornado pela saída da direita.

timbreID

Quando se acessam aos dados puros de um fluxo de áudio precisamos de métodos específicos para filtrar esses dados. Uma densa bibliografia tem sido desenvolvida sobre algoritmos de busca e filtragem de dados de análise FFT. Cada algoritmo é especializado em algum aspecto,

⁶It is also possible to ask bonk to test any new attack against a menu of pre-recorded attacks in order to guess which of several possible instruments was responsible for the new attack. To do this, first we store spectral templates for each of the instruments. Thereafter, any new attack is compared with the stored ones and the closest match is reported. The underlying assumption, that there is actually some repeatability in the spectral envelopes of attacks of percussive instruments certainly doesn't hold true in the real world, but it is interesting to learn which sorts of instruments bonk can identify in this way and which it can't.

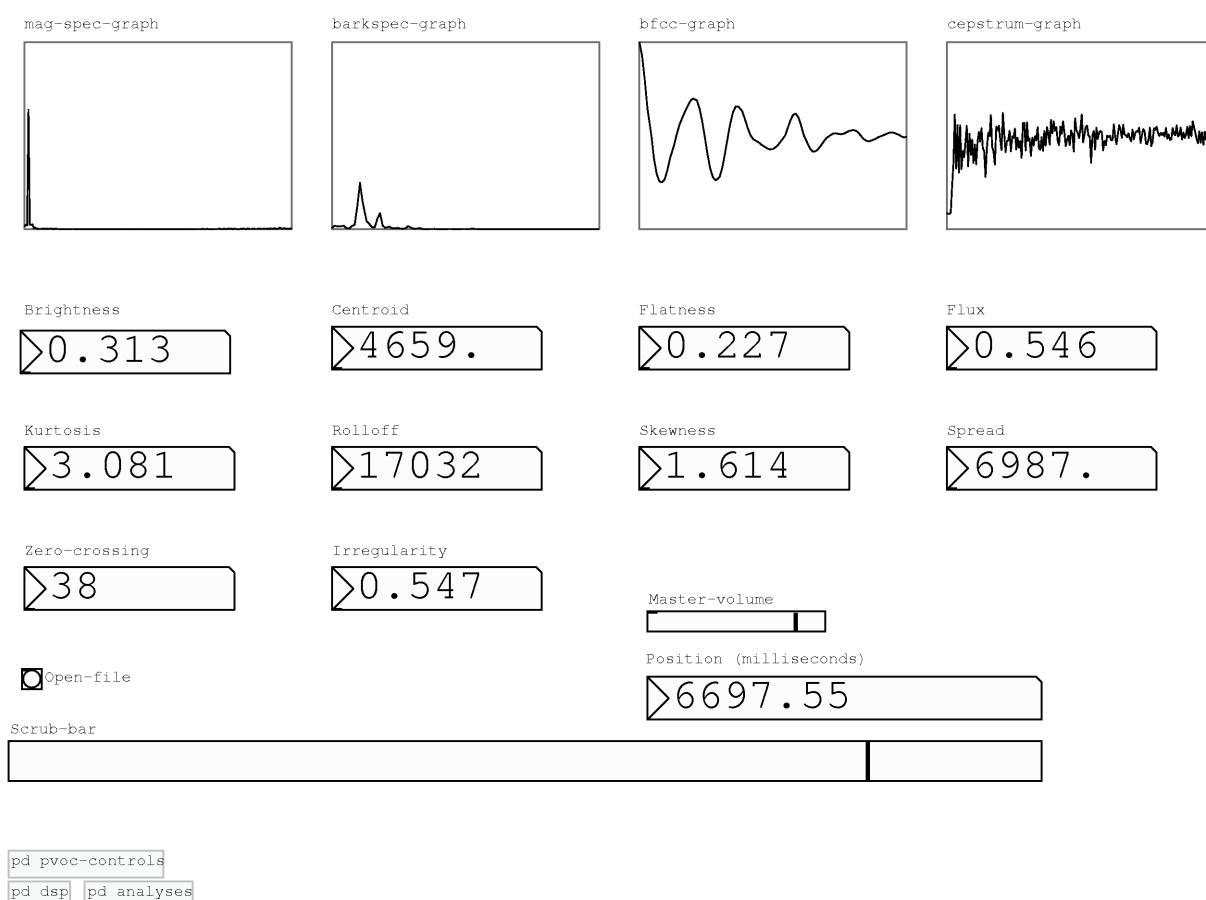


Figura 4.30: timbreID - audio-features

seja de estimativa de frequência fundamental, ou de comportamento espectral da fonte sonora, como por exemplo, estimativa se determinado trecho é uma nota com articulação diferente ou um ruído indesejado. Pode-se dizer que a filtragem dos dados de análise espectral é um importante núcleo dentro da pesquisa em música interativa e computação musical. Nessa seção serão comentadas algumas ferramentas que demonstram o estado da arte da análise de áudio em tempo real, que permitem um maior refinamento na detecção de parâmetros sonoros em projetos de música interativa.

Nesse sentido, além dos dados puros da FFT feita com o objeto [rfft~], destacamos duas bibliotecas externas de Pd que compreendem diversos algoritmos diferentes de análise. A primeira biblioteca é a timbreID (Brent 2009a) desenvolvida por William Brent e compreende uma série de objetos implementados em C e possui uma boa eficácia em processamento. A timbreID possui quatorze objetos de análise espectral cada um em versão estática e tempo-real, com a

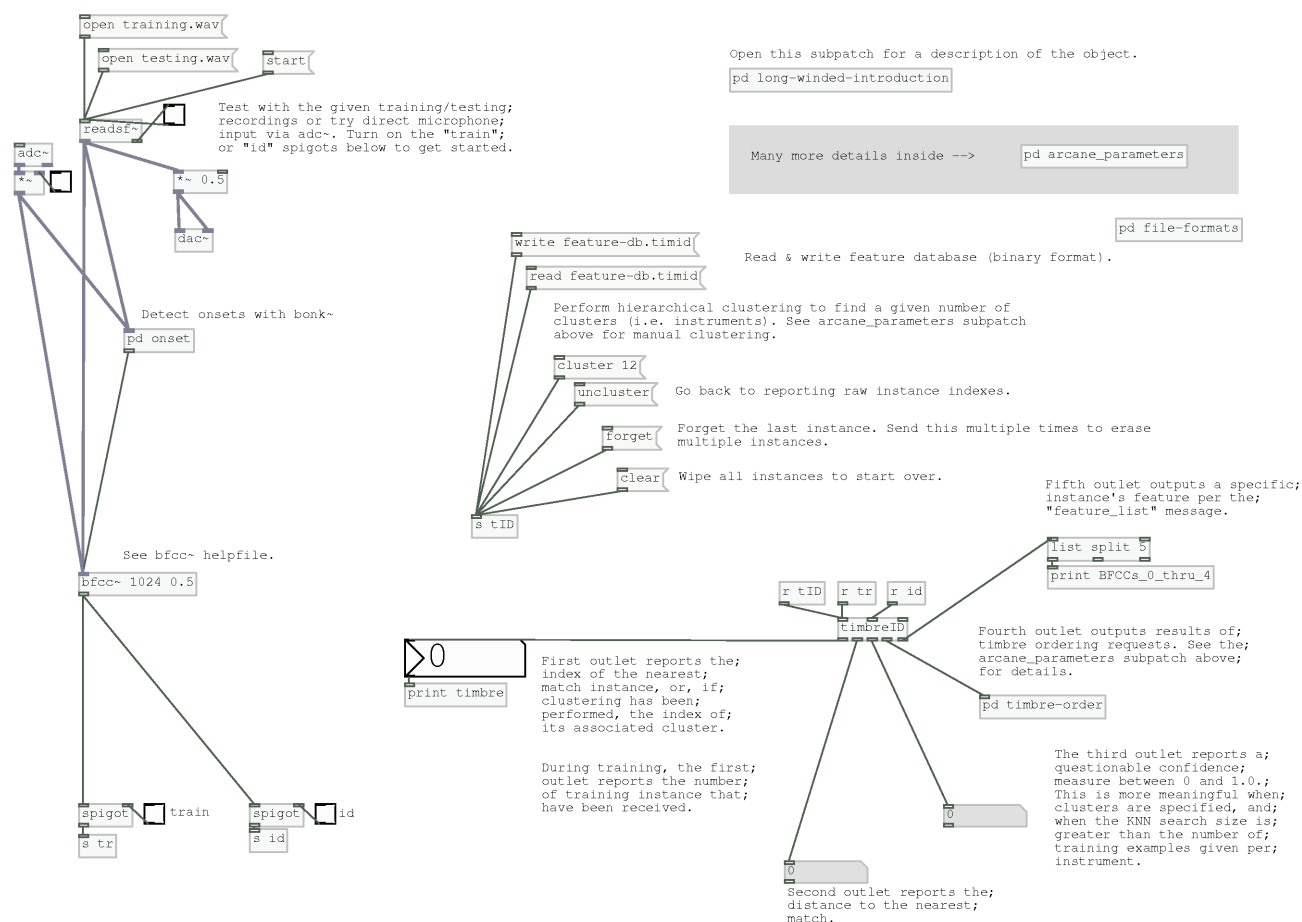
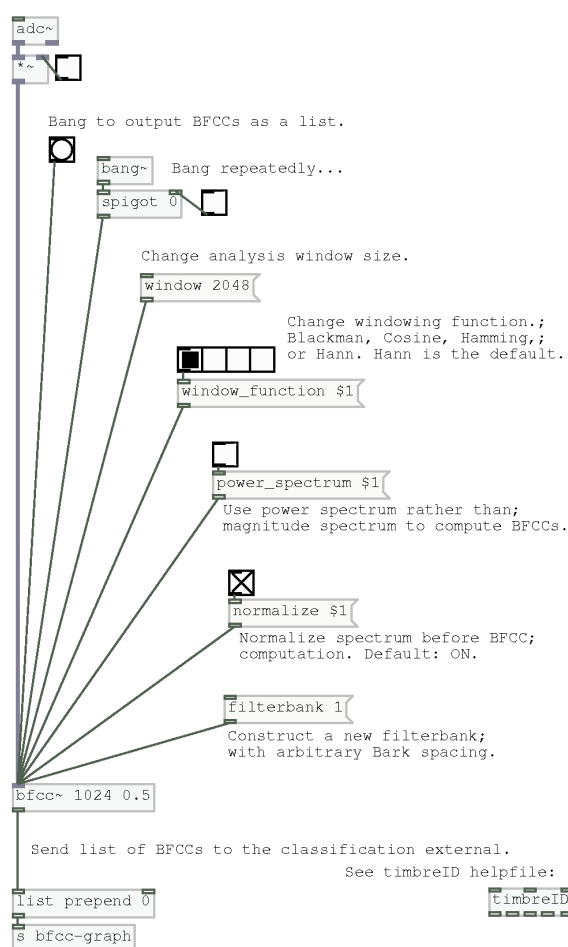


Figura 4.31: timbreID

diferença de que a versão em tempo-real processa áudio em vez de valor de amostra. Além de um objeto classificador [timbreID]. Na figura 4.31 temos uma visão geral de um dos algoritmos de análise do objeto [bfcc~], baseado na análise Cepstral enviando dados para o classificador [timbreID]. Na figura 4.32 podemos ver em detalhe o funcionamento de [bfcc~].

Bfcc~ é o objeto de análise *cepstral* mais desenvolvido, utilizando a escala *Bark* mais bem pesquisada, em vez de *Mels* para a ponderação do espectro. O desempenho é apenas ligeiramente melhor do que MFCC~. A coisa mais notável sobre estes cepstral externs é a flexibilidade que proporcionam no que diz respeito à construção do banco de filtros. A escolha de um valor ideal de *Bark* ou *Mel* pode ter um impacto real sobre o quão relevante são esses parâmetros na classificação de um som em relação a outro ⁷. (Brent 2009a)

⁷Bfcc~ is the most developed cepstral external, using the more thoroughly researched Bark scale rather than mels for the spectrum weighting. Performance is only slightly better than mfcc~. The most noteworthy thing about these cepstral externs is the flexibility they provide with respect to filterbank construction. The choice of a specific Bark- or mel-spacing can have a real impact on how relevant the features are in classifying one sound set vs. another.



Bark-frequency cepstrum is actually much different than raw cepstrum. The most significant differences are an emphasis on lower spectral content and the use of a DCT rather than an FT in the final step of the process. When `bfcc~` receives a bang, it spits out the BFCCs for the most recent analysis window as a list.;

; This list can be sent to the `timbreID` external in order to identify percussive timbres in real time.;

; Audio buffering and windowing are taken care of by the external, so there is no need for `tabreceive~` or `block~`. You can set the window size with a creation argument, or change it with the "window" message. The second creation argument specifies the Bark-spacing of the filterbank. This can also be changed later with the "filterbank" message. The default half-Bark spacing produces a 46-component BFCC vector regardless of window size. BFCC components are normalized to be between 0 and 1, and the first BFCC will always have a value of 1.0.

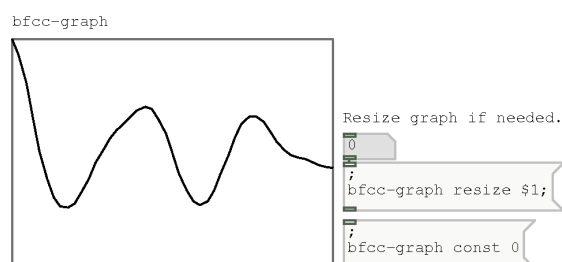


Figura 4.32: timbreID - bfcc

Uma das vantagens da `timbreID` é a flexibilidade de parametrização. A biblioteca é dividida entre objetos externos para implementação de cada algoritmo e um objeto responsável pela classificação dos resultados dos algoritmos. O objeto de classificação (`[timbreID]`) aceita listas de características timbrísticas estocadas e tenta encontrar a melhor correspondência comparando com a análise do áudio de entrada. Listas de características mandadas para a entrada da esquerda são processadas pela função “train” (em formato de mensagem). Uma vez que uma base de dados de treinamento é criada, ela pode ser salva em um arquivo `.timid` com o método “write”, e mais tarde recuperado com o método “read”. Outros formatos de saída são `.txt`, `.mat` (para uso com os programas MATLAB ou Octave) e ARFF (para uso com o ambiente WEKA).

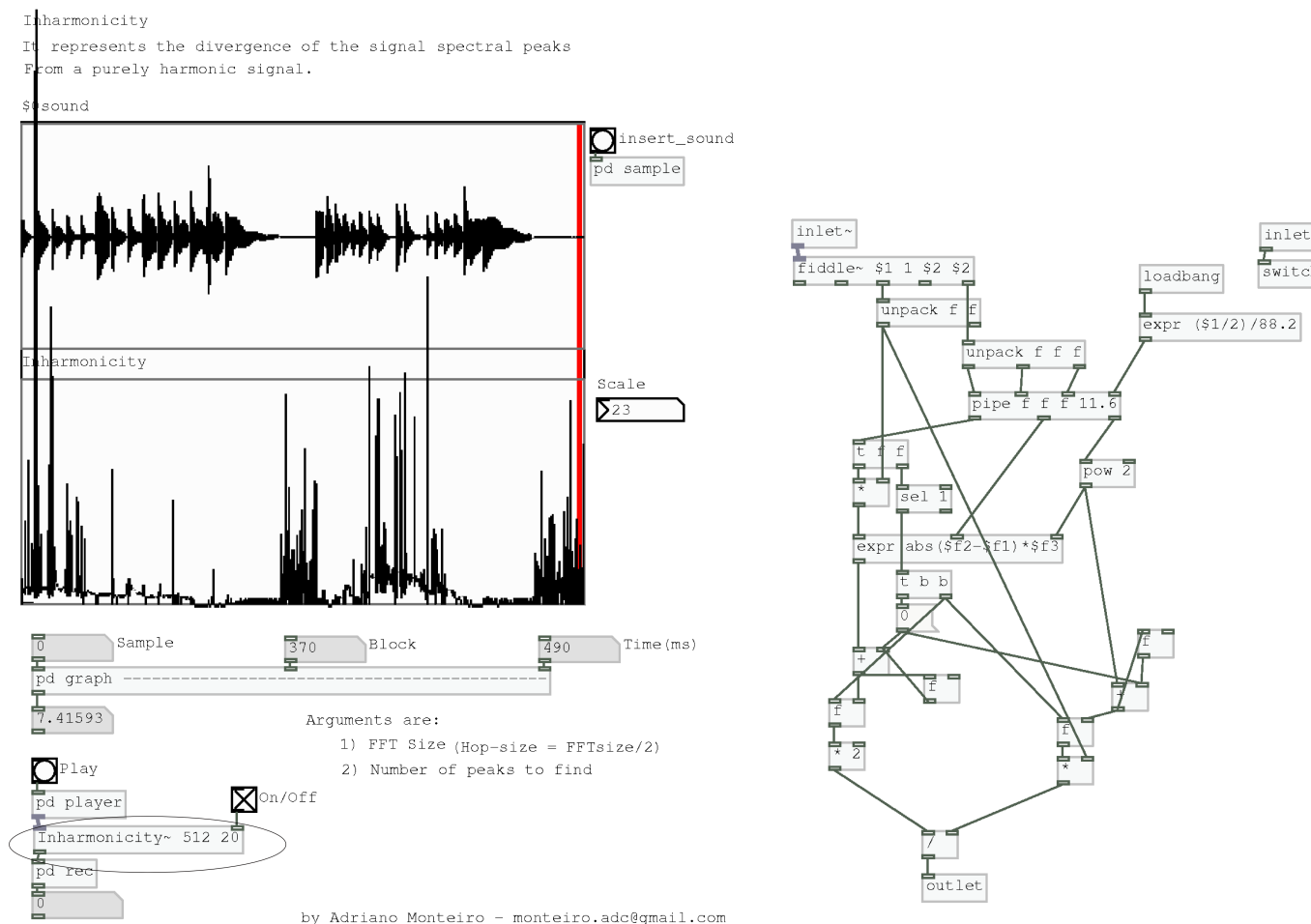


Figura 4.33: PDescriptors - [Inharmonicity~]

A segunda entrada do objeto [timbreID] recebe listas de características que são comparadas com aquelas no banco de dados do treinamento e uma correspondência é identificada. As instâncias de correspondência são distinguidas pelo índice, por isso, se a correspondência mais próxima for o índice 7, o número 7 vai aparecer na primeira saída da esquerda.

Na figura 4.30 vemos um painel geral com os resultados simultâneos dos quatorze algoritmos de análise espectral diferentes. Notamos que os quatro objetos superiores retornam resultados em listas que são plotadas em arrays, enquanto os demais objetos retornam índices puros.

Outra biblioteca relevante é a PDescriptors (Monteiro e Manzolli 2011) que consiste de abstrações de Pd que usam apenas objetos “vanilla” e por isso possui um grande poder de compatibilidade com diversos projetos. As abstrações são divididas em características perceptuais,

espectrais, harmônicas e temporais, além de alguma ferramentas de transcrição. Podemos ver a interface do objeto [Inharmonicity~] na figura 4.33, onde o resultado da análise é plotado no gráfico abaixo da forma de onda da fonte, o que facilita a comparação visual, resultando numa boa interface para trabalho de análise de áudio.

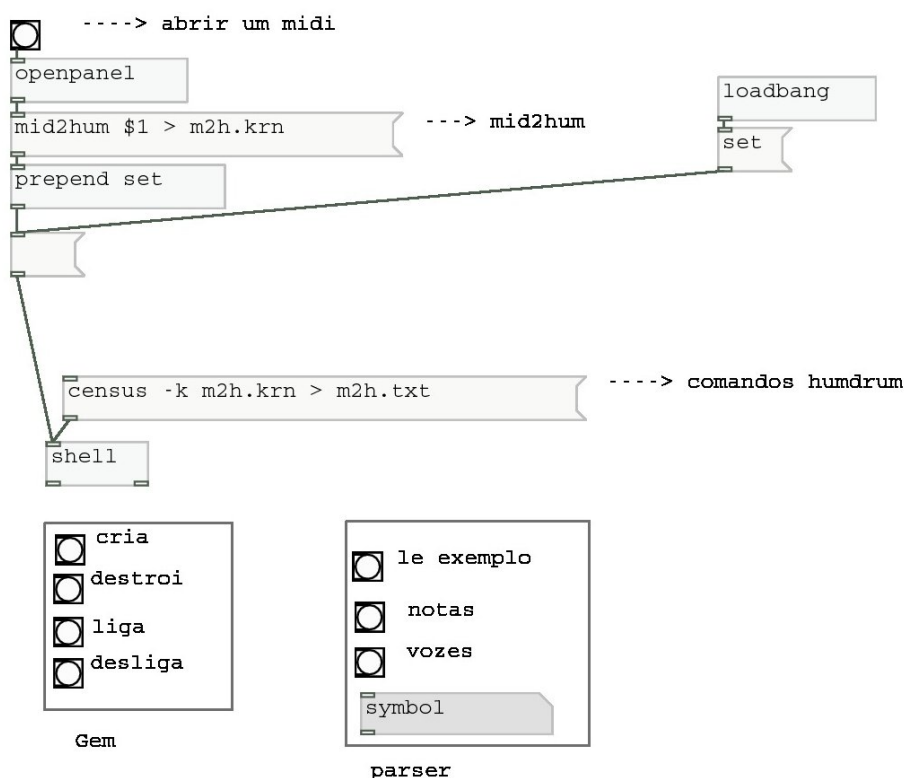


Figura 4.34: interface

4.2 Análise Humdrum

Dentro de um projeto de música interativa, são necessárias informações quantitativas quanto a variação de parâmetros musicais pelo músico, como por exemplo quais acordes foram mais usados nos últimos 12 compassos. Nesse sentido o Humdrum é uma boa plataforma de análise simbólica de estruturas musicais. Nesse protótipo, procuramos investigar de que maneira podem se conectar as duas linguagens com visualização de dados em Gem. Na 4.34 mostramos a visão geral da interface e controle do protótipo, com a opção de se carregar um arquivo midi, que pode ser substituído por arquivos midi gerados em tempo real durante uma performance.

Parseando strings no Pd

O parser funciona em 3 instâncias:

1) Abre-se um arquivo midi com o objeto [openpanel] através de uma janela de diálogo, o path do arquivo substitui a variável dólar 1 como argumento para o programa mid2hum que converte arquivos midi para o formato kern (.krn), usado pelo humdrum.

```
mid2hum \$1 > m2h.krn
```

O código acima é formatado numa mensagem e enviado ao objeto [shell] onde converte o arquivo midi e envia o resultado para um novo arquivo chamado m2h.krn.

2) Nessa etapa é onde se aplicam os comandos do humdrum ao arquivo gerado. No caso o comando

```
census -k m2h.krn > m2h.txt
```

traz diversas informações sobre o arquivo enviadas para um arquivo de texto como por exemplo:

```
HUMDRUM DATA

Number of data tokens:      2510
Number of null tokens:      0
Number of multiple-stops:  470
Number of data records:    2511
Number of comments:        817
Number of interpretations:  301
Number of records:         3629

KERN DATA

Number of note-heads:      2491
Number of notes:           2209
Longest note:              2
Shortest note:             384
Highest note:              gggg#
Lowest note:               FFF
Number of rests:           310
Maximum number of voices:  4
Number of single barlines: 237
Number of double barlines: 0
```

3) Nessa parte expomos um método de navegar e procurar por informações no arquivo de texto. O código usado como modelo está assinalado na figura 4.35. O arquivo m2h.txt é lido pelo objeto [msgfile] e envia uma lista com todo conteúdo do arquivo para os objetos [list-find] e [list-peek]. Em [list-find] podemos procurar por um símbolo específico dentro da lista e nos retorna a posição do símbolo. No caso do código assinalado, vemos o símbolo “notes:” , porém

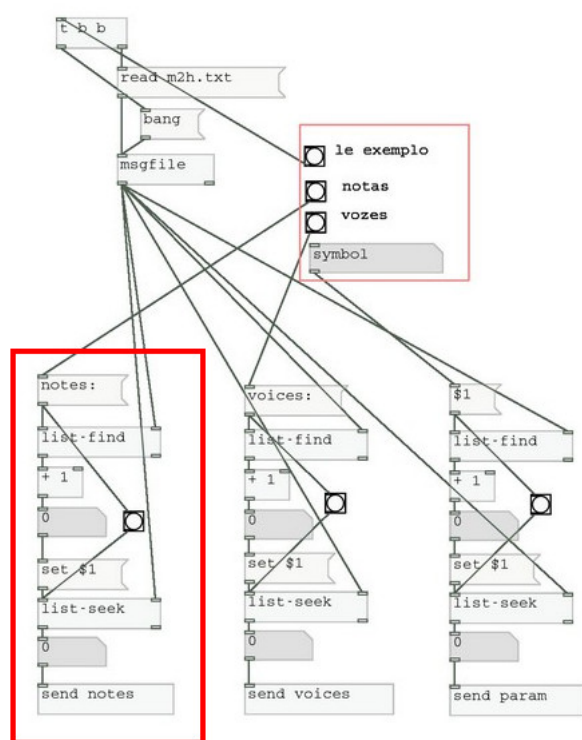


Figura 4.35: parser

como desejamos o valor de “notes:” selecionamos a posição de “notes:” na lista e adicionamos um número para acessar o lugar do valor de “notes:” na lista. Essa posição é enviada para [list-seek] que retorna o valor ou símbolo na posição desejada. Como teste escolhemos os parâmetros “notes:” e “vozes:”, respectivamente número de notas e número de vozes encontradas no arquivo.

Visualização com GEM

Os valores de números de notas e número de vozes são visualizados com objetos da biblioteca Gem (Graphics Environment for Multimedia). No caso os 2 parâmetros são enviados para 2 cubos 3D onde os valores são lidos como valores de tamanho dos cubos.

Nesse protótipo, mostramos uma metodologia simples de unir duas linguagens muito usadas em pesquisa de música. Essa metodologia é uma maneira clara de como acessar outra linguagem dentro do Pd enriquecendo as possibilidades da linguagem.

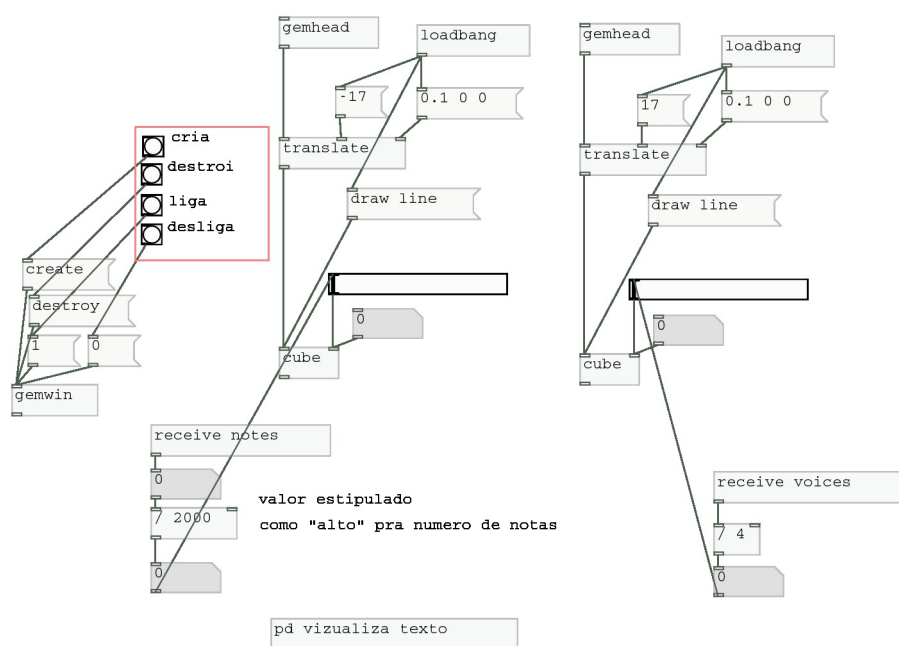


Figura 4.36: GEM

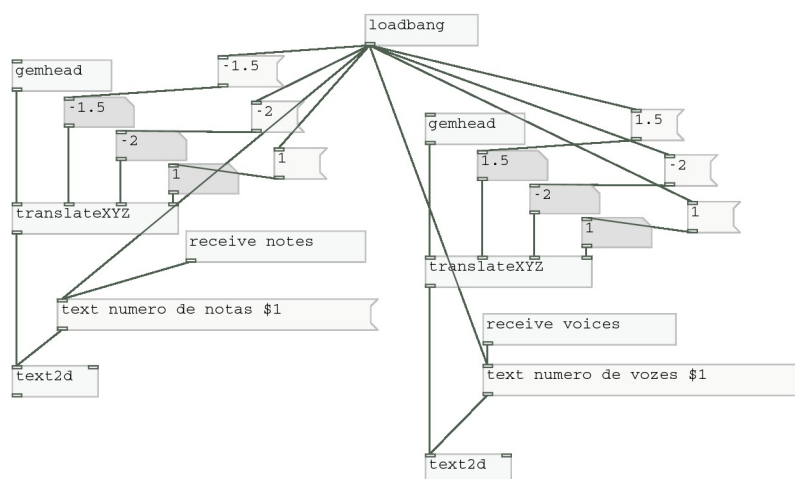


Figura 4.37: GEM texto

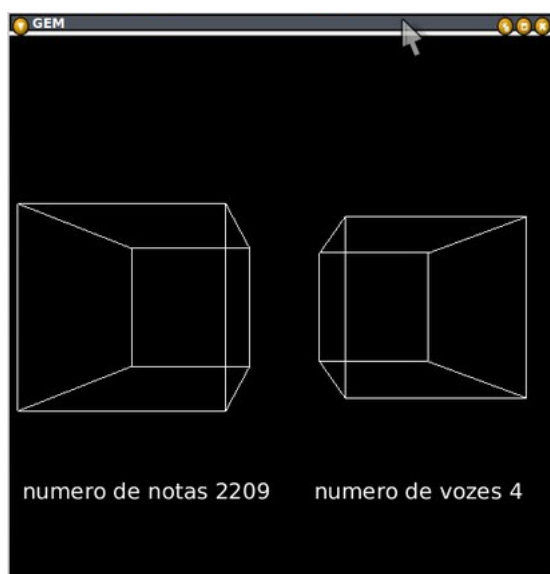


Figura 4.38: gemwin

4.3 Geradores MIDI

Nessa seção serão descritos os geradores MIDI, que são módulos de composição algorítmica alimentados por dados da análise da entrada do músico.

Durante a implementação dos geradores de material musical, procurou-se aliar técnicas de composição algorítmica com o resultado das análises do áudio de entrada.

A idéia é de ter uma coleção de geradores, capazes de imitar, simular, seguir ou serem alterados por elementos da performance humana. A análise do áudio tenta fazer uma descrição da performance e essa descrição é enviada aos geradores, mediados pelo cenário de interação. Nesse sentido as análises alimentam os parâmetros dos geradores, conduzindo o comportamento dos mesmos.

Notadamente alguns trabalhos tem influenciado bastante o desenvolvimento dos geradores, servindo de ponto de partida para a implementação, como por exemplo a biblioteca RTC⁸ e o método MEPSOM⁹, além de alguns objetos das bibliotecas PDMTL e Rj.

⁸A biblioteca RTC (*Real-Time Composition*) foi desenvolvida pelo compositor Karlheinz Essl em MAX, a re-implementação em Pd foi feita por Frank Barchnet, poderemos ver uma visão mais geral das funcionalidades dessa biblioteca no apêndice

⁹MEPSOM (Método de Ensino de Programação Sônica para Músicos) desenvolvido por Elói Fritsch é um método que ensina composição algorítmica no ambiente MAX. Alguns exemplos de MEPSOM foram portados para Pd e podem ser vistos no apêndice

Músicos frequentemente separam os aspectos rítmicos, melódicos e de dinâmica quando estudam performance ou compõe. É comum um instrumentista executar um mesmo perfil melódico em diferentes combinações rítmicas e com articulações diferentes. Muitos métodos de educação musical começam com exercícios rítmicos para depois incluir exercícios melódicos. Ao implementar os geradores midi nessa pesquisa, levou-se em conta esses aspectos e decidiu-se manter a separação entre os domínios do ritmo, melodia e dinâmica. Criando uma relação de funcionamento desses geradores, possibilitando uma expansão organizada de técnicas de geração. Na implementação de SInCoPA, projetamos 3 objetos que trabalham juntos para gerar dados midi:

- sinc-gera-ritmico
- sinc-gera-melodico
- sinc-gera-dinamica

Cada um desses objetos gerencia algumas técnicas de geração algorítmica. É possível qualquer combinação entre esses três objetos. A combinação entre os diversos geradores se dá através da análise do áudio de entrada e a escolha de um cenário de interação. Cada uma dessas dimensões administra geradores que se enquadram nas seguintes categorias:

- Imitação
- Variação
- Movimento browniano
- Probabilidade
- Randômico
- Boids

Além de serem descritas também três categorias de harmonizadores. Qualquer combinação dessas categorias com a performance do músico guarda, a priori, uma relação de unidade composicional por se basear no material fornecido pelo músico. Mas claramente, após a análise de

cada algoritmo, iremos notar que algumas combinações geram uma “sensação” de unidade mais forte que outras. Apesar desta pesquisa não se ocupar com problemas de pesquisa em cognição, algumas conclusões advindas do manuseio e experimentação das ferramentas apresentadas podem ser apontadas.

Por exemplo, se o gerador rítmico for imitativo, o melódico baseado em variação e o gerador de amplitude for randômico, vamos obter um resultado com forte unidade composicional pois a dimensão rítmica contribui intensamente para essa sensação de unidade. Numa performance de música interativa essa sensação de unidade é importante para o músico que está interagindo com a máquina. Criando pontos de apoio na narrativa global, onde o músico consegue controlar musicalmente aspectos do diálogo. Podemos inferir que essa sensação de unidade está relacionada à sensação de controle do discurso, no caso do músico atuando em uma sessão de música interativa.

A manipulação de dados midi compreende algumas técnicas bem estabelecidas no Pd. A geração de notas midi é realizada com o objeto [makenote] que formata dados de entrada em notas midi, fornecendo as mensagens "noteon" e "noteoff", baseado no valor de duração. As entradas e saídas midi são feitas com os objetos [notein] e [noteout] respectivamente. O objeto [seq] grava e manipula arquivos do tipo midi, porém, os parâmetros das mensagens midi podem ser facilmente escritos em arrays e listas para então serem manipulados.

Na figura 4.39 vemos no patch a esquerda, o fluxo de entrada de áudio do objeto [sync-audioin], sendo analisado pelo objeto [sync-audioanalyse] e posteriormente sendo convertido para mensagens midi com auxílio dos objetos [makenote] e [noteout]. Podemos observar ainda a dinâmica sendo convertida de decibéis (distribuição exponencial) para RMS (distribuição linear) com o objeto [dbtorms]. Após essa conversão, o valor da dinâmica é convertido para uma escala midi de 0 a 127. Para isso é usado o objeto [scale.linear] da biblioteca "pdmtl". O valor de duração das notas é determinado pelo objeto [timer] que recebe uma mensagem (bang) a cada detecção de ataque e de silêncio. No panorama geral da figura 4.39 vemos o Pd mandando mensagens midi em tempo-real para o programa Rosegarden, usando conexão midi do programa Jack.

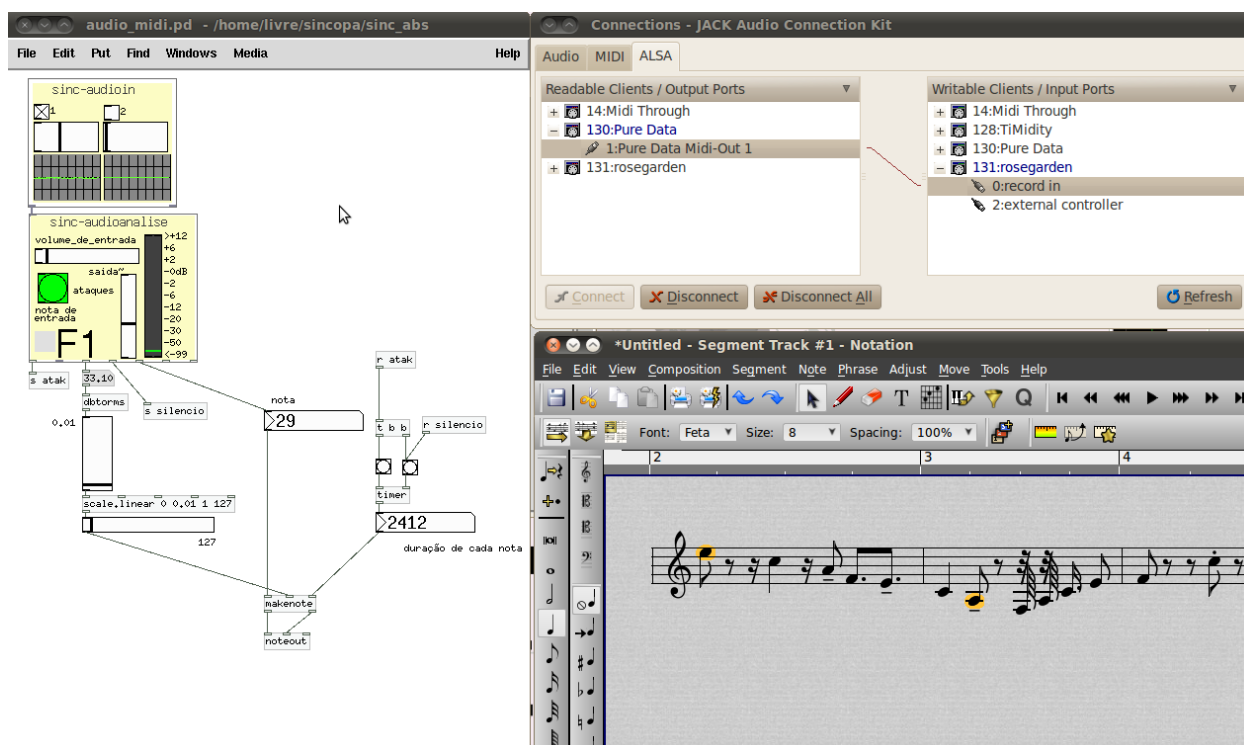


Figura 4.39: Conversão de áudio para notas midi

4.3.1 Manipulação e escrita de dados MIDI

Existe uma discussão acerca da validade do protocolo MIDI na atualidade. Caesar afirma que o protocolo MIDI enquanto ferramenta que se tornou um padrão comercial, criou um ecossistema cultural e estético ao seu redor, tendo influenciado toda uma geração de compositores. Rowe por outro lado, coloca que a presença do protocolo MIDI em sistemas musicais modernos é um anacronismo pois seria mais lento que protocolos modernos como OSC¹⁰ e incapaz de transmitir parâmetros mais completos sobre a descrição musical, como por exemplo dados mais refinados sobre o timbre.

Apesar da discussão, o MIDI ainda é muito usado como padrão de troca de dados entre programas e como mapeador de instrumentos controladores comerciais. Além de ser usado em outros ambientes em dispositivos de controle de iluminação e toques de celular. Apesar do título dessa seção ser “Geradores MIDI”, os algoritmos aqui apresentados podem facilmente ser utilizados em geradores de síntese sonora ou protocolo OSC.

¹⁰Open Sound Control

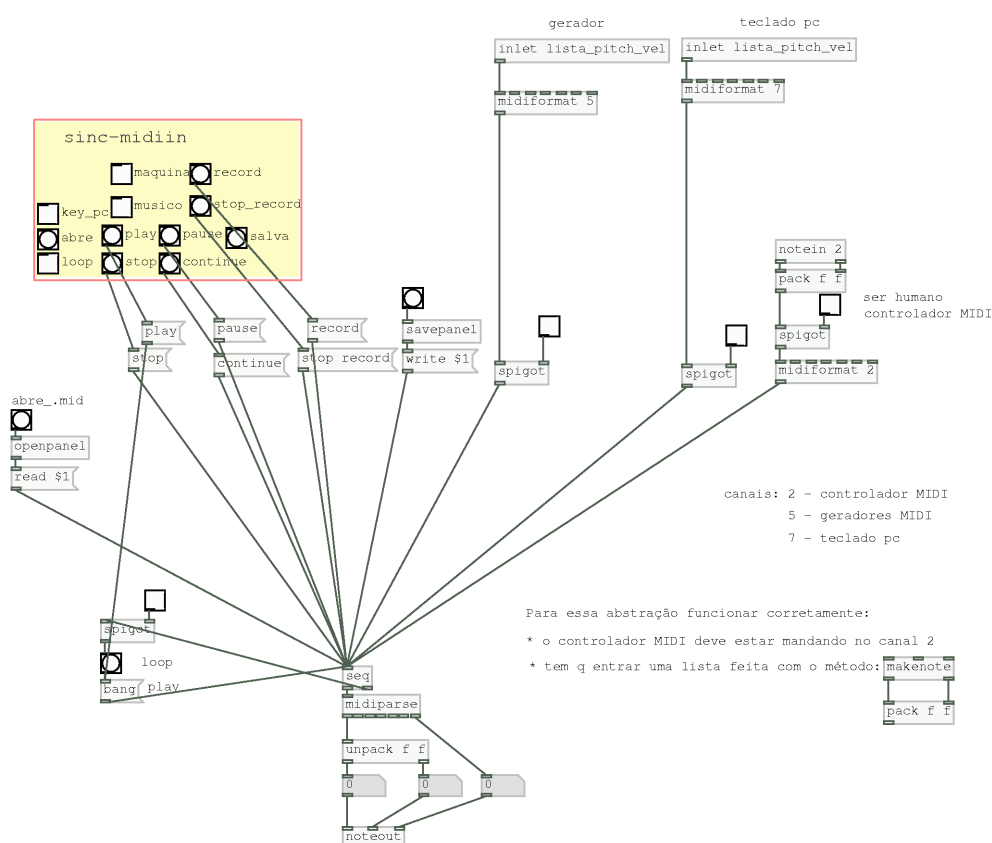


Figura 4.40: Objeto [sync-midiin]

O MIDI é um protocolo que descreve pitch (frequência), velocity (intensidade) e duração para cada nota (evento). Isso permite que seja usado tanto em situações de gravação e repetição ou transformação em tempo-real, quanto também como registro de uma sessão de interação. Nesse caso, pode ser editado posteriormente em notação musical, como pode ser visto na seção A.3 onde podemos ver as possibilidades de integração com outros programas para visualização da notação musical.

Foi desenvolvida uma abstração que facilita a leitura e escrita dos dados MIDI, baseada no objeto [seq]. O objetivo é estabelecer uma metodologia para rápida prototipação, teste e registro de algoritmos voltados para composição interativa.

A abstração recebe dados MIDI de controlador externo, dos módulos geradores algorítmicos e do teclado do computador, sendo capaz de gravar uma performance com dados de todas as fontes em canais separados, garantindo uma posterior análise e re-utilização do material. Para

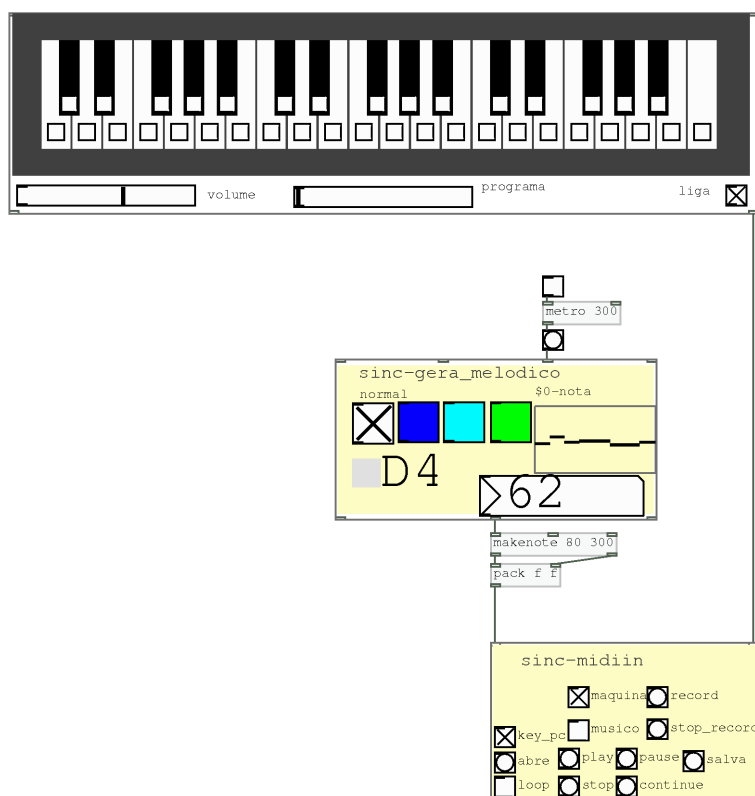


Figura 4.41: Exemplo de funcionamento de [sinc-midiin]

isso se definiu uma distribuição de canais MIDI como podemos ver na figura 4.40, onde vemos o objeto [notein] com argumento 2, significando que apenas receberá dados enviados do canal MIDI 2. Os objetos [midiformat] por sua vez aparecem com os argumentos 5 e 7, permitindo a gravação de um arquivo .mid com canais distintos.

Na figura 4.41 vemos um exemplo de funcionamento recebendo dados do teclado do computador com a abstração [sinc-teclado] ao mesmo tempo que recebe dados dos algoritmos geradores melódicos. A abstração [sinc-gera_melodico] controla os algoritmos de geração melódica e é acionada por um [metro].

Abstração [sinc-teclado]

A abstração [sinc-teclado] foi feita como um acessório para rápida prototipação de performance com dados MIDI quando não se dispõe de um controlador externo. O objetivo é transformar o

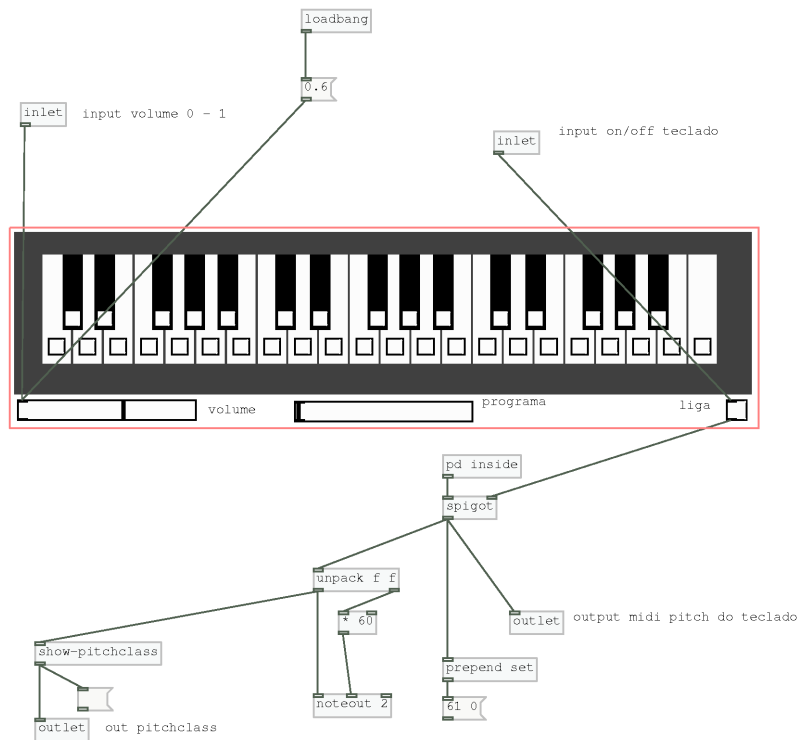


Figura 4.42: Visão interna de [sinc-teclado]

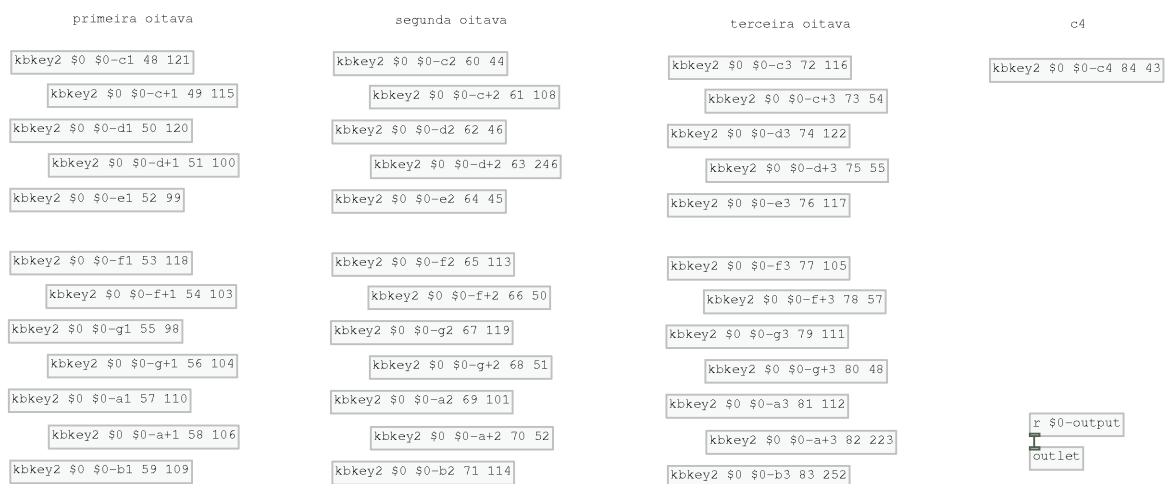


Figura 4.43: Mapa de distribuição das teclas de [sinc-teclado]

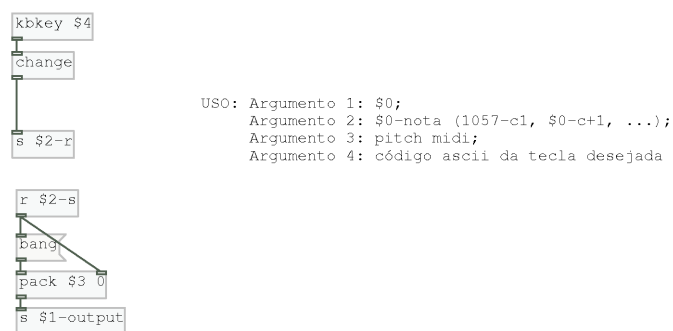


Figura 4.44: Abstração [kbkey2] mapeia cada tecla

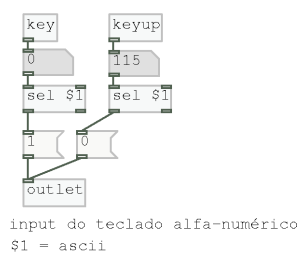


Figura 4.45: Abstração [kbkey]

teclado alfanumérico do computador em um controlador MIDI sem o controle de velocity de cada nota. Cada tecla é mapeada com a abstração [kbkey2] o que permite que se defina como quiser a relação de cada tecla com uma respectiva nota MIDI.

Na figura 4.42 podemos ver o panorama interno da abstração [sinc-teclado], onde cada tecla envia uma mensagem MIDI por [noteout] para o canal 2. Cada tecla é mapeada com a abstração [kbkey2] que é vista na figura 4.44. Na figura 4.43 vemos a distribuição das instâncias de [kbkey2] para cada tecla. Na figura 4.44 vemos o detalhamento dos argumentos de criação de [kbkey2], que além de mapear uma tecla específica para uma nota midi correspondente, envia informação para um objeto toogle [tgl], correspondente a sua representação no teclado gráfico, o que possibilita a visualização para qual nota a tecla foi mapeada. O primeiro objeto de [kbkey2] é a abstração [kbkey] que pode ser vista na figura 4.45.

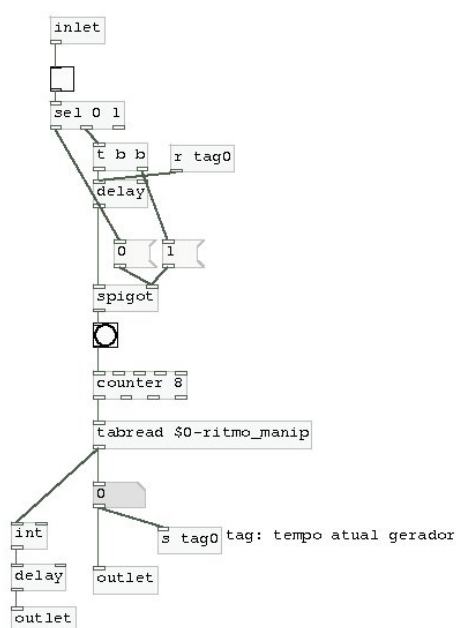


Figura 4.46: subpatch [pd gerador-ritmico0] de [sinc-gera-ritmico]

4.3.2 Imitação

Os geradores imitativos são os de implementação mais simples, pois apenas fazem uma leitura na memória dos dados da performance. Quando algum parâmetro está sendo gerado através de imitação a sensação de unidade composicional é fortalecida.

Gerador rítmico imitativo

No patch da figura 4.46 vemos um gerador de tempos de intervalo entre ataques de notas. Nesse caso, as durações dos intervalos são gravadas no array \$0-ritmo_manip. Aqui o array é lido com [counter] que é acionado por um [delay]. O tempo de leitura respeita o próprio valor de duração que é enviado com a variável [s tag]. A abstração tem duas saídas, a primeira envia um bang a cada nova leitura, e a segunda envia o valor da atual duração.

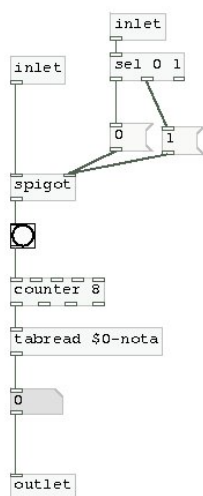


Figura 4.47: [pd gerador-melodico0]

Melodia imitativa

Nesse primeiro gerador melódico o método de geração é a leitura linear da tabela temporária de pitches como se pode ver na figura 4.47.

O objetivo desse gerador é a imitação melódica do instrumentista. A leitura é feita com [counter] e enviada diretamente para a saída.

4.3.3 Variação

Denominamos variação um procedimento que toma como base um material dado e aplica uma operação de transformação nesse material. Nessa pesquisa, o material de base são os próprios dados da análise da performance musical. Aqui serão descritos algumas técnicas de variação melódica como transposição, inversão, retrogradação e também de variação rítmica como expansão e contração de durações. Além de outras possibilidades de leitura de arrays e transformações.

Na figura 4.48 vemos acima um array “pitch_original” que representa o conjunto de pitches executados pelo músico (poderiam ser durações ou qualquer outro parâmetro). No centro, o

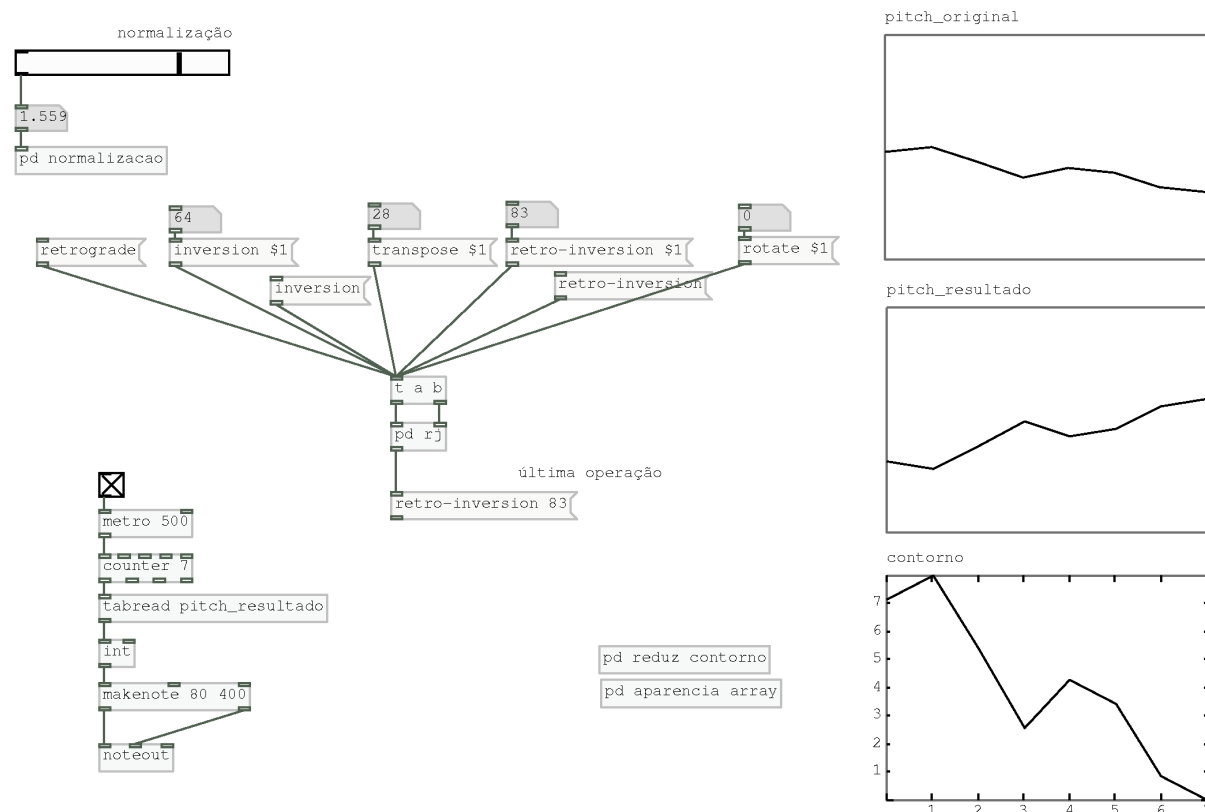


Figura 4.48: Patch mostrando operações de variação sobre array

array “pitch_resultado” mostra o resultado das operações de variação. E abaixo, um array “contorno” mostrando a redução do contorno em “pitch_original” para a forma normal, como visto na seção 4.1.3.

A primeira operação é chamada aqui de normalização dinâmica, onde se pode aumentar ou diminuir a razão entre os valores, sem perder as relações originais. Isso é feito multiplicando todos os valores por um índice variável, como pode ser visto na figura 4.49, no subpatch [pd normalizacao]. A multiplicação é feita lendo os valores em “pitch_original” e escrevendo o resultado em “pitch_resultado” e em outro array interno chamado “temp”.

As operações de transposição, inversão, retrógrado e retrógrado-invertido são realizadas com o objeto [c_patternchange] da biblioteca rj. O objeto [c_patternchange], recebe uma lista de valores na entrada da direita e comandos de operações na entrada da esquerda. A cada novo comando de operações, primeiro a lista atualizada de valores de “temp”, com [tabdump], para então realizar a operação e escrever o resultado no array “pitch_resultado”.

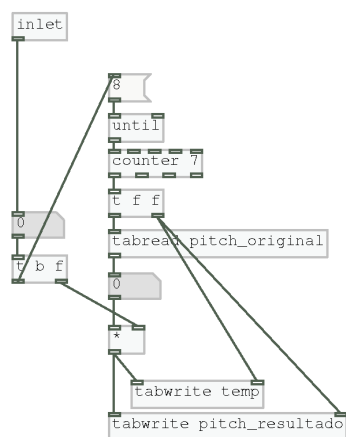


Figura 4.49: Sub-patch mostrando operação de normalização sobre array

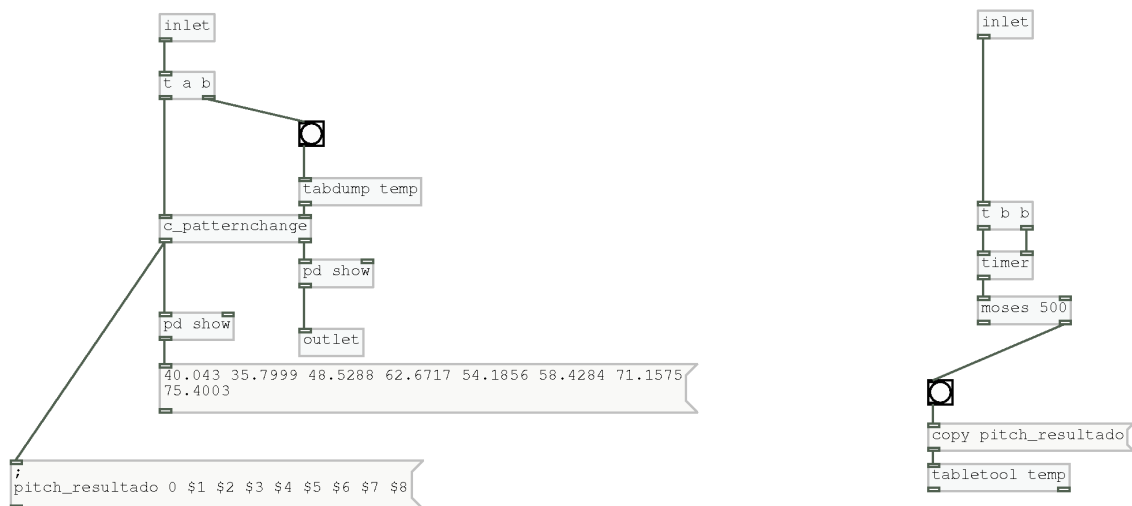


Figura 4.50: Sub-patch [pd rj] mostrando objeto [c_patternchange]

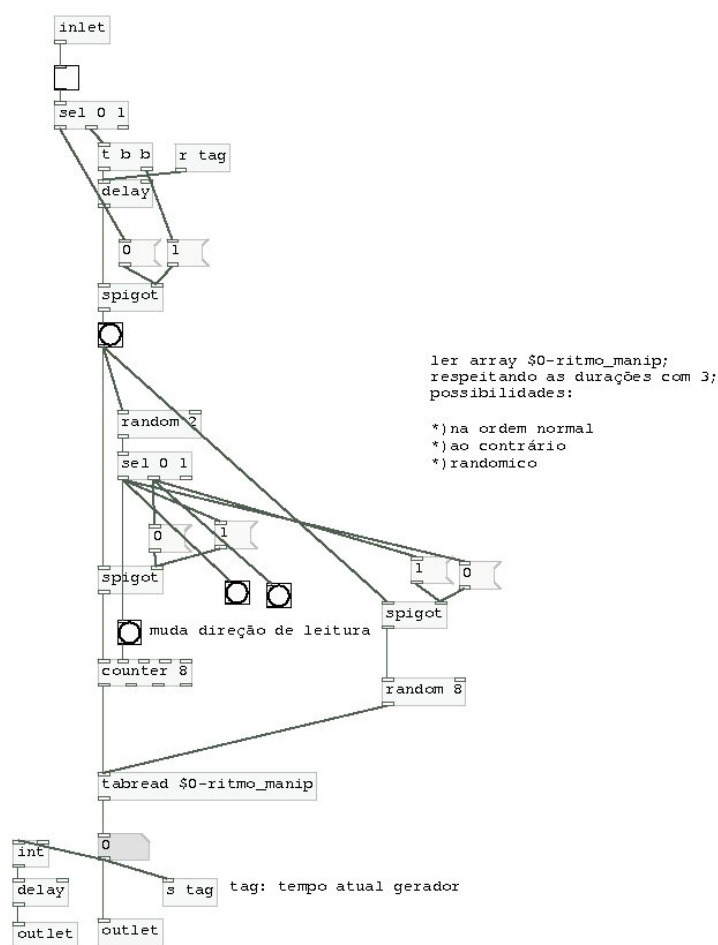


Figura 4.51: Gerador rítmico de variação de leitura de tabela de durações

Paralelamente, é contado o tempo a cada chamada de operação com o objeto [timer]. Quando o tempo entre uma operação e outra for maior que 500 milissegundos, o objeto [tabletool] fará uma cópia de “pitch_resultado” para “temp”. Garantindo que cada operação será feita em cima do resultado das outras operações feitas durante a sessão.

Quando aplicamos a operação de transposição ao parâmetro de durações das notas, obtemos o efeito de expansão e contração rítmica, bastante utilizados em técnicas de contraponto tonal.

Na figura 4.51 vemos outro gerador aplicado a variações rítmicas. É responsável por construir novas sequências rítmicas a partir de variações da tabela de durações. Essas variações podem ser:

- leitura das durações na ordem normal
- leitura na ordem reversa
- leitura randômica

4.3.4 Randômicos

A maioria das linguagens de programação possuem um gerador de números randômicos, que gera a partir de uma distribuição uniforme, com valores entre 0 e 1. Esse número é chamado de pseudo-aleatório, porque é possível repetir a mesma sequência a partir de uma mesma semente (valor inteiro). A distribuição uniforme é a distribuição de probabilidades mais simples de definir, onde a probabilidade de se gerar qualquer ponto em um intervalo contido no espaço amostral é proporcional ao tamanho do intervalo.

Cada implementação define uma equação complexa que produz uma sequência de números pseudo-previsíveis. No Pd o objeto [random] retorna um valor randômico entre 0 e seu argumento de criação. O resultado pode ser escalado utilizando objetos matemáticos como visto na seção A.2.

Cada instância de [random] é provida com uma semente (seed) que é apenas uma das variáveis na equação que produz a sequência. A “semente” é gerada pelo Pd baseado em parâmetros específicos em cada patch que contém um objeto [random]. Se mais de um objeto [random] é colocado em um único patch, cada um recebe uma semente diferente. Entretanto, sementes podem ser enviadas para [random] com a mensagem *seed \$1*. Se mais de um objeto [random] recebem a mesma semente, ambos retornam o mesmo resultado, e se a semente for atualizada com o mesmo valor, a mesma sequência de resultados volta ao início.

Na figura 4.52 vemos um patch com dois objetos [random] acionados simultaneamente pelo mesmo [metro]. Podemos notar que algumas mensagens com *seed* aparecem acima. Algumas se conectam apenas com um [random] e outra se conecta com os dois. O resultado da manipulação desse patch pode ser visto na figura 4.53 com a indicação acima da pauta do mo-

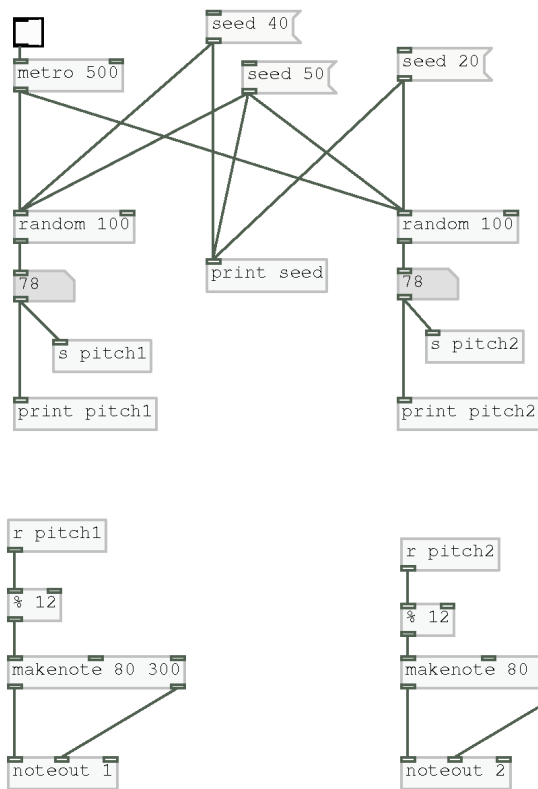


Figura 4.52: Patch com dois geradores [random] alternando entre valores de seed

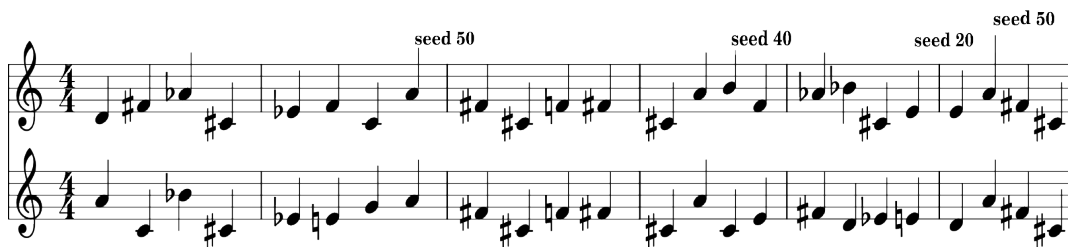


Figura 4.53: Sequência de notas geradas pelo patch da figura 4.52

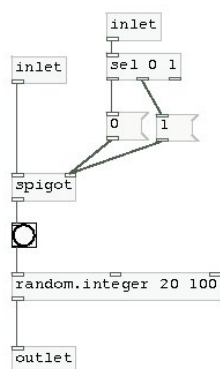


Figura 4.54: [pd gerador-melodico3]

mento em que cada mensagem foi acionada. Podemos dessa maneira sincronizar geradores randômicos e acessar repetições de trechos.

Musicalmente podemos pensar num gerador randômico aplicado a geração de alturas, que representa o oposto da impermeabilidade melódica, como descrito por Ligeti e citado no capítulo 2. O gerador da figura 4.54 é baseado no objeto [random.integer]. O objetivo desse gerador é ter um gerador com alto grau de permeabilidade melódica.

Em alguns casos pode-se desejar realizar um filtragem dos resultados de um gerador algorítmico. De maneira que todos resultados do algoritmo se encaixem numa sequência de valores definidos. Nesse sentido podemos citar a abstração [musical.closest.note] da biblioteca PDMTL.

4.3.5 Probabilidades

No Pd podemos implementar um sistema simples de probabilidade como vemos na figura 4.56, onde o resultado de um gerador randômico passa por uma sequência de filtros numéricos feitos com [moses]. Esse procedimento pode ser usado em conjunto com um sequenciador, ou como é o caso aqui, pode ter as probabilidades ajustadas em tempo-real.

Para criação de música interativa, é importante que as probabilidades dos eventos de análise da entrada do músico, influenciem as probabilidades de geração de eventos pelo sistema em

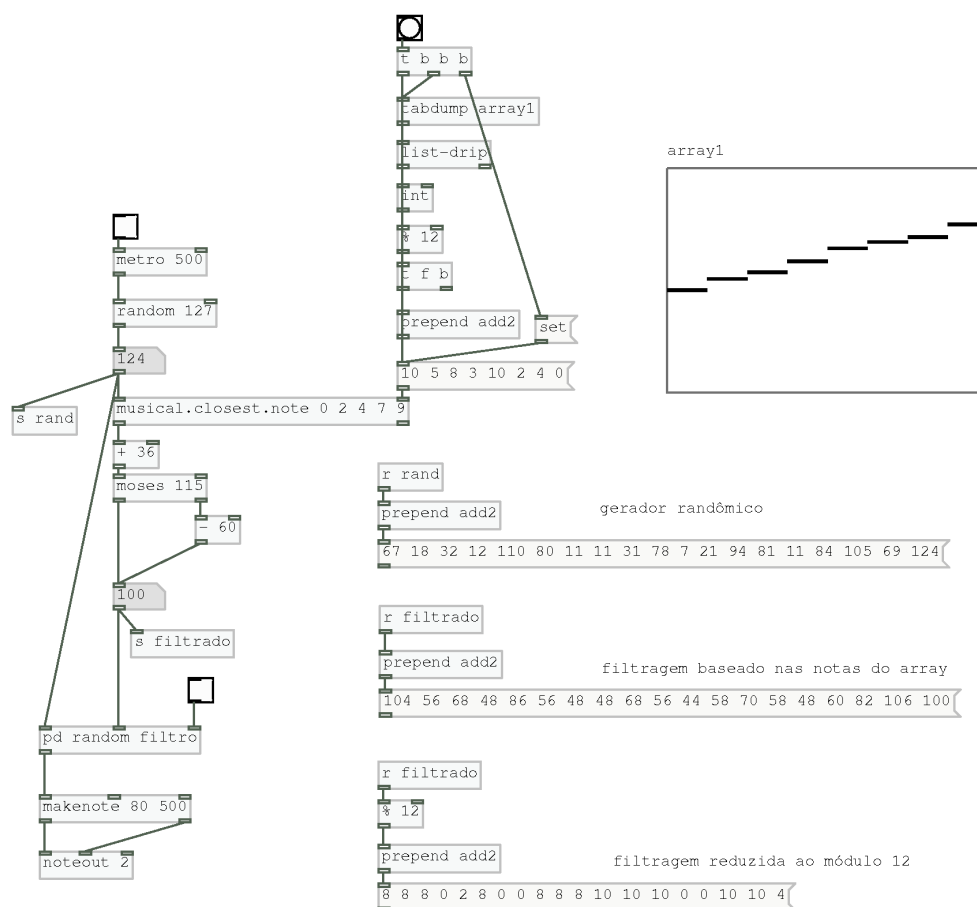


Figura 4.55: Filtro de alturas baseado em array, através da abstração [musical.closest.note]

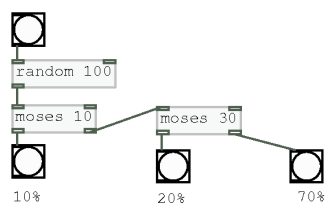


Figura 4.56: Patch controlador de probabilidade

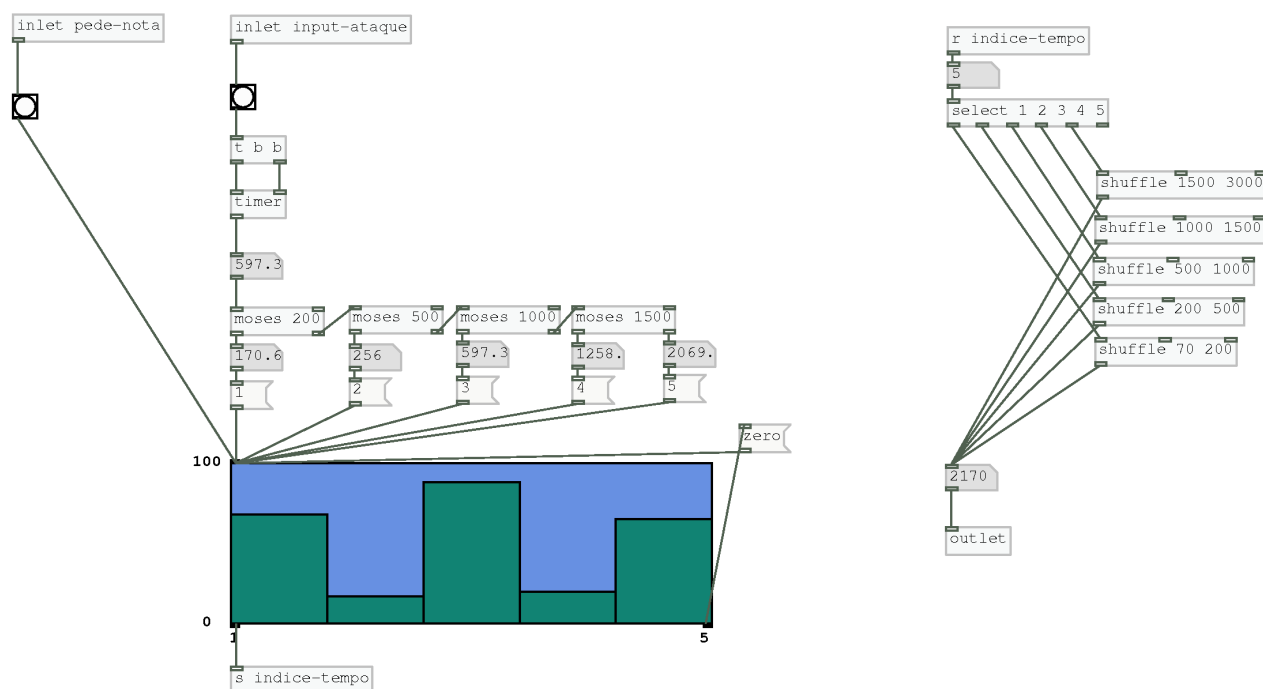


Figura 4.57: Abstração [sync-ritmo-prob]

tempo-real. O objeto [probalizer] da biblioteca unauthorized, proporciona uma interface gráfica para edição e controle das probabilidades. Na abstração [sync-ritmo-prob] foi implementada um sistema que calcula as probabilidades de durações aproximadas.

Cada duração de entrada é encaixada em uma escala de cinco possíveis classes de durações. De 0 a 200, 200 a 500, 500 a 1000 e 1000 a 1500 milisegundos respectivamente, são os registros das durações das cinco classes, da mais curta até a mais longa. Esses registros ainda podem ser móveis, alterando-se os objetos [moses] através da entrada da direita.

A cada duração, é alimentado o objeto [probalizer], aumentando a probabilidade da classe de duração em questão. Quando [probalizer] recebe um bang através de [inlet pede-nota], é retornado o valor da classe de duração de acordo com a curva de probabilidade. Esse valor é enviado na variável [s indice-tempo] para um gerador de durações. A cada classe que chega com [r indice-tempo], um valor é calculado por um objeto [shuffle] correspondente. O objeto [shuffle] retorna um valor randômico dentro de um registro dado. Por exemplo, o primeiro

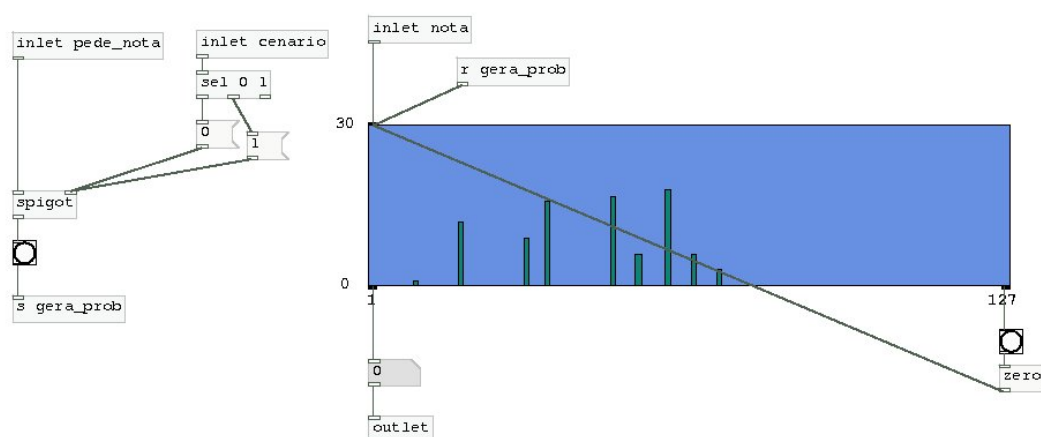


Figura 4.58: [pd gerador-melodico1]

objeto [shuffle] da sequência, vem com os argumentos 70 e 200, que determina o registro do valor de resposta.

A cada 100 ocorrências de uma classe a tabela de probabilidades volta ao início. Quando todos valores de [probalizer] estão com a mesma probabilidade, o objeto funciona como um gerador randômico comum sem repetições. Outra aplicação de [probalizer] é vista na figura 4.58, onde cada valor de pitch da análise da performance do músico alimenta a probabilidade da respectiva nota. O objeto [probalizer] é organizado para receber valores de 0 a 127 e a cada 30 ocorrências do mesmo pitch as probabilidades voltam ao início.

Uma outra possível aplicação seria o uso de probabilidades para análise e geração de padrões maiores tanto de durações quanto de conjuntos de notas. O que permite a recorrência dos padrões rítmicos que emergem ao longo da performance.

4.3.6 Movimento browniano

O terceiro gerador é mostrado na figura 4.59 e realiza uma combinação entre os objetos [table-tool] e [brown-rhythm].

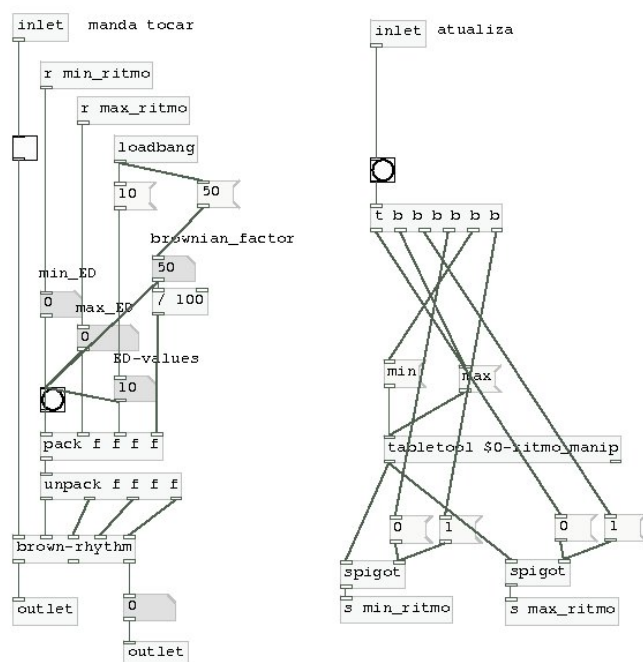


Figura 4.59: Gerador rítmico baseado em movimento browniano

O objeto [tabletool]¹¹ permite que se façam operações matemáticas recursivas e análise em arrays de números.

Nesse caso, [tabletool] é responsável por informar os valores mínimo e máximo de durações de tempo entre notas, que estão armazenados no array *\$0-ritmo-manip*, enviando esses respectivos valores como variáveis [s min-ritmo] e [s max-ritmo] para o gerador de durações [brown-rhythm].

O objeto [brown-rhythm] está presente na biblioteca RTC e se trata de um gerador de durações baseado em movimento browniano (*Brown motion*)¹².

¹¹Objeto externo desenvolvido em C por William Brent e compilado e testado no ambiente de desenvolvimento dessa pesquisa

¹²Movimento browniano é um modelo que descreve o movimento aleatório de partículas macroscópicas num fluido como consequência dos choques das moléculas das partículas. Esse nome é devido ao botânico Robert Brown, que observou minúsculas partículas dentro dos vacúolos dos grãos de pólen executando um movimento agitado. Repetindo o experimento com partículas de poeira, ele foi capaz de definir que o movimento se deu devido às partículas estarem "vivas", embora a origem do movimento ainda estivesse para ser explicada. O cientista que explicou corretamente esse movimento, propondo que a energia fosse constituída de partículas, foi Albert Einstein, em 1905. Movimento browniano é um dos modelos mais usados de processos estocásticos (ou probabilísticos) sobre tempo contínuo.

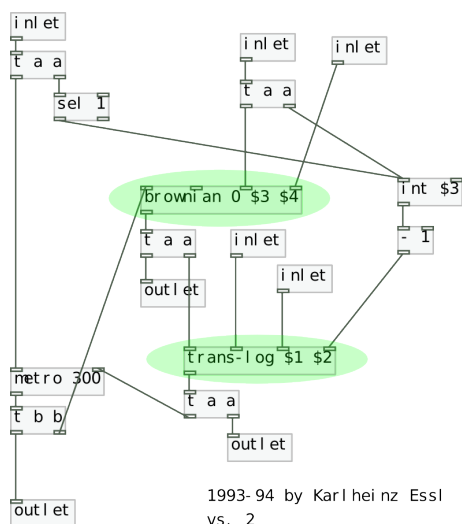


Figura 4.60: brow-rythm

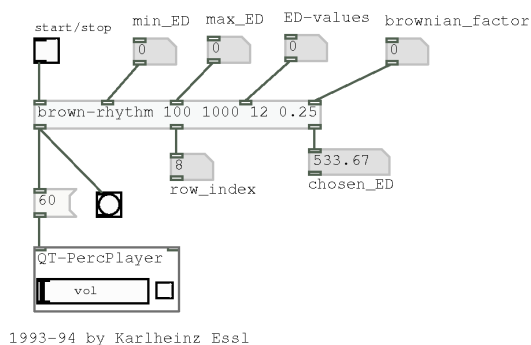


Figura 4.61: Funcionamento básico de [brown-rhythm]

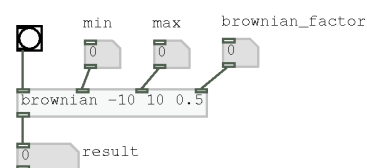
O funcionamento básico aparece na figura 4.61. No manual de [brown-rhythm] aparece uma explicação mais detalhada.

Gera um ritmo do tipo movimento browniano de uma linha geométrica de durações entre ataques (IOI)¹³ e um determinado número de durações (IOI). O fator browniano determina a distância entre dois valores rítmicos sucessivos. Um fator de 0 produz um ritmo periódico, onde um fator de 1 gera valores de saída randômicos dentro do intervalo dado.¹⁴

Na figura 4.60 vemos como [brown-rythm] é construído internamente. Nota-se em destaque os principais objetos envolvidos na construção de [brown-rhythm]. Basicamente, o objeto

¹³“Inter-Onset-Interval” considero um termo que define melhor essa classe de valores.

¹⁴Generates a brownian-movement-like rhythm of a geometrical row of entry delays (ED) and a certain number of ED-values. The brownian factor determines the distance between two succeeding rhythmical values. A factor of 0 produces a periodic rhythm, where a factor of 1 output random values of the given range.



1993-98 by Gerhard Eckel

Figura 4.62: Funcionamento de [brownian]

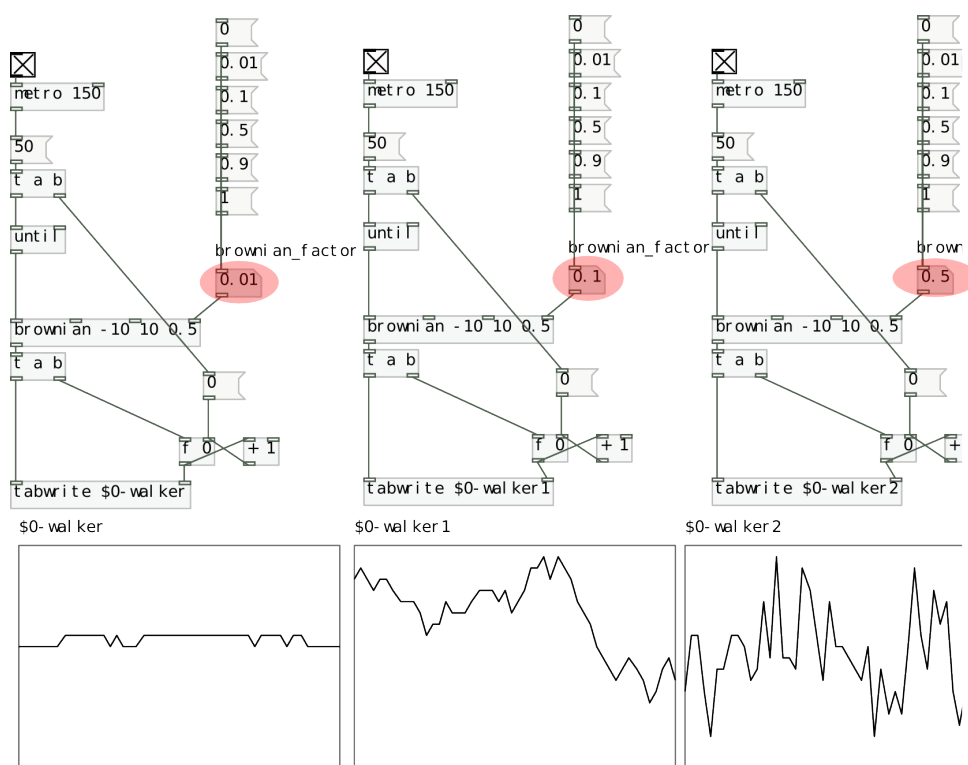


Figura 4.63: objeto [brownian] com diferentes valores de fator de brown

[brownian] é uma implementação de distribuição de Brown no Pd. E [trans-log] é um objeto que realiza uma transição logarítmica entre números.

Podemos ver o funcionamento básico do objeto [brownian] acessando seu manual (figura 4.62). A saída desse objeto retorna números randômicos entre o mínimo ("min" (int, float)) e o máximo ("max"(int, float)). A distância entre dois números randômicos é determinada pelo fator de brown (float entre 0 e 1). Quando esse fator é 1, [brownian] se comporta como um gerador randômico ordinário (objeto [random] por exemplo). Quando o fator é 0, o mesmo número sempre é repetido.

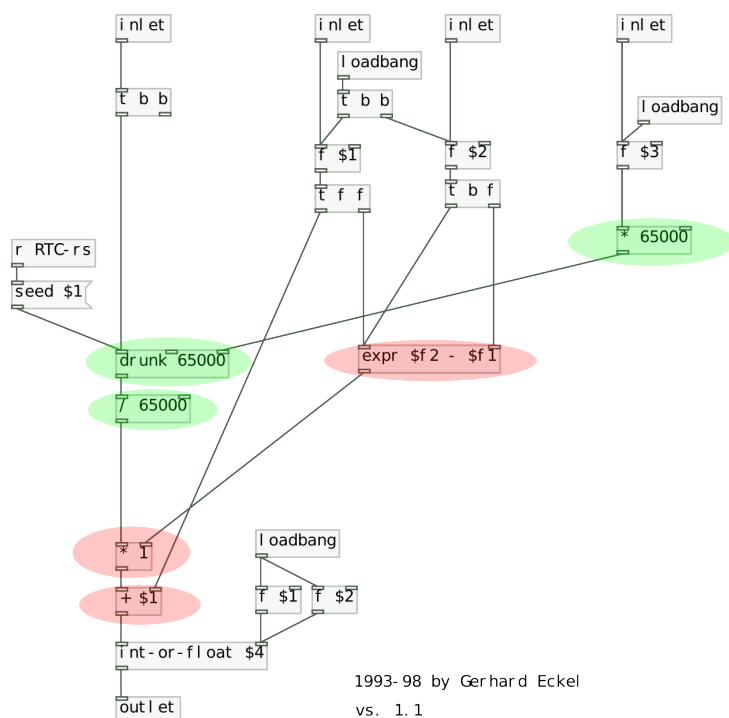


Figura 4.64: [brownian]

É possível comparar diferentes comportamentos de [brownian] observando a figura 4.63, onde vemos três objetos [brownian] com os mesmos parâmetros de inicialização, cada um escrevendo os resultados em diferentes arrays de 50 elementos. A única diferença entre os 3 está no fator de brown, assinalado em rosa (0.01 , 0.1 e 0.5 respectivamente). Musicalmente, um baixo fator de brown aplicado a durações entre notas possibilita a emergência de padrões rítmicos bem estabelecidos com pequenas variações. Quando aumentamos gradualmente o fator de brown, ouvimos uma transição rumo a uma instabilidade rítmica e a quebra de padrões. O objetivo desse gerador é se aproximar da performance do músico real. O objeto [sinc-audioanalise] analisa o áudio de entrada estimando os valores de duração entre notas. Esses valores são enviados a [sinc-calc-ritmo] que faz uma estimativa do grau de instabilidade, como explicado na página 4.21. O grau de instabilidade rítmica influencia direto o comportamento do fator de brown, de acordo com a definição do cenário de interação a que se propõe. O cenário pode definir, por exemplo, que um ritmo estável do músico (baixa instabilidade), provoque um comportamento rítmico instável do gerador (fator de brown alto).

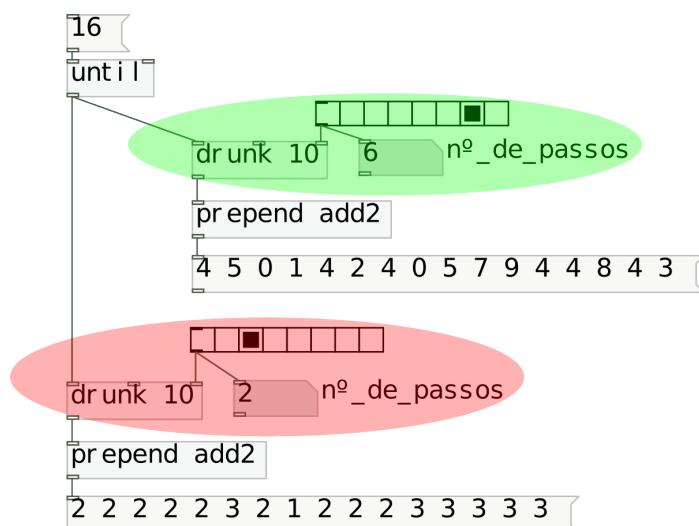


Figura 4.65: exemplo de funcionamento de [drunk]

Na figura 4.64 vemos a composição interna do objeto [brownian] onde temos elementos grifados com a cor verde e outros com a cor rosa. Se trata de duas partes distintas do patch, a parte com a cor verde, representa o controle dos parâmetros do objeto [drunk] que é a implementação de um modelo de *random-walk* no Pd. A área destacada em rosa mostra uma sequência de objetos que escalonam o resultado dentro da amplitude de valor mínimo (\$1) e máximo (\$2).

O objeto [drunk] pertence a biblioteca Cyclone, que tem como objetivo implementar objetos compatíveis entre Pd e MAX. O objetivo de [drunk] é retornar números randômicos dentro de uma escala variável. A distância entre cada número randômico é definida pelo valor da terceira entrada de [drunk]. Essa variável define o maior número de passos possível entre dois resultados de [drunk]. Vemos na figura 4.65 dois objetos [drunk] sorteando 16 valores de 0 a 10 com a diferença do número de passos, com 6 (destaque em verde) e 2 (destaque em rosa).

Os objetos [brownian] e [drunk] são muito úteis para a composição interativa por permitirem a variação dos parâmetros do algoritmo em tempo-real. Essa funcionalidade é usada em SInCoPA em outros geradores melódicos e de dinâmica.

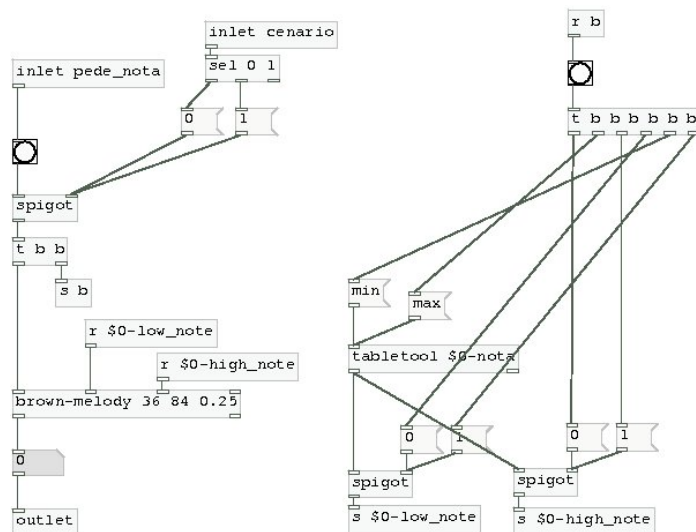


Figura 4.66: [pd gerador-melodico2]

Movimento browniano como gerador melódico

O terceiro gerador é mostrado na figura 4.66 e realiza uma combinação entre os objetos [tabletool] e [brown-melody].

Gerador rítmico polifônico

O gerador da figura 4.67 é baseado no objeto [repchord-rhythm] da biblioteca RTC. O objetivo desse objeto é ter um gerador com capacidade de controle dos parâmetros da polifonia.

O objeto [repchord-rhythm] é um gerador rítmico polifônico cujas taxa repetição e densidade do acorde são dependentes dos graus de periodicidade de durações mínima e máxima entre notas.

4.3.7 Boids

Boids é o nome de batismo de um algoritmo simples, usado na simulação de deslocamento de grupos de animais na natureza, como cardumes de peixe e bandos de pássaros. Esse algoritmo foi inventado pelo animador de computação gráfica Craig Reynolds. O nome é um trocadilho

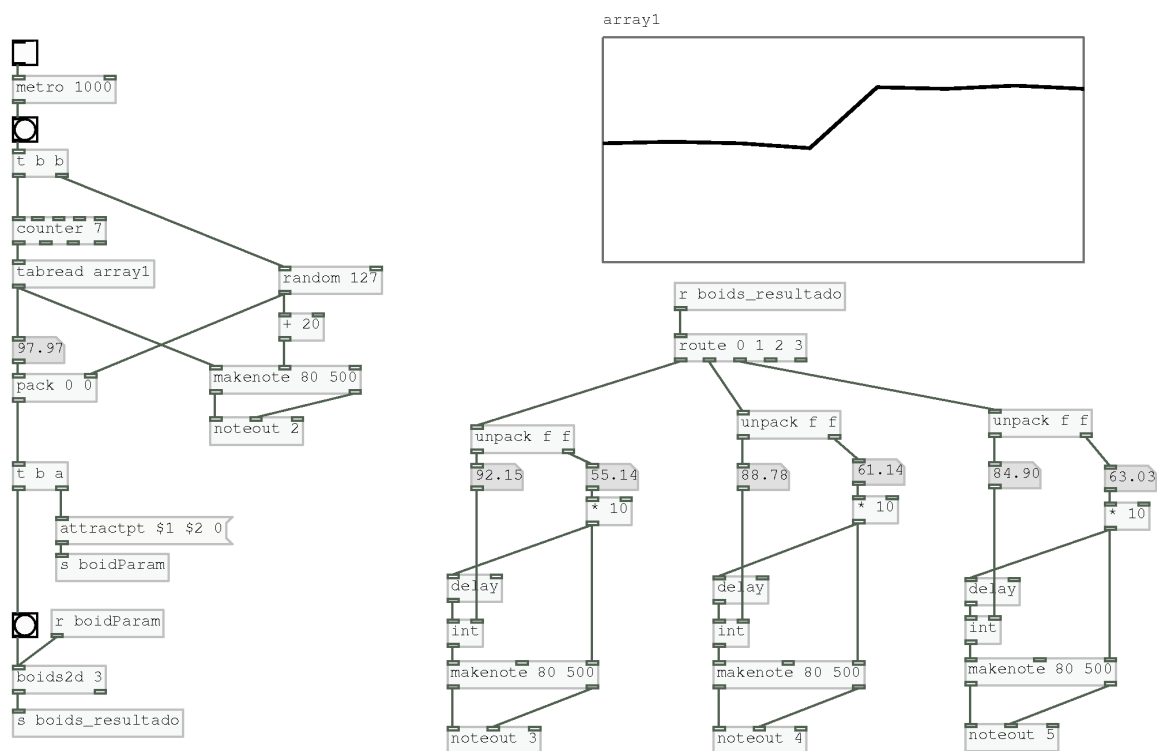


Figura 4.68: Objeto [boids2d] controlando 3 boids geradores de notas MIDI

3. Cada boid tenta sincronizar sua velocidade com boids vizinhos;

Basicamente, a cada instância temporal, os parâmetros espaciais de cada boid são re-calculados levando em conta um centro de atração e os comportamentos dos vizinhos. Esse algoritmo tem potencial enquanto gerador de material musical numa perspectiva de interação.

O Pd-extended traz uma implementação de boids na forma do objeto [boids2d] que recebe mensagens de parâmetros de comportamento global, parâmetros do centro de atração e calcula as novas posições XYZ de cada boid. No caso de uma aplicação musical desse algoritmo foi pensado num primeiro momento que as frequências podem representar o eixo X e o tempo de execução o eixo Y. Na figura 4.68 vemos um array que representa a entrada de alturas do músico. Esse array atua como o “líder” que é seguido por outros três boids. A altura e a velocity são enviadas para o objeto [boids2d], que retorna o valor de altura e intensidade dos três boids que representam três vozes. Cada voz é escrita em um canal MIDI.

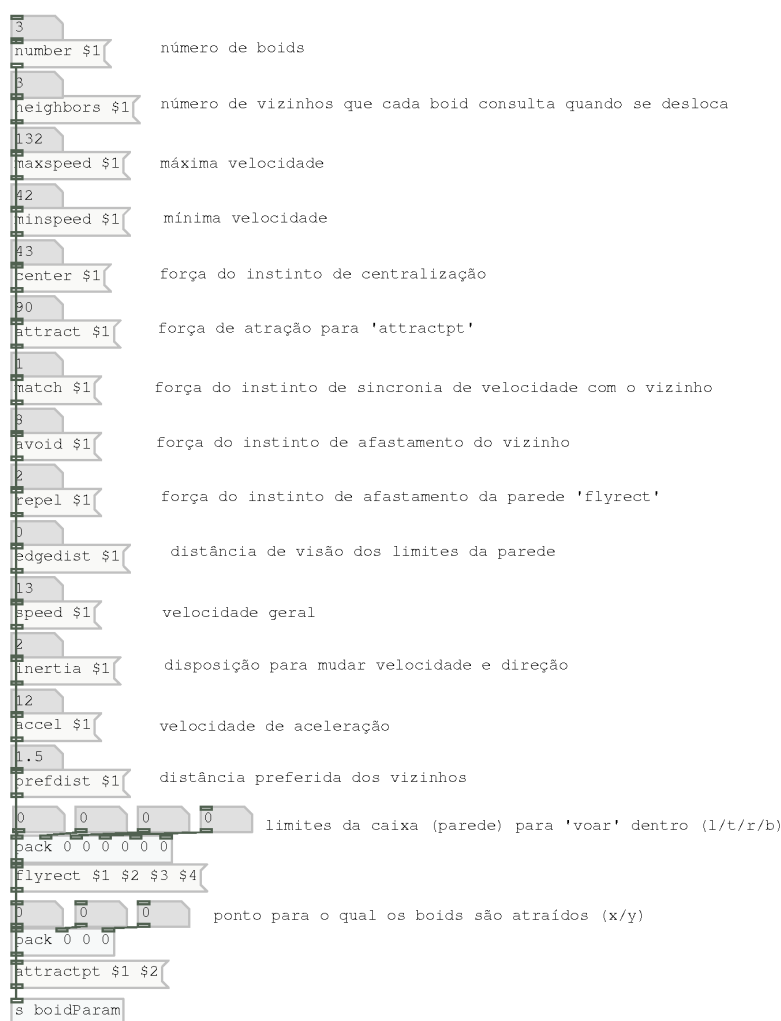


Figura 4.69: Lista de parâmetros enviados para [boids2d]

As mensagens de parâmetros de comportamento global podem ser vistas na figura 4.69. Cada parâmetro tem uma frase que explica a influência no comportamento global. Nesse experimento, apenas o parâmetro *attractpt* é atualizado em tempo-real, enquanto todos os outros são fixos nos valores vistos em 4.69.

O resultado do patch visto na figura 4.68 pode ser visto na figura 4.70. Onde vemos que as notas executadas pelo array estão destacadas em cores, enquanto que as notas geradas pelos boids estão em cinza. Podemos notar um certo “atraso” na ação de seguir o “líder”. Esse atraso pode ser alterado através dos parâmetros, por exemplo o parâmetro *inertia* que controla essa “disposição” para mudar de velocidade e de direção está muito baixo (valor 2 na fig. 4.69), a medida que aumentamos esse valor iremos notar os boids seguindo com mais rapidez o “líder”.

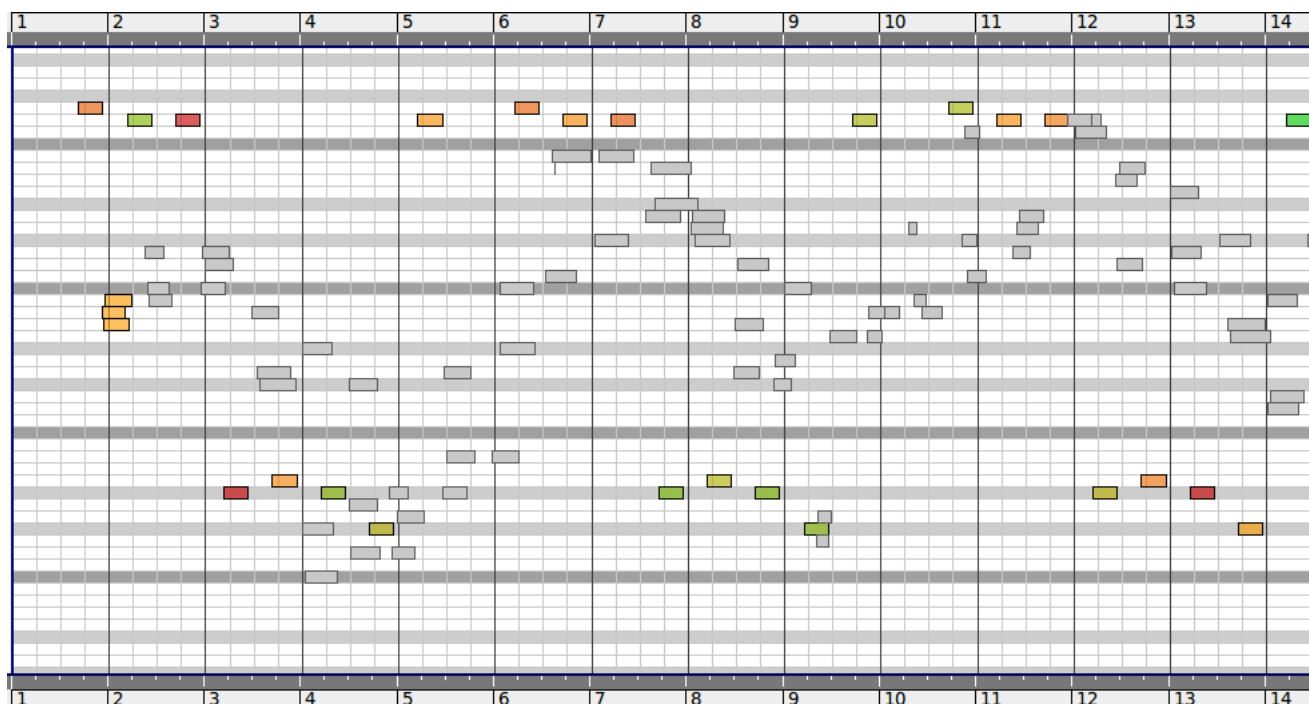


Figura 4.70: Visão de resultado de 3 boids seguindo perfil melódico no piano-roll

O efeito musical é uma textura que varia de uma polifonia densa e aparentemente desconexa até uma heterofonia radical, a depender dos parâmetros de comportamento.

Outra classe de algoritmos podem ser encontrados na biblioteca “flatspace”, especializada em geradores fractais que aceitam parâmetros de “atratores” baseados em modelos da teoria do caos. São objetos passíveis da atualização dos parâmetros em tempo-real.

4.3.8 Harmonizadores

Esta seção tem como objetivo apresentar possibilidades de harmonização automática em tempo-real, onde o sistema tendo o conhecimento da linha melódica criada instantaneamente pelo músico, consegue harmonizar essa linha melódica.

Uma extensa bibliografia tem sido desenvolvida nos últimos 30 anos sobre o tema da harmonização automática. Muitas empresas subsidiam a pesquisa nesse tema com o objetivo de criar produtos comerciais que realizem harmonização automática de maneira satisfatória para o usuário final. Esse processo vem acumulando patentes de algoritmos de harmonização por parte de compa-

nhas fabricantes de teclados e desenvolvedoras de programas comerciais de produção musical. Um exemplo é o programa “Band-in-a-Box” que realiza harmonizações de acordo com a análise prévia de estilos. Nesse caso a harmonização não é feita em tempo-real e tem como finalidade o exercício musical caseiro de criação melódica sobre harmonizações de diferentes estilos. Outro exemplo são as harmonizações automáticas de teclados comerciais populares, onde o usuário escolhe a tonalidade manualmente e um programa interno realiza uma harmonização tonal, simples, mas muitas vezes satisfatória para certos estilos de música.

Ching-Hua Chuan define em sua tese, um sistema de harmonização que leva em conta parâmetros de análise de cada nota presente em um fluxo melódico, como duração, duração das notas anteriores, número de ocorrências de determinado pitch class ao longo da melodia, direcionalidade melódica e diversos outros parâmetros (Chuan 2008). Por fim, expõe um modelo de acompanhamento harmônico e obtém um resultado positivo ao apresentar o sistema acompanhando canções populares.

Matt Hanlon e Tim Ledlie apresentam um sistema de harmonização de corais a quatro vozes no estilo de Bach. A composição da progressão harmônica é implementada com um modelo estatístico de cadeias de Markov (Hidden Markov Model), e deriva na solução da harmonia através da solução de problemas de satisfação restrita (constraint satisfaction problem) (Hanlon e Ledlie 2002). Após essa etapa é feita a realização da progressão em linhas melódicas para quatro vozes

Uma implementação bem detalhada de um harmonizador automático que faz uso de regras de harmonia tradicional é descrita na patente Norte-Americana US 7,189,914 B2 assinada por Allan John Mack. O harmonizador inicia na primeira nota da melodia e de acordo com a escala e modo providos pelo usuário, o sistema escolhe uma especificação de acorde dentre as especificações estocadas em memória, que podem ser definidas pelo usuário e são estocadas em arrays lidos pelo programa em tempo-real. Nessa implementação, uma série enorme de regras de sequência harmônica e condução de vozes são definidas baseadas em regras comuns a diversos cursos de harmonia tradicional, como evitar 5^{as} e 8^{as} paralelas e progressões “proibidas” (I - ii - iii , por exemplo) (Mack 2003).

Um aspecto complexo das regras de harmonia tradicional é que as regras de condução das vozes se misturam de forma iterativa com as regras de progressão harmônica. Na descrição da patente, o autor exibe trechos do sistema em pseudo-código, mostrando a maneira como a sequência harmônica influencia na condução vocal e vice-versa, e o nível de detalhamento do projeto:

```

VI to V progression
if the preceding and current chords are at their root positions then
  if the preceding chord is of dominant root then
    if the preceding chord is a triad in a minor key or a seventh in a
      major key then
        if the current chord is a submediant triad then
          if the preceding chord has no seventh and no fifth then rule 361 fails
          if the third of the current chord has no double then rule 386 fails
        end if
      end if
    else if the current chord is a dominant triad then
      if the previous chord is a submediant triad in a minor key then
        if the current chord has no fifth then rule 361 fails
        if the third of the previous chord has no double then rule 386 fails
      end if
    end if
  end if
end if

```

Dentro do escopo de SInCoPA, foram desenvolvidos alguns métodos de harmonização melódica para uso composicional. Pode-se pensar em relações não-usuais de parâmetros como amplitude e densidade rítmica como controladores de comportamento de harmonizadores. Um dos objetivos é a flexibilidade e modularidade da implementação de harmonizadores que possibilite novas relações e “regras” de interação do músico humano com a dimensão harmônica da composição.

Nota pertence ao acorde

Nessa técnica foi definido que a maior exigência será que o acorde contenha a nota que está sendo tocada pelo músico e harmonizada pelo computador. Para isso são expostas 2 possibilidades de harmonização automática, com resultados distintos.

No patch da figura 4.71 temos a célula básica do harmonizador diatônico usado no protótipo. O objeto [receive fiddle] recebe o fluxo de notas e o objeto [decide], escolhe randomicamente quais notas vão ser harmonizadas, e manda sua decisão para o objeto [spigot] que funciona

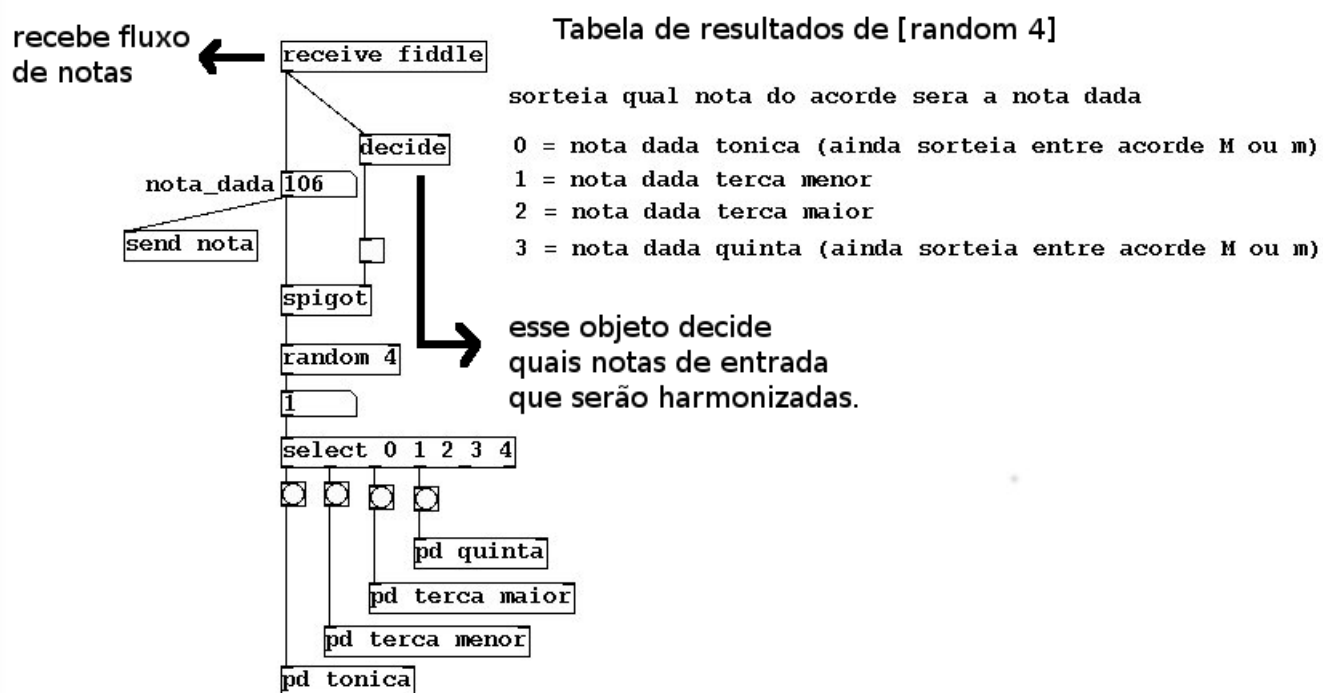


Figura 4.71: Decisão de qual nota a ser harmonizada

como uma chave seletora liberando ou não a nota para ser harmonizada. Após a nota ser liberada para o harmonizador, vai acontecer a escolha de qual acorde será sobreposto a essa nota. Isso é feito pelo objeto [random 4] que escolhe randomicamente um número de 0 a 3, cada um representando uma operação a ser feita com a nota dada pela flauta (ver ainda na figura 4.71 - “tabela de resultados de [random 4]”).

Na figura 4.72 podemos ver o que acontece dentro do sub-patch [pd tônica], onde a nota sorteada será a tônica de uma tríade maior ou menor dependendo do resultado de [random 2]. A figura 4.73 mostra um pequeno exemplo dos resultados desse harmonizador. Nesse exemplo, a primeira nota harmonizada é um si que virou terça maior de uma tríade maior. Um aspecto interessante desse harmonizador é que mesmo em exemplos curtos quase sempre se chega a

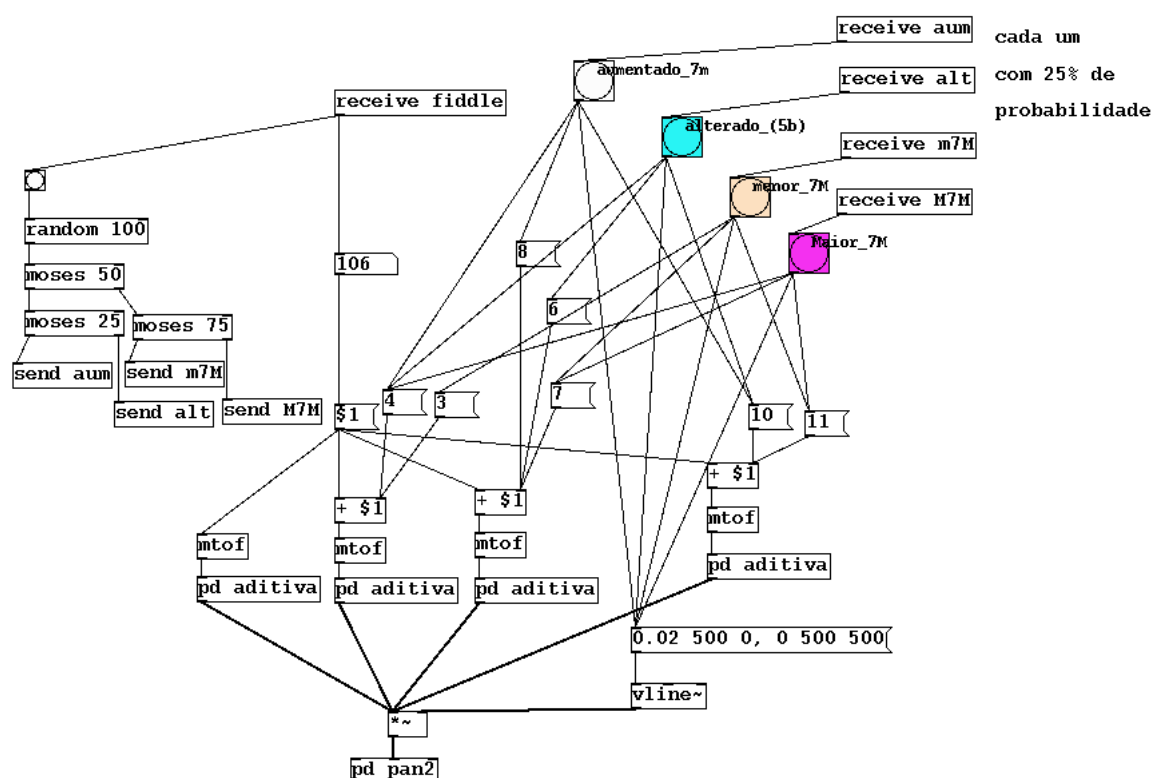


Figura 4.74: harmonizador dissonante , modo 2

bilidade de aparecer. Cada membro dos acordes é endereçado a um gerador de síntese aditiva com amplitude bem baixa. Em função da amplitude bem baixa do harmonizador de acordes alterados, o resultado funciona bem como uma textura dissonante.

O objetivo é a investigação de possibilidades e prototipação de estruturas computacionais com objetivo de agregar interatividade ao trabalho composicional. Apesar desses harmonizadores terem sido usados nessa pesquisa para interação com áudio em tempo-real, podem ser muito úteis como geradores de material escrito em notação tradicional, como mostra a figura 4.75. Esta imagem mostra o patch de Pd mandando as informações para o programa de notação Rosegarden através do programa Jack que funciona como um servidor de comunicação entre programas. Esse tipo de operação possibilita uma usabilidade do Pd semelhante ao programa *Open-music*¹⁵ desenvolvido no Ircam.

¹⁵Disponível em: <http://repmus.ircam.fr/openmusic/home>

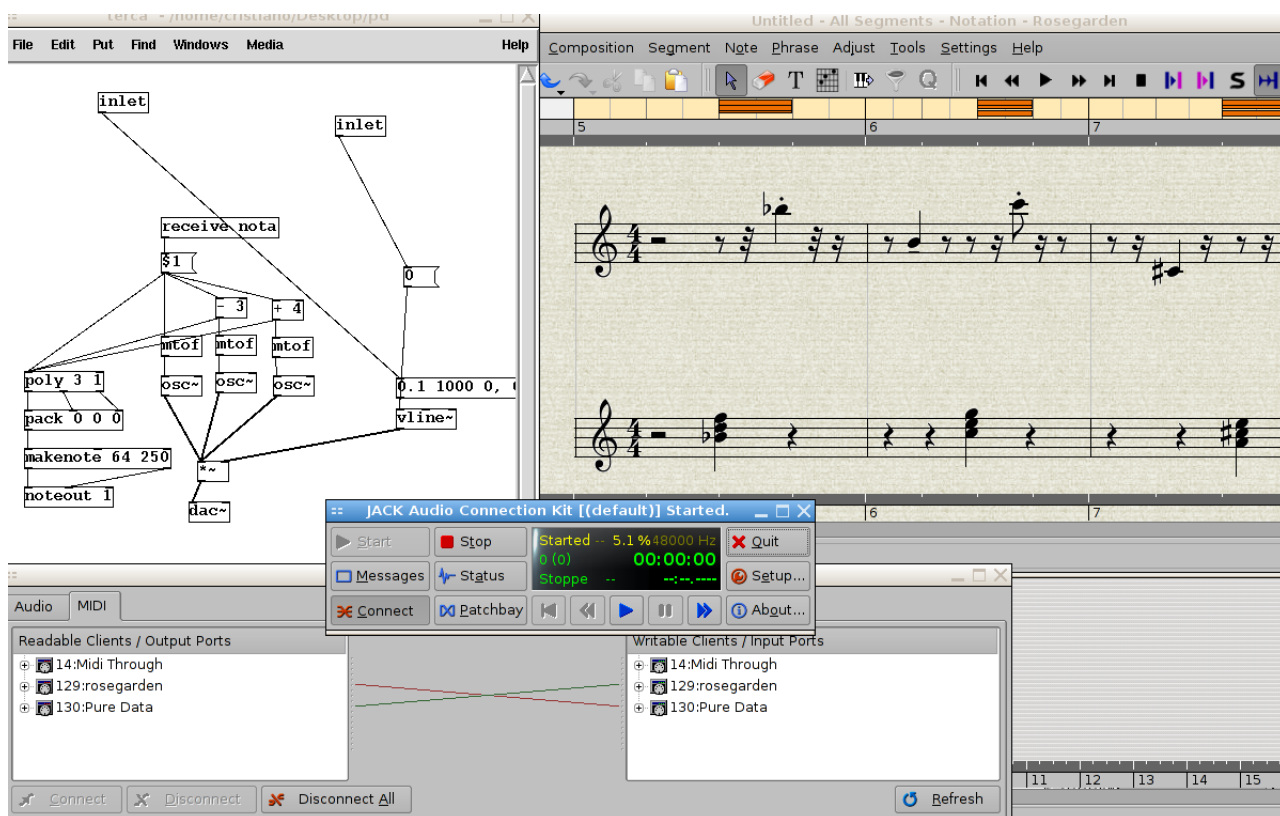


Figura 4.75: pd, jack e rosegarden

Acorde pertence a coleção de notas

No patch da figura 4.76 é implementado um harmonizador simples, onde a sequência dos acordes e a condução vocal é totalmente randômica. A única regra é que as notas usadas na composição dos acordes tenham sido tocadas pelo músico. Podemos ver o resultado desse algoritmo na figura 4.77.

Sequência baseada em regras

Para implementação de regras mais refinadas de progressão harmônica foi desenvolvida uma estrutura de decisão baseada em uma cadeia de markov. Para isso foi definida uma estrutura de prototipação e definição de possíveis acordes de escolha pelos estados da cadeia de markov.

A abstração [sync-chord] vista na figura 4.78, recebe uma variável global “tonalidade”, que varia de 0 a 127. Essa variável funciona como o elemento 0 na definição do acorde. A definição

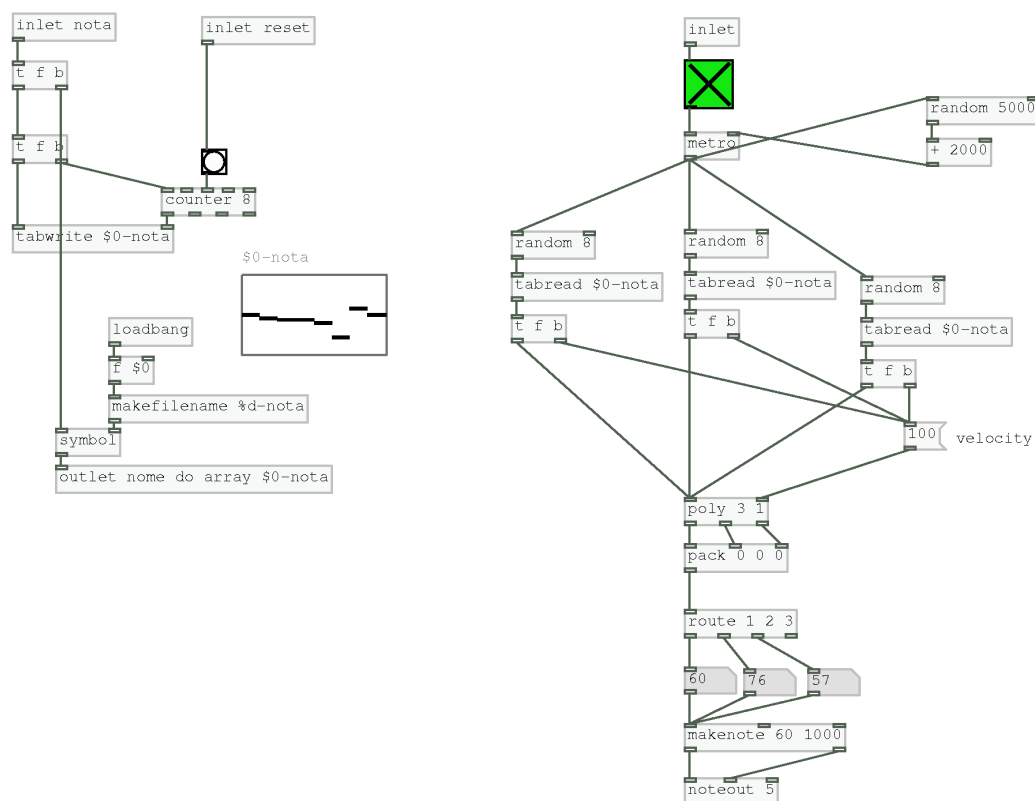


Figura 4.76: Patch que harmoniza de acordo com as notas executadas pelo músico estocadas em um array



Figura 4.77: Resultado de harmonizador automático com acordes pertencentes a coleção de notas tocadas

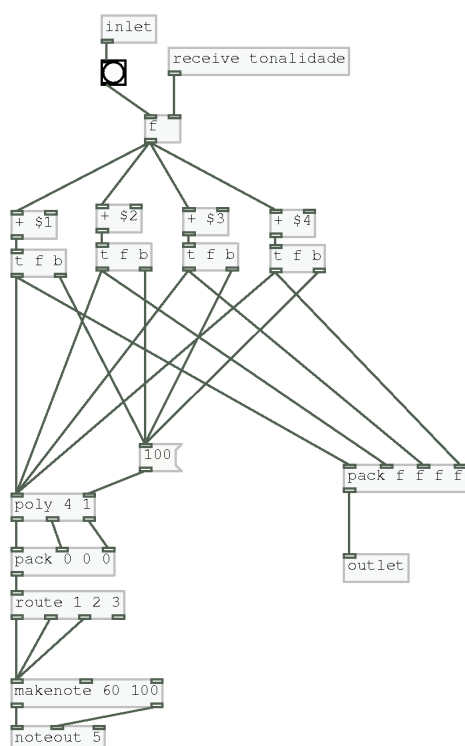


Figura 4.78: abstração [sync-chord] para criação de cada acorde

do acorde é dada por quatro parâmetros definidos em cada instância de [sync-chord]. Por exemplo, se a variável “tonalidade” for definida como 60 (dó), uma instância definida como [sync-chord 0 3 5 10] gera o acorde dó-mib-sol-sib (60 63 65 70). A primeira saída é como mensagem MIDI, enviada a algum sintetizador externo, definida numa sequência de objetos [poly], [pack 0 0 0] e [route 1 2 3 4]. Outra saída é uma lista com os quatro valores de pitch do acorde, enviado por outlet para uso interno no Pd.

A partir da definição de [sync-chord], foi feito um protótipo de listagem de acordes possíveis em [sync-chord-list], visto na figura 4.79. Na figura vemos um objeto [select] principal que recebe a variável global “novo_acorde” que aciona as instâncias de cada tipo de acorde especificados pelo objeto [sync-chord] correspondente.

A ordem de cada acorde na progressão é definido na figura 4.80. A estrutura de decisão é baseada em uma cadeia de markov com três estados e nove possibilidades de resultado. Cada estado representa uma das três principais funções tonais (tônica, sub-dominante e dominante).

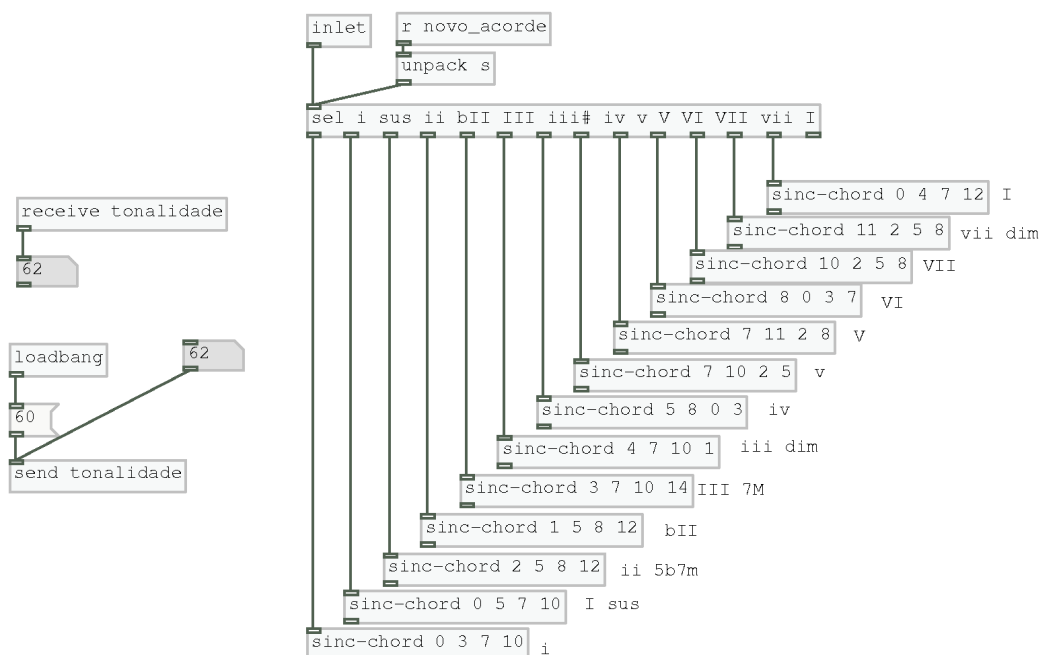


Figura 4.79: Abstração [sync-chord-list] para listagem de diversos acordes

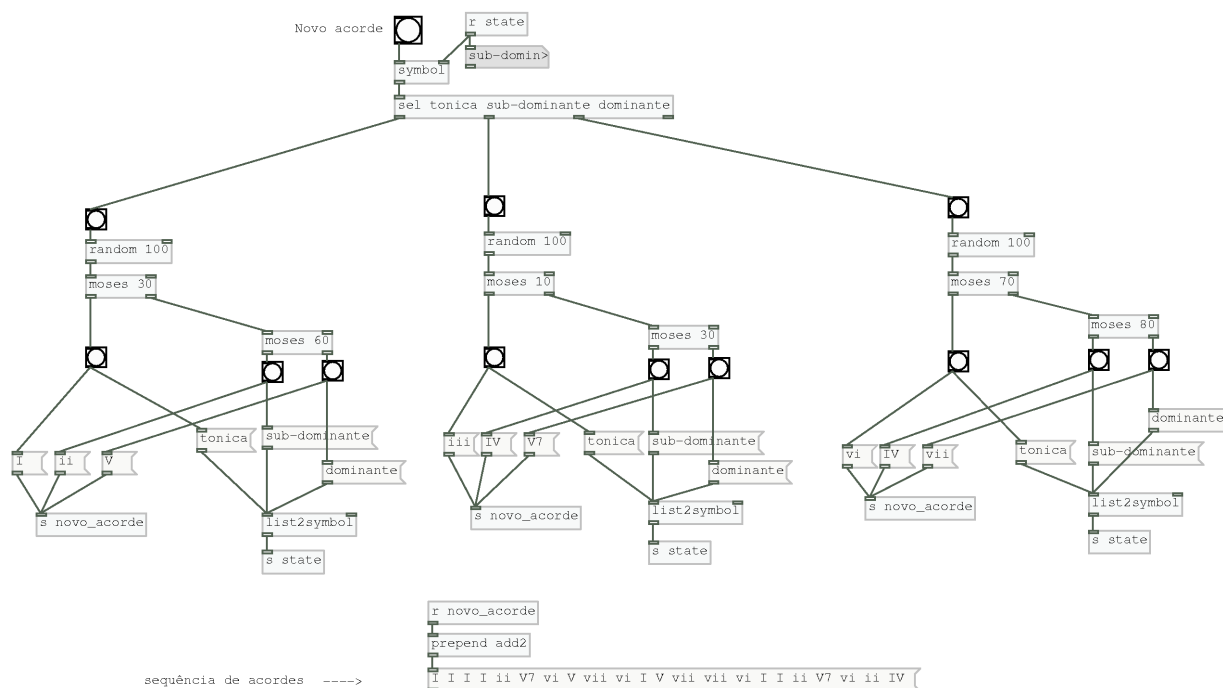


Figura 4.80: Exemplo de harmonizador baseado em cadeia de markov

Dentro de cada estado foram definidas algumas probabilidades de ocorrência de acordes. Por exemplo, se o acorde “V” for selecionado, a variável global “state” será enviada com o símbolo “dominante” e o próximo acorde será com 70% de chance “vi”, 10% “IV” e 20% “vii”. O resultado da escolha é enviada com a variável global “novo_acorde” para [sinc-chord-list] para executar o acorde escolhido.

O próximo passo da pesquisa em harmonização será criar um mecanismo que analise progressões e retorne as probabilidades de ocorrência que poderão mudar automaticamente as probabilidades da cadeia de markov, alterando os valores dos objetos [moses], criando assim, novas relações de probabilidade de progressão harmônica.

4.4 Geradores de Síntese

As operações de síntese sonora são um campo em expansão para o desenvolvimento de novos timbres. Em Pd podemos modelar o timbre com operações matemáticas em sinal de áudio a partir de geradores. Na perspectiva de um compositor, programar em Pd abre um caminho para a livre experimentação e desenho de áudio em tempo-real. A própria interface de programação, exige que o músico/programador execute as conexões gráficas escutando os resultados das operações. A própria operação e visualização gráfica do resultado possibilita a precisão na concepção sonora do desenho de áudio.

O campo de pesquisa em síntese sonora digital é grande e vem crescendo nos últimos anos. Com a possibilidade dos compositores atuarem ativamente na concepção do timbre de suas composições, como é o caso desta pesquisa. E também pela emergência da atividade de desenho de som¹⁶, principalmente no cinema, televisão e jogos. Dentro do campo do desenho sonoro os principais focos de pesquisa são a captação e o áudio processual¹⁷ que é um conceito amplo em que essa pesquisa pode estar inserida.

Uma estratégia composicional a ser desenvolvida e devidamente descrita é a consideração e demarcação de pontos de contraste total entre som instrumental e som sintético. A partir dessa demarcação pode-se explorar “cenários de fusão” e matizes sonoros fronteiriços entre os pontos de contraste,. Alguns procedimentos semelhantes são usados em técnicas de música espectral e música eletroacústica mista.

¹⁶sound design

¹⁷tradução livre de “Procedural audio” apresentado no artigo Designing Sound de Andy Farnell(Farnell 2010). Na tradução optei por áudio processual, que reforça a idéia de criação de um ambiente sonoro interativo em processo e se aproximar do sentido original:

Procedural audio is sound qua process, as opposed to sound qua product. Behind this statement lies a veritable adventure into semiotics, mathematics, computer science, signal processing and music. Let us reformulate our definition in verbose but more precise modern terms before moving on. Procedural audio is non-linear, often synthetic sound, created in real time according to a set of programmatic rules and live input. To further define it let's explain it in terms of linear, recorded, interactive, adaptive, sequenced, synthetic, generative and AI audio. Let's also analyse some other phrases like algorithmic composition and stochastic music. By doing so, we may reach an understanding of why procedural audio is so powerful and important.

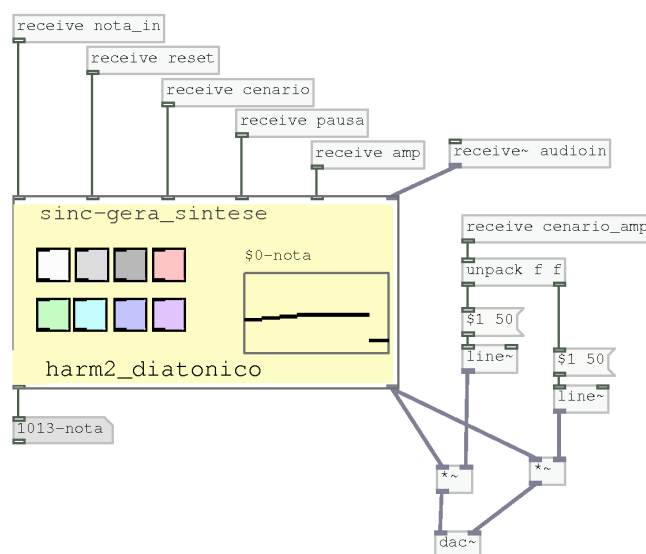


Figura 4.81: [sinc-gera-sintese]

Nessa seção vão ser abordadas técnicas clássicas de síntese sonora e maneiras de conectar essas técnicas com a análise de áudio em tempo-real. O objetivo é criar situações de diálogo entre instrumentos tradicionais e sons sintetizados.

Na implementação são usados objetos geradores de sinal como por exemplo [osc~] e [phasor~] e controladores de envelope sonoro como [line~] e [vline~], além de escrita de áudio em arrays e mensagens de controle. No Pd existe a necessidade de um cuidado na concatenação entre sinais de áudio e mensagens de controle como visto na seção de metodologia A.2.

Os resultados apresentados são na maioria implementações simples, que são combinados durante a performance, oferecendo uma boa paleta de sons reativos para o instrumentista/compositor. Para isso é mostrada uma interface simples de todos módulos de síntese. Ainda há muito a ser explorado no campo da síntese controlada por parâmetros de análise de áudio, aqui é apresentada uma metodologia de trabalho para expansão de possibilidades.

4.4.1 Objeto [sinc-gera-sintese]

Nessa abstração procura-se administrar a interação do músico com diversos geradores baseados em diferentes técnicas de síntese, oferecendo uma paleta de timbres ao compositor.

Os primeiros quatro sintetizadores descritos aqui, foram pensados como o mesmo sintetizador, tendo sido implementados como quatro separados, como estratégia composicional na organização das mensagens dos cenários de interação.

A superposição ou justaposição de diferentes sintetizadores vai ser definida pelo comportamento pré-estabelecido pelo cenário de interação proposto.

Síntese aditiva com as notas da entrada de áudio

Na figura 4.82 vemos um gerador de síntese aditiva com três osciladores [osc~] somados com 2 objetos de soma de áudio [+~].

A frequência de cada oscilador é determinada por uma leitura randômica da tabela de notas que são executadas pelo músico. Cada nota detectada pelo objeto [sinc-audioanalise] é enviada para o array \$0-nota que tem 8 elementos. Cada oscilador acessa esse array com o objeto [random] e manda a nota para o objeto [mtof] que converte o valor de nota midi para valor de frequência. Apesar das notas terem sido executadas pelo músico, as novas combinações de notas causadas pela leitura randômica cria uma sensação de elemento novo no discurso musical.

Cada nota é acionada pelo objeto [metro] que tem argumento de tempo constantemente recalculado de forma randômica. O objeto [metro] produz pulsos regulares (bangs) de acordo com o argumento que representa o valor de tempo entre cada bang em milisegundos. Isso causa um ritmo fragmentado, gerando padrões rítmicos instáveis.

A amplitude desse sintetizador é fixa, com envelope feito com o objeto [line~]. As fases de ataque e decaimento de cada acorde são feitas com 2 mensagens, a primeira enviada imediatamente realiza o ataque e a segunda é agendada como o objeto [del] que realiza uma linha de

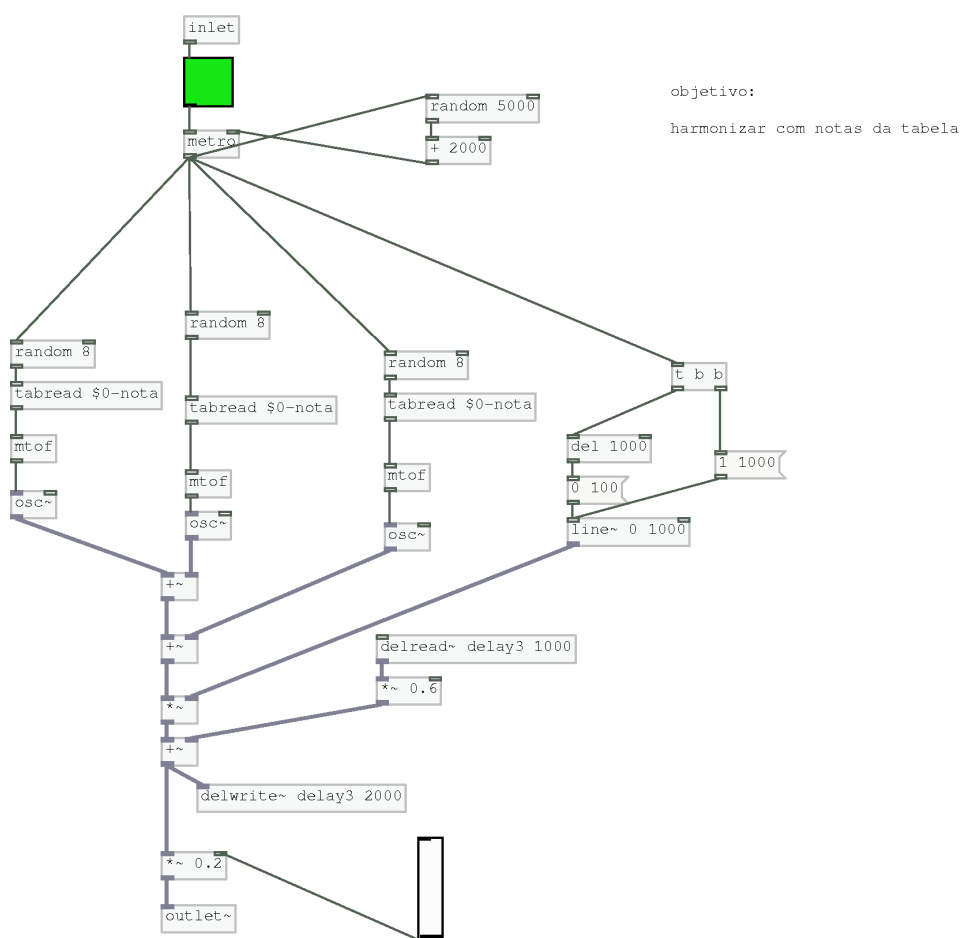


Figura 4.82: [pd gerador0-diato]

atraso responsável pelo decaimento. A amplitude resultante dos 3 osciladores é normalizada com o objeto `[*~]` com argumento 0.2.

No resultado da síntese é aplicado um delay com valor de escrita e leitura fixos. O delay é obtido com a combinação dos objetos `[delwrite~]` e `[delread~]`. O áudio resultante da síntese é escrito em uma memória temporária com o objeto `[delwrite~]` designado com o nome “delay3” e tendo o tamanho total de escrita de 2000 milissegundos. Essa linha de delay chamada “delay3” é lida pelo objeto `[delread~]` e enviada novamente para a escrita do delay com `[delwrite~]`, causando um efeito de feedback de delay. Antes da leitura do delay ser enviado novamente para a escrita, ele é normalizado com o objeto `[*~]` em 0.7, o que causa um efeito de eco ou reverb exagerado.

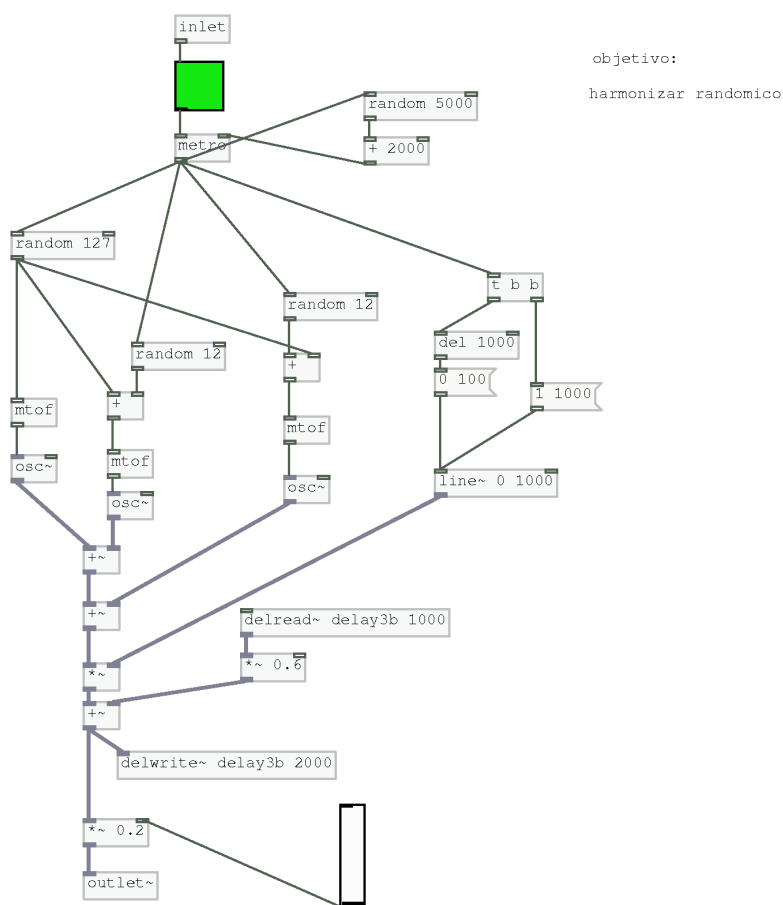


Figura 4.83: [pd gerador0-rand]

O efeito musical resultante desse sintetizador é semelhante a um harmonizador que ecoa combinações inusitadas das frequências executadas. O reconhecimento das frequências contrasta com o ritmo randômico gerando uma familiaridade apesar do contraste.

Síntese aditiva com frequências randômicas

Esse gerador é basicamente igual ao anterior com a diferença de que as frequências são totalmente randômicas, sem usar nenhum material fornecido pelo músico. A escolha das frequências é feita baseada em um objeto [random] com argumento 127, podendo aparecer qualquer valor de 0 a 127. Os outros dois osciladores recebem esse valor randômico e cada um soma a esse,

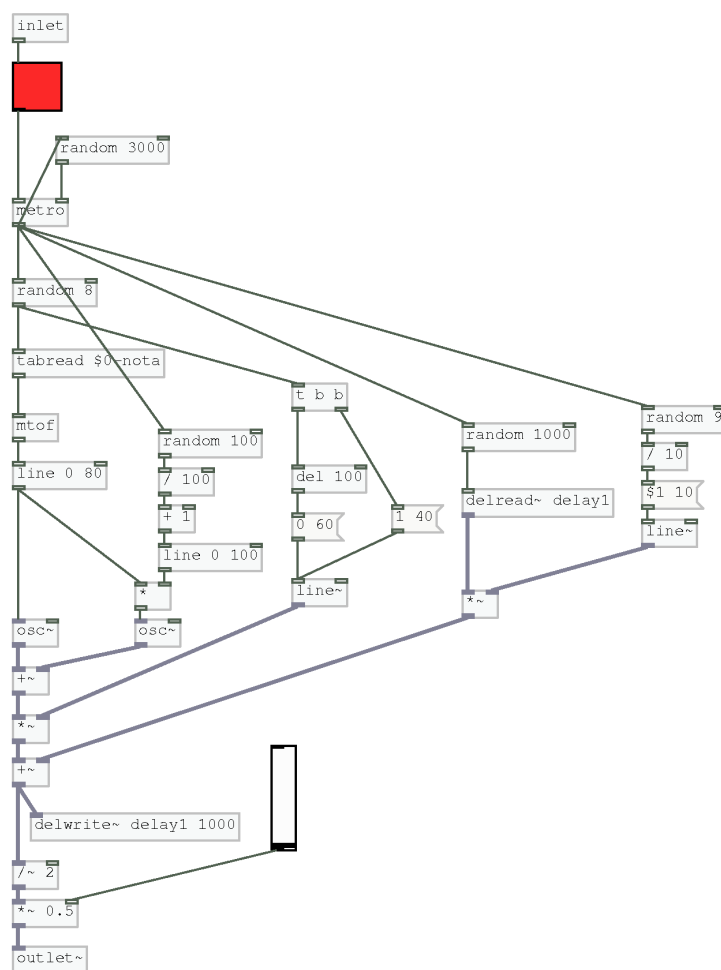


Figura 4.84: [pd gerador1-diato]

outro valor randômico de 0 a 12, resultando em um acorde sempre com as três notas dentro da mesma oitava.

Esse módulo de síntese é usado como contraste em relação ao anterior. Dentro de um discurso musical interativo é importante que existam geradores que proponham e acrescentem elementos estranhos ao que o músico executa. Pode-se, por exemplo, usar em tempo-real o índice de análise de permeabilidade melódica executada pelo músico para, a partir de determinado valor desse índice, o programa alternar automaticamente entre esses dois diferentes sintetizadores.

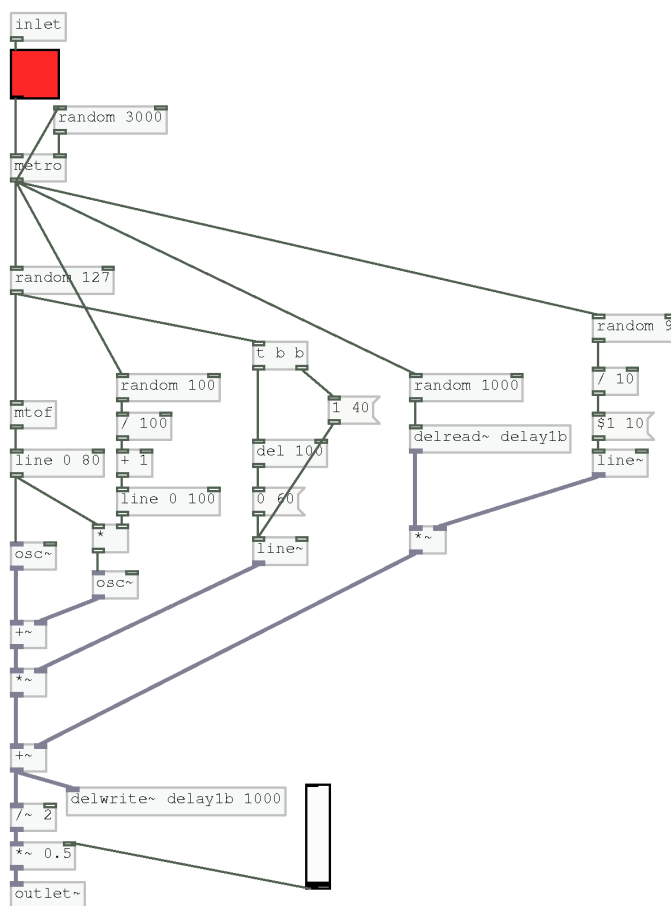


Figura 4.85: [pd gerador1-rand]

Tempo de delay randômico com frequências da tabela

Esse patch cria variação dos tempos de escrita e leitura de linhas de delay, o que causa o aparecimento de padrões rítmicos mais complexos e instáveis. O resultado é uma textura que varia de sons sustentados (com valor de feedback alto) até sons curtos, sempre com as notas da tabela de frequências executadas pelo performer. A visão geral do patch está na figura 4.84.

Gerador de frequências randômicas com tempo de delay randômico

Esse patch é praticamente igual ao anterior, com a diferença de que as frequências são sempre randômicas como mostra a figura 4.85. Cria um bom contraste em relação à sonoridade do

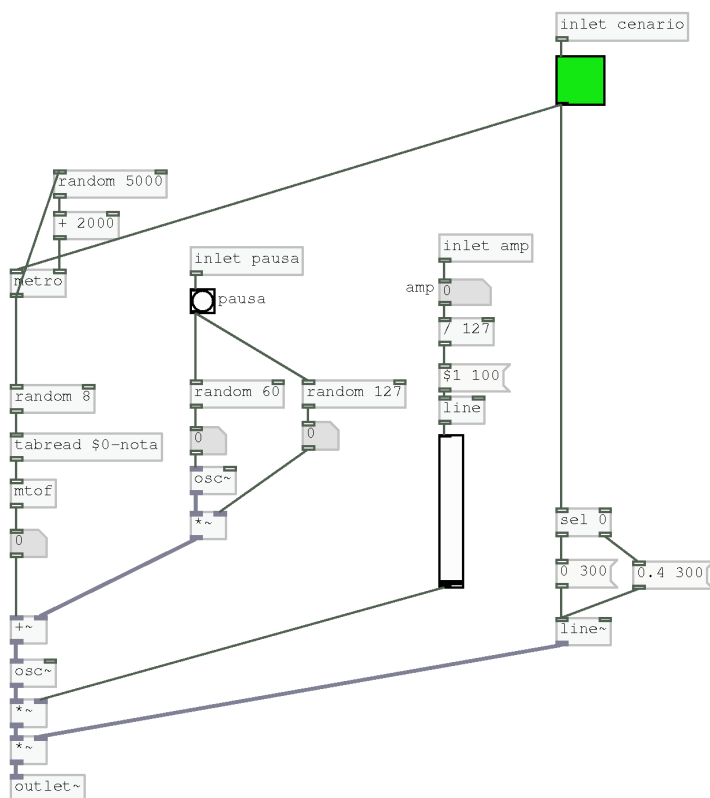


Figura 4.86: [pd fm1]

anterior mantendo a semelhança da síntese aditiva com as linhas de delay. Para o músico, as situações interativas em que a frequência é totalmente randômica sempre são mais desafiadoras pois aí o papel do instrumentista se torna a conexão da lógica narrativa em gestos que a princípio não estavam ligados.

Síntese FM responsiva

Na figura 4.86 vemos um patch que realiza uma síntese por frequência modulada (FM). Todos os parâmetros são conduzidos pela análise da performance musical. Quando o sistema detecta uma pausa na execução, aciona um novo sorteio de índice e frequência da moduladora. A frequência da portadora é definida pela tabela de frequências executadas pelo músico e a amplitude geral segue a amplitude da performance.

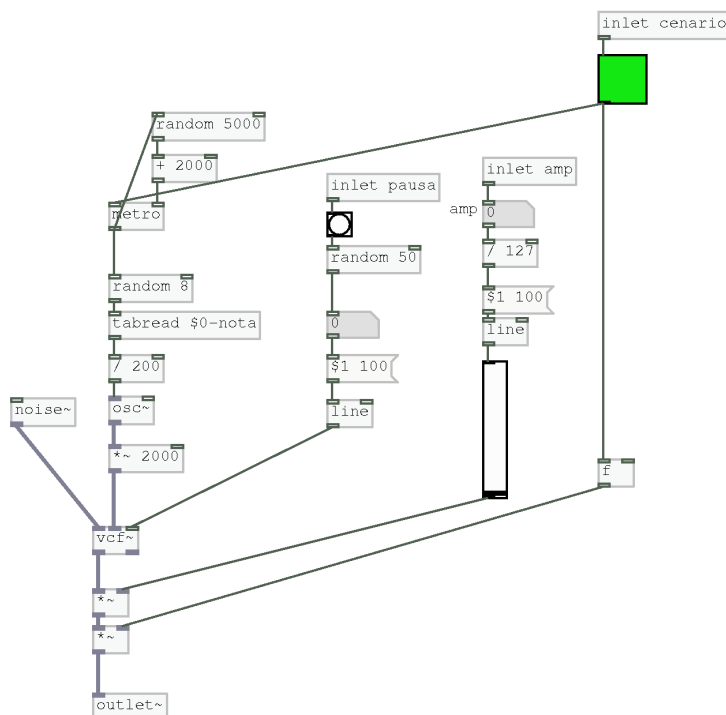


Figura 4.87: [pd noise]

Ruído branco com filtro de frequências executadas pelo músico

O objetivo desse gerador é materializar a idéia de um instrumento que esculpe um ruído branco ([noise~]). Nesse primeiro experimento da figura 4.87, foi usado um objeto [vcf~], que é um filtro passa-banda controlado por voltagem. A “voltagem” da definição do objeto se refere a analogia do resultado sonoro com o dispositivo de filtro controlado por voltagem presente em sintetizadores analógicos. Se distingue dos outros objetos de filtragem em Pd por usar uma sinal de áudio para definir a frequência central. A cada detecção de pausa a intensidade do filtro é randomizada.

Sintetizador com forma de onda variável

Nesse gerador, a cada detecção de pausa por parte do músico, o patch escolhe entre duas formas de onda para oscilar uma frequência definida em um array preenchido pelo próprio músico. Na

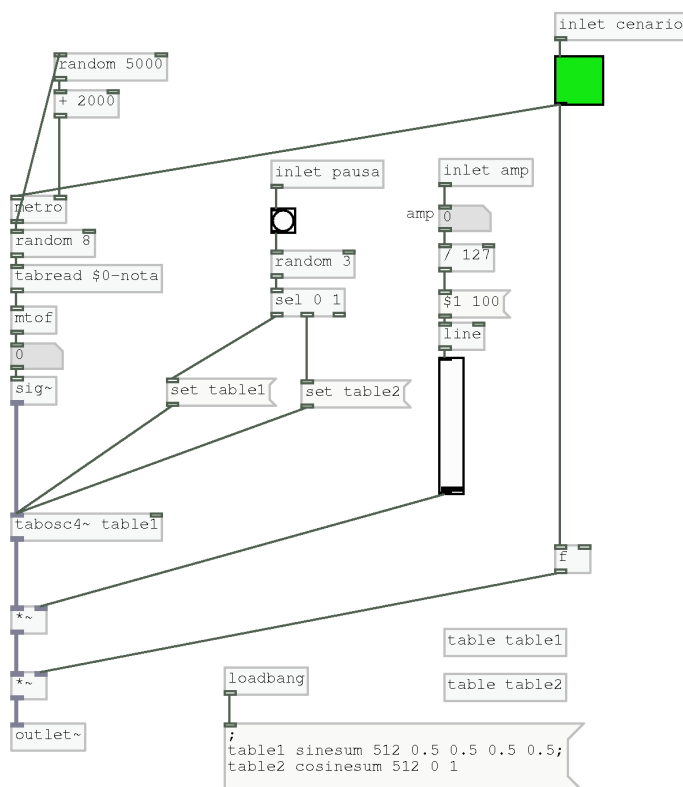


Figura 4.88: [pd synth-waveforms]

figura 4.88 vemos a estrutura do patch. O objetivo é criar variações de diálogo entre músico e computador.

Sintetizador baseado em análise e resíntese

Esse sintetizador é baseado na idéia de análise espectral do fluxo de áudio e resíntese a partir dos dados extraídos dessa análise. A análise é feita com o objeto [sigmund~] pré-definido com as saídas "peaks" e "tracks", que retornam listas de frequência, amplitude e fase para, nesse caso, um banco de doze osciladores para cada saída como pode ser visto na figura 4.89. Nas figuras 4.90 e 4.91 são mostrados o banco de osciladores no subpatch [pd banco de osciladores] e a formação de cada subpatch do banco contendo um objeto [osc/texttildelow] cada.

O efeito obtido pode ser chamado de resíntese de baixa resolução. O objetivo inicial era produzir um sintetizador que fosse muito sensível a pequenas variações timbrísticas. Por exemplo,

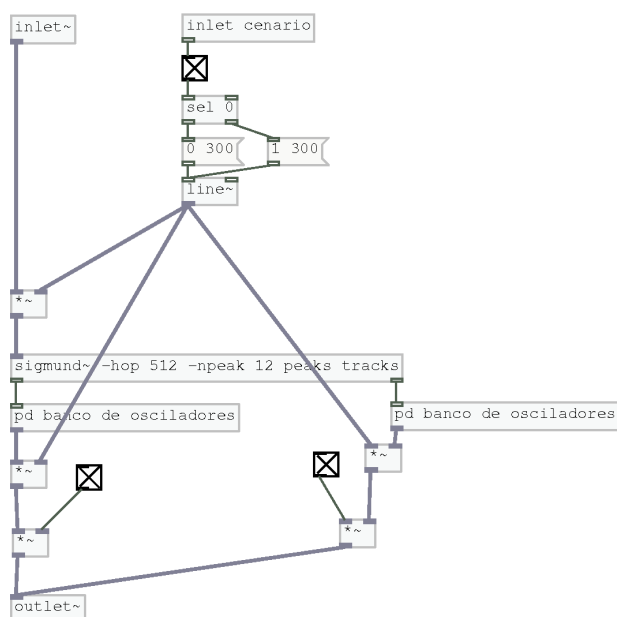


Figura 4.89: [pd gerador-resíntese]

quando um violonista pinça a corda do violão com diferentes ângulos da unha, são produzidas variações espectrais sutis que servem bem ao controle de síntese. Na re-construção do som a principal característica desse gerador é um timbre robótico muito sensível a variações de timbre no sinal de entrada. Pode-se ver na figura 4.92 um espectrograma comparativo entre uma amostra de violão e a respectiva resíntese com esse gerador. Nota-se um certo "defeito" de re-construção no trecho destacado, proveniente de uma variação timbrística provocado por diferença do toque.

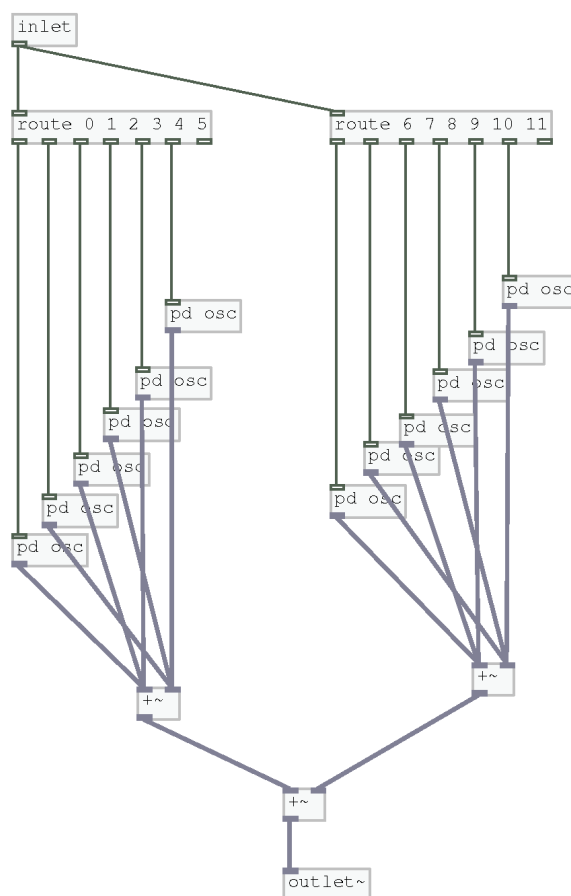


Figura 4.90: banco de osciladores

4.5 Processamento de sinal de áudio

Algumas pesquisas demonstram interesse pela performance musical controlando parâmetros de processamento, como em Grahan (colocar ref do rickygrahan.com)

Diversas técnicas de processamento digital fazem parte do repertório composicional com computadores. Muitos programas de computador realizam as mesmas técnicas com algumas diferenças na implementação.

As técnicas de processamento digital mais conhecidas emulam dispositivos eletrônicos que operam no sinal analógico através de circuitos elétricos. São muito comuns em estúdios a presença de “módulos de reverb” ou “pedais de efeito” para instrumentos. Na implementação computacional, essas funcionalidades podem ser expandidas possibilitando controle em tempo-

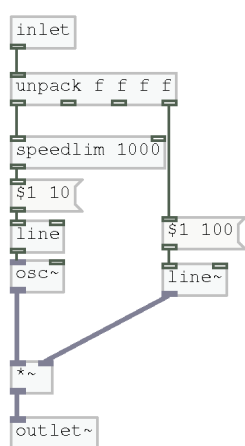


Figura 4.91: [pd osc]

Amostra de violão

Resíntese

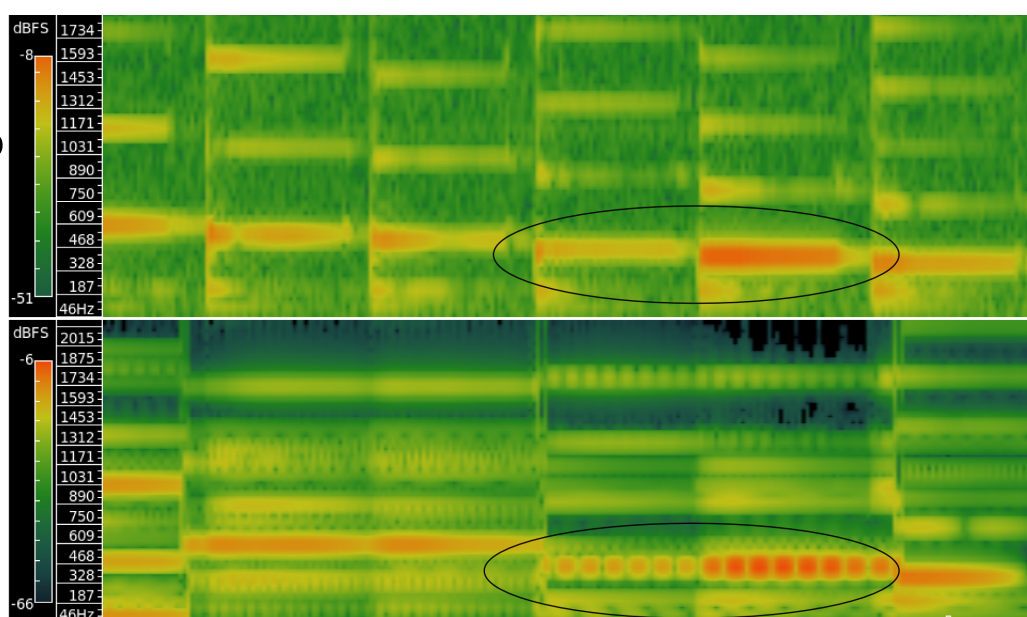


Figura 4.92: Espectrograma do som original e do som resintetizado

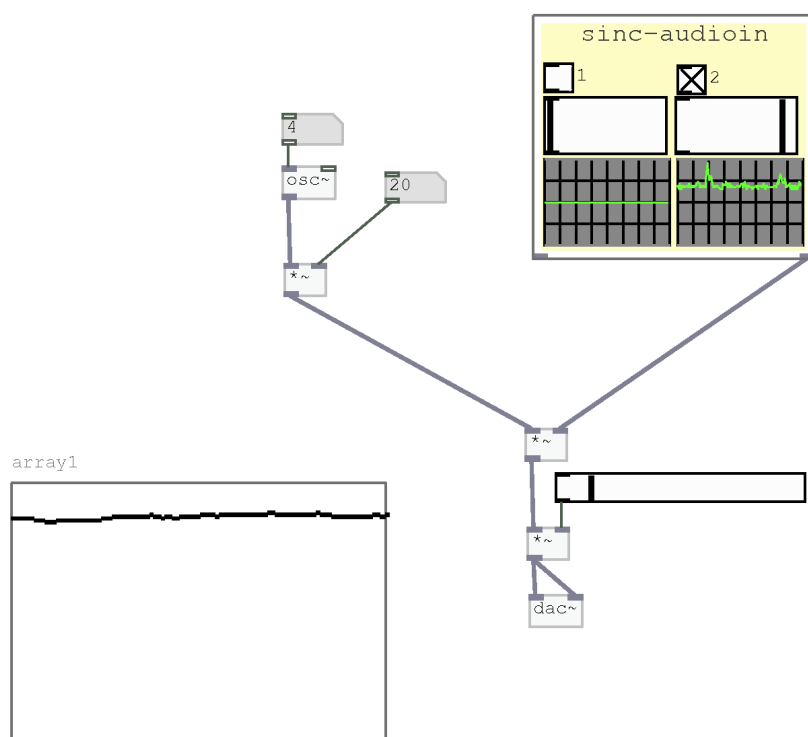


Figura 4.93: Patch mostrando um ring modulator simples

real e integração com a performance musical, criando um ambiente musical interativo que expande e transforma o gesto original do músico.

O principal objetivo dessa seção é criar ferramentas que re-combinem o sinal de áudio de entrada de maneira a ser controlado pelo próprio fluxo de áudio sub-sequente. Musicalmente, são buscadas texturas que usem o próprio áudio como fonte garantindo assim uma unidade sonora a partir da fonte.

Para aplicar uma técnica de processamento, primeiro se deve amostrar o áudio a ser processado. No caso dos objetos de loop, o áudio é gravado em um array e lido repetidamente nesse array. Já o delay variável vai ter uma janela de escrita e de leitura variáveis desse sinal. O motor básico dos loops implementados são feitos com o objeto [tabplay~] que lê arrays de áudio sem alterar o tempo ou frequência. Esse objeto prevê um método de começo e fim da leitura em número de samples.

Também podemos processar o sinal de áudio em tempo-real, como é mostrado na figura 4.93, onde é implementado um ring-modulator simples.

digitalia 3

figocris@gmail.com

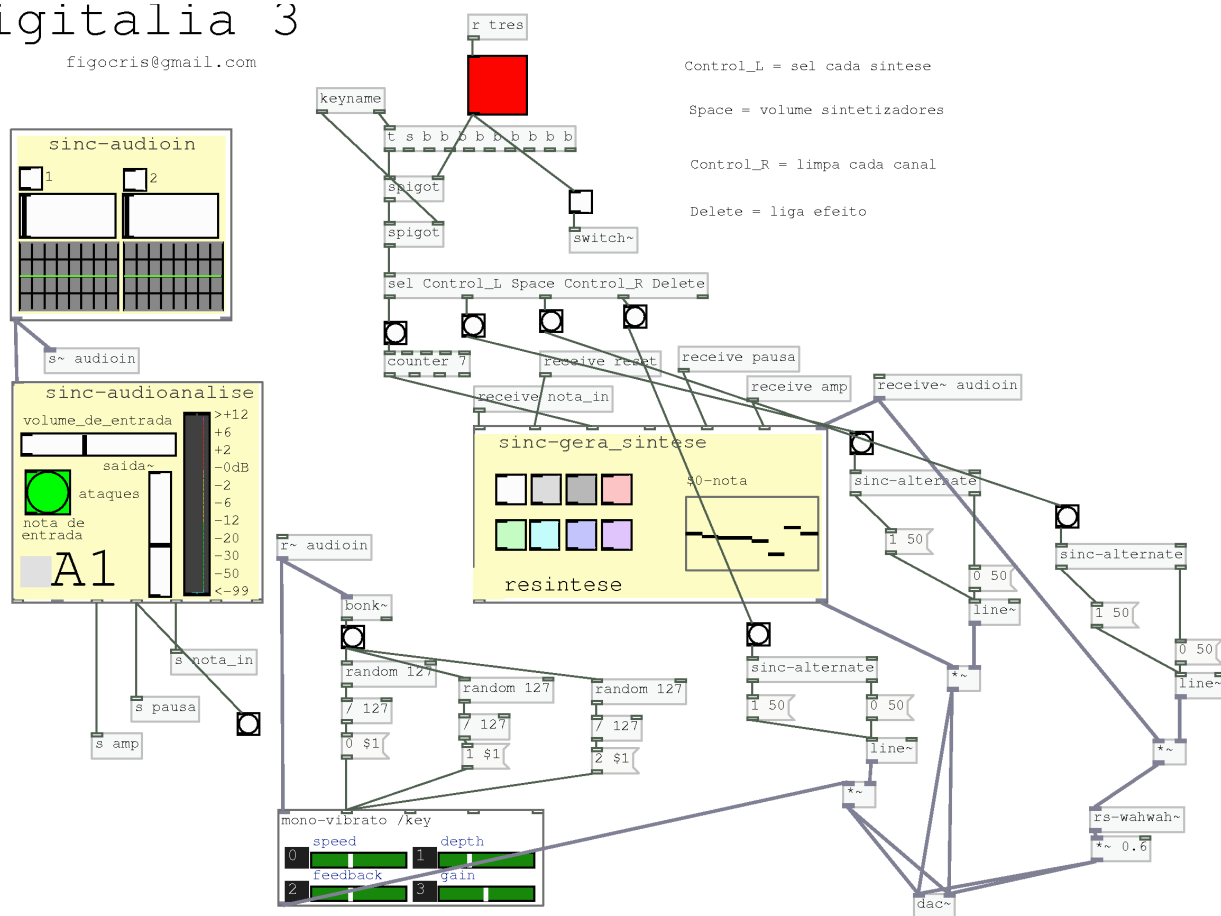


Figura 4.94: Patch mostrando uso de objetos de SInCoPA misturados com objetos nativos e abstrações DIY2

Outros objetos e abstrações também são usados e comparados, durante as experimentações como a biblioteca DIY2 e *rj*. Na figura 4.94 vemos uma situação de prototipação rápida, usando objetos de SInCoPA juntamente com objetos nativos de Pd e uma abstração DIY2 [mono-vibrato], que implementa um ring modulator mais complexo. O patch mostrado na figura 4.94 foi usado na performance */usr/maquina4/compartida~* com outros 3 músicos.

Uma parcela importante de técnicas de processamento de áudio digital corresponde às técnicas de fusão espectral como phase vocoder, convolução e síntese cruzada. Vários autores vem trabalhando para otimização desses efeitos em tempo-real (Porres), (Kreidler 2009).

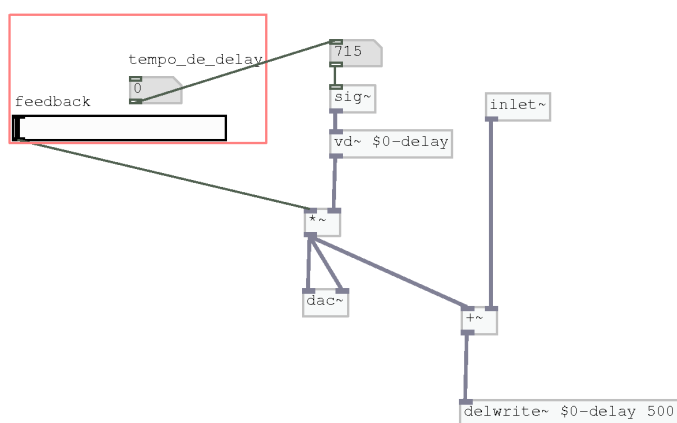


Figura 4.95: Abstração de controle de delay variável

4.5.1 Delay variável

O delay é um efeito que cria uma linha de atraso de áudio e possibilita um leque grande de gestos sonoros. Num módulo de delay analógico, o músico escolhe diferentes elementos da execução para aplicar delay de tempo variável: uma nota, um acorde da guitarra ou uma palavra do cantor. Essas decisões de certa forma sublinham esses elementos colocando marcas na audição. Essa chamada de atenção para esses elementos criam uma sensação de narrativa musical interessante do ponto de vista composicional.

Foi criada uma abstração que possibilita uma linha de delay simples com valores de tempo e feedback variáveis. A estrutura básica está na figura 4.95. O objeto [delwrite~] escreve uma linha de atraso de áudio de 500 milisegundos num buffer de memória temporária com a variável \$0-delay. Essa linha é executada pelo objeto [vd~] colocando nele o argumento \$0-delay. Para se criar o efeito de “eco” ou feedback, podemos enviar o áudio para ser somado com o sinal original e enviado para [delwrite~] novamente, criando assim, uma retro-alimentação contínua de áudio. Para se determinar a quantidade de feedback podemos controlar a amplificação do sinal resultante antes de retornar a [delwrite~].

Uma possibilidade de implementação mais refinada de delay é a técnica de “delay espectral” (Barknecht 2007), onde além da linha de atraso e feedback, pode-se controlar elementos do tim-

bre, uma vez que o sinal é decomposto por análise FFT e recriado a partir de seus componentes de frequência, amplitude e fases separados.

4.5.2 Repetição

A repetição e contraste podem ser consideradas as duas principais forças da composição. Nessa abstração buscou-se criar uma ferramenta que forneça ao músico a possibilidade de criar múltiplas linhas de repetição de tamanhos diferentes não pré-definidos. O loop, ou repetição de um trecho de áudio é um procedimento comum, sendo encontrado em diversos dispositivos e equipamentos de produção musical.

O mecanismo do loop baseia-se na escrita de linhas de áudio em arrays e subsequente repetição. O músico controla a interface através de um teclado USB modificado e usado como pedal, explicado mais a fundo na seção sobre cenário de interação.

Nesse caso particular o objetivo é determinar outras construções rítmicas, fora de controles MIDI e sequenciadores baseados em objetos [metro], ainda que essa opção esteja sinalizada na implementação. A repetição é baseada no tamanho da própria linha de áudio gravada.

Objeto [sinc-loop]

Em uma primeira implementação vista na figura 4.96, foi pensado um loop simples. Com um botão que seleciona o canal, outro botão que quando pressionado começa a gravar e quando pressionado novamente pára a gravação e automaticamente começa a repetir o trecho gravado. A implementação é baseada no objeto [timer] para medir o tempo entre o começo e o final da gravação. O objeto [tabwrite~] opera a gravação em um array e o objeto [tabplay~] executa o áudio gravado.

Na figura 4.97, vemos a implementação de [sinc-loop-master], que leva a frente o mesmo mecanismo acrescentando um metrônomo e um contador global. A função desse contador é uma possível futura sincronia com sequenciadores diversos, inclusive para performance musical

via rede (música telemática). Para a execução do loop pode ser levado em conta o metro global ou não. A divisão entre cores facilita o estudo do fluxo dos dados. A abstração [sync-loop-slave] é uma versão sem o contador global e pode ser vista na figura 4.98. O uso concatenado é visto na figura 4.99, onde vemos a presença de um [sync-loop-master] e três [sync-loop-slave].

Existem diversas situações de loop comuns na produção musical mediada por tecnologias digitais como por exemplo, linhas de loop com tempo livre como nos pedais de efeitos, onde o instrumentista tem um certo número de linhas de áudio disponíveis e alguns botões de controle. E situações em que a linha de áudio gravada em tempo-real pelo músico é esticada ou encolhida o mínimo possível para encaixar na métrica de um sequenciador como por exemplo o sequenciador comercial Ableton live. Não cabe aqui julgar o valor estético causado por uma ferramenta. Mas sim trazer à tona a discussão sobre a consciência, por parte do compositor, da natureza da ferramenta e de como o pensamento composicional interage com essa interface.

Para a continuação dessa pesquisa o ideal seria um sistema de loop baseado no objeto [tabread4~] que permite o “stretch” da leitura do áudio. Isso possibilita que o programa ajuste o loop a qualquer tempo pré-definido por algum sequenciador.

4.5.3 Fragmentação

A recombinação de trechos sonoros executados previamente é uma grande fonte de gestos musicais e experimentação sonora. Um fluxo de áudio quando gravado e fragmentado em trechos pode criar uma sensação de descontinuidade e não-linearidade da memória curta ao mesmo tempo que guarda uma unidade perceptual em função de estar usando o áudio que acabou de acontecer.

O objetivo desse módulo é fazer com que trechos do áudio da performance sejam segmentados e passíveis de recombinação em diversos modos e também controlados pela execução musical.

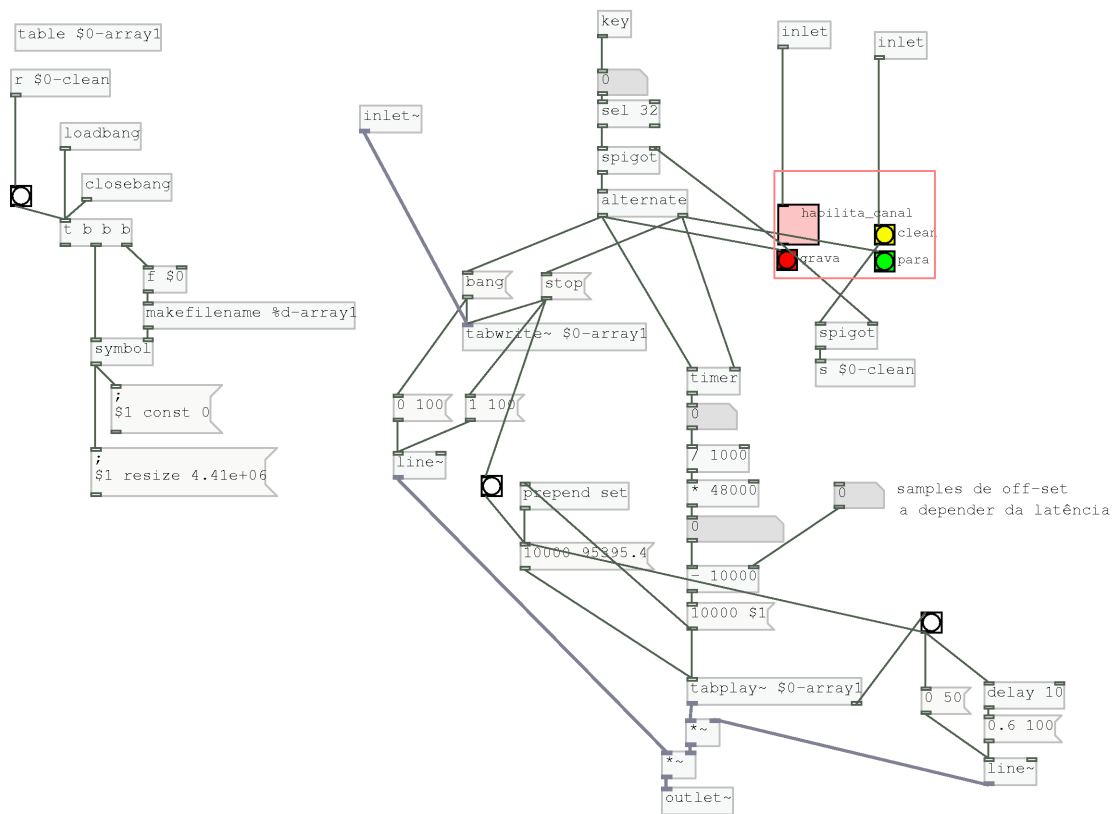


Figura 4.96: loop simples

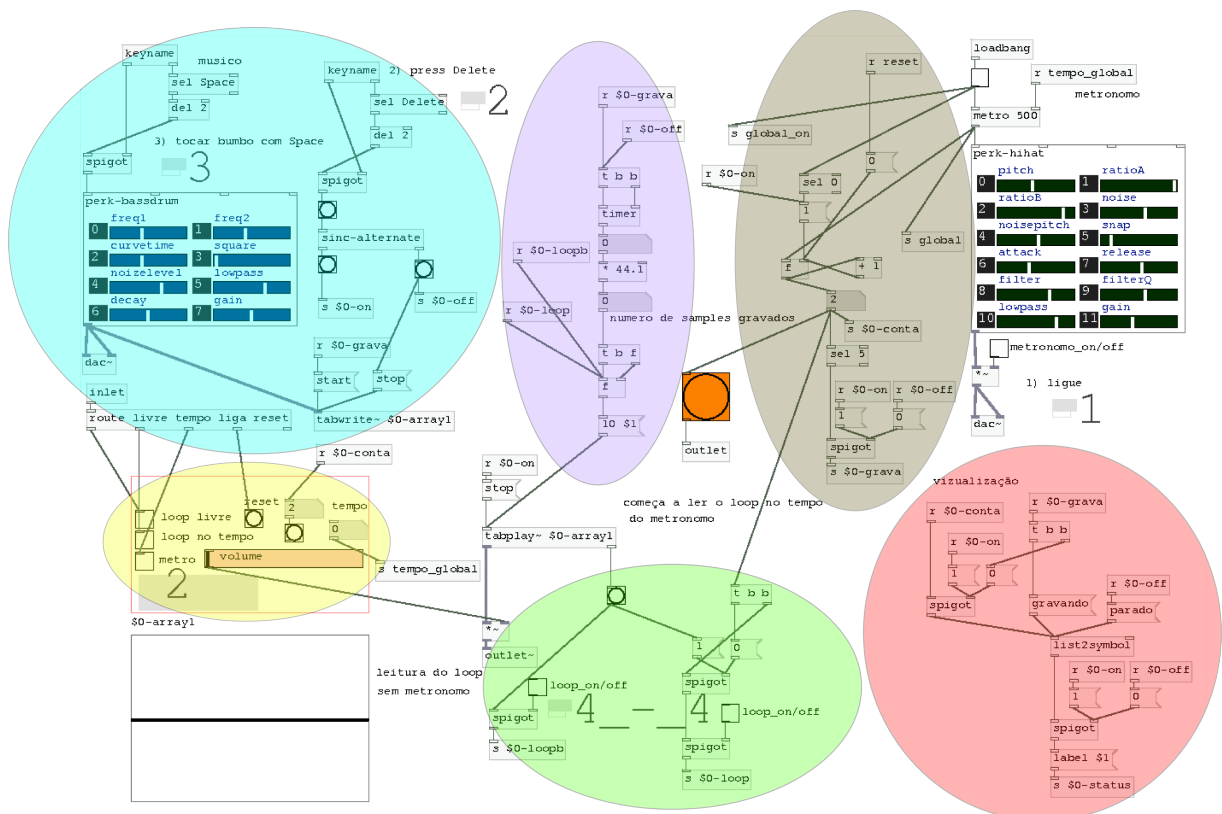


Figura 4.97: [sync-loop-master]

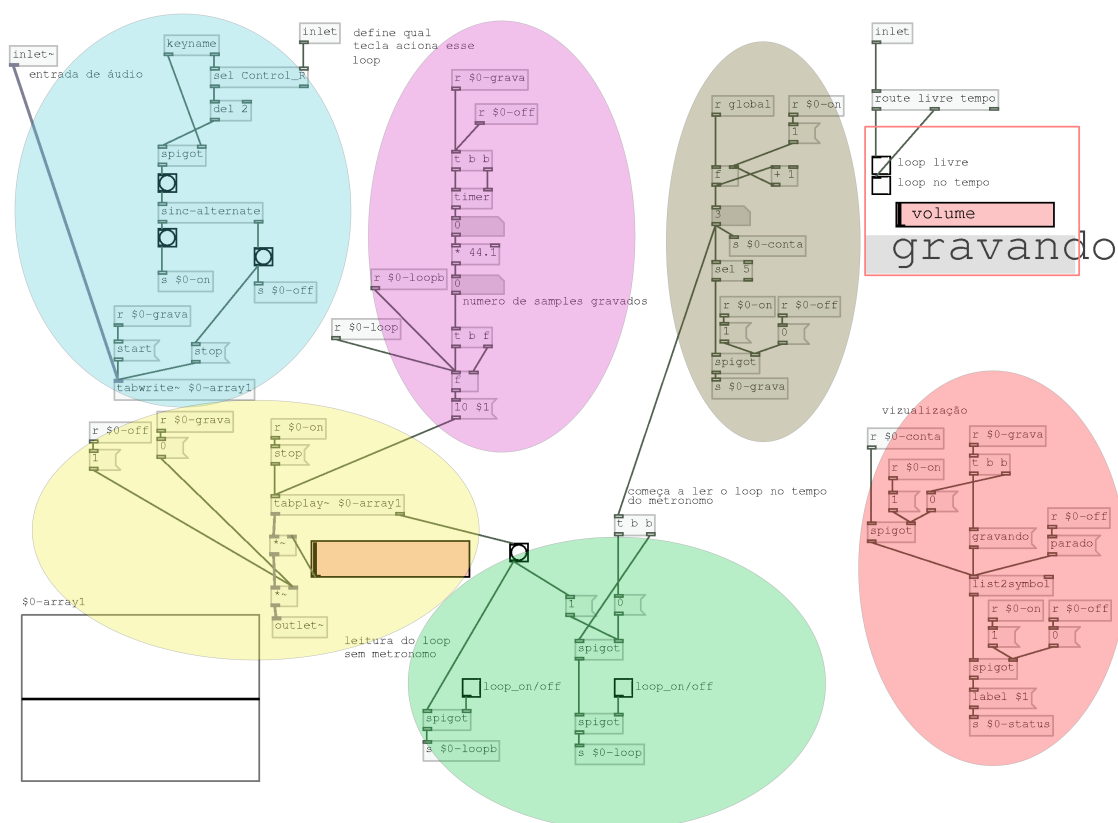


Figura 4.98: [sync-loop-slave]

O primeiro elemento dessa abstração é um gravador de áudio que escreva um fluxo de áudio em uma tabela (array) que possa ser acessado pelo motor de recombinação de “fatias” de áudio. Uma pequena abstração com essa finalidade pode ser vista na figura 4.100.

O funcionamento básico de um sistema de segmentação de amostras de áudio pode ser visto na figura 4.101, baseado nos objetos [vline~] e [tabread4~]. Nesse caso os segmentos são feitos automaticamente baseados na duração total da amostra e feitos de maneira simétrica. O motor central da execução dos segmentos é mostrado no detalhe da figura 4.103. A relação está no fato do objeto [vline~] cria uma linha de leitura que é interpretada por [tabread4~] como valor de início e fim de leitura em samples e tempo dessa leitura o que acaba por afetar a duração ea frequência do áudio resultante. A abstração [sync-slicer] é uma interface mais refinada e pode ser vista na imagem 4.102, onde os pontos de início e fim do segmento são definidos pelos dois sliders abaixo da forma de onda.

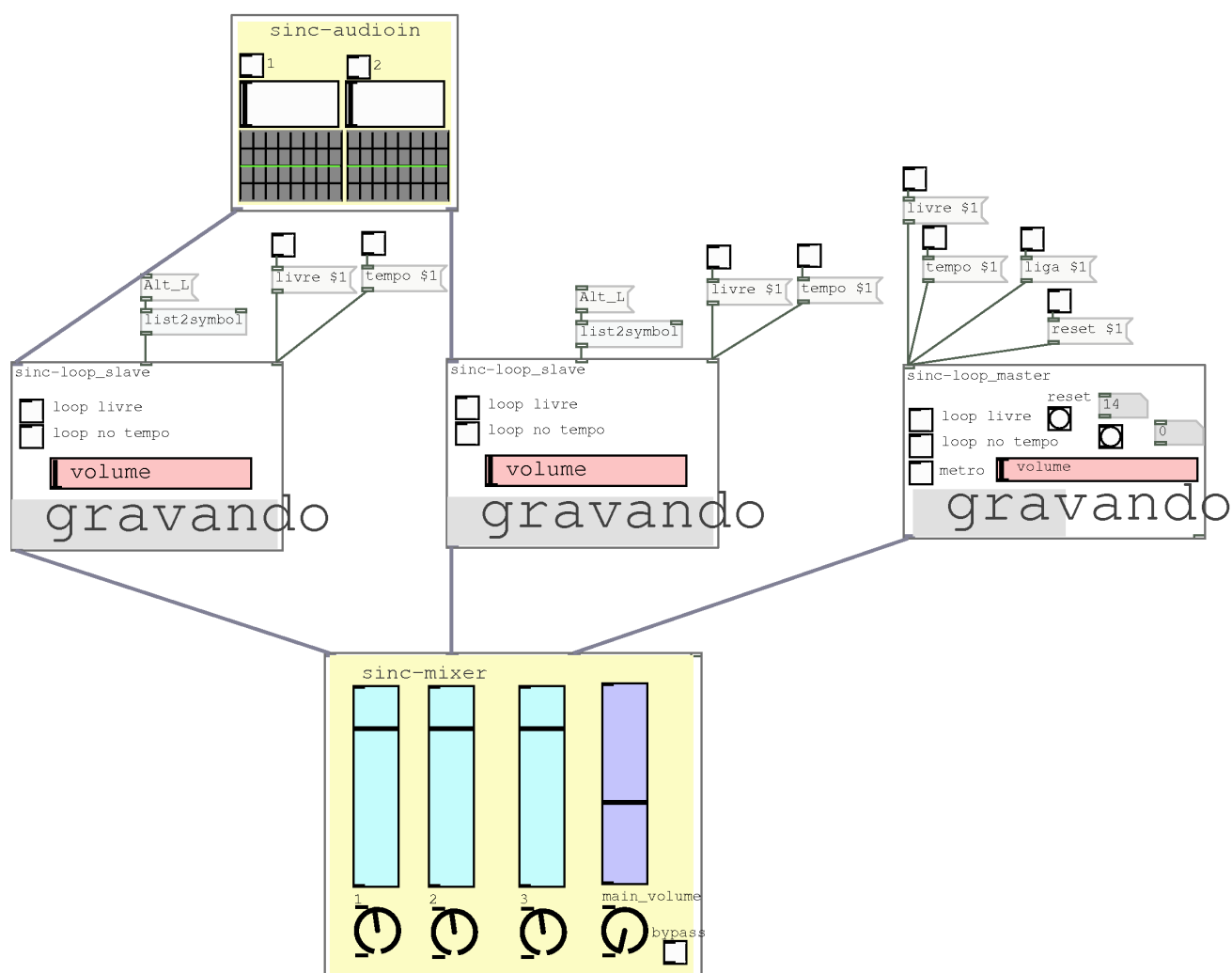


Figura 4.99: Uso de dois [sync-loop-slave] e [sync-loop-master]

Durante o andamento da pesquisa, foi usada a interface do projeto Navalha de Guilherme Soares, como princípio de experimentação. O Navalha é uma ferramenta que estabelece um método para segmentação e sequenciamento de recortes de amostras de áudio. A interface gráfica provê acesso as funcionalidades, como carregar sample, segmentar trechos manualmente, sequenciar e salvar presets. Ao mesmo tempo é possível usar o Navalha sem a interface gráfica, embutido em outro projeto como é o caso aqui nessa pesquisa.

A funcionalidade da interface é bem completa e permite acesso a muitos aspectos da segmentação e do sequenciamento.

O objeto `nvl` cria instâncias de um sequenciador de fatias (slices) de .wav que podem ser editadas e salvas na própria interface gráfica deste objeto. Estabelece

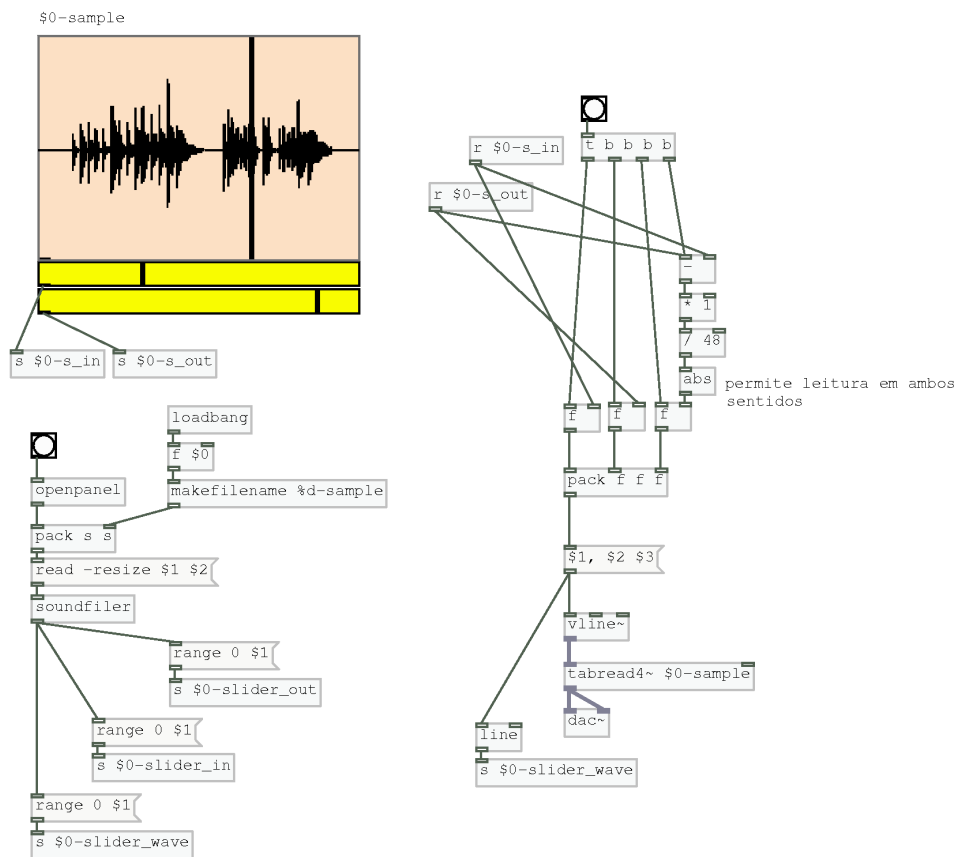


Figura 4.102: [sinc-slicer

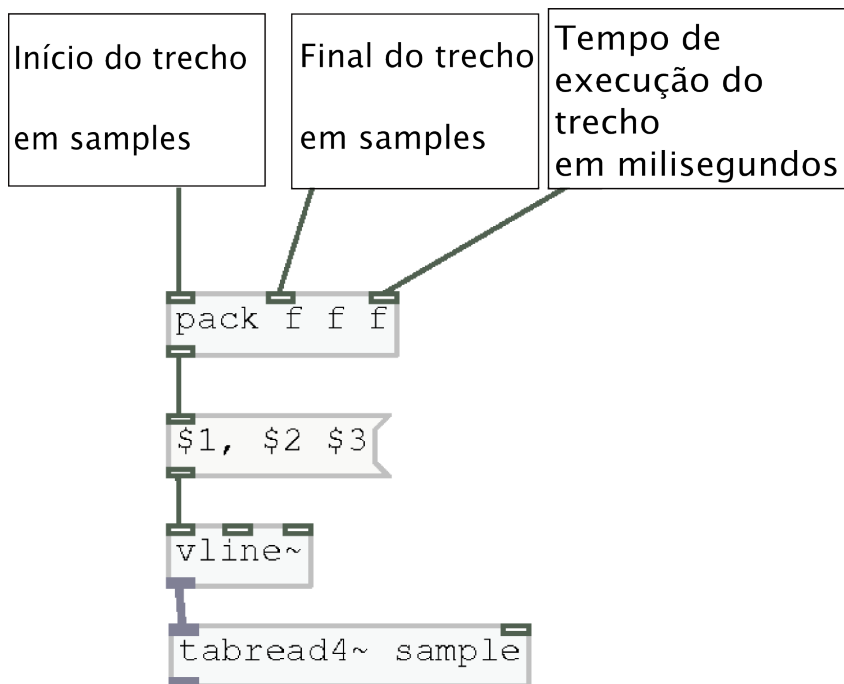


Figura 4.103: Motor básico da segmentação do áudio

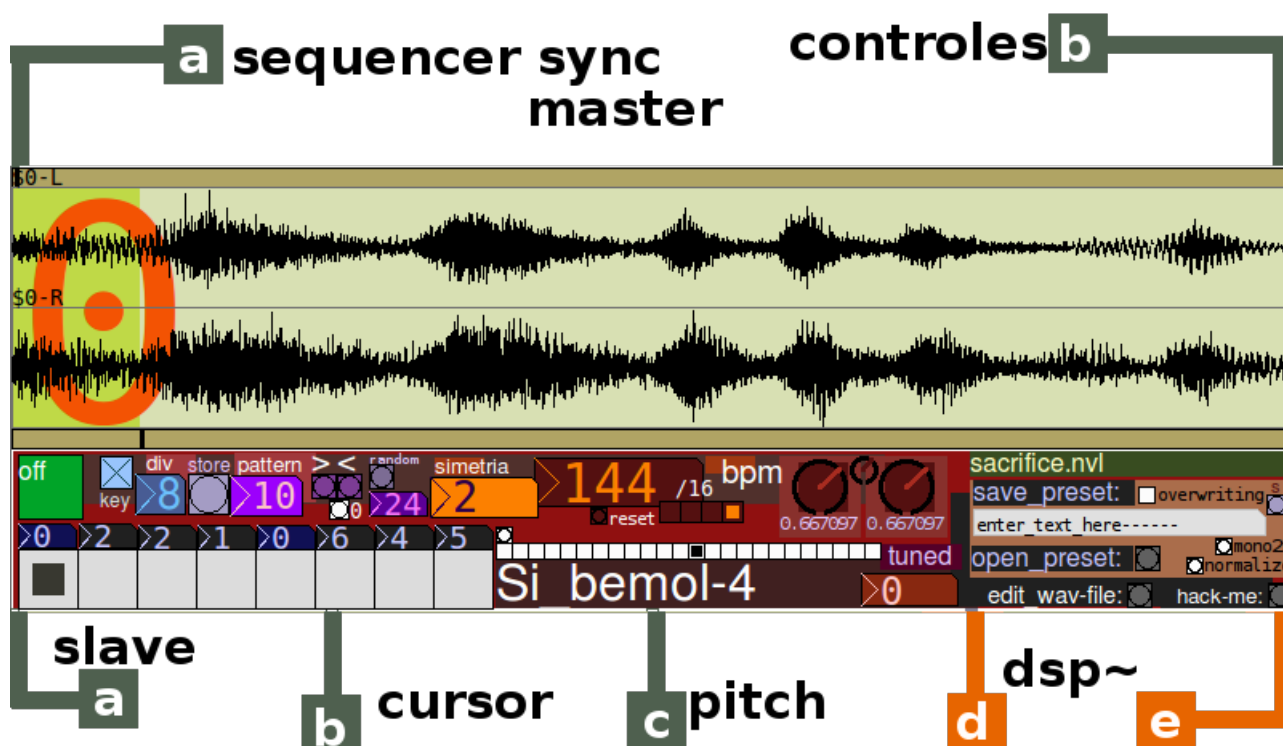


Figura 4.104: Visão geral das entradas e saídas do objeto [nvl]

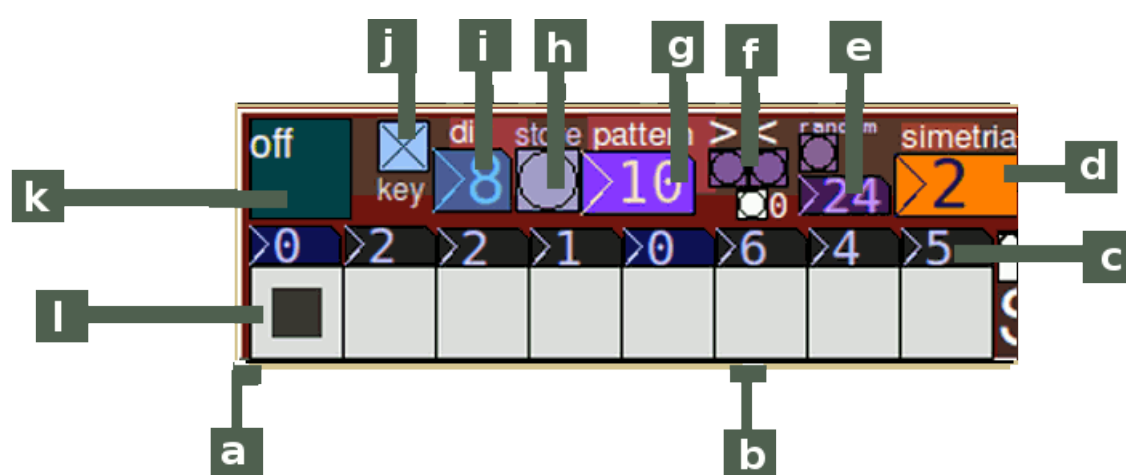


Figura 4.105: Detalhe dos controles do sequenciador do [nvl]

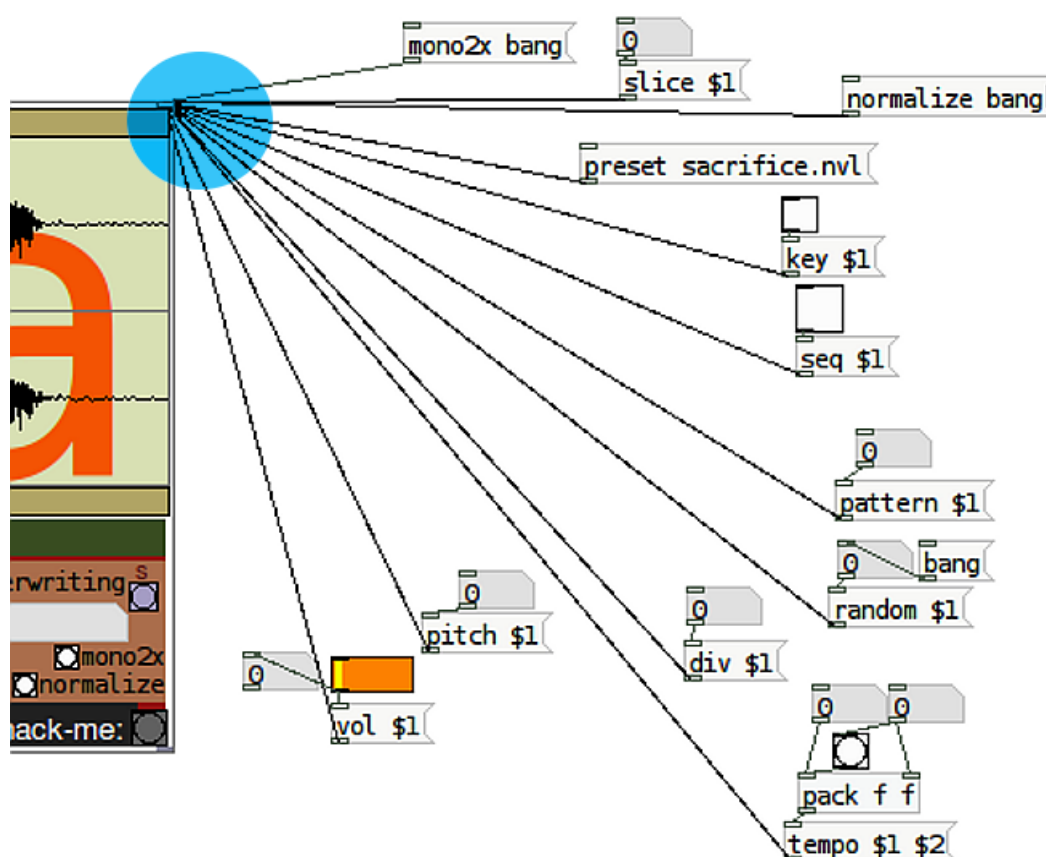


Figura 4.106: controle externo dos parâmetros do navalha

- g) Carrega 10 patterns diferentes que estão salvos na matriz buffer da memória. Estes patterns são carregados no arquivo .nvl ou podem ser salvos com o procedimento descrito abaixo no item “h”.
- h) Botão store (ou atalho shift+s) serve para atualizar no buffer de memória ram (não salva em disco) os atuais presets dos slices e patterns. Para salvar em disco, voce precisa dar um nome de arquivo na janela save-preset do canto inferior direito.
- i) Number box que define o número de células que o cursor vai correr. Isto torna possível fazer uma sequência com tempos ímpares ou diferentes de 8 batidas por compasso.
- j) Liga/Desliga os atalhos do controle de teclado.
- k) Liga/desliga sequencia master. É possível tocar mais de um master, mas obviamente não estarão imediatamente sincronizados.
- j) Cursor do sequenciador, dispara fatia atual. (Soares 2009)

Na figura 4.106 vemos as mensagens que permitem controles externos do navalha.

Ainda no tutorial:

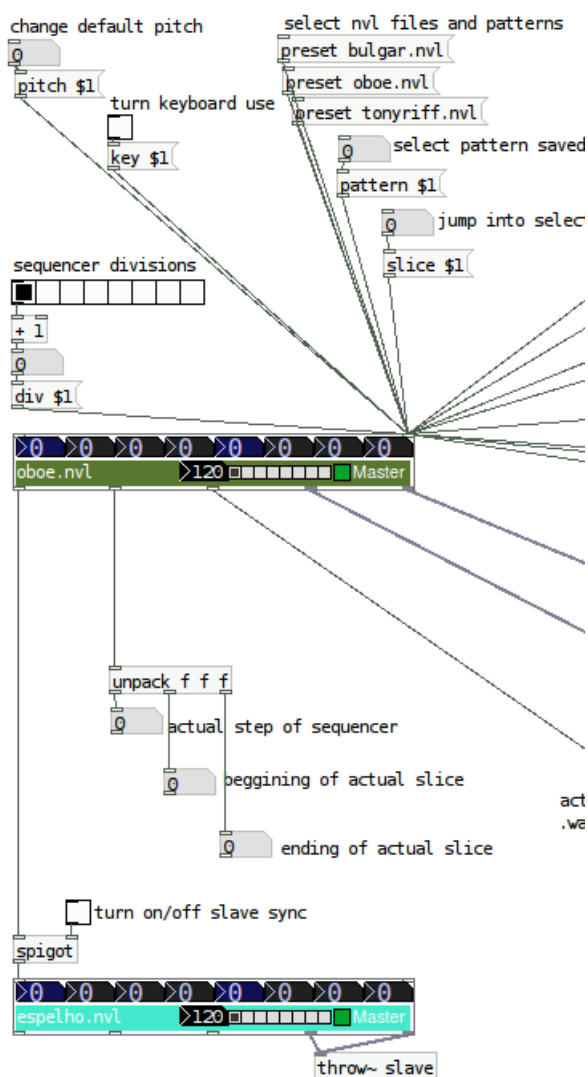


Figura 4.107: [mininvl]

1. slice (numero da fatia)
2. tempo (com duas variaveis – bpm e divisao do compasso)
3. preset (nome do arquivo nvl – que deve estar na pasta presets)
4. pattern (numero do pattern do buffer de 1 a 10)
5. key (liga e desliga acesso a teclado)
6. seq (liga e desliga sequenciador)
7. vol (volume de 0 a 1)

8. random (numero limite da celula do pattern seguido de gerador randomico de pattern)
9. pitch (intervalo em semitons em relação a nota atual)
10. div (numero de celulas no compasso atual do sequenciador)
11. normalize (bang – normalizar a faixa na ampliude máxima)
12. mono2x (bang – duplicar uma faixa mono para dar um falso efeito estereo)
13. simetria (numero de slices – cria slices simetricos em divisao exata do tempo total)
14. wav (nomedoarquivo.wav abre um arquivo .wav que esteja na pasta samples) (Soares 2009)

Nesse projeto, o mapeamento do áudio do músico controla aspectos do sequenciador como o tempo, o número de segmentos e acionamento individual de cada segmento. O funcionamento pode ser visto numa interface minimalista do objeto [nvl] na figura 4.107. Muitas outras variações de controle podem ser pensadas e definidas em diferentes cenários de interação.

4.5.4 Síntese granular

Síntese granular é uma técnica que combina síntese aditiva e amostragem (sampleamento). Cada “grão” é um trecho de uma amostra de áudio somado a outros grãos, podendo resultar em texturas únicas, que seriam praticamente impossíveis de serem editadas grão por grão em um editor de áudio. Os resultados variam desde um leve deslocamento na leitura de uma amostra até efeitos mais complexos como “nuvens de grãos”.

Dois efeitos familiares são time-stretching e pitch-shifting, que podem ser vistos como dois lados de um processo em comum chamado pitch synchronous overlap an add (PSOLA). Um som pode ser dividido em pequenos segmentos que se sobrepõe e então cada segmento é executado em sequência de maneira que o som original seja obtido. Para estender um som se adiciona cópias extras dos grãos mudando a extensão e a duração de sobreposição de maneira

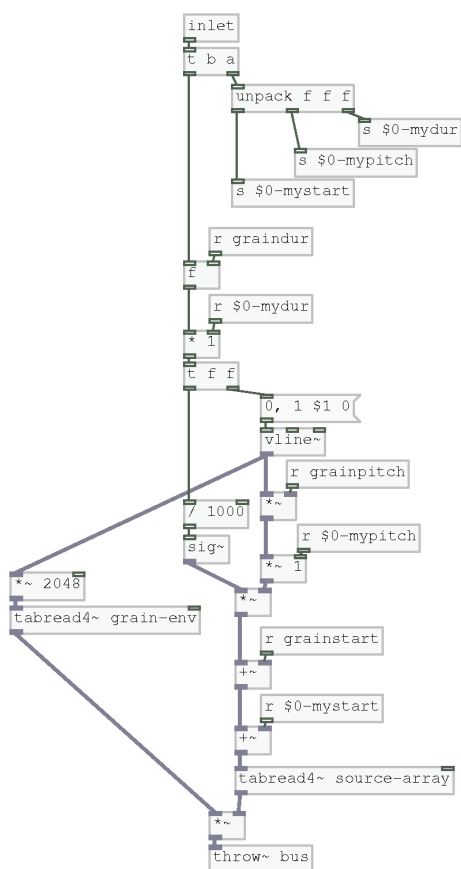


Figura 4.108: abstração [graininvoice]

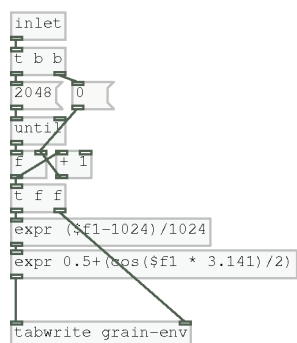


Figura 4.109: subpatch gerador de uma curva de Gaussian

que a extensão total seja maior ou menor que a original. Nesse caso todos os grãos são obtidos da mesma fonte sonora.

Foi desenvolvida uma abstração com objetivo de possibilitar síntese granular em tempo-real usando como fonte sonora o próprio som do instrumento que está sendo executado. E além disso facilitar o controle dos parâmetros da síntese granular pela análise da performance do músico. Diversos efeitos e texturas complexas podem ser obtidas através do gesto de controlar parâmetros dos grãos com um instrumento.

O motor de funcionamento da síntese granular é baseado em modificações de um exemplo do livro “Designing Sound” (Farnell 2010). Podemos ver na figura 4.108, a estrutura da abstração [grainvoice], que define o comportamento de uma “voz”. Nesse contexto, “voz” significa uma camada de grãos justapostos. O funcionamento básico se dá através de um leitor de tabela ([tabread4~source-array]) que é modulado por um gerador de envelope ([tabread4 grain-env]). Os dois arrays são visíveis na visão geral do patch na figura 4.110. O array grain-env é definido no subpatch da figura 4.109, e se trata de uma janela “raised cosine”, também chamada de “hanning window” que é computada como $0.5 + \cos(x)/2$ entre $-\pi$ e $+\pi$.

O componente central de [grainvoice] é um objeto [vline~], que recebe uma mensagem para criar uma linha que vai de 0.0 a 1.0 durante um certo intervalo de tempo. Esse intervalo de tempo é a duração do grão, que é substituído no segundo elemento da segunda lista da mensagem de [vline~]. A linha gerada aciona simultaneamente os dois arrays e posteriormente seus resultados são multiplicados.

Os parâmetros grainpitch, graindur e grainstart controlam o som resultante. Esses aparecem sob duas formas. Primeiro, como variáveis globais e determinam a frequência, duração e ponto de início de leitura para todos os geradores de grãos ([grainvoice]) do patch inteiro. As variáveis globais são modificadas por versões locais (com prefixo \$0-my) que determinam parâmetros únicos para cada instância de [grainvoice]. Quanto maior a diferença entre os parâmetros de cada voz mais nos aproximamos do efeito de “nuvens de grãos”.

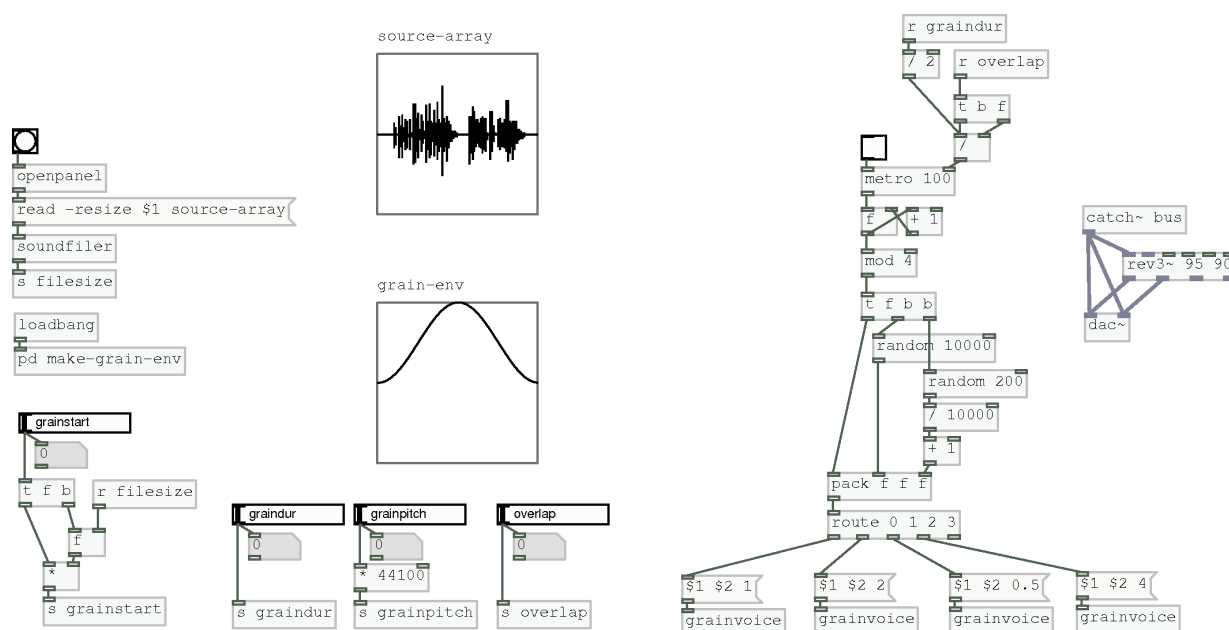


Figura 4.110: Visão geral de funcionamento de síntese granular

Na figura 4.110 são usadas quatro instâncias de [grainvoice]. No canto inferior esquerdo da figura vemos o controle das quatro variáveis globais. Observando que o objeto [soundfiler] envia o tamanho do arquivo carregado, em número de amostras, através da variável filesize. O primeiro controle usa esse valor para escalonar o parâmetro grainstart de maneira que o valor 0.0 sempre represente o começo do arquivo e 1.0 o final do mesmo. A duração do grão é controlada por graindur e é dada em milissegundos, variando de 10 msec até 2000 msec. A frequência do grão é centrada em 1.0, que executa o arquivo no usual 44.1kHz. Ao mover o slider para a esquerda ou direita do centro, ele retarda ou acelera a execução da amostra. Por último vemos o parâmetro overlap que varia de 1.0 a 2.0.

A parte principal do patch da figura 4.110 está na direita. É um sequenciador baseado no objeto [metro] controlando um contador que devolve números entre 0 e 3, que servem como índices de listas que ao final são roteados com o objeto [route] para quatro instâncias da abstração [grainvoice]. Cada lista contém ainda dois valores randômicos para cada instância de [grainvoice]. A frequência do objeto [metro] é calculada de acordo com a duração do grão. Aqui é onde a variável overlap também influencia. Se overlap tiver o valor 2, a frequência de [metro] será 1/4 da duração do grão de maneira que a execução do primeiro grão irá finalizar

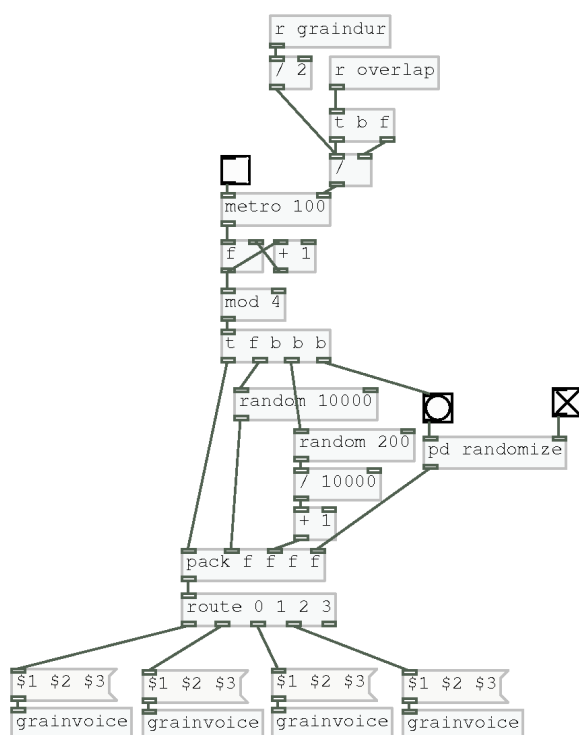


Figura 4.111: visão geral da alteração de overlap

em tempo de ser executado novamente. Para valores menores haverá menos sobreposições (overlaps) de grãos. Essa variável muda a densidade da textura, variando de um efeito de deslocamento da leitura da amostra que pode lembrar um efeito de “chorus” até variações mais caóticas. Por fim é acrescentada uma abstração de reverb ([rev3]) ao final do áudio do patch.

Objeto [sinc-granular]

Nesse módulo também foi usada a abstração [sinc-gravador] já vista na figura 4.100. Com finalidade de facilitar a interação em tempo-real com um músico.

Outra parte da abstração, diz respeito ao mapeamento dos dados de análise para controle dos parâmetros de síntese. Um elemento alterado em relação ao exemplo original de Andy Farnell é a definição da variável local \$0-mydur, onde é acrescentado um subpatch que possibilita definir um valor fixo ou randômico para todas as vozes, resultando assim, numa variação entre uma

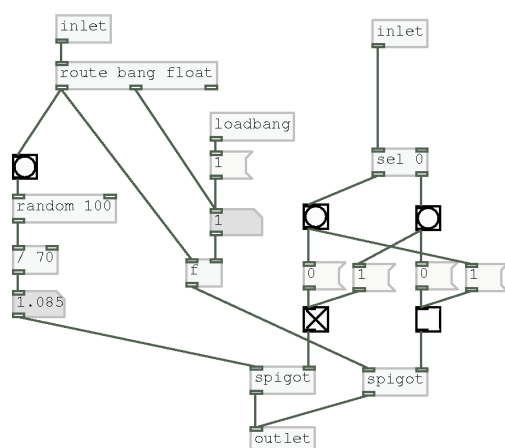


Figura 4.112: subpatch [pd randomize]

textura mais síncrona e outra mais assíncrona. Como pode ser visto na figura 4.111, e no detalhe do subpatch na figura 4.112.

4.6 Cenário de interação

O conceito de cenário aqui é usado como a maneira de concatenação entre os parâmetros da análise de áudio e os geradores de material musical.

Cada parâmetro da análise da performance do músico pode ser mapeado como controlador de algum aspecto da geração de material musical. Por exemplo, a instabilidade rítmica pode ser mapeada para a geração de durações de notas MIDI. De forma imitativa ou contrastante, a depender da proposta composicional.

O cenário de interação é uma parte do sistema onde se declaram as maneiras de mapeamento dos parâmetros da composição final. A maneira como o sistema interpreta cada parâmetro da análise da performance pode variar ao longo da composição e é definido em cada cenário.

Pode-se propôr a idéia que o ato composicional está na definição do cenário de interação. A relação entre gesto musical/instrumental e o resultado sonoro vai depender dos mapeamentos descritos no cenário de interação. Durante uma performance instrumental acústica, a relação cinestésica entre gesto físico e resultado sonoro é absoluta. Na descrição do cenário de interação essa relação pode sofrer alterações ao ponto do próprio instrumentista perder o controle e a atenção de como cada gesto está mapeado.

A atual implementação de cenário de interação ainda se encontra em fase experimental. Os próximos passos do trabalho serão no sentido da implementação de elementos de modelagem física entre os dados das análises e os geradores. Por modelagem física, entende-se a simulação de força, gravidade e massa. O objetivo seria o de aumentar a cinestesia experimentada pelo instrumentista durante a performance.

Atualmente fazem parte do cenário de interação os objetos [sinc-cenario], [sinc-pedal], [sinc-mixer] e [sinc-pan]. Sendo [sinc-cenario], o objeto central responsável por organizar o mapeamento dos parâmetros.

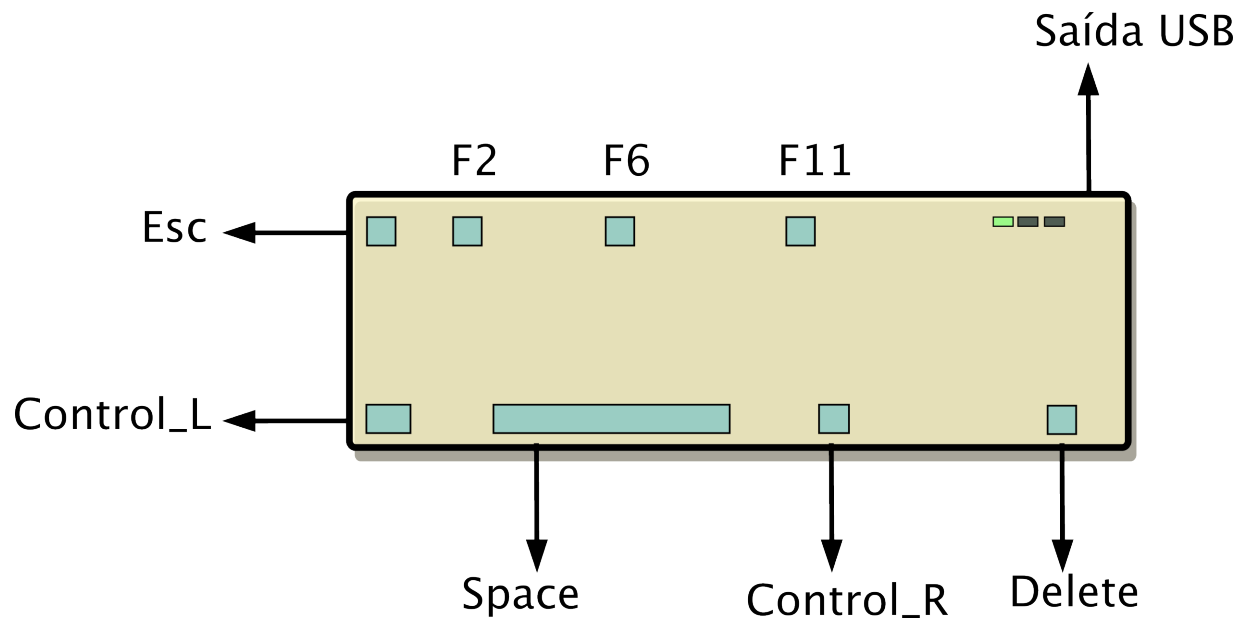


Figura 4.113: teclado USB adaptado como pedal

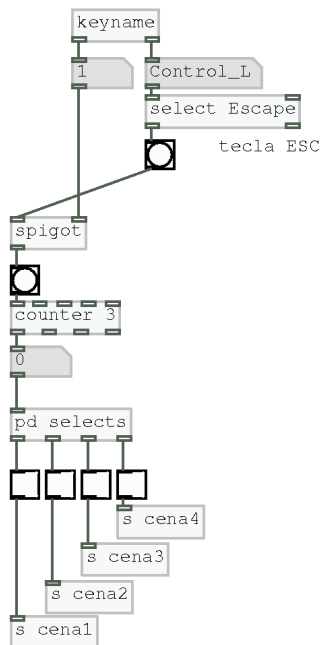


Figura 4.114: [sync-control-teclado]

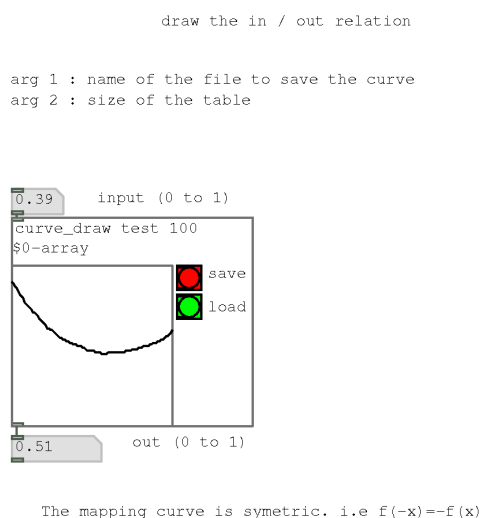


Figura 4.115: Mapeamento feito por relação desenhada/customizada.

Os cenários são alternados através de teclado USB, modificado e usado como um pedal durante a performance. Como pode ser visto na figura 4.113. O teclado é modificado retirando-se as teclas que não são usadas no desenho escolhido para melhor se adaptar à função de pedal.

Foi desenvolvido também uma abstração para organizar as funções do teclado. Pode-se observar na figura 4.114, a função condicional que mapeia a tecla ESC para alternar entre 4 cenas acionadas pelas variáveis cena1, cena2, cena3 e cena4, respectivamente.

O teclado pode servir, além dos cenários de interação, como controlador de sequências pré-definidas, podendo disparar qualquer formato de sequência como áudio, midi ou descrição de eventos com arquivos de texto, bem como formatos mistos de sequências automatizadas com parâmetros definidos pela análise da performance.

4.6.1 Mapeamento

Por mapeamento aqui entende-se a tradução de uma escala de valores numéricos para outra escala. A maneira como se faz essa tradução pode conduzir a resultados diversos. Por exemplo, um parâmetro que varia de 0 a 127 pode ser mapeado para uma escala de -1 a 1 de maneira

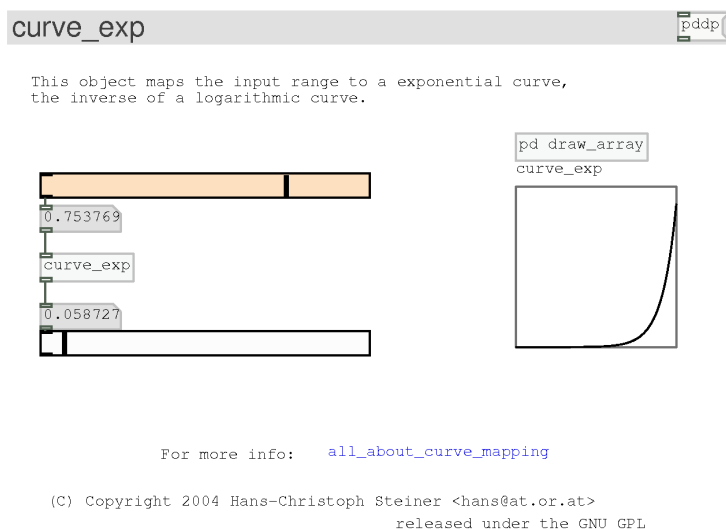


Figura 4.116: Mapeamento por curva exponencial.

linear de modo que o valor original 64 (centro da escala) seja mapeado para o valor 0 (centro da nova escala).

Os parâmetros da análise do áudio em tempo-real possuem diferentes escalas e ainda, no caso da amplitude e timbre, apresentam variações de uma performance para outra. A precisão e previsibilidade na análise do áudio depende de diversos fatores externos como por exemplo a constituição do instrumento, da amplificação ou do timbre do instrumentista.

Qualquer técnica de mapeamento escolhida deve manter uma flexibilidade de ajuste adequado a essas variáveis. A biblioteca “mapping” presente no Pd-extended apresenta algumas alternativas para diferentes tipos de mapeamento. Podem ser usados mapeamento linear, exponencial, logarítmico e customizado. Os patches de ajuda de alguns objetos são mostrados nas figuras 4.115, 4.116, 4.117, 4.118 e 4.119. A manipulação e experimentação desses objetos permite uma rápida avaliação de qual o melhor método de mapeamento para cada caso.

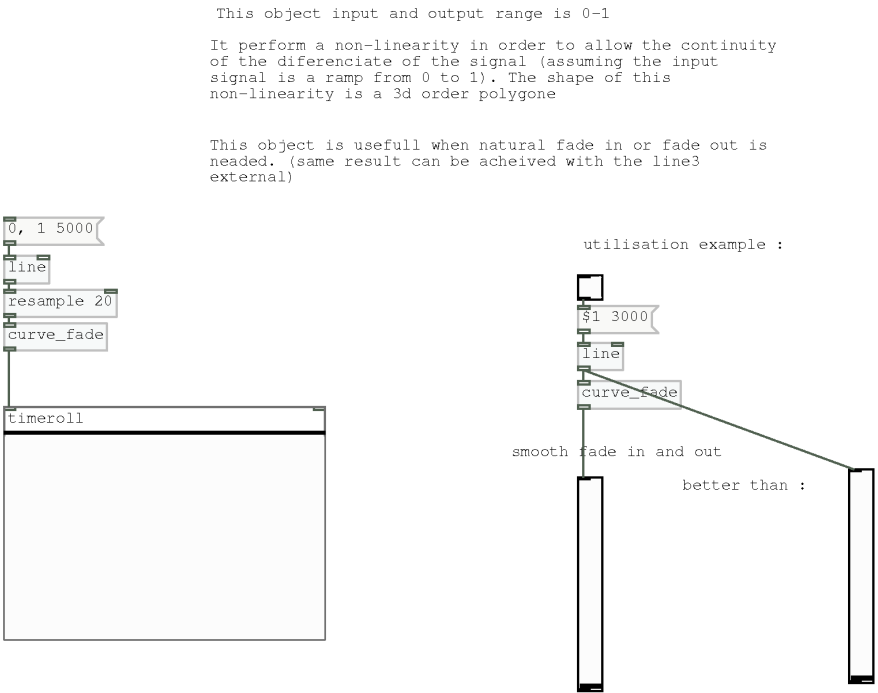
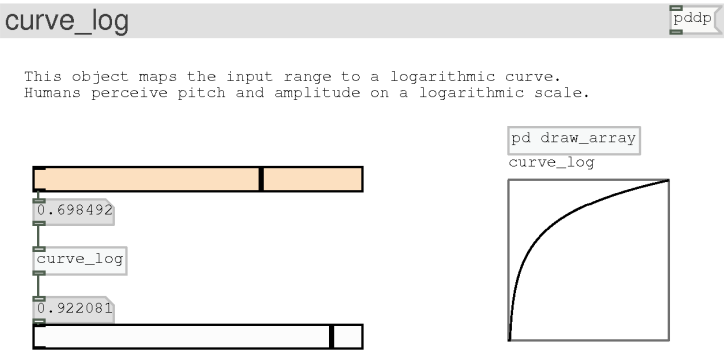


Figura 4.117: Mapeamento por curva gradual.



(C) Copyright 2006-2007 Free Software Foundation
released under the GNU GPLv3 or later

Figura 4.118: Mapeamento por curva logarítmica.

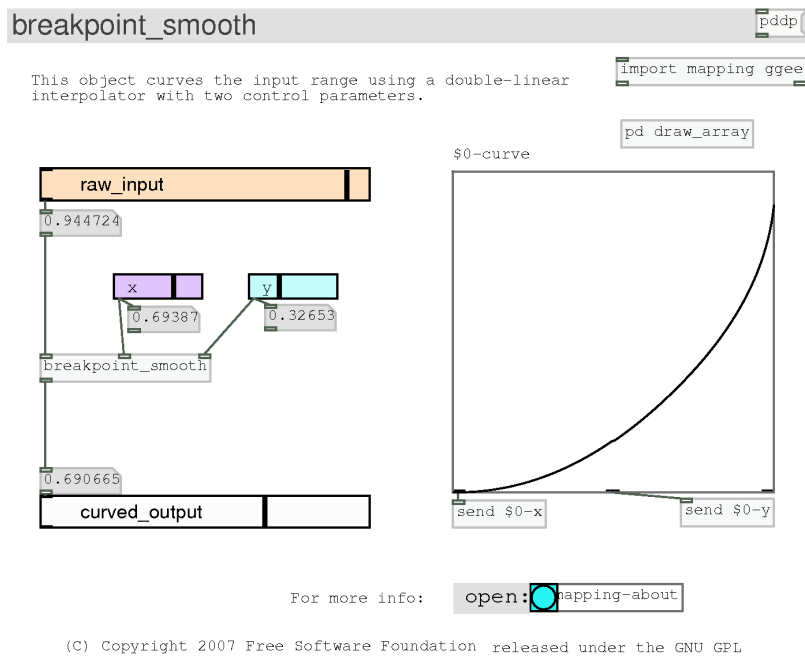


Figura 4.119: Mapeamento por curva exponencial customizada.

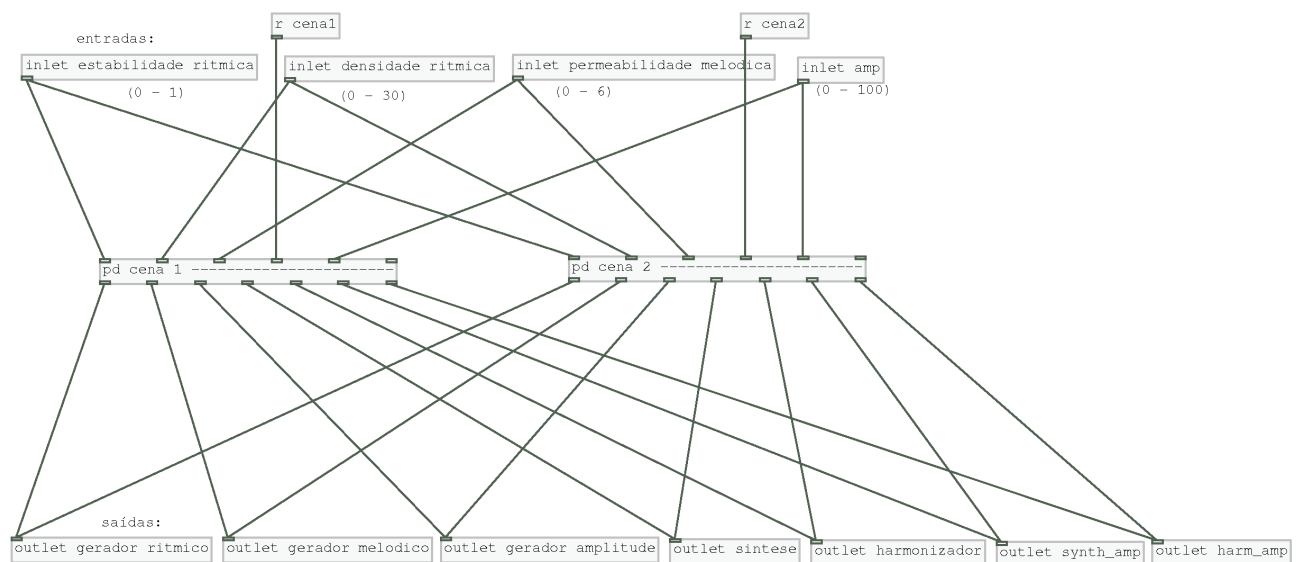


Figura 4.120: visão geral de [sync-cenario]

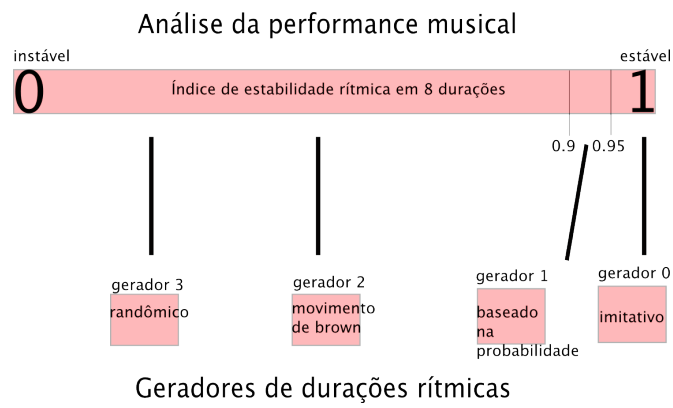


Figura 4.121: fluxograma do mapeamento do patch na figura 4.122

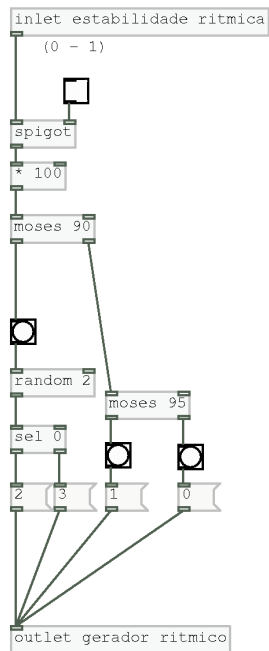


Figura 4.122: subpatch [pd cena 1]

4.6.2 [sinc-cenario]

Essa abstração foi desenvolvida para organização e controle de diferentes cenários interativos. Na figura 4.120 podemos observar um exemplo de funcionamento global com 4 parâmetros de análise da performance do músico recebendo dados em tempo-real.

O objetivo da abstração é receber esses dados e re-escalar os valores para controle dos parâmetros dos módulos generativos e transformativos do sistema. Na figura 4.122, vemos um detalhe do subpatch [pd cena 1] onde o índice de estabilidade rítmica é escalado para os valores de 0 a 100, e posteriormente filtrado com o objeto [moses], para então selecionar um dos quatro geradores rítmicos disponíveis.

É importante observar que nesse caso, na figura 4.121, a relação entre análise e geração de material musical se dá de maneira imitativa. Pois a medida que as durações das notas do músico se mantêm mais estáveis, os geradores rítmicos tendem a ser imitativos. E quanto mais instáveis as durações os geradores rítmicos alternam randomicamente entre um gerador rítmico baseado em movimento browniano e outro totalmente randômico.

4.6.3 Objetos [sinc-mixer] e [sinc-pan]

Na figura 4.123 vemos a composição interna do objeto [sinc-mixer] que tem como objetivo implementar um mixer de áudio de quatro canais independentes.

Além do volume global de cada canal, podemos também ter o controle independente de espacialização simples como pode ser visto na composição interna da abstração [sinc-pan] na figura 4.124.

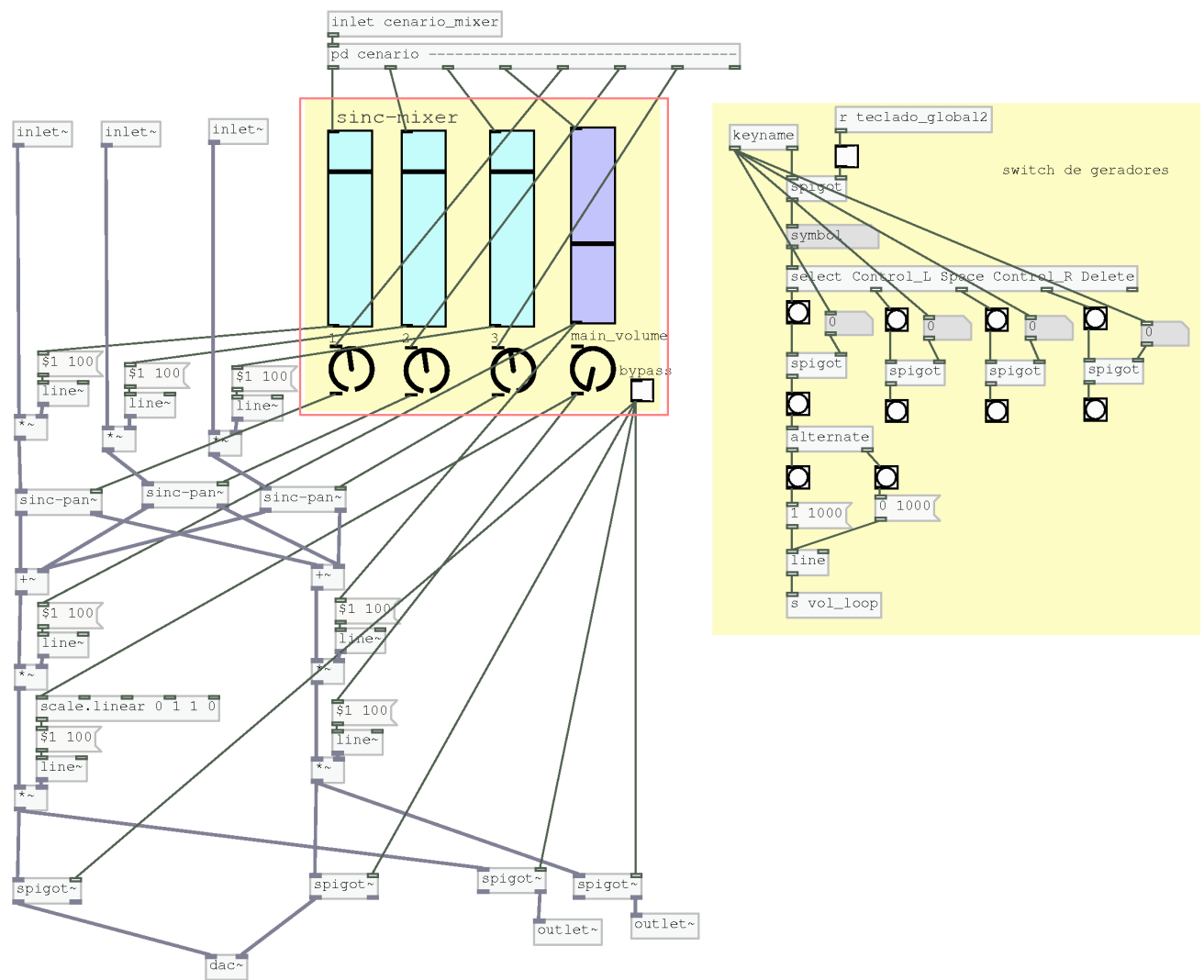


Figura 4.123: [sinc-mixer]

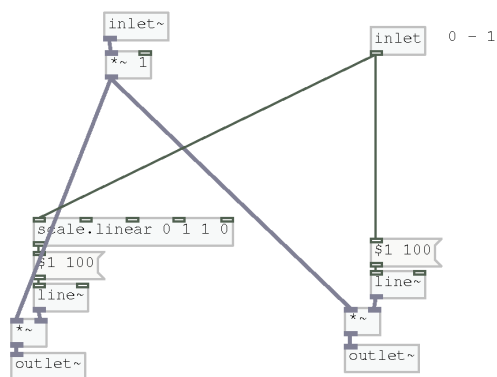


Figura 4.124: [sinc-pan]

Capítulo 5

Aplicações composicionais

Alguns fatores anteriores propiciaram o pleno desenvolvimento deste trabalho. Durante minha graduação em Violão, participei de um grupo de pesquisa em síntese sonora onde aprendi a programar em Csound que resultou no desenvolvimento de uma série de peças acusmáticas. Essa experiência chamou minha atenção para a música eletroacústica e para a computação musical.

Durante o mestrado tive o primeiro contato com o ambiente Max/MSP e realizei uma série de composições para instrumentos tradicionais como clarinete, marimba e violão. Ao mesmo tempo desenvolvi uma série de improvisações coletivas usando computador, no circuito artístico da música experimental brasileira.

De certa maneira, a experiência intensa como instrumentista durante a graduação sempre ficou distante da rotina da computação musical. Durante esta pesquisa o objetivo musical central foi a união dessas duas dimensões do fazer musical.

Neste capítulo irei descrever brevemente alguns experimentos realizados ao longo da pesquisa e um resultado composicional derivado da implementação dos módulos de SInCoPA.

de amostragem. Procurei explorar um contraste entre gestos de modulações com AM e FM e filtragem de ruído branco.

A comunidade de desenvolvimento do Pd é muito ativa, e explicitamente projetos open-source se esforçam para mudar a condição do interessado no software de usuário a participante ativo do projeto e das decisões coletivas sobre os caminhos que a linguagem deve tomar. Esse fator acarretou na participação na organização de 2 eventos com desenvolvedores e forte interação com a comunidade¹, oficinas de extensão, participação em produção de projetos coletivos usando pure data, como mimosalib² também usada como referência nos protótipos.

Outra experiência de composição mista foi a peça “Oferenda”(2009) para sax contralto e Pd, apresentada na PdCon em São Paulo. Nessa peça, a parte do sax é totalmente improvisada e o computador funciona como um instrumento com outro músico controlando aspectos de processamento de áudio e sincronizando samples de percussão com a performance do sax. Nesse mesmo ano, foi desenvolvido um patch para interação entre duas guitarras, onde a análise de pitch controla um jogo do tipo “Pong”, implementado em Pd/GEM.

Uma experiência que envolveu essa pesquisa também foi a peça “Impressões oníricas” (2010) para flauta, violão e computador, escrita para o grupo GNU, onde em alguns trechos, a análise do áudio disparava amostras de áudio e controlava alguns parâmetros de processamento dos samples. Nessa composição a análise de áudio de dois instrumentos acústicos distintos no mesmo palco foi um desafio, nesse caso a falta de precisão do sistema foi substituída pelo controle manual do computador.

A experiência mais recente foi a composição coletiva “/usr/maquina4/compartida ”³(2012), onde puderam ser postos a prova os aplicativos desenvolvidos nessa pesquisa. Essa peça contou com quatro músicos controlando instrumentos digitais feitos com Pd, e consistiu de um improviso que foi sendo construído durante alguns ensaios. O fato de usar guitarra elétrica contribuiu para maior precisão dos elementos de análise e segmentação em tempo-real. Outro elemento

¹III International Convention of Puredata (PdCon) em São Paulo e o I Simpósio Internacional de Interatividade nos Sistemas Computacionais Livres (www.iscl2009.wordpress.com) em Salvador em 2009.

²<https://github.com/glerm/mimosalib>

³<http://www.youtube.com/user/figocris/videos?view=1>

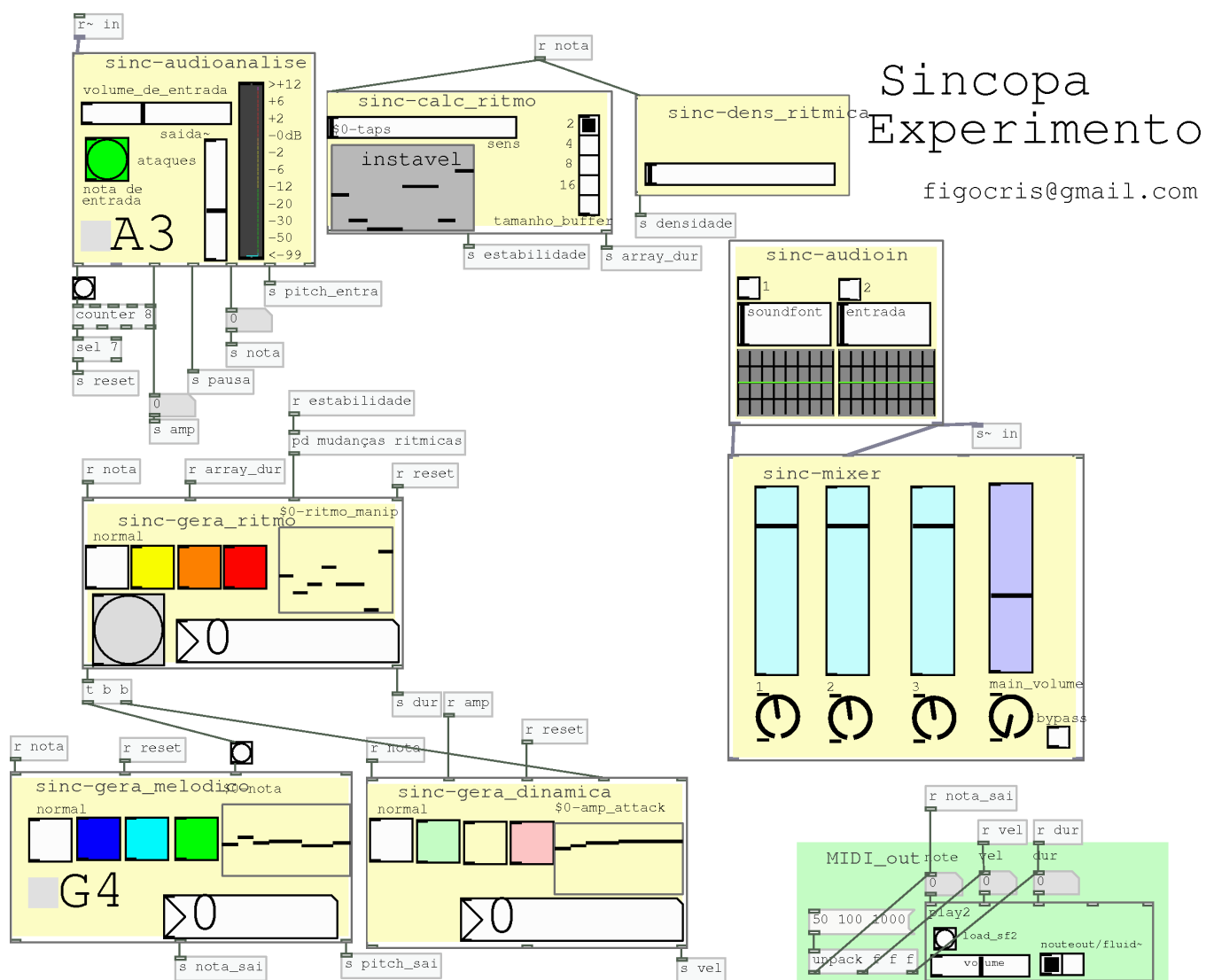


Figura 5.2: Experimento 1 - Geradores melódicos e rítmicos

positivo foi de que as ferramentas apresentadas aqui se mostraram úteis na improvisação coletiva. Outros músicos de adaptam bem as respostas musicais de SInCoPA, nos momentos que os resultados são perceptivelmente conectados o resto do grupo visivelmente se sentia mais a vontade musicalmente.

O experimento mostrado na figura 5.2 mostra um diálogo entre um instrumentista com os geradores MIDI descritos na pesquisa. Nesse experimento o cenário de interação é programado para imitar o músico. No sentido de que se a densidade rítmica do instrumentista fica maior, é acionado o gerador rítmico com maior densidade e assim por diante.

Um vídeo⁴ pode ser visto mostrando a imagem da performance instrumental na guitarra elétrica e a atividade do programa com o áudio gerado.

5.2 Diálogos em SInCoPA

Essa peça é um resultado de todas as experimentações desenvolvidas ao longo da pesquisa. É composta para um instrumento tradicional e computador rodando SInCoPA. A forma é aberta, e os materiais são definidos em tempo-real pelo instrumentista. A idéia é que durante a execução o instrumentista não precise usar o mouse e o teclado do computador. Alguns botões de controle são definidos em um teclado alfanumérico que funciona como pedal como visto na figura 4.113.

A notação da peça é o próprio patch que define o modo e os comportamentos da interação. O instrumentista é encorajado a criar o seu próprio esquema de notação da performance ou usar o patch de “Diálogos em SINCoPA” para improvisar com outros músicos.

Cada performance resulta em sonoridades diferentes. Ainda que seja possível o reconhecimento auditivo de que se trata da mesma peça. O estudo e execução da peça não exigem nenhum conhecimento especializado de computação, apenas a disponibilidade de um computador para ensaiar. O estudo da peça passa por uma série de improvisações onde o instrumentista aprende empiricamente como cada módulo reage de acordo com diferentes gestos instrumentais.

Na figura 5.3 vemos o patch principal de “Diálogos em SINCoPA”, com quatro módulos interativos embaixo, e um módulo de análise de áudio na parte direita superior. Cada módulo implementa um algoritmo interativo diferente e o músico pode alternar entre cada um ou sobrepor mais de um módulo simultaneamente. O instrumentista liga cada módulo através do pedal (teclado alfanumérico descrito na figura 4.113).

A análise do áudio de entrada é realizado em [audio_midi]. A abstração [audio_midi] pode ser vista na figura 5.4 e consiste de uma combinação dos módulos de análise de áudio [sinc-

⁴www.cristianofigo.wordpress.com

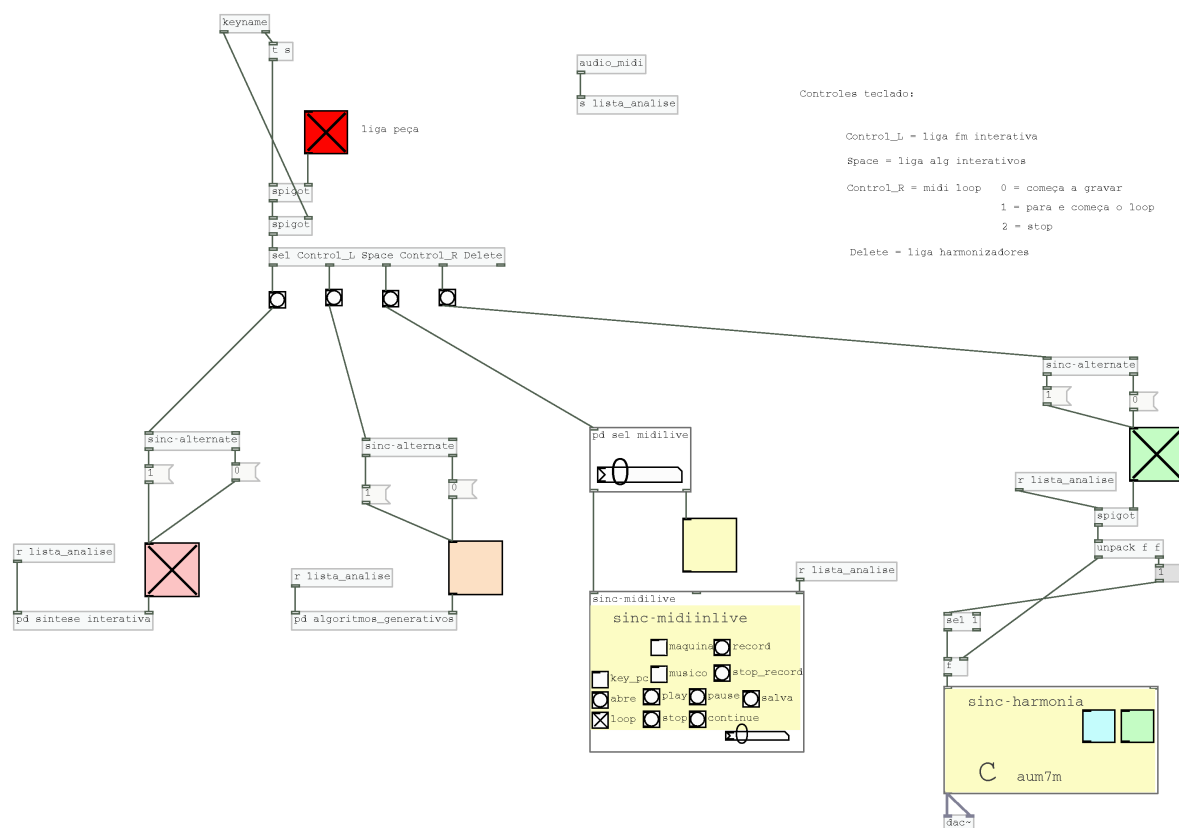


Figura 5.3: Visão geral do patch principal da composição “Diálogos em SINCoPA”

audioin] e [sync-audioanalise]. O resultado da análise de áudio é convertido em fluxo MIDI com os objetos nativos [makenote] e [noteout].

O sub-patch [pd síntese interativa] tem por finalidade criar um sintetizador que tenha seus parâmetros controlados pela análise do áudio de entrada. A visão geral desse sub-patch pode ser vista na figura 5.5. Cada nota executada pelo instrumentista aciona uma nota simultânea no sintetizador. É realizado um cálculo da distância do pitch da última nota em relação à nota atual. O resultado desse cálculo é reduzido ao valor absoluto com o objeto [abs]. Esse valor por sua vez é mapeado com a abstração [sync.linear] para duas escalas e enviado para o sintetizador com as variáveis [s mod_amp] e [s mod_freq]. A distância de altura entre cada nota define a característica do timbre do sintetizador.

Na figura 5.6 podemos observar um trecho musical executado e enviado para o sintetizador. Na tabela abaixo vemos o resultado da análise de cada altura e o valor correspondente a cada parâmetro mapeado no sintetizador.

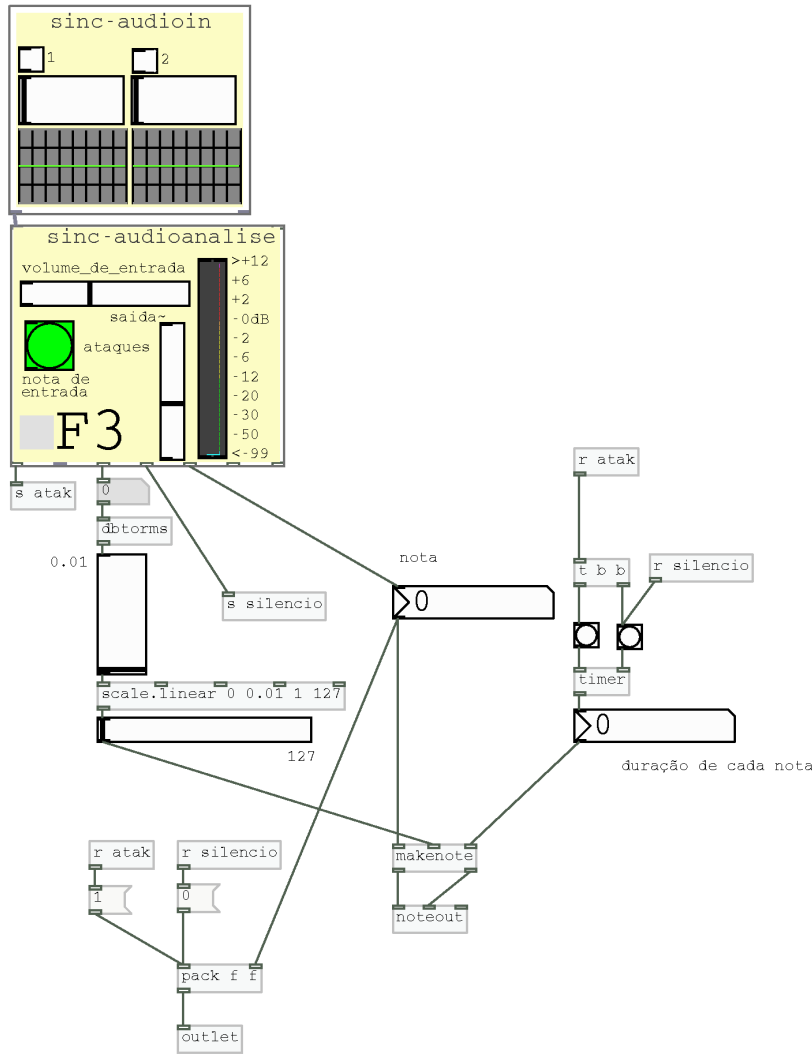


Figura 5.4: Visão da abstração [audio_midi]

Pitch original	mod_freq	mod_amp
60	315.789	1052.63
77	505.263	1684.21
74	63.1579	210.526
73	0	0
74	0	0
73	0	0
79	157.895	526.316
78	0	0
79	0	0
76	63.1579	210.526
81	126.316	421.053
74	189.474	631.579
81	189.474	631.579
72	252.632	842.105
83	315.789	1052.63
71	347.368	1157.89

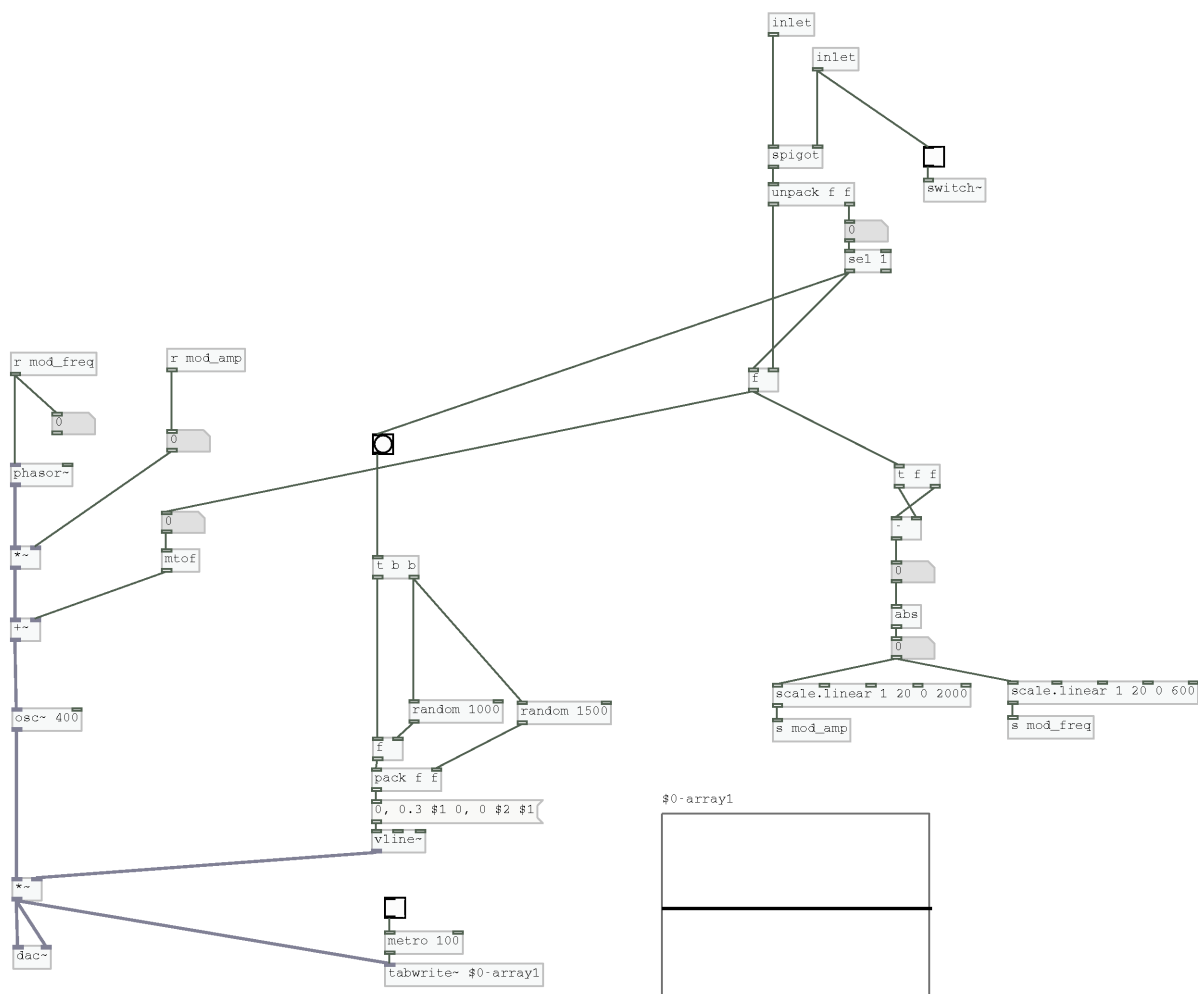


Figura 5.5: Visão do sub-patch [pd síntese interativa]



Figura 5.6: Exemplo de trecho executado explorando interação com [pd síntese interativa]

O sintetizador em questão, mostrado na figura 5.5, usa a técnica de frequência modulada (FM) para definir o comportamento do timbre. A onda portadora usa um objeto [osc~] e recebe a mesma frequência executada pelo instrumentista. A moduladora também usa um objeto [osc~] e recebe valor de frequência através da variável [r mod_freq]. A amplitude da moduladora é definida pela variável [r mod_amp]. Na tabela acima podemos visualizar o resultado de cada variável na sucessão de cada altura executada na figura 5.6. Nesse algoritmo o desenho do timbre depende do gesto melódico do instrumentista. Esse tipo de relação entre timbre e perfil melódico não é possível em instrumentos tradicionais. Quanto mais curta a distância entre duas alturas executadas em sequência, maior será o índice de modulação do sintetizador.

Na figura 5.7 vemos o sub-patch [pd algoritmos_generativos] da figura 5.3. Na parte esquerda vemos um contador [counter] que é reinicializado a cada nota que chega. O resultado é enviado



Figura 5.8: Trecho executado e enviado ao algoritmo da figura 5.7

para três objetos [moses] que classificam a atividade geral do instrumentista como ativo, pausa ou fim da execução. Essa classificação determina o volume geral dos geradores algorítmicos. O resultado é um diálogo mais orgânico onde o volume dos geradores depende dessa classificação de atividade do instrumentista.

Na parte direita do patch vemos os objetos [sinc-calc_ritmo] e [sinc-permeabilidade]. O resultado dessas análises influenciam os comportamentos dos geradores algorítmicos especificados em [sinc-gera_ritmico], [sinc-gera_melodico] e [sinc-gera_dinamica]. O resultado de [sinc-calc_ritmo] alterna entre instável e estável (0 e 1 respectivamente). Quando as durações de entrada são classificadas como estáveis, o resultado é enviado para [sinc-gera_ritmico] que seleciona o gerador rítmico imitativo (definido com a cor branca). Quando o resultado é classificado como instável é feito um sorteio com o objeto [random] para escolher um entre os 3 geradores rítmicos restantes (variação (fig.4.51), ritmo browniano (fig. 4.59) e gerador polifônico (fig.4.67)).

O resultado de [sinc-permeabilidade] é uma escala que varia de 0 a 6 (variações de impermeável até permeável). Esse resultado passa por um objeto [moses] que controla 4 geradores melódicos em [sinc-gera_melodico] (imitação (fig.4.47), probabilidade (fig.4.58), browniano (fig.4.66) e randômico (fig.4.54)). O resultado dos geradores são enviados como mensagem MIDI pelo canal MIDI 2.

Apesar dos algoritmos serem alimentados pelos dados da análise do áudio de entrada, a cada repetição do mesmo trecho musical temos um resultado diferente, mantendo um certo grau de reconhecimento rítmico e melódico. Para efeito de ilustração usamos o trecho musical da figura 5.8 e repetimos para visualizar o resultado gerado pelo algoritmo. Nas figuras 5.9 e 5.10 podemos ver o mesmo trecho da figura 5.8 servindo como base para o algoritmo.



Figura 5.9: Resultado de interação com algoritmo descrito na figura 5.7 (pg.1)

A abstração [sync-midilive] pode ser vista internamente na figura 5.11. É uma variação da abstração [sync-midiin] (figura 4.40) feita para funcionar em tempo-real. Os dados de entrada da abstração são convertidos para MIDI e salvos no arquivo *tmp.mid*. Esse arquivo é aberto e executado repetidamente, isso possibilita a construção de trechos de *ostinato* de tamanhos variáveis. O sub-patch [pd sel midilive] mapeia a mesma tecla do pedal para funções diferentes dependendo da ordem que seja pressionada. Isso cria uma sequência lógica de ações:

1. Habilita [sync-midilive] e começa a gravar;
2. Pára de gravar, salva o arquivo tmp.mid, abre o arquivo tmp.mid e começa a execução em loop;
3. Pára o loop e desabilita a abstração [sync-midilive]



Figura 5.10: Resultado de interação com algoritmo descrito na figura 5.7(pg.2)

A abstração [sinc-harmonia] que aparece na figura 5.3 pode ser vista na figura 5.12. É uma abstração que controla dois algoritmos harmonizadores vistos na seção 4.3.8. A cada nota que chega da análise de áudio, é sorteado um dos dois algoritmos para realizar a harmonização.

Esses quatro módulos interativos permitem uma infinidade de narrativas e caracteres musicais. A prática e experimentação instrumental junto com “Diálogo em SInCoPA” permite que o instrumentista adquira consciência e controle expressivo. O fato de ser uma peça de forma aberta permite que cada execução seja única e capaz de dialogar com diferentes ambientes e propósitos.

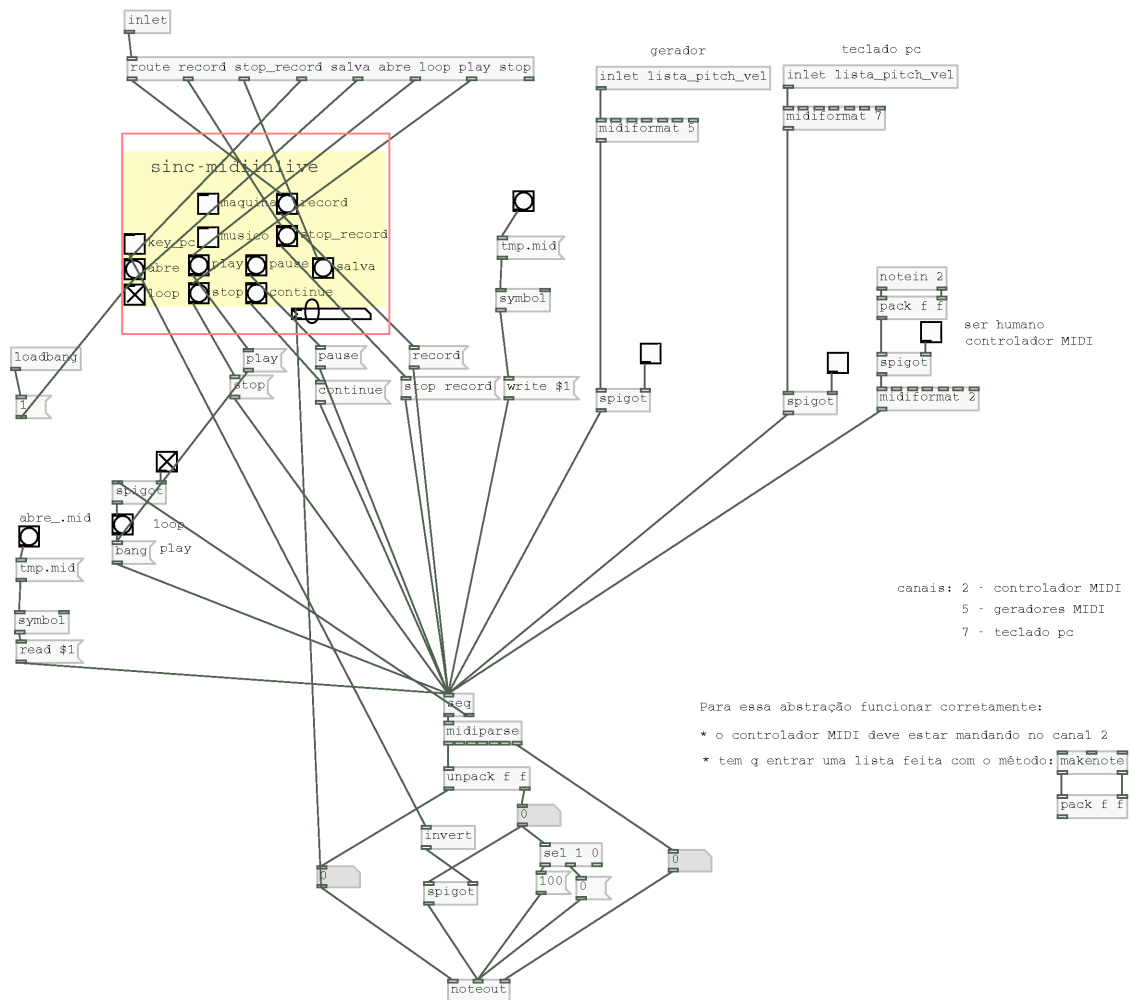


Figura 5.11: Visão da abstração [sinc-midilive]

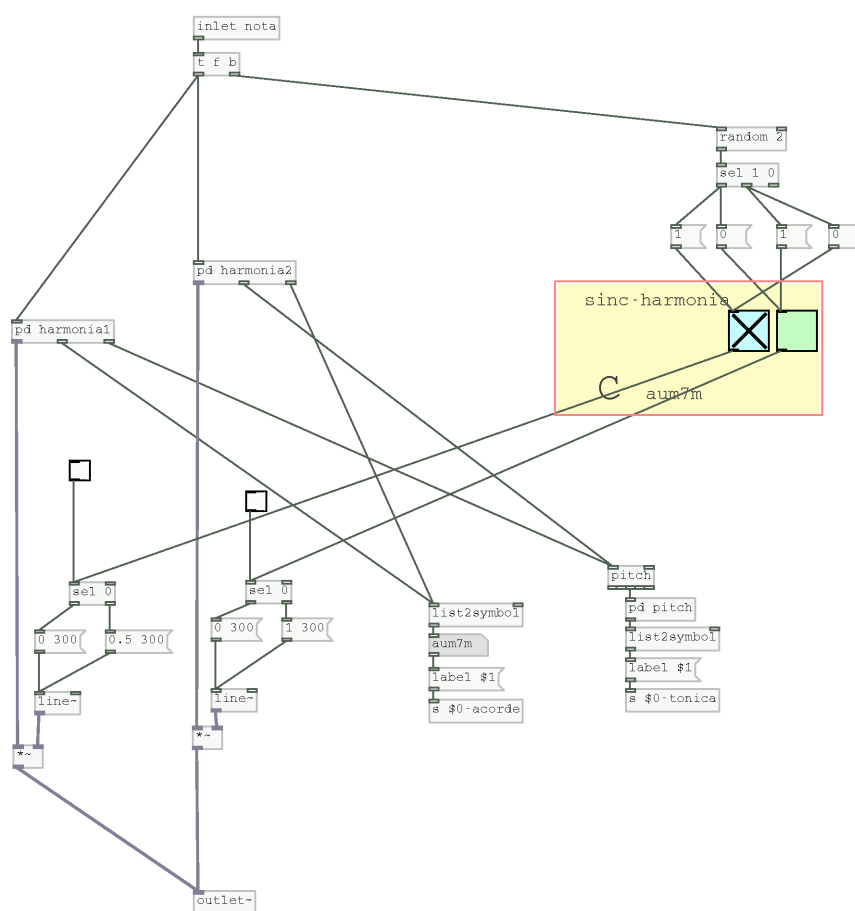


Figura 5.12: Visão da abstração [sinc-harmonia]

Capítulo 6

Resultados e Conclusão

Nessa seção serão apresentadas algumas reflexões acerca do processo de pesquisa e alguns resultados alcançados. O objetivo dessa seção é mostrar como o processo avançou e indicar pontos fortes e fracos ao longo do desenvolvimento deste trabalho.

A pesquisa possibilitou a criação de uma biblioteca de módulos que auxiliam a criação de música interativa. Esses módulos podem ser combinados com objetos nativos de Pd e conectados com outros programas da maneira como tem sido mostrado ao longo do texto.

Ao longo do desenvolvimento de SInCoPA diversos experimentos foram desenvolvidos, permitindo a exploração isolada de aspectos com visto na seção 5.1. Essa experimentação pública e abertura dos resultados parciais do desenvolvimento, permitiram um bom *feedback* técnico e artístico em relação a comunidade de artistas e desenvolvedores de música interativa.

Dentro da grande área de computação musical, esta pesquisa engloba elementos de projeto de instrumento aumentado, composição algorítmica e busca e análise de dados musicais. Apesar de ser um recorte amplo de conhecimento, acredito ter levantado os principais problemas de pesquisa e apontado soluções que permitem uma compatibilidade para futuros desenvolvimentos. Enquanto ferramenta pessoal de composição, SInCoPA se mostrou um ambiente ideal para a criação de música interativa, instalações e colaboração com outros músicos.

Todo o código apresentado ao longo do texto pode ser acessado pela internet¹. O código é distribuído pela licença GNU/GPL, permitindo que seja acessado, alterado e re-distribuído. Além da disponibilidade do código, é possível acompanhar o desenvolvimento dos algoritmos através do histórico de versões de desenvolvimento dos objetos projetados na pesquisa. Acredito que essa metodologia ajude na construção de conhecimento sobre composição de música interativa e permita o aperfeiçoamento das pesquisas na área.

6.1 Discussão

A motivação inicial da pesquisa, foi criar um sistema interativo para uso com instrumentos de corda pinçada como violão e guitarra. Rapidamente se evidenciou o problema da limitação da análise de áudio em tempo-real em relação ao aspecto polifônico desses instrumentos, como visto na seção 1.2.1.

A versão atual de SInCoPA, compreende interação com instrumentos monofônicos. Apesar de permitir uma rápida adaptação dos módulos já desenvolvidos, quando for implementado o *hardware* que permita o mapeamento de cordas separadas como discutido na seção 1.2.1.

Dentro de um sistema de criação de música interativa a análise ocupa uma importância central. A importância de uma metodologia de análise deve ser equilibrada com o objetivo na construção geral do sistema. No começo da pesquisa, surgiu o foco no desenvolvimento de módulos de análise sub-simbólica baseados em redes neurais. Essa seção experiência apontou alguns caminhos de como trabalhar com redes neurais artificiais integrando a um sistema de música interativa com Pd, usando enquanto método para classificação de padrões.

A figura 6.1 representou o planejamento inicial do projeto onde podemos observar como a análise do áudio seria separada nos parâmetros de densidade, durações, classes de intervalos, variações de timbre e registro. Após uma primeira análise do áudio, todas as classificações seriam realizadas por redes neurais artificiais. Cada parâmetro passaria por uma cadeia de redes

¹Disponível para download em : www.github.com/cristianofigo/sinc_abs

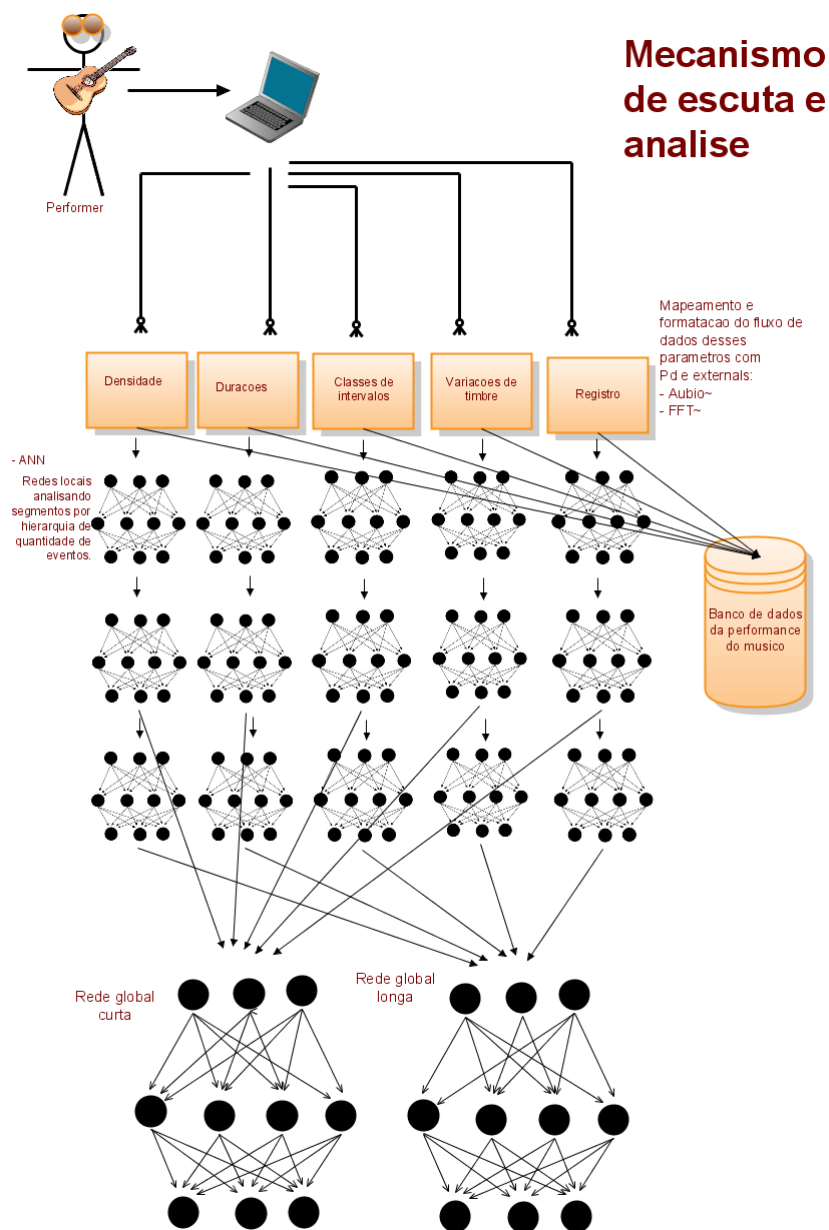


Figura 6.1: Mecanismo de escuta e análise

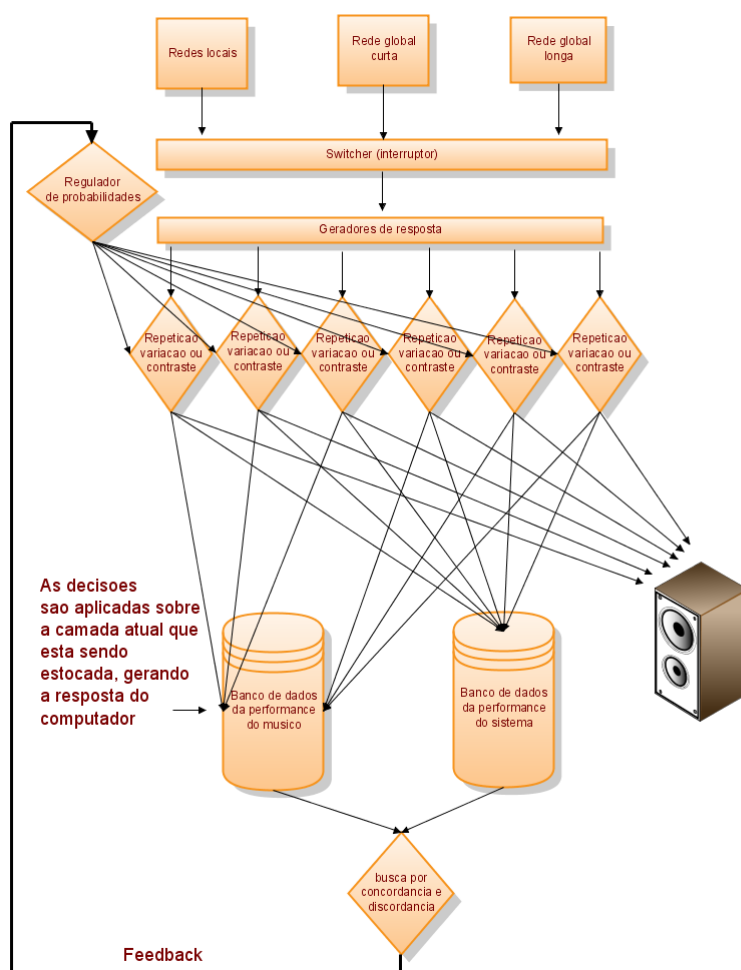


Figura 6.2: Mecanismo de funcionamento de um sistema interativo baseado em redes neurais

locais de tamanhos diferentes que seriam agrupadas em duas redes globais também de tamanhos diferentes.

Por um lado, essa idéia original não apresentava uma clara distinção entre os níveis simbólico e sub-simbólico. A idéia era se aproximar de modelos cognitivos, tentando simular situações de aprendizado musical. Nesse sentido, simular as habilidades de músicos humanos em fluidez de ação, capacidade de resposta a situações novas e referências culturais, transformam a capacidade de interação dos sistemas computacionais numa árdua tarefa. Na prática o sistema funcionaria em duas instâncias: num primeiro momento as redes precisam ser treinadas. Nessa fase o músico executa uma performance, esse áudio é captado, analisado e colocado numa base de dados que vai servir como arquivos de treinamento das redes. A segunda fase seria o

momento da performance interativa, onde o sistema vai responder ao estímulo do músico comparando a análise de sua performance em tempo-real com esse banco de dados previamente estocado. Uma visão geral do sistema está na figura 6.2 mostrando o fluxo geral dos dados ao longo das partes do sistema. Podemos ver que a resposta do sistema ao estímulo do músico depende da resposta das redes que procuram por padrões. O resultado das redes distribui pesos no mecanismo de decisões que por sua vez aplicam processos de transformações no material exposto pelo músico e armazenado no banco de dados.

Os resultados das análises de áudio seriam passados por um sistema de redes neurais artificiais, construídos com a biblioteca FANN (Nissen) portada para ser usada como uma external de Pd. Foi feito um pequeno experimento da pesquisa onde foi usado o external [ann-mlp] com o objetivo de detectar em tempo-real padrões rítmicos pré-estabelecidos na fase de treinamento da rede.

As redes neurais artificiais funcionam em dois tempos, o treinamento e a performance. No treinamento as redes os pesos e dos padrões de maneira a criar um arquivo de treinamento que funciona como um banco de dados . No arquivo de treinamento podemos editar manualmente e identificar e rotular os padrões de maneira a refinar a base de dados. Nesse experimento foi desenvolvido um subpatch que cria automaticamente o arquivo de treinamento, que determina a quantidade de neurônios da rede, número de padrões a serem estocados e a quantidade de elementos de cada padrão. No experimento em questão foi usado um arquivo de áudio com um timbre percussivo e ataques bem claros. Esse arquivo contém 3 padrões rítmicos apresentados 3 vezes com andamento diferentes. No resultado observamos que mesmo quando se altera o andamento, as redes continuam a detectar os padrões, porque durante a fase de treinamento os padrões foram apresentados diversas vezes em andamentos diferentes.

Outra possibilidade seria o uso de mapas auto-organizáveis (redes de Kohonen), que é um tipo de rede neural artificial não supervisionada, que não necessita da fase de treinamento, podendo ser um modelo para classificação em tempo-real. Esse experimento mostrou um caminho para o refinamento de um modelo de classificação de padrão. Um problema apontado foi o de que aplicações com redes neurais são voltadas para a resolução de problemas específicos.

A prática com redes neurais demonstrou um grande potencial como ferramenta para análise. Apontando para o futuro do desenvolvimento dos níveis de análise descritos na seção 1.2. Dentro do recorte dessa pesquisa, a análise tem um espaço importante, entretanto o objetivo final é o desenvolvimento de uma ferramenta para a composição de música interativa.

6.2 Conclusão

Esse trabalho procurou apontar os principais elementos na construção de uma ferramenta de composição musical especializada em música interativa. Ao longo do texto foram expostos os motivos que levaram à essa pesquisa, no sentido da busca musical e dos problemas técnicos e conceituais ao longo da pesquisa.

Um caminho adotado na metade do processo apontava para a criação de um sistema de redes neurais para cada parâmetro musical e a concatenação dos resultados dessas redes em diferentes níveis. Em vez disso, foi optado por seguir um caminho de desenvolver ferramentas genéricas, mais leves computacionalmente, facilmente customizáveis e mais portáteis para diferentes plataformas.

De certa maneira o projeto inicial era bem mais ambicioso no sentido de que se esperava um sistema inteligente e flexível. Quando na prática não existe um sistema de música computacional que seja totalmente genérico e integral. O desenvolvimento mais notável sempre acontece no plano das ferramentas especializadas. No presente trabalho procuramos desenvolver uma série de ferramentas especializadas que podem ser empregadas genericamente, independente do design composicional, que pode combinar de infinitas formas a organização e disposição dessas ferramentas.

Ainda que a fonte primária de entrada seja o áudio puro, se optou por desenvolver ferramentas no nível sub-simbólico de representação e usar as ferramentas de DSP “standard” das bibliotecas externas do Pd. Um desenvolvimento importante é o de análise de sinal polifônico,

desenvolvido no Ircam, com ótimos resultados, porém ainda com acesso restrito ao código até a data desse texto².

A modularidade das ferramentas desenvolvidas no Pd permitem integrações mais complexas como controle de processamento de imagem e adaptação para outros dispositivos como celulares e interação via internet em tempo-real. A integração entre aplicativos voltados para composição musical e outros para vídeo e modelagem 3D é um grande ponto positivo de trabalho com Pd, onde a colaboração artística interdisciplinar, sai do nível da inspiração e é levada para o nível das ferramentas colaborativas, o que tem mostrado grande potencial na expressão de novas idéias e conceitos estéticos.

Ao compositor de música interativa, muitos caminhos e possibilidades expressivas se abrem em meio a um oceano de desafios. Sobre esse aspecto Rowe conclui:

Dada a confusão de possibilidades, compositores são perdoados em hesitar ao decidir qual caminho tomar. A solução do autor tem sido o desenvolvimento de uma biblioteca pessoal de amostragem de áudio, síntese e efeitos em C++. Enquanto que começar uma nova função nesse projeto passa inevitavelmente pela re-invenção de várias rodas, isso facilita a coordenação com uma camada de controle existente e parece ser o método mais expressivo de desenvolver novas idéias: um conjunto de efeitos personalizados. (Rowe 2009) ³

Para o futuro da pesquisa, acredito que foram apontadas direções para aprofundamento de cada um dos módulos de SInCoPA. Nessa tese, a explicação técnica das abstrações é aprofundada e sua utilização apresentada na forma de experimento musical, misturando as técnicas e explorando maneiras musicalmente expressivas de sobrepor ou justapor as técnicas. Também foi apontado teóricamente o desenvolvimento da narrativa instrumental e gestual do músico. As técnicas apresentadas até aqui são ferramentas genéricas para análise, composição e performance musical, uma outra etapa futura poderá combinar todas essas técnicas em peças de música mais longas, onde se possa experimentar diversas narrativas e como as ferramentas se comportam em projetos maiores.

²<http://imtr.ircam.fr/imtr/Antescofo>

³Given the embarrassment of choices, composers may be forgiven for hesitating over which way to turn. The author's solution has been to develop a personal library of audio sampling, synthesis, and effects routines in C++. While starting a new with such a project inevitably entails reinventing several wheels, it facilitates coordination with an existing control layer and seems the most expressive way to develop new ideas: a set of personal effects.

O recorte da pesquisa foi o desenvolvimento de ferramentas para composição interativa entre instrumentos tradicionais e computadores. Nesse sentido apresentamos uma série de soluções que revelam os problemas específicos das muitas partes do objeto. Além disso, o foco do objeto de pesquisa na composição como um todo, garantiu que o resultado técnico fosse uma ferramenta genérica, modular e re-utilizável. Os caminhos indicados neste trabalho, permitiram aprofundar alguns conceitos e apontar novos problemas de pesquisa pertinentes à criação de sistemas de música interativa.

Referências Bibliográficas

- Assayag, G., G. Bloch, M. Chemillier, A. Cont, e S. Dubnov. 2006. “Omax Brothers: A Dynamic Topology of Agents for Improvisation Learning.” *ACM Multimedia Workshop on Audio and Music Computing for Multimedia*.
- Azuma, Ronald T. 1997. “A Survey of Augmented Reality.” *Teleoperators and Virtual Environments* 6 (4): 355–385 (august).
- Barknecht, Frank. 2007. *Beginner’s Guide to the FFT-objects in Pd*. Disponível em <http://footils.org/2007/02/20/beginners-guide-fft-objects-pd/>.
- BARKNECHT, Frank. 2011. “rj - abstractions for getting things done.” *Proceedings of IV International Conference of Pure data - Weimar*.
- Boulanger, Richard, ed. 2000. *The Csound Book*. Mit Press.
- Brent, William. 2009a. “Cepstral Analysis for Percussive Timbre Identification.” *Proceedings of III International Conference of Pd - São Paulo*.
- Brent, Willian. 2009b. “timbreID.” Relatório Técnico.
- Brinkmann, Peter. 2012. *Making Musical Apps - Real-time audio synthesis on Android and iOS*. O’Reilly Media.
- Caesar, Rodolfo. 1995. “Perfil e Copacabana Dois aplicativos para composição eletroacústica com o protocolo MIDI.” *Anais do VIII Encontro da ANPPOM. UFPB. João Pessoa*.
- . 2008. “O loop como promessa de eternidade.” *Anais do Congresso da Anppom*.

- Chuan, Ching-Hua. 2008. "Hybrid methods for music analysis and synthesis: Audio key finding and automatic style-specific accompaniment." Tese de doutorado, University of Southern California.
- Eigenfeld, A. 2007. "Drum Circle: Intelligent agents in Max/MSP." *Proceedings of the ICMC 2007*. Copenhagen.
- Emmerson, Simon. 1986. *The Language of electroacoustic music / edited by Simon Emmerson*. London: Macmillan.
- Farnell, A. 2010. *Designing Sound*. The MIT Press.
- Ferraz, S. 1998. *Música e repetição: a diferença na composição contemporânea*. Educ.
- Garnett, Guy E. 2001. "The Aesthetics of Interactive Computer Music." *Computer Music Journal* 25 (1): 21–33.
- Geiger, Günter. 2005. "Abstraction in Computer music software systems." Tese de doutorado, Universitat Pompeu fabra.
- Grahan, Richard. 2011. "A Live Performance System in Pure Data: Pitch Contour as Figurative Gesture." *Proceedings of IV International Conference of Pure data - Weimar*.
- Hanlon, Matt, e Tim Ledlie. 2002. "CPU Bach: An Automatic Chorale Harmonization System."
- Kapur, A., E. Singer, M. S. Benning, e G. Tzanetakis. 2007. "Integrating hyperinstruments, musical robots and machine musicianship for North Indian classical music." *Proceedings of NIME 2007*. 238–241.
- Kelly, Edward. 2011. "Gemnotes: a realtime music notation system for pure data." *Proceedings of IV International Conference of Pure data - Weimar*.
- Kerlleñevich, Hernán. 2011. "Santiago - Making music with biological neural networks in Pd-Gem." *Proceedings of IV International Conference of Pure data - Weimar*.
- Kreidler, Johannes. 2009. *Loadbang: Programming Electronic Music in Pure Data*. Wolke Verlagsges.

- Leman, Marc. 1989. "Symbolic and subsymbolic information processing in models of musical communication and cognition." *Interface* 18 (1-2): 141–160.
- . 1996. *Music, Gestalt, and computing: studies in cognitive and systematic musicology*. Springer Verlag.
- Lerdahl, Fred. 2001. *Tonal Pitch Space*. Oxford University Press.
- Ligeti, G. 1958. "Transformações da Forma Musical." In: *Die Reihe* (revista) nov/dez 1958. Tradução para português: Conrado Silva (1971).
- Lippe, Cort. 2001. "Real time Interaction Among Composers, Performers, and Computer Systems." *Computer Music Journal* 25 (1): 21–33.
- M., Puckette, Apel T., e Zicarelli D. 1998. "Real-time audio analysis tools for Pd and MSP." *Proceedings International Computer Music Conference*. San Francisco: International Computer Music Association, 109–112.
- Machover, T., e Chung. J. 1989. "Hyperinstruments: Musically Intelligent and Interactive Performance and Creativity Systems." *Proceedings of the International Computer Music Conference. San Francisco: International Computer Music Association*.
- Mack, Allan John. 2003. Automated music harmonizer.
- MENEZES, FLO, e F.M. Filho. 2006. *Música maximalista: ensaios sobre a música radical e especulativa*. Editora UNESP.
- Minsky, M. 1988. *The Society of Mind*. Touchstone Book. Simon & Schuster.
- Monteiro, Adriano, e Jônatas Manzolli. 2011. "A Framework for Real-time Instrumental Sound Segmentation and Labeling." *Proceedings of IV International Conference of Pure data - Weimar*.
- m Zmöltnig, Iohannes. *HOWTO write an External for puredata*. Disponível em <http://pdstatic.iem.at/externals-HOWTO/>.
- Nissen, Steffen. "Neural Networks Made Simple." Manual técnico.
- Norman, Donald. 2006. *O Design do dia –a-dia*. Rocco.

- Patton, Kevin. 2007. "Morphological notation for interactive electroacoustic music." *Org. Sound* 12 (2): 123–128 (Agosto).
- Porres, Alexandre. "Abstrações de phase vocoder para Pure data." Patches de Pd.
- Puckette, M. 1996. "Pure Data." *Proceedings, International Computer Music Conference*. San Francisco: International Computer Music Association, 224–227.
- Puckette, Miller. 2004. "A divide between 'compositional' and 'performative' aspects of Pd." *Proceedings of the First Pd convention*.
- . 2009. Patch for guitar.
- Rowe, R. 2004. *Machine Musicianship*. MIT Press.
- Rowe, Robert. 1993. *Interactive Music Systems*. Cambridge, MA: The MIT Press.
- . 2005. "Personal Effects: Weaning Interactive Systems from MIDI." *Proceedings of the Spark Festival*.
- . 2009. "Split Levels: Symbolic to Sub-symbolic Interactive Music Systems." *Contemporary Music Review* 28 (1): 31–42.
- Sampaio, Marcos da Silva. 2008. "Em torno da romã: aplicações de operações de contornos na composição." Dissertação de Mestrado, Universidade Federal da Bahia, Salvador, BA.
- Schachter, Daniel. 2007. "Towards new models for the construction of interactive electroacoustic music discourse." *Organised Sound* 12 (1): 67–78.
- Schmuckler, Mark A. 1999. "Testing models of Melodic Contour Similarity." *Music Perception - An interdisciplinary journal* 16 (3): 295–326.
- Smalley, Denis. 1986. Capítulo Spectro-morphology and Structuring Processes de *The Language of electroacoustic music*, editado por S. Emmerson. Macmillan.
- Snyder, B. 2000. *Music and Memory*. MIT Press.
- Soares, Guilherme. 2009. "Navalha - Programa de segmentação e sequenciamento de áudio." Patches de Pd.

Winkler, Todd. 1993. *Composing Interactive Music – Techniques and ideas using Max*. MIT Press - Massachussets.

Zampronha, Edson. 2000. *Notação, Representação e Composição - Um novo paradigma da escritura musical*. São Paulo: Annablume/Fapesp.

Apêndice A

Apêndice

A.1 Glossário

Pitch: Termo relativo à altura das notas, em alguns módulos da pesquisa, o valor de pitch aparece como um símbolo da nota seguido da oitava respectiva (D4, se referindo a nota ré da oitava central do piano). Em outros momentos o valor de pitch se refere ao parâmetro MIDI de 0 a 127. Algumas funções convertem valores puros de frequência em pitch.

MIDI: É a sigla para *Musical Instrument Digital Interface* e descreve um protocolo padrão da indústria, definido pela primeira vez em 1982, que permite que instrumentos musicais eletrônicos (sintetizadores e máquinas geradoras de som), computadores e outros equipamentos eletrônicos (controladores MIDI, placas de som, samplers) se comuniquem e se sincronizem uns com os outros. As principais funções MIDI incluem comunicação de mensagens de eventos sobre a notação musical, variação de altura, intensidade, sinais de controle para os parâmetros (tais como volume, vibrato, panning, pistas e sinais de clock (para definir o tempo)) entre dois dispositivos, a fim de completar uma cadeia de sinal e produzir som audível a partir de uma fonte de som. Como um protocolo eletrônico, é notável pela sua adoção generalizada em toda a indústria da música.

Envelope: É a definição de como a amplitude de cada nota se comporta. É um termo comum nas especificações de síntese sonora e é um aspecto decisivo na construção e definição do timbre. Normalmente se dividem as fases do envelope sonoro em ataque, decaimento, sustentação e finalização (ADSR). Por exemplo, o timbre de um tambor tem um ataque curto, nenhuma sustentação e uma rápida finalização.

Pure data (Pd): É uma linguagem de programação visual desenvolvida por Miller Puckette na década de 1990 para criar música computacional interativa e obras multimídia. Enquanto que Puckette é o autor principal do programa, o Pd é um projeto open source que conta com uma base de desenvolvedores trabalhando em novas extensões e funcionalidades. Ele é liberado sob uma licença similar à licença BSD. Ele roda em GNU/Linux, Mac OSX, iOS, Android e Windows. Versões mais antigas ainda existem para FreeBSD e IRIX. Existem diversas distribuições ou “forks” de Pd, como Pd Vanilla, Pd-extended, DesireData e libpd. A principal característica do Pd é a semelhança da aparência do código com a representação formal do algoritmo implementado.

Objetos: São funções pré-compiladas que providem uma variedade de funções. Os objetos no Pd são escritos em C e possuem uma maneira própria de especificar as entradas e saídas de dados para que o objeto funcione em tempo-real conectado graficamente a outros objetos. Ao longo do texto foi usado uma notação como por exemplo: [objeto-teste] para representar um objeto.

Mensagens: São sequências de valores, listas ou símbolos. Uma mensagem pode ser usada para guardar dados e funciona também como um botão gráfico, podendo ser acionada com um clique de mouse.

Caixas de número: Normalmente são usadas para teste, manipulação e/ou visualização dos dados em tempo real. Graficamente são usadas como botões de valor dinâmico.

Símbolos: Símbolo do tipo string.

Comentários: Ferramenta de documentação local dos patches.

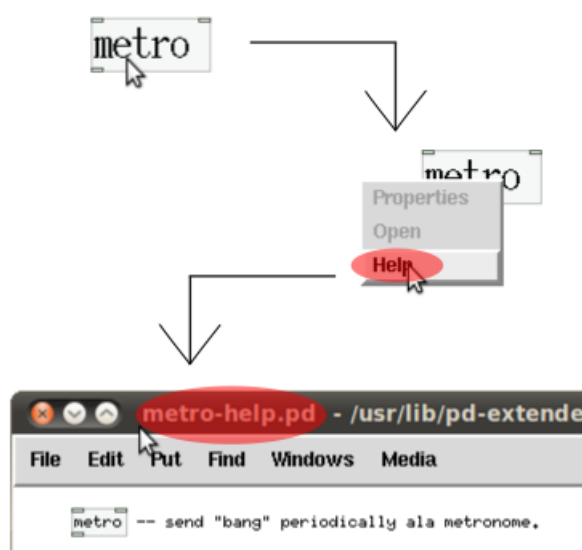


Figura A.1: exemplo de acesso ao manual do objeto metro

Objetos gráficos: Alguns são úteis como sliders (objetos [vsl] ou [hsl]) e botões diversos como toggle (objeto [tgl]).

Arrays: Tabelas de uma dimensão que podem ser utilizados por qualquer objeto que interprete formatos diversos, desde arquivos de áudio .wav até arquivos de texto puro.

Patches: São programas escritos em Pd.

Sub-patches: É um objeto que guarda uma porção de código encapsulado, funciona de forma local, ou seja, restrito ao patch principal.

Abstrações: É um patch que funciona como um objeto normal, porém escrito em Pd e pode agir de maneira global. Como é salvo separadamente pode ser carregado quantas vezes for preciso em diversos patches. Formalmente na linguagem, uma abstração também é considerada um objeto.

int, float: São especificações do Pd para designar números inteiros e números decimais.

Biblioteca é um conjunto de objetos para determinada função. O desenvolvimento central do Pd é nos objetos de matemática e processamento de sinal de áudio. Enquanto que a comunidade implementou diversas bibliotecas para processamento de vídeo e sensores de controle.

Manual do objeto: Se trata de um patch que exemplifica o uso de determinado objeto. O próprio editor gráfico do Pd entende que um patch que tenha o nome do objeto acrescido de “-help” é referenciado no menu disponível com o clique direito do mouse. Na figura A.1 vemos que o objeto metro tem o manual referenciando o patch metro-help.pd acessando um menu com o botão direito em cima do objeto em questão.

Sample: É uma amostra de áudio, que tem suas propriedades dependentes da taxa de amostragem e resolução de bits do sistema.

Mixer: É a designação de um controlador de volume ou intensidade de canais separados e independentes.

Loop: Repetição literal ou alterada de trechos de samples pré-gravados ou gravados no momento da performance.

A.2 Técnicas de programação em Pd

O Pd é uma linguagem de programação completa, porém alguns aspectos triviais de linguagens de programação textuais se tornam relativamente complexos e vice-versa. Dentro do escopo dessa pesquisa é fundamental o estabelecimento de uma metodologia de implementação de alguns idiomas comuns a todas linguagens de programação.

Dentro de uma mesma linguagem, podemos encontrar diversas maneiras de realizar o mesmo procedimento. Nesta seção do apêndice serão apresentados algumas decisões de programação que ao longo da pesquisa se tornaram padrões dentro do projeto de cada objeto de SInCoPA.

A.2.1 Escrita em arrays

Na figura A.2 vemos as duas principais funções dos arrays no Pd, como escrita de números “floats” ou “ints”. E como tabela de escrita de áudio, podendo ser usado com o objeto [tabwrite~] e também com o objeto [soundfiler] no caso de abrir um arquivo de áudio previamente gravado em disco.

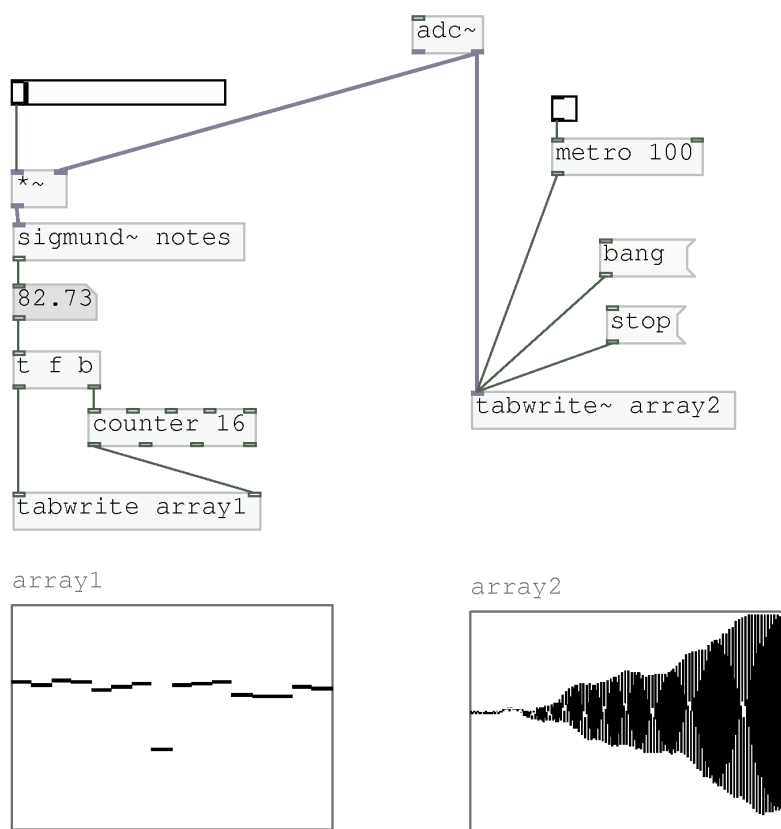


Figura A.2: exemplo de escrita de áudio e números em arrays

A.2.2 variáveis locais vs variáveis globais

No projeto de um sistema de música interativa, lidamos com um volume grande de variáveis locais, que precisam ser estocadas e enviadas de um objeto a outros.

Objetos recebem variáveis de mensagens e outros objetos através de conexão gráfica. Outra possibilidade de compartilhar dados de parâmetros entre diversos objetos é enviar os dados através de variáveis como pode ser visto na figura A.3, com a variável `pitch` acessada com os objetos `[send]` e `[receive]`.

No Pd é determinado o uso diferenciado entre variáveis globais e locais. Na figura A.4 vemos um objeto de Sincopa enviando um valor de variável local (`$0`) para leitura externa por outros objetos.

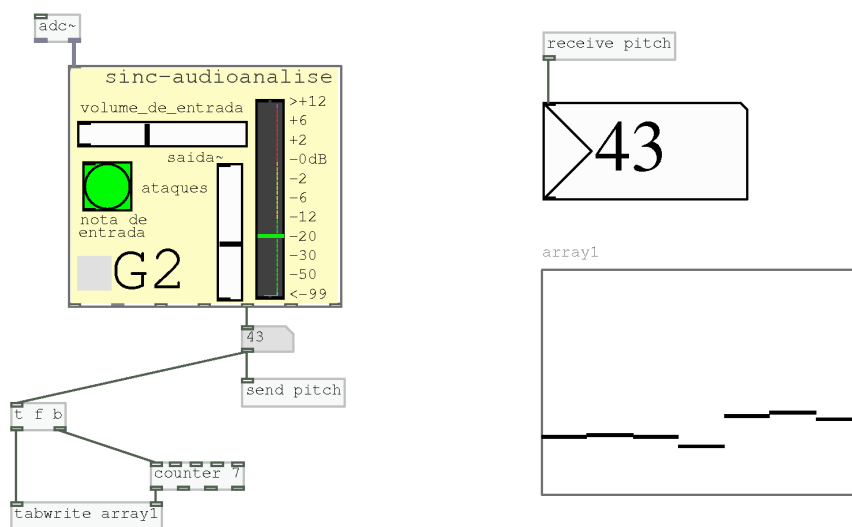


Figura A.3: conectando saídas de objetos com cabos e com [send] e [receive]

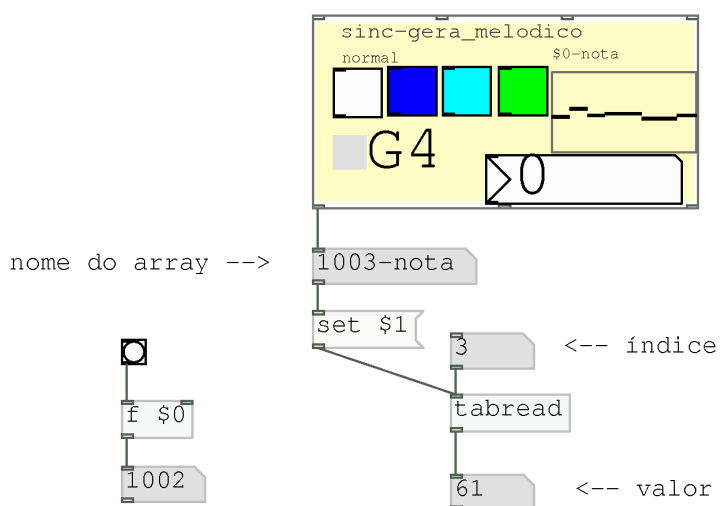


Figura A.4: [sinc-gera-melodico] enviando nome de variável local para ser lida por outros objetos

A.2.3 Objetos gráficos - GUI's

Durante a prototipação de SInCoPA, foram pensados alguns objetos com interface gráfica bem definida e outros sem. O sistema como um todo não possui uma interface única, mas sim um conjunto de abstrações especializadas. Essa metodologia de uma interface gráfica descentralizada facilita o contínuo desenvolvimento da ferramenta e possibilita o uso de partes do sistema em outros projetos.

A interface gráfica de cada objeto do sistema foi pensada para cumprir preceitos de legibilidade mais intuitiva possível. O objetivo é que durante uma sessão de composição interativa, o músico não necessite acessar o conteúdo interno das abstrações e que todos controles necessários sejam acessíveis via interface gráfica.

Os objetos de análise apresentam interface informativa, ou seja, mostram graficamente em tempo-real, o resultado da análise. Isso facilita a prototipação e controle do fluxo como podemos ver na figura A. As interfaces gráficas em SInCoPA são feitas com arranjos e sobreposições dos objetos canvas [cnv]. Apesar de simples, o objeto [cnv] possibilita uma infinidade de alternativas de desenho como podemos ver na descrição dos objetos de SInCoPA.

A implementação gráfica do Pd é feita com a linguagem Tk. O arquivo que descreve a interface gráfica do Pd é o “pd.tk”, que numa instalação padrão do Pd-extended fica no diretório /pd-extended/bin/pd.tk . Nesse arquivo são definidos os comportamentos gráficos da interface do Pd como a relação dos movimentos do mouse, atalhos de teclado e as aparências dos objetos, arrays, canvas e todos objetos gráficos nativos. A implementação gráfica do Pd e sua relação com os ciclos de processamento de áudio é a principal causa de “bugs” e incompatibilidade entre plataformas.

Os desenvolvimentos mais recentes do Pd caminham no sentido da separação completa da descrição gráfica da linguagem do processamento de áudio. Isso possibilitará a implementação do Pd em qualquer ambiente gráfico (como por exemplo GTK). Nesse sentido a nova versão “0.43” possui um alto nível de customização gráfica. Ao invés da comunidade de desenvolvedores optarem por “esconder” o problema da implementação da parte gráfica, o “problema” é

Made by Thomas Ouellet Fredericks for the ID collective
 tom@danslcham.org 21 novembre 2004
 fixed by Jamie Bullock 2007

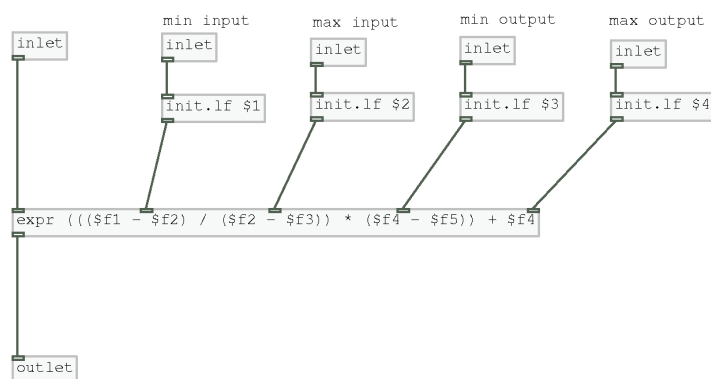


Figura A.5: objeto [scale.linear] da biblioteca PDMTL usando o objeto [expr]

compartilhado com os artistas e usuários para aprimoramento. A definição de um padrão de implementação gráfica do Pd enquanto linguagem ainda não é consenso.

A.2.4 Expressões condicionais

Cada operação matemática em Pd é descrita com um objeto separado. O objeto [expr] possibilita que várias operações matemáticas sejam descritas dentro dos argumentos de um único objeto. É possível fazer uma descrição de expressão condicional dentro dos argumentos de [expr]. Podemos ver um exemplo na figura A.5, onde vemos a abstração [scale.linear] da biblioteca PDMTL. Nessa abstração o objetivo é o mapeamento linear entre dois registros pré-definidos. Uma implementação da mesma expressão apenas com objetos nativos de Pd é vista na figura A.6.

Ambas implementações possuem um bom grau de legibilidade e entendimento visual, além de não demonstrarem grandes diferenças em termos de rapidez de processamento. Porém a expressão com [expr] é muito mais familiar para quem aprendeu a programar em linguagens do tipo C. A família de objetos [expr] é disponibilizada com a licença GNU/GPL, compatível com a licença do Pd-extended, enquanto que o núcleo do Pd é disponibilizado com a licença

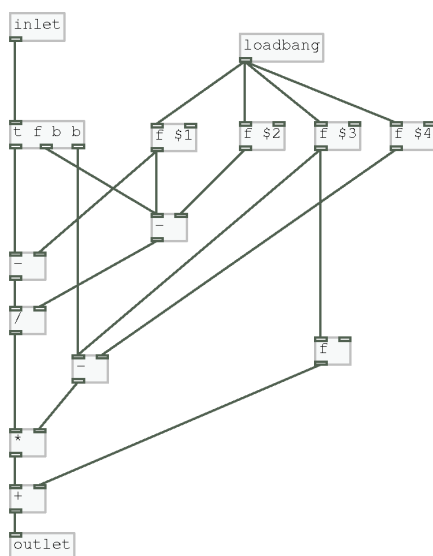


Figura A.6: Objeto [sinc-escala-linear] usando apenas objetos nativos do Pd

BSD “Standard”, o que causa uma certa falta de sincronia na licença global de projetos com Pd-extended. Uma expressão matemática ainda poderia ser implementada como um external independente escrito em C (m Zmólnig).

A.2.5 Mensagens de controle e fluxo de áudio

O fluxo de dados ao se trabalhar com parâmetros de controle normalmente é menor do que o fluxo em operações que processam áudio. Em um programa que processe áudio, muitas vezes ocorrem quebras de sincronia entre o processamento de áudio e a frequência de controles de parâmetros.

Message operations are executed at the beginning of each pass of audio block processing, so a patch where audio depends on message operations which don’t complete in time will also fail to produce correct output. (Farnell 2010)

Essa problemática é presente em todos ambientes de programação para síntese sonora. A programação em Csound, por exemplo, prevê que o usuário escolha a frequência de diferentes tempos de compilação inicializados por “a”, “k”, , “ga” ou “gk” (valores que variam no

tempo). E os parâmetros estáticos de inicialização de valores são precedidos de “i” e “gi”. No cabeçalho do arquivo de Csound o usuário define as frequências de compilação de controle e áudio com as constantes ksmps e sr respectivamente. De maneira que se temos uma frequência de amostragem de áudio (sr) definida em 44100 e uma constante ksmps = 10, teremos uma frequência de controle de 4410 ciclos de controle por segundo, e cada ciclo terá uma duração de $1/4410 = 0.000227$ segundos. Em cada ciclo de controle, todos valores que variam no tempo são atualizados.

Em alguns casos é necessário usar variáveis inicializadas com “a” ao invés de “k”. Algumas vezes se é usado uma variável “k” para um envelope que se move muito rápido, o resultado poderá ser um tanto ruidoso (instrumento 1 abaixo). Se for usada uma variável “a”, o resultado será muito mais limpo (instrumento 2). No exemplo abaixo é explorada a diferença entre envelope com variável “a” e “k” aplicados ao mesmo instrumento.

```
<CsoundSynthesizer>
<CsOptions>
-o dac
</CsOptions>
<CsInstruments>
sr = 44100
ksmps = 10 ;aumentar ou diminuir esse valor para comparar as diferenças de processamen
nchnls = 2
0dbfs = 1

instr 1 ;envelope em k-time
aSine    oscils    .5, 800, 0
kEnv      transeg   0, .1, 5, 1, .1, -5, 0
aOut      =         aSine * kEnv
          outs      aOut, aOut
endin

instr 2 ;envelope em a-time
aSine    oscils    .5, 800, 0
aEnv      transeg   0, .1, 5, 1, .1, -5, 0
aOut      =         aSine * aEnv
          outs      aOut, aOut
endin

</CsInstruments>
<CsScore>
r 5 ;repetir a linha seguinte 5 vezes
i 1 0 1
s ; fim da seção
r 5
i 2 0 1
```

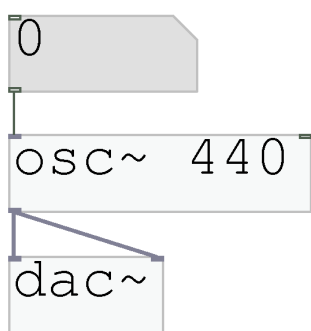


Figura A.7: Diferença entre cabos de objetos de controle e objetos de áudio

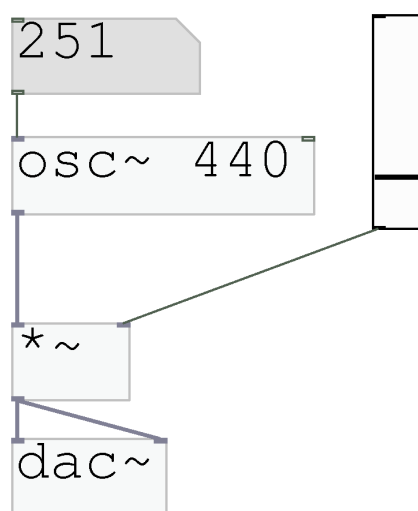


Figura A.8: Sintetizador usando slider vertical ([vsl]) controlando amplitude de áudio

```
e
</CsScore>
</CsoundSynthesizer>
```

No Pd, existe o problema da interação entre a interface gráfica e o processamento de áudio. Todos objetos que processam áudio tem o sufixo ~no nome. Graficamente o usuário visualiza a diferença entre áudio ou dados através dos cabos de ligação entre objetos. Podemos ver na figura A.7 uma caixa de número (dados) se conectando ao objeto [osc~] (áudio), podemos notar a diferença de grossura dos cabos de conexão.

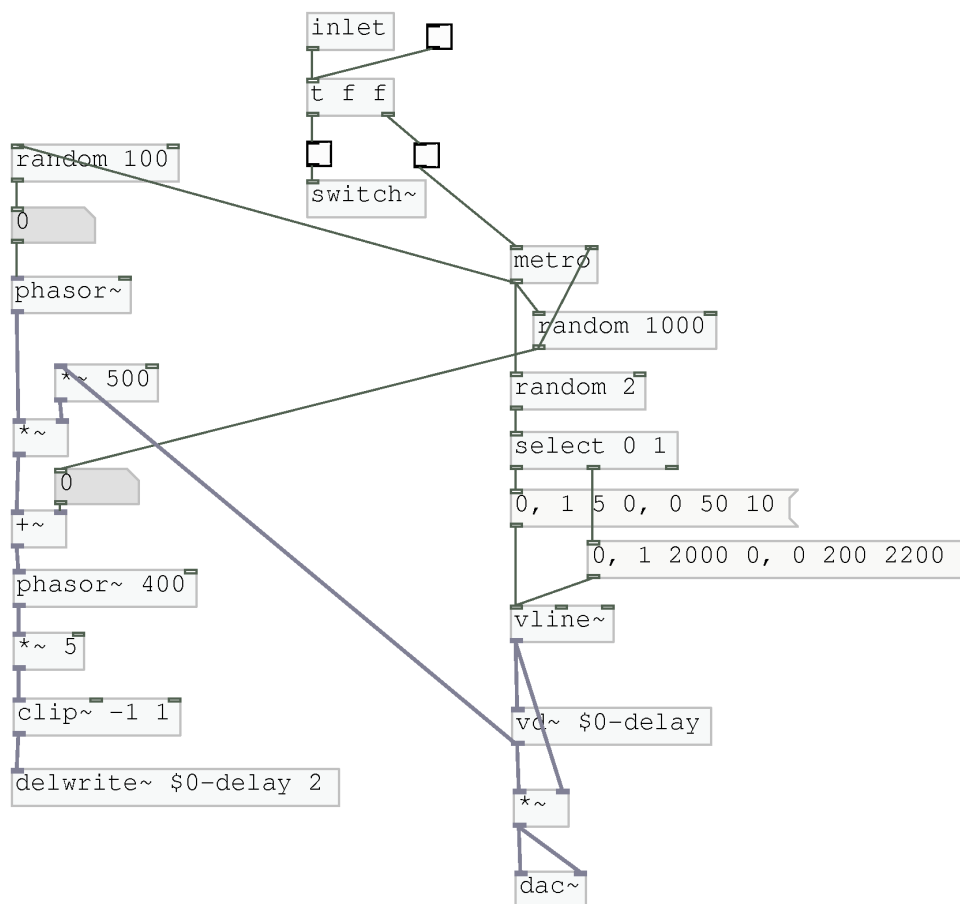


Figura A.9: Sintetizador usando objeto [switch~] para ligar/desligar processamento

O Pd funciona sob o paradigma do uso em tempo-real, portanto quando o processamento de áudio global é acionado, todos objetos de áudio começam a usar memória de processamento. Esse processamento em lote pode gerar lentidão e ruídos indesejados. O processamento de áudio pode ser diferente para cada patch e sub-patch com o uso dos objetos [block~] e [switch~]. Além disso, da mesma maneira que no Csound, os envelopes de áudio preferencialmente devem ser controlados por objetos que processam áudio como [line~] e [vline~]. É muito comum ruídos e cliques indesejados quando se controla parâmetros de áudio diretamente com sliders gráficos como visto na figura A.8, onde um slider controla a amplitude do áudio final, quando se move o slider com o mouse notamos pequenas descontinuidades no áudio.

Na figura A.9 vemos um sintetizador de SinCoPA que usa o objeto [switch~] para ligar e desligar o processamento de áudio local ao patch. Pode-se observar também que o envelope de

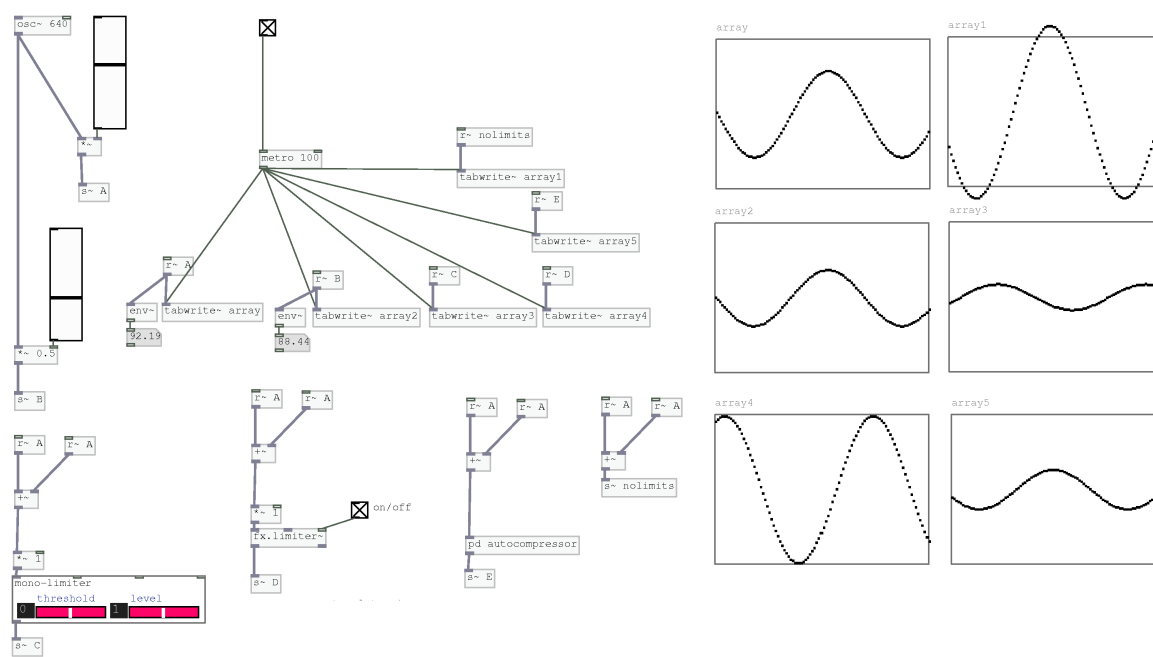


Figura A.10: Patch que explora amplificação e limitação de amplitude de áudio

amplitude global é feito com objeto [vline~], que também define o tempo em milisegundos de delay no objeto [vd~].

A.2.6 Amplificação de áudio

É comum em projetos de criação musical que envolvam diversos geradores a necessidade de um controle automático da amplitude final do áudio. Um objetivo desejado é o de criação de uma textura sonora densa, composta por sintetizadores e processadores de áudio gravado em tempo-real. Para o controle do sinal de áudio foram pesquisadas algumas implementações de um limiter de áudio.

A função do limiter é evitar que o áudio final fique clipado, o que causa distorção no som resultante. Na figura A.10 podemos ver um patch que mostra a comparação entre quatro métodos de amplificação e limiter em Pd. O sinal original pode ser visto no array “array” e o mesmo sinal somado por ele mesmo sem limiter no “array1”. No “array2” vemos o resultado de uma multiplicação com fator controlada por um slider. O primeiro limiter é a abstração [mono-limiter] da biblioteca DIY que mostra o resultado no “array3”, onde vemos claramente um forte

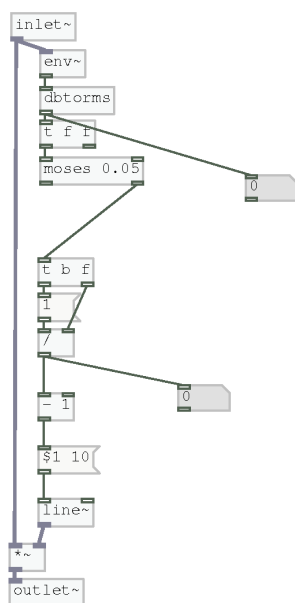


Figura A.11: Sub-patch [pd autocompressor]

atraso na forma de onda. Outro limiter está na abstração [fx.limiter~] da biblioteca PDMTL, que apresenta uma latência menor no “array4”.

A abstração [fx.limiter~] é baseada no objeto [limiter~] da biblioteca Zexy. Que retorna o áudio de n canais amplificado pelo fator necessário para deixar todos canais dentro de um limite de amplitude que preserve o balanço e a relação entre eles. É necessário criar uma linha de atraso (delay) do sinal original, antes de chegar no [limiter~], para prevenir cliques de sincronia. Porque o algoritmo precisa de tempo para criar um buffer onde será feita a operação de limite. Por fim um protótipo de um auto-regulador de limite de amplitude é mostrado no sub-patch [pd autocompressor] na figura A.11.

A.3 Visualização de Notação musical

Dentro do escopo da pesquisa, foram definidas duas funções para visualização de notação musical:

- Um componente que gere um arquivo gráfico que registre o funcionamento do sistema através de notação musical para posterior análise, recombinação e performance.
- Visualização em tempo-real das últimas notas executadas pelo músico e pelo sistema.

Nesse sentido são levantadas algumas soluções experimentais que auxiliam a pesquisa e a prática musical com o sistema.

Pd e Lilypond via Rosegarden

Na figura 4.39 vemos uma possibilidade que conecta o resultado da composição algorítmica com o sequenciador Rosegarden. O resultado da análise de áudio de [sinc-audionalise] é convertido em fluxo MIDI com o objeto [makenote]. No canto direito superior da figura vemos a conexão gráfica do Pd com o Rosegarden feito com o programa Jack.

A conexão do Pd com o Rosegarden pode ser feita em tempo-real com Jack, ou salvando um arquivo MIDI com Pd e abrindo manualmente no Rosegarden. Uma limitação desse modelo está no fato de não ter sido implementada uma sincronização automática do controle do sequenciador no Rosegarden com o algoritmo feito no Pd. Isso acarreta que o resultado final da partitura exige mais edição manual usando quantização e correções rítmicas manuais.

Na figura A.12 vemos um exemplo do trabalho manual durante a edição de partitura no Rosegarden. Podemos notar que a interface de piano-roll permite uma edição precisa, além de fornecer algumas configurações de quantização automática.

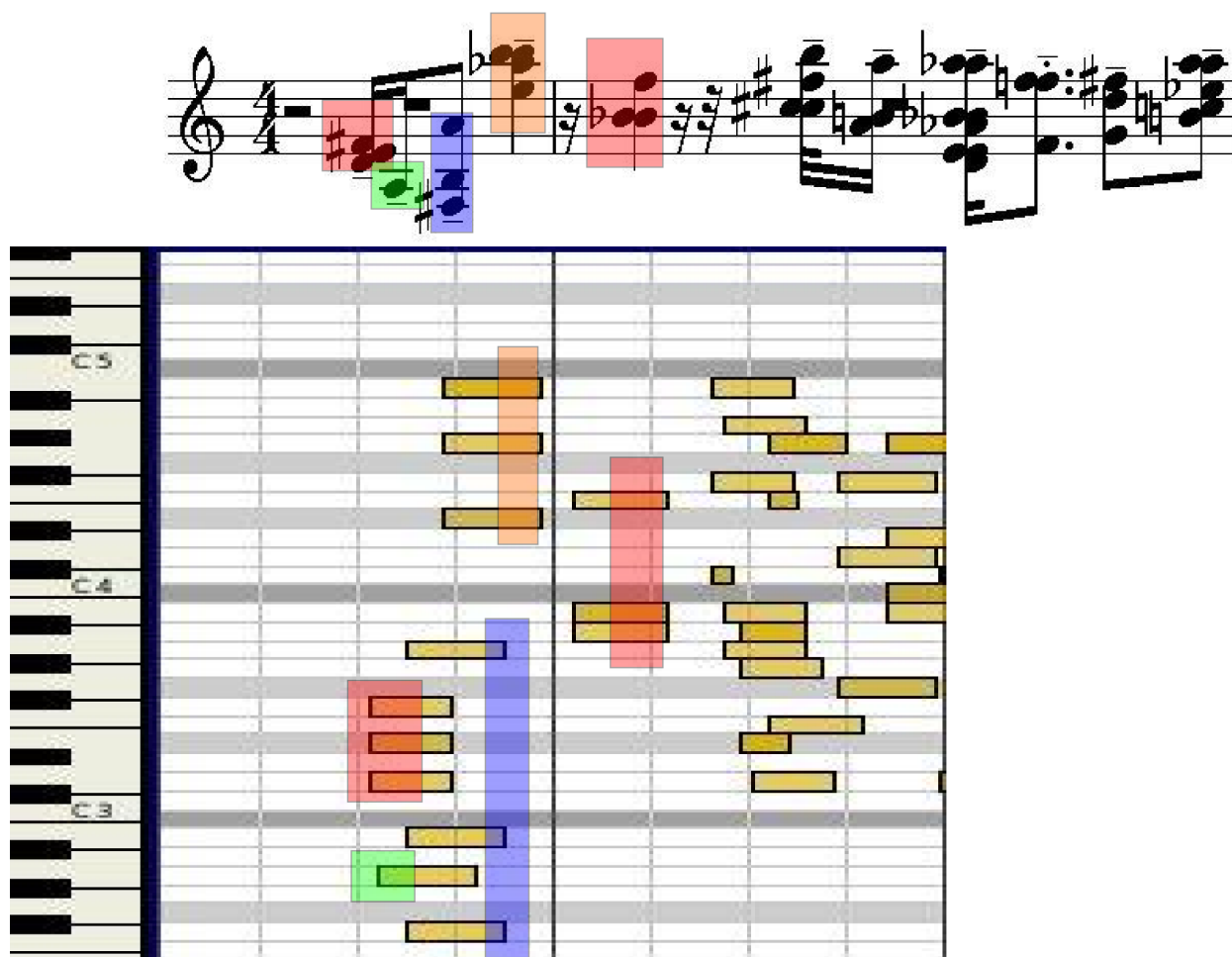


Figura A.12: edição no rosegarden de sequência enviada do pd

A.3.1 Pd e Lilypond via FOMUS

FOMUS¹ é um programa *open source* que automatiza diversas tarefas de notação musical para compositores. Facilita o processo de criação de partituras profissionais por permitir que o compositor trabalhe separadamente os atributos lógicos, tais como os tempos, durações e alturas, da representação deles em notação musical convencional.

É especialmente útil para os compositores que trabalham com algoritmos e linguagens de programação para música ou ambientes de programação, tais como CM / Grace, Pd e Lisp. Também pode ser usado para importar dados de arquivos MIDI em um editor de notação gráfica ou a criação de partituras a partir do zero usando arquivos de texto.

¹Disponível em: <http://fomus.sourceforge.net/>

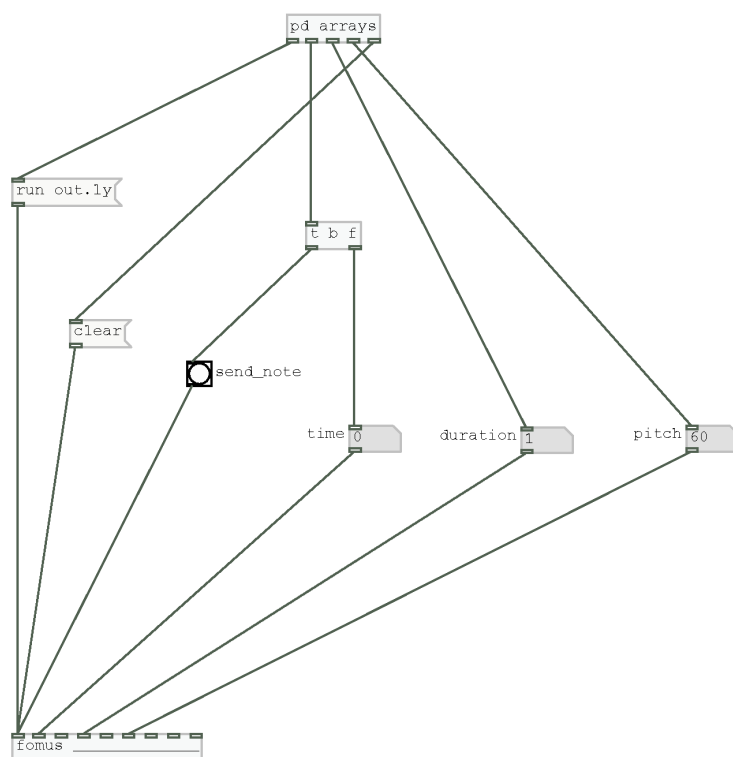


Figura A.14: Patch mostrando funcionalidade básica do objeto [fomus]

A.3.2 Notação musical com GEM

Para a função de visualização de notação musical em tempo-real foi desenvolvido um protótipo, com a plataforma GEM. A principal vantagem de usar GEM como motor de notação musical é a possibilidade de integrar elementos como vídeo e modelagem 3D em uma possível poética audiovisual integrada.

Como maneira de otimizar o processamento de áudio e gráficos simultâneos, foram desenvolvidas duas abstrações para facilitar o processo de abrir duas instâncias do Pd no sistema. Uma instância dedicada ao processamento de áudio e a outra para o processamento gráfico. Na figura A.17 vemos a abstração [sync-mandanotacao], responsável por enviar duas variáveis para serem plotadas na pauta. Essa abstração deve funcionar na instância que estiver processando o áudio.

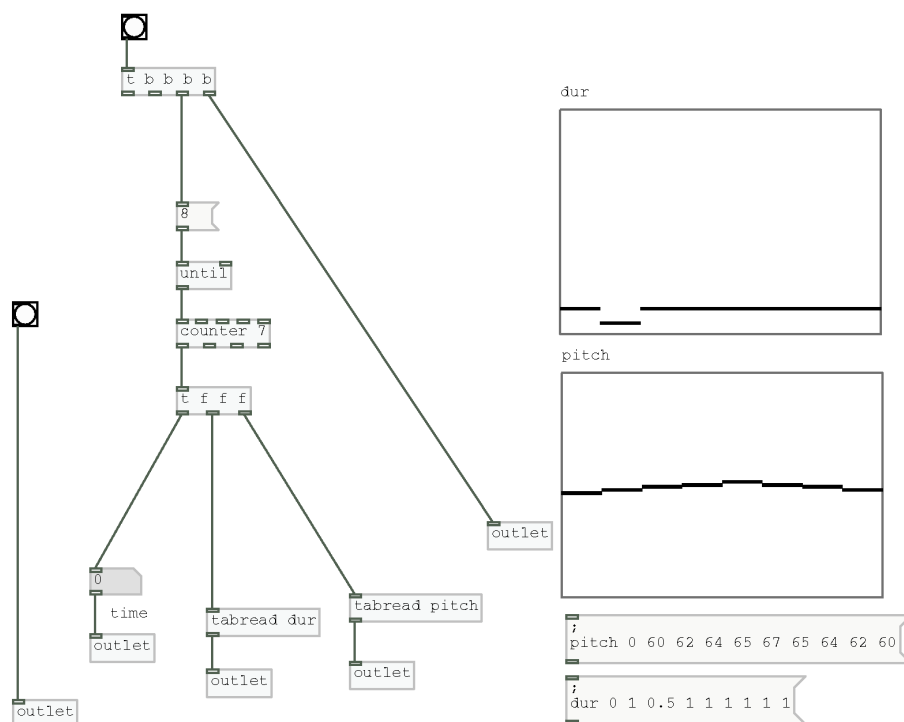


Figura A.15: Sub-patch [pd arrays] do patch da figura A.14

A outra instância do Pd vai rodar a abstração [sinc-recebenotacao], e deve ser iniciada de maneira a garantir que não processe áudio. Para isso, deve ser usada a opção -noaudio". Como por exemplo:

```
livre@livre:~/sincopa/sinc-abs$ pdextended -noaudio sinc-recebenotacao.pd
```

A conexão entre as duas instâncias é feita com os objetos [netsend] e [netreceive], utilizando o protocolo UDP. Na figura A.17 vemos a mensagem "connect localhost 3001", que manda o objeto [netsend] se conectar ao seu próprio endereço de rede (localhost³).

Podemos observar na figura A.18 que os dados recebidos são descompactados e roteados para o objeto [sinc-notacao] que é o núcleo do funcionamento da visualização gráfica de notação musical. Na figura A.19 temos uma visão geral da abstração. Na qual vemos seis subpatches

³Caso se deseje usar outro computador para processar a parte gráfica da notação musical, se deve substituir essa variável pelo endereço ip da máquina remota.

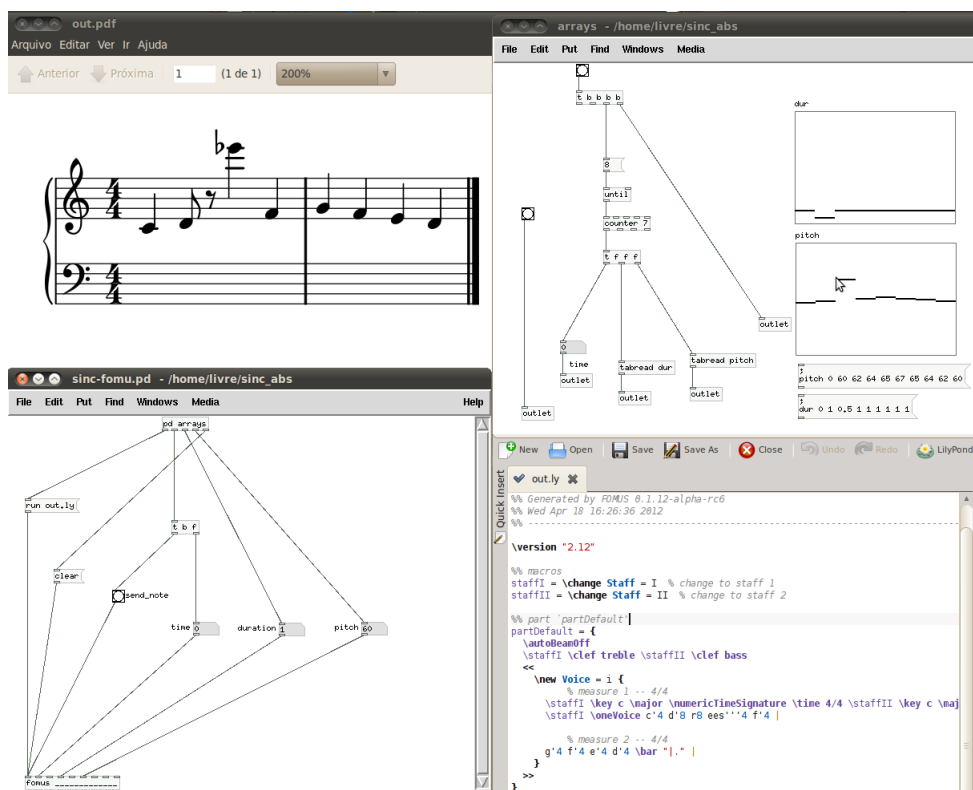


Figura A.16: ambiente de trabalho com Pd, FOMUS e editor de Lilypond (Frescobaldi)

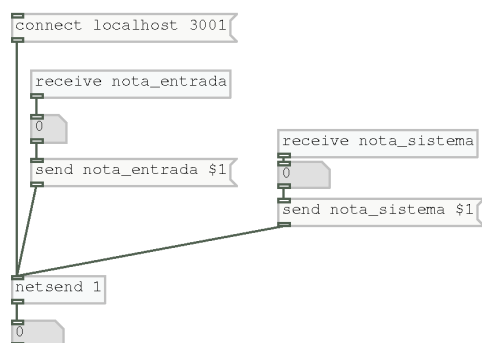


Figura A.17: [sinc-mandanotacao]

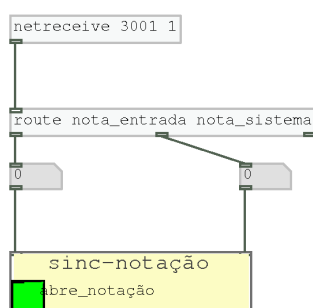


Figura A.18: [sinc-recebenotacao]

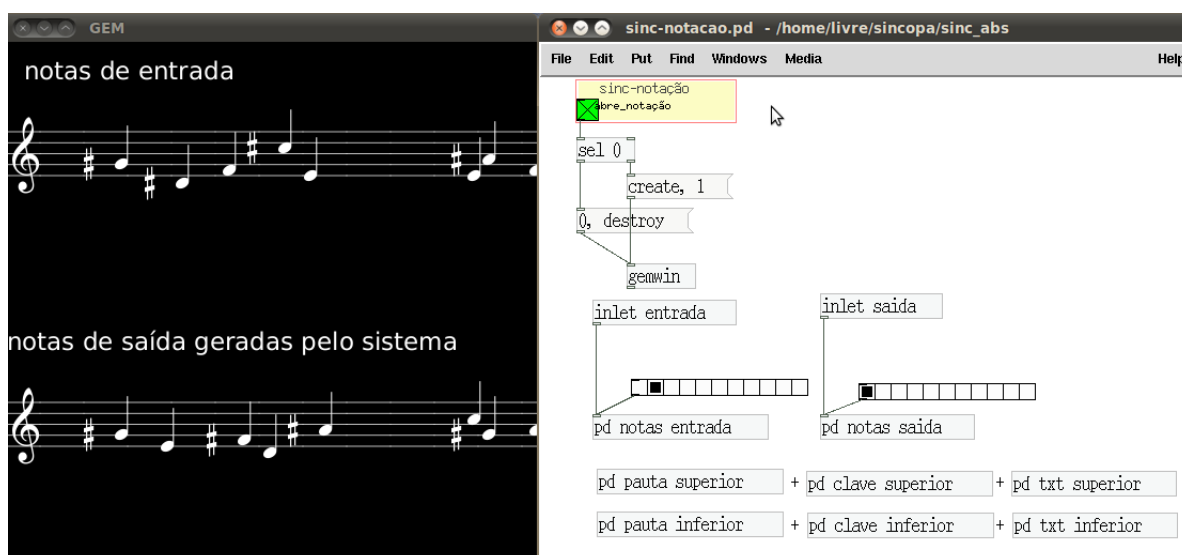


Figura A.19: [sinc-notacao]

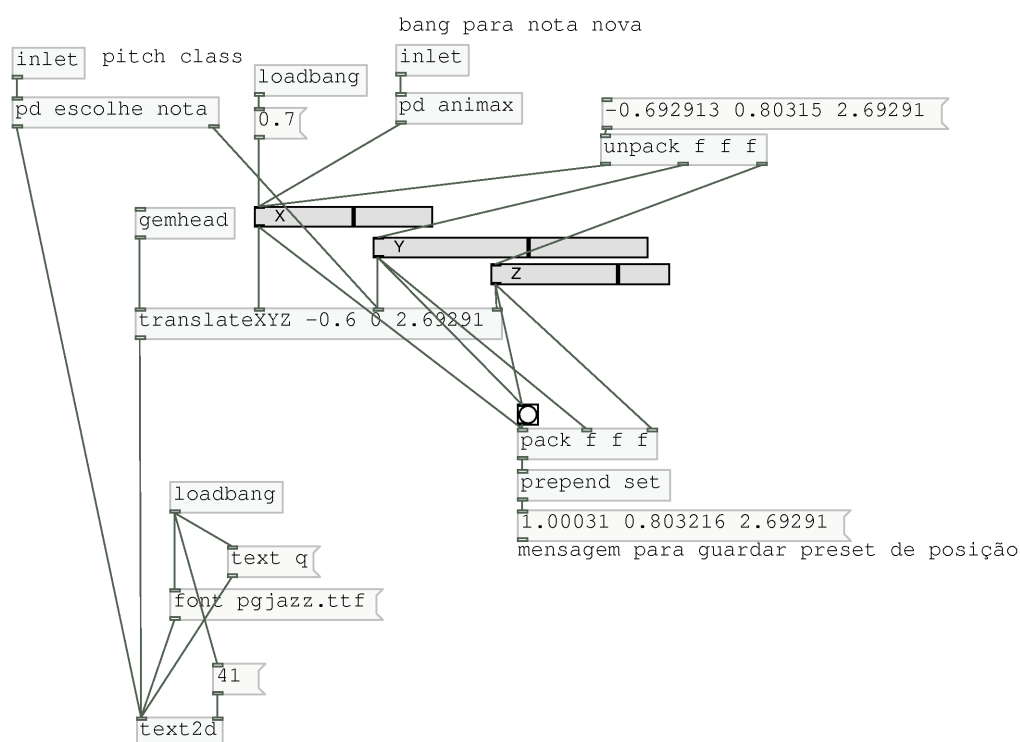


Figura A.20: subpatch correspondente a uma nota

na parte inferior, onde ficam armazenados elementos estáticos, pentagramas, claves e texto das notas de entrada do músico e das notas geradas pelo sistema.

Cada elemento gráfico nesse protótipo corresponde a um subpatch, responsável por inicializar o elemento e controlar sua posição espacial. Na figura A.20, vemos um subpatch de uma nota. O elemento principal desse subpatch é o objeto [text3d], que pode carregar fontes TrueType. Nesse caso foi usado a fonte PGMusic F, gratuita e disponível em diversos sites na internet. Podemos observar na figura A.21 que o modelo da semínima corresponde ao símbolo "q". A posição espacial é controlada pelo objeto [translateXYZ]. A escolha da nota corresponde a posição vertical e pode ser vista a escala fixa de posições estocadas em uma mensagem para cada altura. Como se trata de um sistema dinâmico as posições horizontais de cada nota são móveis e definidas em uma animação pré-definida na figura A.22.

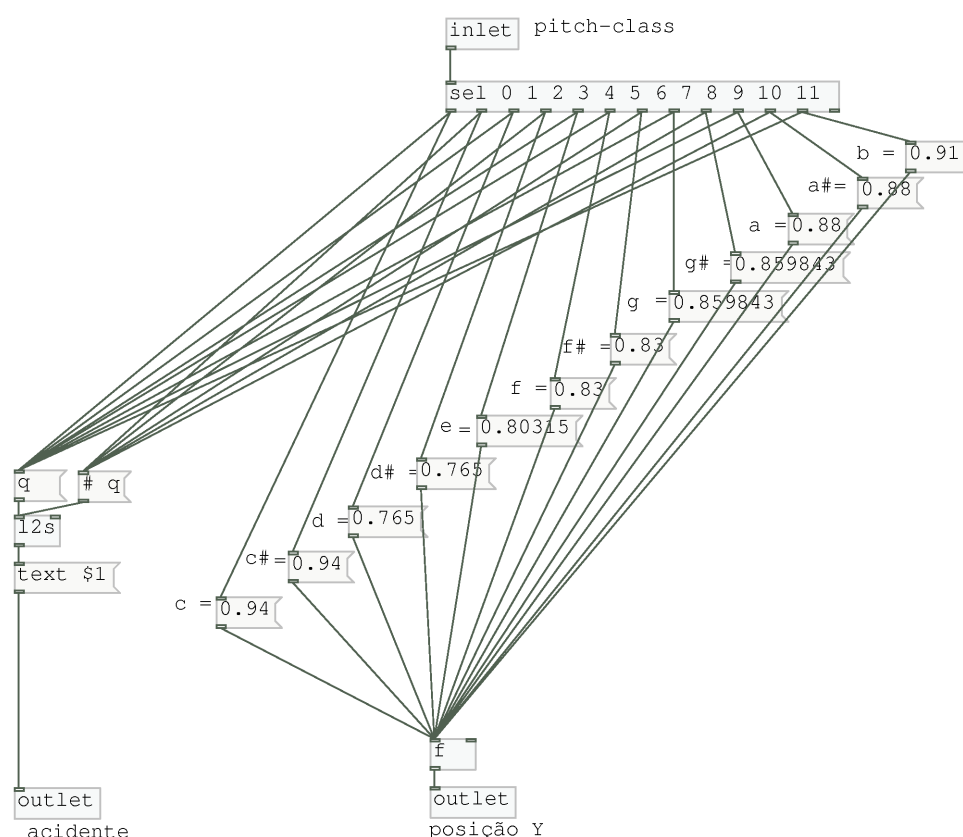


Figura A.21: subpatch [pd escolhe nota] da figura A.20

O projeto Gemnotes⁴ (Kelly 2011) é pioneiro no uso de Pd e Gem como motores de um sistema de notação musical. Gemnotes é projetado para ser um sistema de notação musical em tempo-real para músicos executarem partes instrumentais ou como registro de algoritmos ou ainda como auxiliar em educação musical.

O sistema utiliza programação dinâmica em Pd - efetivamente um patch de Pd que constrói outro patch (a notação gráfica) usando abstrações pré-fabricadas (patches de Pd salvos na mesma pasta que o patch raiz) que contêm os comandos para criar uma representação gráfica de notação musical. Para um sistema tão complexo (notação musical) foi necessário criar um objeto na linguagem de programação C que manipule o número de objetos, os objetos que estão ligados a que, e como os elementos específicos da música (como ligaduras e quiáleras) são exibidas. Este objeto (o objeto [gemnotes-counter]) consiste em mais de 800 linhas de código

⁴fonte: (<http://sharktracks.co.uk/site/2010/12/gemnotes-progress/>) escrito em 16/12/2010.

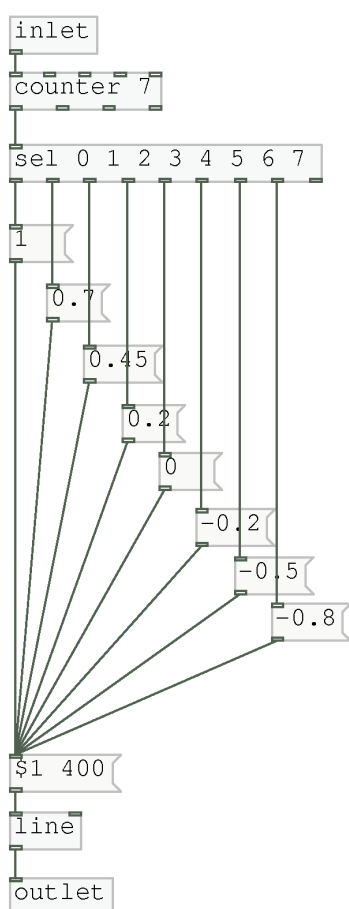


Figura A.22: subpatch [pd animax] da figura A.20

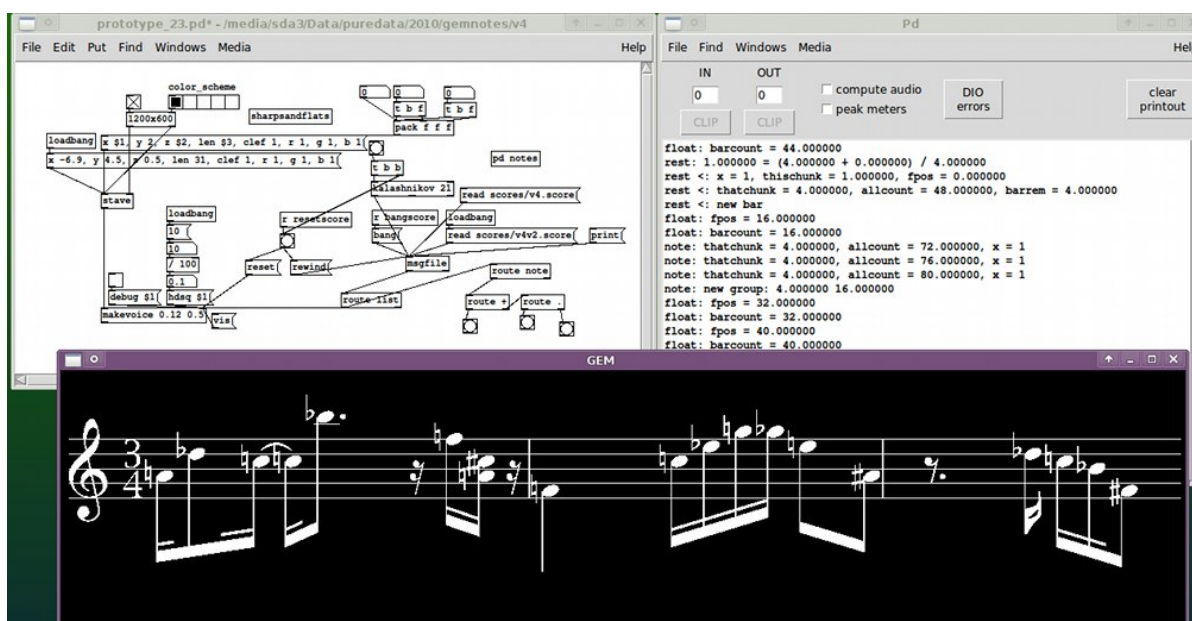


Figura A.23: resultado gráfico de gemnotes

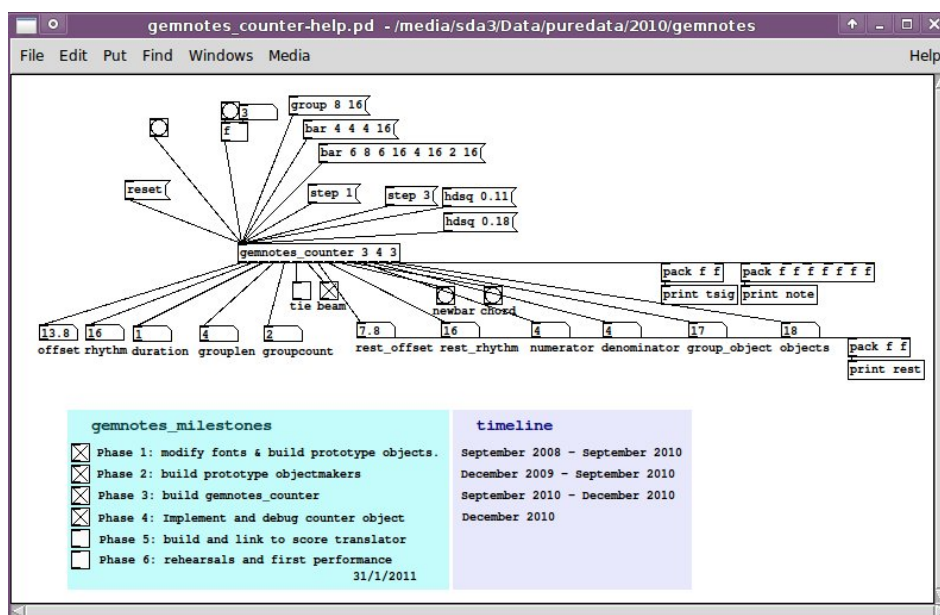


Figura A.24: exemplo de uso de gemnotes

e levou 6 meses para escrever, mas não há muito mais a acrescentar (dinâmica, articulação). (Kelly 2011)⁵

Podemos ver o uso do objeto [gemnotes-counter] na figura A.23 e no arquivo "help" na figura A.24. Considero que o objetivo ideal em termos de ambiente de notação musical para música interativa é uma combinação de GEM para visualização em tempo-real, conectado com escrita e leitura de arquivos Lilypond. Nessa seção foram apresentadas algumas soluções que apontam para esse objetivo.

⁵The system uses dynamic patching in PD – effectively a PD patch that builds another PD patch (the graphical score) using pre-made abstractions (PD patches saved in the same folder as the root patch) that contain the commands to create a graphical representation of music. For such a complex system (music notation) it has been necessary to create an object in the C programming language that manages the number of objects, which objects are linked to which, and how music-specific elements (such as ties and tuples) are displayed. This object (the gemnotes-counter object) consists of over 800 lines of code and took 6 months to write, but there is much, much more to add to it (dynamics, articulation).